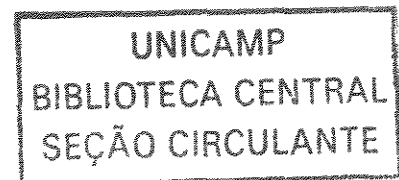


**UNIVERSIDADE ESTADUAL DE CAMPINAS  
FACULDADE DE ENGENHARIA CIVIL**

**REATOR COMPARTIMENTADO ANAERÓBIO/AERÓBIO,  
TRATANDO ESGOTO SANITÁRIO:  
DESEMPENHO E OPERAÇÃO**

**Gustavo Henrique Ribeiro da Silva**



**Campinas  
2001**

**UNIVERSIDADE ESTADUAL DE CAMPINAS  
FACULDADE DE ENGENHARIA CIVIL**

**REATOR COMPARTIMENTADO ANAERÓBIO/AERÓBIO,  
TRATANDO ESGOTO SANITÁRIO:  
DESEMPENHO E OPERAÇÃO**

**Gustavo Henrique Ribeiro da Silva**

**Orientador: Edson Aparecido Abdul Nour**

Dissertação de Mestrado apresentada à Comissão de pós-graduação da Faculdade de Engenharia Civil da Universidade Estadual de Campinas, como parte dos requisitos para a obtenção do título de Mestre em Engenharia Civil, na área de concentração de Saneamento e Ambiente.

**Campinas, S.P.**

**2001**

**iii**

**UNICAMP  
BIBLIOTECA CENTRAL**

|   |                    |
|---|--------------------|
| Atesto que esta é a versão definitiva<br>da dissertação./lesq | 06/02/03           |
| <i>Prof. Dr. Edson Aparecido Abdul Nour</i>                   |                    |
|   | Matrícula: 24584-4 |

|            |                                     |
|------------|-------------------------------------|
| UNIDADE    | BC                                  |
| Nº CHAMADA | UNICAMP                             |
|            | Si 38r                              |
| V          | EX                                  |
| TOMBO BC   | 53254                               |
| PROC.      | 124103                              |
| C          | <input type="checkbox"/>            |
| D          | <input checked="" type="checkbox"/> |
| PREÇO      | R\$ 11,00                           |
| DATA       | 23/10/03                            |
| Nº CPD     |                                     |

CM00182159-6

BIB ID 287885

FICHA CATALOGRÁFICA ELABORADA PELA  
BIBLIOTECA DA ÁREA DE ENGENHARIA - BAE - UNICAMP

Si38r

Silva, Gustavo Henrique Ribeiro

Reator compartimentado anaeróbio/aeróbio tratando  
esgoto sanitário: desempenho e operação / --Campinas,  
SP: [s.n.], 2001.

Orientador: Edson Aparecido Abdul Nour.

Dissertação (mestrado) - Universidade Estadual de  
Campinas, Faculdade de Engenharia Civil.

1. Esgotos. 2. Tratamento biológico. 3. Águas  
residuais. 4. Purificação. I. Nour, Edson Aparecido  
Abdul. II. Universidade Estadual de Campinas.  
Faculdade de Engenharia Civil. III. Título.

UNIVERSIDADE ESTADUAL DE CAMPINAS  
FACULDADE DE ENGENHARIA CIVIL

**REATOR COMPARTIMENTADO ANAERÓBIO/AERÓBIO,  
TRATANDO ESGOTO SANITÁRIO:  
DESEMPENHO E OPERAÇÃO**

Gustavo Henrique Ribeiro da Silva

Dissertação de Mestrado aprovada pela Banca Examinadora, constituída por:

*Edson Aparecido Abdul Nour*

**Prof. Dr. Edson Aparecido Abdul Nour**  
Presidente e Orientador/ Universidade Estadual de Campinas

*José Roberto Guimarães*

**Prof. Dr. José Roberto Guimarães**  
Universidade Estadual de Campinas-Unicamp

*Silvia C.S. Povinelli*

**Prof.<sup>a</sup> Dra. Silvia Claudia Semensato Povinelli**  
Agência Nacional de Águas

Campinas, 21 de dezembro de 2001

Aos meus pais, irmãos e Raquel pelo  
companheirismo e amor constante

## **AGRADECIMENTOS**

Ao Professor Doutor Edson Aparecido Abdul Nour pela confiança, orientação, incentivo e ajuda constante nas diversas fases deste trabalho.

A FAPESP – Fundação de Amparo à Pesquisa do Estado de São Paulo pelo auxílio financeiro para execução deste trabalho.

Ao programa de pós–graduação do Departamento de Saneamento e Ambiente, pela infra-estrutura oferecida.

Aos professores doutores da área de concentração de Saneamento e Ambiente da Faculdade Engenharia Civil/UNICAMP: Roberto Feijó de Figueiredo, Bruno Coraucci Filho e Eglé Novaes Teixeira.

Aos membros da banca de qualificação Prof. Doutor José Roberto Guimarães e Prof.<sup>a</sup> Doutora Silvia Cláudia Semensato Povinelli, pelas sugestões e críticas.

À empresa Águas de Limeira, pelo espaço fornecido para a montagem do reator, e ao funcionário da mesma, Aparecido Donizeti Conrado.

Aos amigos de laboratório: Luiz Carlos (gaúcho), Osvaldo, Edmar, Alexandre, Tito, Sérgio (estagiário), Marco, Marta, Patrícia, Rosiléia, Fabião, Silvana, Andréia, Juliana, Carolina Farah, Patrícia Donaire, Ronaldo Stefanutti, Renata, Luciano Zanella, Sandra, Ângela e Caroline.

Aos amigos Flaviano (Sementinha), Everaldo (Bona), Edvaldo, Sergião, Raul, Ricardo, Neto, Welton, Flávia, Julião, Renato Martinez, Gustavo, Ariangela, Friguinho, Cláudia, Gi, Flávio, Rafael, Carla e Fábio por todos os dias de convivência e união.

A meus pais David e Sonia, aos meus irmãos Leonardo e Diego, e a minha avó Irene pelo apoio e crédito que sempre me dedicaram.

Em especial a Raquel pelo carinho, amor e amizade pela participação nas fases deste trabalho e aos seus pais Edgar e a Prof.<sup>a</sup> Maria de Fátima pela revisão ortográfica.

E a todos que direta ou indiretamente contribuíram para a realização deste trabalho.

*Eu vos louvarei de todo o coração, Senhor  
Porque ouvistes as minhas palavras.  
Na presença dos anjos eu vos cantarei.*

*Salmos 137,1*

## SUMÁRIO

|   | Página |
|---|--------|
| LISTA DE FIGURAS.....                             | xvii   |
| LISTA DE TABELAS.....                             | xxi    |
| LISTA DE ABREVIATURAS E SÍMBOLOS.....             | xxvii  |
| RESUMO.....                                       | xxix   |
| 1. INTRODUÇÃO.....                                | 1      |
| 2. OBJETIVOS.....                                 | 4      |
| 2.1 OBJETIVOS ESPECÍFICOS .....                   | 4      |
| 3 REVISÃO BIBLIOGRÁFICA .....                     | 5      |
| 3.1 PROCESSO BIOLÓGICO ANAERÓBIO.....             | 5      |
| 3.1.1 MICROBIOLOGIA: BACTÉRIAS.....               | 8      |
| 3.1.3 REQUISITOS AMBIENTAIS .....                 | 12     |
| 3.1.4 SISTEMAS ANAERÓBIOS DE TRATAMENTO.....      | 20     |
| 3.1.4.1 REATORES COMPARTIMENTADOS ANAERÓBIOS..... | 21     |
| 3.2 PROCESSOS AERÓBIOS .....                      | 34     |
| 3.2.1 MICROBIOLOGIA .....                         | 35     |
| 3.2.2 CINÉTICA .....                              | 37     |
| 3.2.2.1 CINÉTICA DE CRESCIMENTO BIOLÓGICO .....   | 37     |
| 3.2.3 REQUISITOS AMBIENTAIS .....                 | 38     |
| 3.2.4 SISTEMAS AERÓBIOS DE TRATAMENTO.....        | 40     |
| 3.2.4.1 LODOS ATIVADOS .....                      | 41     |
| 3.2.4.1 REATORES COMPARTIMENTADOS AERÓBIOS .....  | 45     |

|  |     |
|--|-----|
| 3.3 PROCESSOS ANAERÓBIOS/AERÓBIOS .....                      | 47  |
| 4 MATERIAL E MÉTODOS .....                                   | 51  |
| 4.1 DESCRIÇÃO DO SISTEMA DE TRATAMENTO .....                 | 51  |
| 4.2 PARÂMETROS ESTUDADOS .....                               | 63  |
| 4.2.1 AMOSTRAGEM .....                                       | 64  |
| 5 RESULTADOS E DISCUSSÃO .....                               | 66  |
| 5.1 TEMPERATURA ATMOSFÉRICA.....                             | 68  |
| 5.2 TEMPERATURA DO ESGOTO.....                               | 69  |
| 5.3 ÍNDICES PLUVIOMÉTRICOS.....                              | 71  |
| 5.4 VALORES DE PH .....                                      | 72  |
| 5.5 ALCALINIDADE .....                                       | 75  |
| 5.6 ÁCIDOS ORGÂNICOS VOLÁTEIS (AOV) .....                    | 81  |
| 5.7 DEMANDA QUÍMICA DE OXIGÊNIO – DQO .....                  | 84  |
| 5.7.1 DQO <sub>total</sub> .....                             | 84  |
| 5.7.2 DQO <sub>filtrada</sub> .....                          | 92  |
| 5.8 TAXA DE CARREGAMENTO ORGÂNICO (TCO) .....                | 98  |
| 5.9 DEMANDA BIOQUÍMICA DE OXIGÊNIO (DBO <sub>5</sub> ) ..... | 101 |
| 5.10 VELOCIDADE ASCENSIONAL .....                            | 106 |
| 5.11 SÓLIDOS EM SUSPENSÃO .....                              | 107 |
| 5.11 SÓLIDOS TOTAIS.....                                     | 119 |
| 5.12 SÓLIDOS SEDIMENTÁVEIS .....                             | 127 |
| 5.13 SÓLIDOS – TOMADAS INTERMEDIÁRIAS .....                  | 129 |
| 5.13.1 SÓLIDOS EM SUSPENSÃO – TOMADAS INTERMEDIÁRIAS.....    | 130 |
| 5.13.2 SSV/SST – TOMADAS INTERMEDIÁRIAS.....                 | 132 |
| 5.13.3 SÓLIDOS TOTAIS – TOMADAS INTERMEDIÁRIAS .....         | 133 |
| 5.14 OXIGÊNIO DISSOLVIDO .....                               | 135 |
| 5.15 FÓSFORO TOTAL .....                                     | 137 |
| 5.16 NITROGÊNIO AMONIACAL.....                               | 140 |
| 5.17 NITROGÊNIO TOTAL KJELDAHL (NTK).....                    | 142 |
| 5.18 RECIRCULAÇÃO DE LODO .....                              | 144 |
| 6 CONCLUSÕES.....  | 150 |

|                                  |     |
|----------------------------------|-----|
| 7 RECOMENDAÇÕES .....            | 154 |
| REFERÊNCIAS BIBLIOGRÁFICAS ..... | 155 |
| ANEXOS.....                      | 167 |

## **LISTA DE FIGURAS**

|  |    |
|--|----|
| Figura 3.1: Esquema da conversão de matéria orgânica.....  | 6  |
| Figura 3.2: Seqüências metabólicas e grupos envolvidos na seqüência<br>metabólica.....   | 8  |
| Figura 3.3: Perfil de crescimento bacteriológico.....  | 11 |
| Figura 3.4: Efeitos dos nutrientes sobre a concentração de bactérias X,<br>para grupos metanogênicos .....                                 | 16 |
| Figura 3.5: Diagrama esquemático do sistema contendo reator<br>compartimentado anaeróbio (BACHMANN <i>et al.</i> , 1982).....              | 22 |
| Figura 3.6: Diagrama esquemático do sistema modificado contendo o<br>reator compartimentado anaeróbio (BACHMANN <i>et al.</i> , 1982)..... | 23 |
| Figura 3.7: Esquema do reator anaeróbio compartimentado.....   | 29 |
| Figura 4.1: Vista geral da chegada do efluente e cada de máquinas.....   | 51 |
| Figura 4.2: Detalhe da grade grosseira e caixa de areia.....   | 52 |
| Figura 4.3: Calha Parshall.....  | 52 |
| Figura 4.4: Sistema de alimentação do reator compartimentado<br>anaeróbio/aeróbio.....   | 53 |
| Figura 4.5: Detalhe da Peneira Estática.....   | 53 |
| Figura 4.6: Vertedor triangular de 15° e registro de gaveta.....   | 54 |
| Figura 4.7: Reator Compartimentado Anaeróbio/Aeróbio.....  | 55 |
| Figura 4.8: Esquema do Reator Compartimentado Anaeróbio/Aeróbio – Planta.....  | 56 |
| Figura 4.9: Perfil do Reator Compartimentado Anaeróbio/Aeróbio .....   | 57 |
| Figura 4.10: Esquema Geral do Sistema de Tratamento.....   | 58 |
| Figura 4.11: Vista da Lâmina Líquida da Câmara 1.....  | 59 |
| Figura 4.12: Vista da Lâmina Líquida da Câmara 2.....  | 59 |
| Figura 4.13: Vista da Lâmina Líquida da Câmara 3.....  | 60 |

|  |     |
|--|-----|
| Figura 4.14: Vista da Lâmina Líquida da Câmara 4.....  | 60  |
| Figura 4.15: Difusor de ar .....   | 61  |
| Figura 4.16: Compressor utilizado para o sistema de aeração.....   | 61  |
| Figura 4.17: Decantador Laminar.....   | 62  |
| Figura 5.1: Temperatura Atmosférica registrada na ETE Graminha.....  | 69  |
| Figura 5.2: Temperatura interna do reator ao longo do tempo.....   | 71  |
| Figura 5.3: Volume total mensal da precipitação.....   | 72  |
| Figura 5.4: Valores de pH nas câmaras ao longo do tempo.....   | 73  |
| Figura 5.5: Alcalinidade Total ao longo do tempo.....  | 77  |
| Figura 5.6: Alcalinidade Parcial (até pH = 5,75) ao longo do tempo.....                                      | 77  |
| Figura 5.7: Relação alcalinidade intermediária e alcalinidade parcial (AI/AP)<br>ao longo do tempo .....     | 80  |
| Figura 5.8: Ácidos Orgânicos Voláteis ao longo do tempo.....   | 83  |
| Figura 5.9: DQO <sub>total</sub> ao longo do tempo.....  | 85  |
| Figura 5.10: Eficiência de Remoção de DQO <sub>total</sub> ao longo do tempo.....                            | 86  |
| Figura 5.11: DQO <sub>filtrada</sub> ao longo do tempo.....  | 93  |
| Figura 5.12: Eficiência de Remoção de DQO <sub>filtrada</sub> ao longo do tempo.....                         | 94  |
| Figura 5.13: Taxa de Carregamento Orgânico ao longo do tempo.....  | 100 |
| Figura 5.14: Taxa de Carregamento Orgânico em função da porcentagem<br>Remoção de DQO <sub>total</sub> ..... | 101 |
| Figura 5.15 – Demanda Bioquímica Oxigênio (DBO) ao longo do tempo.....                                       | 103 |
| Figura 5.16: Eficiência de Remoção de DBO ao longo do tempo.....   | 104 |
| Figura 5.17: Sólidos em Suspensão Totais ao longo do tempo.....  | 110 |
| Figura 5.18: Sólidos em Suspensão Fixos ao longo do tempo.....   | 111 |
| Figura 5.19: Sólidos em Suspensão Voláteis ao longo do tempo.....  | 111 |
| Figura 5.20: Eficiência de Remoção de SST ao longo do tempo.....   | 112 |
| Figura 5.21: Eficiência de Remoção de SSF ao longo do tempo.....   | 117 |
| Figura 5.22: Eficiência de Remoção de SSV ao longo do tempo.....   | 118 |
| Figura 5.23: Sólidos Totais ao longo do tempo.....   | 120 |
| Figura 5.24: Eficiência de remoção de ST ao longo do tempo.....  | 121 |
| Figura 5.25: Sólidos Totais Fixos ao longo do tempo.....   | 123 |
| Figura 5.26: Eficiência de remoção de STF ao longo do tempo.....   | 124 |
| Figura 5.27: Sólidos Totais Voláteis ao longo do tempo.....  | 125 |

|   |     |
|---|-----|
| Figura 5.28: Eficiência de remoção de STV ao longo do tempo.....                                | 126 |
| Figura 5.29: Sólidos Sedimentáveis ao longo do tempo.....                                       | 129 |
| Figura 5.30: Sólidos em Suspensão Totais intermediários.....                                    | 130 |
| Figura 5.31: Sólidos em Suspensão Fixos intermediários.....                                     | 131 |
| Figura 5.32: Sólidos em Suspensão Voláteis intermediários.....                                  | 131 |
| Figura 5.33: Relação entre SSV/SST.....   | 132 |
| Figura 5.34: Sólidos Totais intermediários.....   | 133 |
| Figura 5.35: Sólidos Totais Fixos intermediários.....   | 134 |
| Figura 5.36: Sólidos Totais Voláteis intermediários.....  | 134 |
| Figura 5.37: Oxigênio Dissolvido na Câmara Aeróbia e saída do reator ao longo do tempo.....     | 136 |
| Figura 5.38: Fósforo Total ao longo do tempo.....   | 137 |
| Figura 5.39: Eficiência de remoção de Fósforo Total ao longo do tempo.....                      | 138 |
| Figura 5.40: Nitrogênio Ammoniacal ao longo da Fase 4.....                                      | 140 |
| Figura 5.41: Eficiência de remoção de Nitrogênio Ammoniacal ao longo da Fase 4.....             | 141 |
| Figura 5.42: Nitrogênio Total Kjeldahl ao longo da Fase 4.....                                  | 143 |
| Figura 5.43: Sólidos em Suspensão Totais presentes no lodo recirculado ao longo do tempo.....   | 145 |
| Figura 5.44: Sólidos em Suspensão Fixos presentes no lodo recirculado ao longo do tempo.....    | 146 |
| Figura 5.45: Sólidos em Suspensão Voláteis presentes no lodo recirculado ao longo do tempo..... | 146 |
| Figura 5.46: Sólidos Totais presentes no lodo recirculado ao longo do tempo.....                | 147 |
| Figura 5.47: Sólidos Totais Fixos presentes no lodo recirculado ao longo do tempo.....          | 147 |
| Figura 5.48: Sólidos Totais Voláteis presentes no lodo recirculado ao longo do tempo.....       | 148 |
| Figura 5.49: Índice Volumétrico de Lodo – Lodo recirculado.....                                 | 148 |
| Figura 5.50: Valores de pH do lodo recirculado ao longo do tempo.....                           | 149 |

## **LISTA DE TABELAS**

|   |    |
|---|----|
| Tabela 3.1: Vantagens e limitações do processo anaeróbio para tratamento de efluentes (Adaptado de LETTINGA <i>et al.</i> 1980).....                    | 21 |
| Tabela 3.2: Desempenho do Reator Compartimentado Anaeróbio sob diferentes TCO, no estado de regime estacionário.....                                    | 24 |
| Tabela 3.3: Alta Carga de Carregamento Orgânico.....  | 30 |
| Tabela 3.4: Baixa Carga de Carregamento Orgânico.....   | 30 |
| Tabela 3.5: Pesquisas realizadas em reatores anaeróbios compartimentados.....   | 31 |
| Tabela 3.6: Eficiência de um reator anaeróbio compartimentado<br>(Tenjo, Colômbia).....   | 33 |
| Tabela 3.7: Vantagens e desvantagens do reator compartimentado anaeróbio.....   | 34 |
| Tabela 3.8: Agrupamento de organismos de diversos gêneros presentes nos sistemas de lodos ativados.....   | 36 |
| Tabela 3.9: Vantagens e desvantagens do processo aeróbio para tratamento de efluentes (SILVA, 1993; COLETTI, 1997;<br>VON SPERLING 1997).....           | 41 |
| Tabela 3.10: Vantagens e desvantagens do sistema de lodos ativados para tratamento de efluentes (SILVA, 1993; COLETTI, 1997;<br>von SPERLING 1997)..... | 45 |

|  |    |
|--|----|
| Tabela 3.11: Valores médios de DBO <sub>5</sub> e SS dos experimentos realizados por CHUDOBA <i>et al</i> (1991), no tratamento de águas residuárias provenientes do Hospital Hanwa-Senpoka, em Osaka – Japão..... | 46 |
| Tabela 4.1: Parâmetros e freqüência das análises.....  | 63 |
| Tabela 4.2: Tempo de detenção hidráulico (h) em cada câmara.....   | 65 |
| Tabela 4.3: Vazões de entrada e descarte na câmara 3.....  | 65 |
| Tabela 5.1: Valores médios, desvios padrão absolutos e percentuais da Temperatura atmosférica (°C).....  | 68 |
| Tabela 5.2: Valores médios, desvios padrão absolutos e percentuais da Temperatura para os efluentes (°C).....  | 70 |
| Tabela 5.3: Valores médios, desvios padrão absolutos e percentuais para o pH.....  | 72 |
| Tabela 5.4: Valores de pH detectados na entrada da E.T.E.....  | 74 |
| Tabela 5.5: Valores médios, desvios padrão absolutos e percentuais, para Alcalinidade Total (mg.CaCO <sub>3</sub> .L <sup>-1</sup> ).....  | 76 |
| Tabela 5.6: Valores médios, desvios padrão absolutos e percentuais, para Alcalinidade Parcial (mg.CaCO <sub>3</sub> .L <sup>-1</sup> ).....  | 76 |
| Tabela 5.7: Amplitude de variação de Alcalinidade Parcial e Total.....   | 78 |
| Tabela 5.8: Valores médios, desvios padrão absolutos e percentuais, para relação AI/AP, Alcalinidade Intermediária (pH 5,75 até 4,3; AI = AT – AP) / Alcalinidade Parcial (até pH = 5,75).....                     | 79 |
| Tabela 5.9: Valores médios, desvios padrão absolutos e percentuais, para Ácidos Orgânicos Voláteis (mg.HAc.L <sup>-1</sup> ).....  | 82 |
| Tabela 5.10: Valores médios, desvios padrão absolutos e percentuais, para DQO <sub>total</sub> (mg.O <sub>2</sub> .L <sup>-1</sup> ).....  | 85 |
| Tabela 5.11: Valores médios, desvios padrão absolutos e percentuais, para percentagem de remoção de DQO <sub>total</sub> .....   | 86 |
| Tabela 5.12: Comparação entre média de duas amostras na remoção parcial de DQO <sub>total</sub> nas diferentes fases de estudo.....  | 87 |
| Tabela 5.13: Comparação entre média de duas amostras na remoção total de DQO <sub>total</sub> nas diferentes fases de estudo.....  | 88 |
| Tabela 5.14: Resultados da Comparação de média de duas   |    |

|  |     |
|--|-----|
| Tabela 5.14: Resultados da Comparaçāo de média de duas amostras entre os valores obtidos no presente estudo com estudo com ZANELLA (1999) na remoção total de DQO <sub>total</sub> nas diferentes fases de estudo..... | 90  |
| Tabela 5.15: Resultados da Comparaçāo entre média de duas amostras entre os valores obtidos no presente estudo com NOUR (1996) na remoção total de DQO <sub>total</sub> nas diferentes fases de estudo.....            | 91  |
| Tabela 5.16: Valores médios, desvios padrão absolutos e percentuais, para DQO <sub>filtrada</sub> (mg.O <sub>2</sub> .L <sup>-1</sup> ).....   | 93  |
| Tabela 5.17: Valores médios, desvios padrão absolutos e percentuais, para percentagem de remoção de DQO <sub>filtrada</sub> .....  | 94  |
| Tabela 5.18: Comparação entre média de duas amostras na remoção parcial de DQO <sub>filtrada</sub> nas diferentes fases de estudo.....   | 95  |
| Tabela 5.19: Comparação entre média de duas amostras na remoção total de DQO <sub>filtrada</sub> nas diferentes fases de estudo.....   | 96  |
| Tabela 5.20: Resultados da Comparaçāo entre média de duas amostras entre os valores obtidos no presente estudo com NOUR (1996) na remoção total de DQO <sub>filtrada</sub> nas diferentes fases de estudo.....         | 97  |
| Tabela 5.21: Resultados da Comparaçāo entre média de duas amostras entre os valores obtidos no presente estudo com LOPES (1999) na remoção total de DQO <sub>filtrada</sub> nas diferentes fases de estudo.....        | 98  |
| Tabela 5.22: Resultados da Comparaçāo entre média de duas amostras entre os valores obtidos no presente estudo com LOPES (1999) na remoção parcial de DQO <sub>filtrada</sub> nas diferentes fases de estudo.....      | 99  |
| Tabela 5.23: Valores médios, desvios padrão absolutos e percentuais, para TCO (kg.DQO.m <sup>-3</sup> .dia <sup>-1</sup> ) para fase anaeróbia e aeróbia.....  | 99  |
| Tabela 5.24 Valores médios, desvios padrão absolutos e percentuais, para DBO <sub>5</sub> (mg.O <sub>2</sub> .L <sup>-1</sup> ).....   | 102 |
| Tabela 5.25: Valores médios, desvios padrão absolutos e percentuais, para remoção de DBO <sub>5</sub> .....  | 103 |

|  |     |
|--|-----|
| Tabela 5.26: Comparação entre média de duas amostras na remoção parcial de DBO <sub>5</sub> nas diferentes fases de estudo.....  | 104 |
| Tabela 5.27: Comparação de média de duas amostras na remoção total de DBO <sub>5</sub> nas diferentes fases de estudo.....   | 105 |
| Tabela 5.28: Resultados da Comparação entre média de duas amostras entre os valores obtidos no presente estudo com ZANELLA (1999) na remoção parcial e total de DBO <sub>5</sub> nas diferentes fases de estudo..... | 107 |
| Tabela 5.29: Valores de TDH e velocidades ascensionais.....  | 108 |
| Tabela 5.30: Velocidades ascendentes recomendadas para o projeto de reatores UASB tratando esgoto doméstico.....   | 108 |
| Tabela 5.31: Valores médios, desvios padrão absolutos e percentuais, para Sólidos em Suspensão Totais (mg.L <sup>-1</sup> ).....   | 109 |
| Tabela 5.32: Valores médios, desvios padrão absolutos e percentuais, para Sólidos em Suspensão Fixos (mg.L <sup>-1</sup> ).....  | 109 |
| Tabela 5.33: Valores médios, desvios padrão absolutos e percentuais, para Sólidos em Suspensão Voláteis (mg.L <sup>-1</sup> ).....   | 110 |
| Tabela 5.34: Valores médios, desvios padrão absolutos e percentuais, para remoção de Sólidos em Suspensão Totais.....  | 112 |
| Tabela 5.35: Comparação entre média de duas amostras na remoção parcial de SST nas diferentes fases de estudo.....   | 113 |
| Tabela 5.36: Comparação entre média de duas amostras na remoção total de SST nas diferentes fases de estudo.....   | 114 |
| Tabela 5.37: Resultados da Comparação entre média de duas amostras entre os valores obtidos no presente estudo com NOUR (1996) na remoção total de SST nas diferentes fases de estudo.....                           | 115 |
| Tabela 5.38: Resultados da Comparação entre média de duas amostras entre os valores obtidos no presente estudo com LOPES (1999) na remoção total de SST nas diferentes fases de estudo.....                          | 116 |
| Tabela 5.39: Valores médios, desvios padrão absolutos e percentuais, para remoção de Sólidos em Suspensão Fixos.....   | 117 |

|  |     |
|--|-----|
| Tabela 5.40: Valores médios, desvios padrão absolutos e percentuais, para remoção de Sólidos em Suspensão Voláteis.....              | 118 |
| Tabela 5.41: Valores médios, desvios padrão absolutos e percentuais, para Sólidos Totais.....  | 119 |
| Tabela 5.42: Valores médios, desvios padrão absolutos e percentuais, para remoção de Sólidos Totais.....                             | 120 |
| Tabela 5.43: Valores médios, desvios padrão absolutos e percentuais, para Sólidos Totais Fixos.....                                  | 123 |
| Tabela 5.44: Valores médios, desvios padrão absolutos e percentuais, para remoção de Sólidos Totais Fixos.....                       | 124 |
| Tabela 5.45: Valores médios, desvios padrão absolutos e percentuais, para Sólidos Totais Voláteis.....                               | 125 |
| Tabela 5.46: Valores médios, desvios padrão absolutos e percentuais, para remoção de Sólidos Totais Voláteis.....                    | 126 |
| Tabela 5.47: Valores médios, desvios padrão absolutos e percentuais, para Sólidos Sedimentáveis ( $\text{mL.L}^{-1}$ ).....          | 128 |
| Tabela 5.48: Relação SSV/SST das tomadas intermediárias.....   | 132 |
| Tabela 5.49: Valores médios, desvios padrão absolutos e percentuais, para Oxigênio Dissolvido ( $\text{mg.O}_2.\text{L}^{-1}$ )..... | 135 |
| Tabela 5.50: Valores médios, desvios padrão absolutos e percentuais, para Fósforo Total ( $\text{mg.L}^{-1}$ ).....                  | 137 |
| Tabela 5.51: Valores médios, desvios padrão absolutos e percentuais, para remoção de Fósforo Total.....                              | 138 |
| Tabela 5.52: Valores médios, desvios padrão absolutos e percentuais, para Nitrogênio Ammoniacal ( $\text{mg.L}^{-1}$ ).....          | 140 |
| Tabela 5.53: Valores médios, desvios padrão absolutos e percentuais, para remoção de Nitrogênio Ammoniacal.....                      | 141 |
| Tabela 5.54: Valores médios, desvios padrão absolutos e percentuais, para Nitrogênio Total Kjeldahl.....                             | 142 |
| Tabela 5.55: Valores médios, desvios padrão absolutos e percentuais, para remoção de Nitrogênio total Kjeldahl.....                  | 143 |

## **LISTA DE ABREVIATURAS E SÍMBOLOS**

|         |  |
|---------|--|
| °C      | Grau centígrado  |
| <       | Menor  |
| %       | Porcentagem  |
| ABES    | Associação Brasileira de Engenharia Sanitária                                    |
| ABR     | <i>Anaerobic Baffled Reactor</i>   |
| AI      | Alcalinidade Intermediária   |
| AOV     | Ácidos Orgânicos Voláteis  |
| AP      | Alcalinidade Parcial   |
| AT      | Alcalinidade Total   |
| B1      | Complexo de vitaminas B1   |
| B12     | Complexo de vitaminas B12  |
| C1      | Câmara 1   |
| C2      | Câmara 2   |
| C3      | Câmara 3   |
| CA      | Câmara Aerada  |
| CETESB  | Companhia de Tecnologia de Saneamento Ambiental                                  |
| cm      | Centímetros  |
| CSTR    | <i>Continually stirred tank reactor</i>  |
| DAE     | Departamento de Água e Esgoto  |
| DBO     | Demanda bioquímica de oxigênio ( $\text{mg.O}_2 \cdot \text{L}^{-1}$ )           |
| DBOfilt | Demanda bioquímica de oxigênio filtrável ( $\text{mg.O}_2 \cdot \text{L}^{-1}$ ) |

|                 |  |
|-----------------|--|
| DQO             | Demandânia química de oxigênio ( $\text{mg.O}_2.\text{L}^{-1}$ )               |
| DQOfilt         | Demandânia química de oxigênio filtrável ( $\text{mg.O}_2.\text{L}^{-1}$ )     |
| E.S.            | Espírito Santo   |
| E.T.E.          | Estação de Tratamento de Esgotos   |
| g               | Grama  |
| Ka              | Constante de dissociação do sistema HA/A <sup>-</sup>                          |
| L               | Litro  |
| Lbf             | Libra Força  |
| m               | Metro  |
| mm              | Milímetro  |
| min             | Minuto   |
| NTK             | Nitrogênio Total Kjeldahl  |
| OD              | Oxigênio Dissolvido ( $\text{mg.O}_2.\text{L}^{-1}$ )                          |
| pol             | Polegada   |
| PVC             | Policloreto de Vinila  |
| Q               | Vazão ( $\text{L}.\text{min}^{-1}$ )   |
| r <sub>t</sub>  | Taxa relativa de digestão a 30 °C ( $\text{mg.L}^{-1}.\text{d}^{-1}$ )         |
| r <sub>30</sub> | Taxa relativa de digestão a temperatura T ( $\text{mg.L}^{-1}.\text{d}^{-1}$ ) |
| SS              | Sólidos em Suspensão ( $\text{mL.L}^{-1}$ )                                    |
| SSF             | Sólidos em Suspensão Fixos ( $\text{mg.L}^{-1}$ )                              |
| SST             | Sólidos em Suspensão Total ( $\text{mg.L}^{-1}$ )                              |
| SSV             | Sólidos em Suspensão Voláteis ( $\text{mg.L}^{-1}$ )                           |
| ST              | Sólidos Totais ( $\text{mg.L}^{-1}$ )  |
| STF             | Sólidos Totais Fixos ( $\text{mg.L}^{-1}$ )                                    |
| STV             | Sólidos Totais Voláteis ( $\text{mg.L}^{-1}$ )                                 |
| t               | Unidade de tempo (dias)  |
| TCO             | Taxa de Carregamento Orgânico ( $\text{kg.DQO.m}^{-3}.\text{dia}^{-1}$ )       |
| TDH             | Tempo de Detenção Hidráulico   |
| v.              | Volume   |
| UASB            | <i>Up Flow Aanerobic Sludge Blanket</i>  |
| X               | Concentração de bactérias  |

## **RESUMO**

Silva, Gustavo Henrique Ribeiro. **Reator compartimentado anaeróbio/aeróbio tratando esgoto sanitário: Desempenho e Operação.** Campinas, Faculdade de Engenharia Civil, Universidade Estadual de Campinas, 2001. 166 pp . Dissertação de Mestrado.

No presente trabalho de pesquisa foi estudada uma alternativa de união de processos anaeróbios e aeróbios sob a forma de um reator compartimentado anaeróbio/aeróbio, no tratamento de esgoto sanitário. O reator era composto por quatro câmaras seqüenciais, sendo as três primeiras anaeróbias e a última aeróbia, totalizando um volume aproximado de 2,5 m<sup>3</sup>. O lodo gerado pelo reator foi separado em um decantador laminar e recirculado à quarta câmara. O reator, localizado em uma E.T.E. da cidade de Limeira, SP, foi operado durante um período de 444 dias, dividido em cinco fases, com tempo de detenção hidráulica (TDH) total variando de 7 a 16 horas, alimentado com esgoto sanitário que havia recebido tratamento preliminar. As cinco fases de operação corresponderam a 10, 16, 12, 8 e 7 horas de TDH. Os valores de pH ao longo de todas as câmaras e decantador, variaram entre 5,7 e 8,3 e o valor médio foi de 6,8, não sendo necessário correção e pH durante o período de estudo. Os melhores valores de remoção de DBO<sub>5</sub> foram obtidos na Fase 4 (TDH=8 horas), 56,9 a 95,7%. Contudo o teste estatístico de comparação de médias de duas amostras, verificou não haver diferença significativa entre as fases, exceto Fase 2, ao nível de P=0,05. O desempenho do reator quanto a remoção de DQO<sub>total</sub> e SST foi semelhante ao obtido para DBO<sub>5</sub>, com valores de 31,4 a 95,6 e 21,0 a 97,3%, respectivamente, o mesmo ocorrendo para o teste estatístico realizado. Os valores encontrados para oxigênio dissolvido no interior da câmara 4 (aeróbia) foram satisfatórios na maior parte do tempo, de acordo com os valores citados na literatura, alcançando valor máximo de 4,70 e mínimo de 0 mg O<sub>2</sub>.L<sup>-1</sup>. A presença do decantador laminar foi importante na remoção de sólidos provenientes do reator. Após o 107º dia de operação, o lodo de recirculação apresentou uma sedimentabilidade de boa a ótima. A configuração do sistema em estudo, promove adequado tratamento do efluente aplicado aliado a uma produção de lodo aeróbio de fácil gerenciamento.

**Palavras chave:** reator compartimentado anaeróbio/aeróbio, esgoto sanitário, tratamento anaeróbio, tratamento aeróbio.

## **1. INTRODUÇÃO**

A urbanização, o crescimento industrial e a elevação do padrão de vida provocaram um aumento na quantidade de esgotos municipais e agravaram as condições sanitárias nos últimos anos até o ponto em que não se pode mais confiar na simples diluição dos efluentes líquidos como forma de se evitar os indesejáveis efeitos da poluição.

A grande quantidade de matéria orgânica nos esgotos pode diminuir perigosamente o teor de oxigênio dissolvido na água, provocando mortandade de peixes e outros efeitos nocivos. Além disso, o despejo de esgotos poderia contaminar os corpos d'água com bactérias patogênicas. Assim, apesar de 99,9% dos esgotos urbanos serem constituídos por água, eles devem ser tratados para evitar consequências indesejáveis.

As águas da maioria dos rios brasileiros localizados nos grandes centros urbanos, principalmente das Regiões Sudeste e Sul, encontram-se impróprias para o consumo humano, devido ao grande número de indústrias e pessoas instaladas ali. Assim, os sistemas de tratamento de água para abastecimento municipal tornam-se cada vez mais sofisticados e onerosos. O grau de tratamento necessário depende do caráter e da composição dos esgotos e das possibilidades locais.

Um efluente, que não atenda às condições de lançamento (CONAMA 20/86), deve ser tratado. Para se atender essa importante premissa é necessária, então, a

implantação de um sistema de tratamento adequado às características desse efluente. Os efluentes inorgânicos são tratados na sua grande maioria por processos físico-químicos. Os orgânicos podem receber tratamento por processo físico-químico ou biológico. Os processos biológicos são adequados quando o efluente apresenta características biodegradáveis.

Tendo em vista a realidade econômica brasileira e a necessidade de implantação de estações de tratamento de esgoto sanitário, é muito importante que existam diversas opções de tecnologias adequadas às condições locais, capazes não só de apresentarem custos menores de implantação e operação que os sistemas convencionais, mas que produzam efluentes finais com a qualidade necessária a atender os padrões de lançamento exigidos.

Os processos biológicos que ocorrem na ausência de oxigênio livre, denominados anaeróbios. Ele pode apresentar como subproduto o gás metano, que pode ser utilizado como fonte de energia. Há cerca de 20 anos o interesse por este gás proporcionou um aumento na utilização do processo anaeróbio. Atualmente a produção de lodo em menor quantidade e já estabilizado é a característica mais valorizada deste processo. Outro processo de decomposição biológica, que ocorre na presença de oxigênio livre, é denominado processo aeróbio, são os mais utilizados e conhecidos. A implantação de sistemas com processos aeróbios necessitam de equipamentos como aeradores que demandam energia, e o lodo gerado como subproduto, ainda é passível de decomposição por ação biológica.

A decomposição anaeróbia é realizada basicamente por grupos de bactérias (eubactérias e arqueobactérias) em sintrofismo. Este equilíbrio depende primordialmente das condições ambientais, como pH, temperatura, composição do meio etc., assim, o controle das condições ambientais do sistema é fundamental para garantir a eficiência do processo. O conhecimento das relações entre os parâmetros operacionais e a eficiência do processo permite o dimensionamento e manutenção do sistema.

Na tentativa de minimizar as desvantagens e otimizar as vantagens presentes em ambos os processos, busca-se a união dos processos biológicos de tratamento de águas resíduárias anaeróbios - que possuem baixa produção de lodo com elevado grau de estabilização aliado a um baixo consumo de energia elétrica, - com os processos aeróbios – que proporcionam uma boa qualidade e, estética do efluente, mas com uma alta geração de lodo.

A união desses dois processos de tratamento poderá ser de grande ajuda na manutenção da qualidade de vida nos corpos d'água, bem como na recuperação, mesmo que lenta, de muitos rios e lagos que já tiveram a sua qualidade alterada pelos resíduos produzidos pelo ser humano.

No presente trabalho será proposta uma alternativa para a realização dessa união de processos sob a forma de um reator compartimentado anaeróbio/aeróbio composto por quatro câmaras, com a finalidade de tratar esgoto sanitário.

As vantagens de um reator compartimentado são: a sua fácil construção, envolvendo menores custos que outras configurações, além de proporcionar uma boa estabilidade no processo de tratamento devido a sua divisão em câmaras.

O reator será composto por quatro câmaras seqüenciais, sendo as três primeiras anaeróbias e a última aeróbia, totalizando um volume de aproximadamente 2,5 m<sup>3</sup>. O lodo gerado pelo reator será capturado em um decantador laminar e recirculado para a quarta câmara com a finalidade de, além da manutenção de alta qualidade de biomassa ativa no sistema, proporcionar uma maior estabilização do lodo.

## **2. OBJETIVOS**

Esta pesquisa tem por objetivo principal estudar o comportamento das variáveis que descrevem os processos anaeróbio e aeróbio, em um reator compartimentado, de forma a determinar os parâmetros operacionais mais adequados ao sistema.

### **2.1 OBJETIVOS ESPECÍFICOS**

- a) Estudar o comportamento do sistema quando da variação do tempo de detenção hidráulica (TDH), da fase anaeróbia, no intervalo de 4 a 12 horas, mantendo o tempo de detenção hidráulica (TDH) da fase aeróbia em 4 horas;
- b) Estudar o comportamento do sistema quando da variação do tempo de detenção hidráulica (TDH) da fase aeróbia no intervalo de 2 a 4 horas, determinando o tempo de detenção hidráulica (TDH) mais adequado para a fase anaeróbia, mantendo este constante;

### **3 REVISÃO BIBLIOGRÁFICA**

Esta revisão ilustrará aspectos relevantes à compreensão do trabalho que será desenvolvido, sendo composta por itens relacionados aos processos anaeróbios e aeróbios de tratamento.

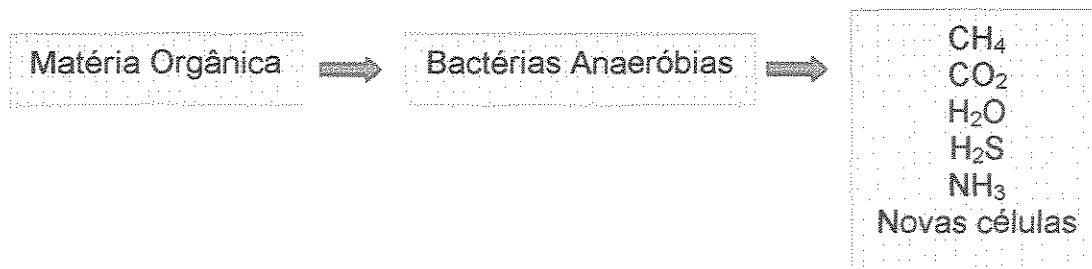
Na literatura são poucos os trabalhos que abordam sistemas de tratamento de águas residuárias híbridos (anaeróbio e aeróbio) de reatores não convencionais, ficando, em sua maior parte, apenas com a justaposição de reatores, nos quais o sistema anaeróbio exerce a função de pré-tratamento.

#### **3.1 PROCESSO BIOLÓGICO ANAERÓBIO**

O processo anaeróbio baseia-se na utilização de microrganismos, na ausência de oxigênio livre, para a degradação de matéria orgânica. Esta degradação refere-se às reações que reduzem as dimensões de partículas, tornando-as solúveis ou, a nível molecular, quebram cadeias ou ligações triplas ou duplas existentes. Os produtos finais do processo anaeróbio são metano e compostos inorgânicos, incluindo o dióxido de carbono e amônia (McCARTY, 1982).

As pesquisas com processos anaeróbios no Brasil tiveram seu início por volta de 1975, em função da crise do petróleo de 1973, com o objetivo de se empregar esse tipo de tratamento como fonte alternativa de energia (HIRATA, 1994).

A digestão anaeróbia pode ser considerada como um ecossistema onde diversos grupos de microorganismos trabalham interativamente na conversão da matéria orgânica complexa em metano, gás carbônico, água, gás sulfídrico e amônia, além de novas células bacterianas (CHERNICHARO, 1997).



**Figura 3.1:** Esquema da conversão de matéria orgânica

De maneira geral pode-se dividir o processo de digestão anaeróbia em quatro fases distintas. São elas:

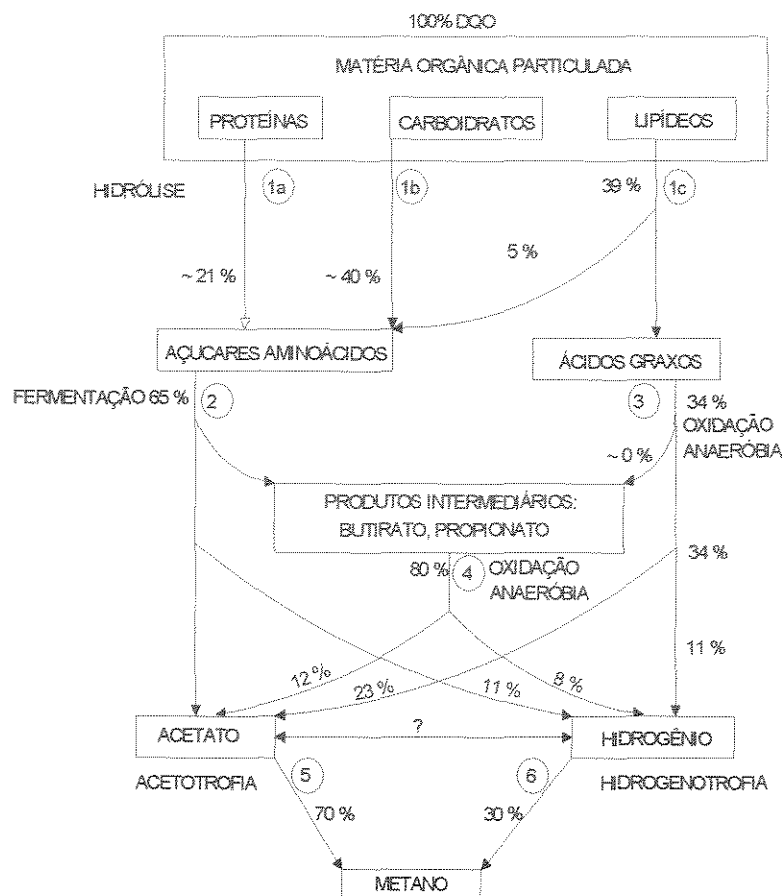
a) *hidrólise*: o substrato orgânico é convertido a compostos de menor massa molecular pelas enzimas excretadas pelas bactérias fermentativas. As proteínas se degradam para formarem aminoácidos, os lipídeos são metabolizados a ácidos graxos de cadeia longa de carbono e glicerina, e os carboidratos são convertidos a açúcares solúveis (mono e dissacarídeos);

b) *acidogênese*: os compostos gerados na hidrólise são agora convertidos pelas bactérias anaeróbias restritas a substâncias mais simples, tais como os ácidos graxos voláteis (acético, propiônico e butírico), álcoois e compostos simples (CO<sub>2</sub>, H<sub>2</sub>, NH<sub>3</sub>, H<sub>2</sub>S);

e na produção de metano. Dependendo do estado de oxidação do material orgânico a ser convertido, a formação do ácido acético pode ser acompanhada pelo surgimento de CO<sub>2</sub> e H<sub>2</sub>. A pressão parcial do gás H<sub>2</sub> influencia significativamente na cinética desta etapa; e,

*d) metanogênese:* É a fase que limita o processo de digestão anaeróbia, exceto nos casos em que a hidrólise de um composto tenha velocidade significativamente pequena, como ocorre com os lipídios. O metano é produzido pelas arqueas metanogênicas acetotróficas, a partir da redução do ácido acético, e pelas arqueas metanogênicas hidrogenotróficas, a partir da redução CO<sub>2</sub> pelo H<sub>2</sub>. As arqueas metanogênicas acetotróficas geralmente limitam a taxa de conversão dos compostos orgânicos a biogás (Van HANDEL & LETTINGA, 1994). O fluxograma simplificado das etapas da digestão anaeróbia pode ser observado na Figura 3.2:

Nos sistemas de tratamento anaeróbio procura-se acelerar o processo de digestão, criando-se condições favoráveis. Essas condições se referem tanto ao próprio projeto do sistema de tratamento como às condições operacionais nele existentes. Em relação ao projeto de sistemas de tratamento têm-se duas prerrogativas básicas: (a) o sistema de tratamento deve manter grande massa de bactérias ativas que atue no processo da digestão anaeróbia e (b) é necessário que haja contato intenso entre o material orgânico presente no afluente e a massa bacteriana no sistema. Quanto às condições operacionais, os fatores que mais influem são a temperatura, o pH, a presença de elementos nutrientes e a ausência de materiais tóxicos no afluente (CAMPOS, 1999).



**Figura 3.2:** Seqüências metabólicas da digestão anaeróbia na degradação de esgotos sanitários (Fonte: KASPAR e WUHRMANN *apud* FORESTI, 1987)

As reações que compõem o processo de digestão anaeróbia são numerosas e complexas, produzindo muitos compostos intermediários, decorrentes do metabolismo microbiano e da bioquímica do processo anaeróbico.

### 3.1.1 MICROBIOLOGIA: BACTÉRIAS

O número de espécies de microrganismos que coexistem em sistemas anaeróbios é muito grande. SOUBES (1994) cita que em um biodigestor, que recebe

polímeros naturais, foram identificadas mais de 130 espécies diferentes. Dentre estas, ocorre a presença de bactérias, protozoários e fungos.

Os principais microrganismos empregados no processo anaeróbio, comentados por MALINA (1992), são as bactérias.

As diversas etapas envolvidas na estabilização da matéria orgânica inicial são realizadas por grupos distintos de bactérias, mas que são dependentes entre si. O substrato inicial é utilizado por um grupo específico de bactérias que produz compostos intermediários, os quais são o substrato para um segundo grupo e, assim por diante, até a estabilização desse substrato inicial (FORESTI, 1987).

Em tratamento de águas residuárias, as bactérias de maior interesse são classificadas como heterotróficas (as de vida simbiótica), pois transformam a matéria orgânica em minerais como gás metano e dióxido de carbono, conforme relata MALINA (1992).

As reações heterotróficas envolvem:

- a) Reações catalisadas por enzimas;
- b) Metabolismo respiratório: transferência externa de elétrons;
- c) Metabolismo fermentativo: não envolve transferência externa de elétrons, menor produção de energia, crescimento mais lento.

O material orgânico requerido pelas bactérias heterotróficas é variável. Algumas se satisfazem com uma dieta constituída apenas de glicose e substâncias nitrogenadas muito simples; enquanto outras exigem vários aminoácidos, além de gorduras, açúcares, etc.

Os microorganismos que participam do processo de decomposição anaeróbia podem ser divididos em três importantes grupos de bactérias, com comportamentos fisiológicos distintos:

- - Bactérias Fermentativas: transformam, por hidrólise, os polímeros em monômeros, e estes em acetato, hidrogênio, dióxido de carbono, ácidos orgânicos de cadeia curta, aminoácidos e outros produtos como glicose;
- - Bactérias Acetogênicas: produtoras de hidrogênio, o qual converte os produtos gerados pelo primeiro grupo (aminoácidos, açúcares, ácidos orgânicos e álcoois) em acetato, hidrogênio e dióxido de carbono;
- - Os produtos finais do segundo grupo são substratos essenciais para o terceiro grupo, que por sua vez constitui dois diferentes grupos de "arqueas metanogênicas". Um grupo usa o acetato, transformando-o em metano e dióxido de carbono, enquanto o outro produz metano, através da redução do dióxido de carbono (CHERNICHARO, 1997).

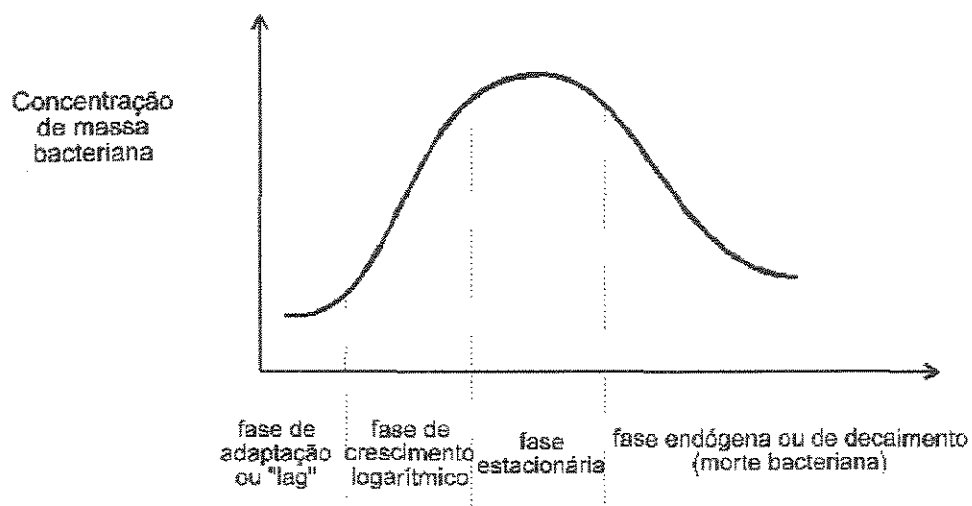
### **3.1.2 CINÉTICA**

Segundo METCALF e EDDY (1991), a maioria das bactérias se reproduzem por fissão binária, onde um microorganismo divide-se formando dois novos indivíduos com características genéticas, na maioria das vezes, iguais ao do organismo gerador. Dependendo do tipo de bactéria, o tempo para ocorrer essa divisão pode variar de menos de 20 minutos até alguns dias. Essa divisão é influenciada por limitações ambientais, como concentração de substrato, presença ou não de nutrientes e disponibilidade de espaço físico. Nesses princípios se baseia a modelação matemática clássica da cinética de degradação biológica, desenvolvida para processos anaeróbios, e a desenvolvida para processos aeróbios.

Uma concentração de bactérias submetidas a um meio de cultura atravessa fases distintas. METCALF & EDDY (1991) apresentam o perfil do crescimento padrão de bactérias, conforme a Figura 3.3, dividindo-o em quatro fases:

- a) A fase de adaptação, ou fase *lag*: com a adição de um inóculo a um meio de cultura, esta fase representa o tempo requerido pelo organismo para se adaptar ao seu novo meio e iniciar seu processo de divisão;
- b) A fase de crescimento logarítmica: durante este período, as células dividem-se à taxa determinada por seu tempo de geração e sua habilidade ao processo de alimentação;
- c) A fase estacionária: onde a população permanece estacionária. As razões para este fenômeno são: que as células consumiram todo o substrato ou nutrientes para crescimento ou que o crescimento de novas células está equilibrado com a morte de células velhas; e,
- d) Fase endógena ou de decremento: durante esta fase, a taxa de morte bacteriana excede a produção de novas células. Em alguns casos, a "fase de morte" logarítmica é o inverso da fase de crescimento logarítmico.

Em processos contínuos de tratamento biológico, deseja-se que a população bacteriana alcance seu máximo de crescimento, o que equivale à fase estacionária de crescimento. Desta forma, a matéria orgânica contida na água resíduária é degradada com maior eficiência.



**Figura 3.3: Perfil de crescimento bacteriológico**  
Fonte: Adaptado de METCALF & EDDY (1991)

A duração de cada fase está relacionada à velocidade das reações metabólicas dos organismos envolvidos. Devido à especificidade das bactérias anaeróbias em relação ao substrato e ao fato de cada grupo de bactérias realizar apenas etapas das reações (e não as reações completas), a energia utilizada por bactéria é baixa, resultando em metabolismo lento.

Por existir um grande número de grupos bacterianos nos processos anaeróbios, e também pela grande quantidade de substratos e subprodutos envolvidos, é bastante difícil a equacionalização dos processos de conversão, embora os conhecimentos dos parâmetros cinéticos sejam de fundamental importância para um adequado e eficiente projeto de reatores anaeróbios.

Segundo VAN HANDEL e LETTINGA (1994), muitos pesquisadores se dedicaram à derivação de expressões cinéticas para descrever o metabolismo bacteriano. Muitas dessas expressões se baseiam no trabalho original realizado por MONOD, sobre a fermentação alcoólica de açúcares.

Segundo CHERNICHARO (1997), pode se dividir, para estudos cinéticos, o processo de digestão anaeróbia em três estágios:

- 1 - hidrólise de compostos orgânicos complexos;
- 2 - produção de ácidos orgânicos, e;
- 3 - produção de metano.

### **3.1.3 REQUISITOS AMBIENTAIS**

O equilíbrio dos processos anaeróbios depende de uma série de fatores ambientais, entre eles:

a) *Temperatura:*

A temperatura é o fator físico que mais interfere na seleção de espécies e na taxa de crescimento nos processos anaeróbios, já que os microorganismos não possuem um meio de controlar a própria temperatura, dependendo exclusivamente do meio onde estão (CHERNICHARO, 1997).

Em sistemas anaeróbios de tratamento de efluentes a temperatura deve variar o mínimo possível.

A maioria dos reatores anaeróbios são operados em temperaturas mesofílicas na faixa entre 30 a 37 °C, mas também podem ser operados a baixas temperaturas e longo tempo de residência celular (SPEECE, 1996).

VAN HAANDEL & LETTINGA (1994) comentam a dependência que a digestão anaeróbia tem em relação à temperatura. Citam que há, na taxa de digestão anaeróbia de um sistema, um máximo relativo de 35°C e um máximo absoluto de 55°C, aproximadamente. Assim, abaixo de 45°C, distingue-se a região mesofílica e acima desta temperatura, termofílica. Para tratamento anaeróbio de esgoto sanitário, a temperatura depende de fatores climáticos e apresenta-se abaixo da temperatura ótima de digestão. Valores de temperatura entre 30° e 40°C conferem uma taxa máxima de digestão anaeróbia; porém, para valores abaixo de 30°C, a taxa de digestão anaeróbia decresce a uma proporção de 11% por °C. A taxa relativa de digestão torna-se:

$$r_t = r_{30} \cdot (1,11)^{(t-30)} \quad \dots \dots \dots \quad (\text{eq.3.1})$$

onde:

$r_t$  – taxa relativa de digestão à temperatura  $T$  ( $\text{mg.L}^{-1}.\text{d}^{-1}$ );

$r_{30}$  - taxa relativa de digestão a 30 °C ( $\text{mg.L}^{-1}.\text{d}^{-1}$ ), e;

$t$  – temperatura de digestão (<30 °C).

A temperaturas baixas, a fração de sólidos orgânicos que pode ser metabolizada no processo é reduzida. A digestão anaeróbia pode ser possível a temperatura baixa, mas a eficiência e a taxa de digestão diminuem muito.

NACHAIYASIT (1995) apud BARBER (1999), operando um reator anaeróbio compartimentado não encontrou redução significativa na eficiência de remoção de DQO quando a temperatura diminuiu de 35 para 25 °C, atingindo uma estabilidade quanto aos valores em duas semanas.

b) pH

As arqueas metanogênicas são consideradas sensíveis ao pH, isto é, o crescimento ótimo ocorre em faixa estreita de pH, CAMPOS (1999).

SPEECE (1996) relatou que as arqueas metanogênicas se adaptam a pH entre 6,5 a 8,2, e as *Methanosarcina mazei* podem aceitar valores de pH menores que as outras arqueas da classe das metanogênicas.

No processo anaeróbio, os diferentes grupos de bactérias podem apresentar faixas ótimas de pH com valores diferentes. Por exemplo, as arqueas produtoras de metano têm um crescimento ótimo na faixa de pH entre 6,8 e 7,4, (ZEHNDER et al., 1982).

As bactérias produtoras de ácidos graxos voláteis, produtos gerados durante a decomposição anaeróbia, têm um crescimento ótimo na faixa de pH entre 5,0 e 6,0 (CHERNICHARO & AROEIRA, 1994).

c) Nutrientes

Em ordem decrescente de importância, são os seguintes nutrientes necessários às bactérias anaeróbias: nitrogênio, enxofre e fósforo (CHERNICHARO, 1997).

Por ser um grupo com características totalmente próprias, as arqueas metanogênicas necessitam de alguns micronutrientes especiais como: ferro, molibdênio, cobalto, níquel, selênio e tungstênio (FORESTI, 1987).

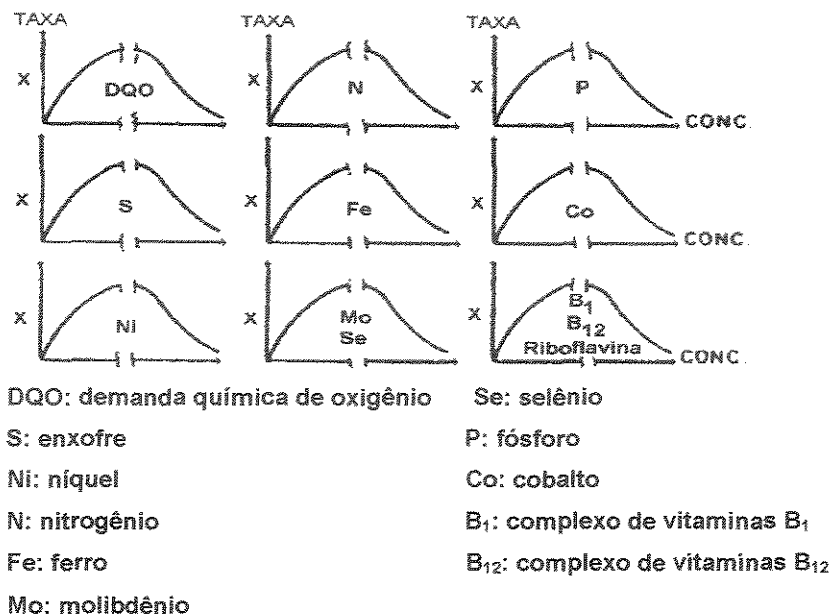
De acordo com MALINA (1992), os requerimentos nutricionais para o crescimento da massa microbiana e os fatores de crescimento são: energia, carbono, macronutrientes inorgânicos (nitrogênio e fósforo), micronutrientes inorgânicos (principais: enxofre, potássio, cálcio, magnésio, ferro, sódio e cloro; secundários: zinco, manganês, molibdênio, selênio, cobalto, cobre, níquel, vanádio e tungstênio) e fatores orgânicos de crescimento (vitaminas, aminoácidos, piridiminas e outros).

SPEECE (1994) cita o tempo do metabolismo microbiano em função dos nutrientes presentes. Utilizando dados experimentais obtidos por diversos pesquisadores, o autor elaborou os gráficos apresentados na Figura 3.4, onde se observa que os efeitos de diferentes nutrientes sobre a concentração de bactérias são semelhantes.

SPEECE et al. (1983, 1986) e TAKASHIMA & SPEECE (1989) apud LETTINGA (1995) conduziram experimentos que estimulam a produção de metano a partir do acetato pelos nutrientes traço. Entre os elementos traço, Fe, Ni, e Co foram essenciais para atingir altas taxas de conversão de acetato em metano.

Segundo CHERNICHARO (1997), as necessidades nutricionais das bactérias são usualmente estabelecidas a partir da composição química das células. Devido ao grande número de bactérias diferentes envolvidas no processo e a complexidade de se determinar a composição celular, usa-se uma composição empírica das células na determinação dos requisitos ambientais. De acordo com METCALF & EDDY (1991), uma fórmula aproximada para a fração orgânica é  $C_5H_7O_2N$ . Como indicado pela fórmula, 53 % de massa da fração orgânica é carbono. A formulação  $C_{60}H_{87}O_{23}N_{12}P$  pode ser usada quando fósforo é também considerado.

A quantidade requerida de cada nutriente é variável, o que não o torna menos importante. Se o nutriente em questão não atingir esta quantidade requerida, pode limitar o crescimento da massa microbiana. No entanto, se o nutriente exceder esta quantidade, pode assumir características tóxicas e inibir o crescimento da massa microbiana.



**Figura 3.4:** Efeitos dos nutrientes sobre a concentração de bactérias X, para grupos metanogênicos (Adaptado de SPEECE, 1994)

Muito pouco é conhecido sobre os elementos traço requeridos para a população mista na degradação de efluentes contendo metanol.

#### d) Toxicidade

Segundo GARCIA (1991), os fundamentos sobre toxicidade em microorganismos são:

- A toxicidade é função da concentração, ou seja, uma substância pode ser estimulante a baixas concentrações e, a partir de certa concentração, apresentar efeito tóxico;

- Uma substância somente é tóxica em estado solúvel;
- A adição de duas substâncias tóxicas pode acarretar efeito sinergético, (quando há a soma dos efeitos), ou antagônico (quando um neutraliza o outro);
- A toxicidade é função do estado de oxidação do elemento;
- Pode haver adaptação de microorganismos em relação a um tóxico, desde que sua administração ocorra de forma gradual.

As arqueas metanogênicas são consideradas como sendo as mais sensíveis em relação aos compostos potencialmente tóxicos entre todos os microorganismos presentes no processo de conversão de compostos orgânicos a metano (SPEECE, 1983).

Alguns dos compostos tóxicos que podem ser encontrados em grande parte nas águas residuárias são: metais pesados, amônia, sulfeto, compostos farmacológicos, detergentes e desinfetantes, solventes, entre outros.

Os valores de  $0,1 \text{ g.L}^{-1}$  ( $\text{pH} = 6,85$ ) para sulfeto (HENZE e HARREMÓES, 1983) e  $0,2$  a  $1,0 \text{ g.L}^{-1}$  ( $\text{pH}$  maior que 7,6) para amônia (FORESTI, 1991) são concentrações máximas que não produzem inibição ao processo com populações não adaptadas de microorganismos.

Ácidos graxos voláteis também são considerados tóxicos ao processo, pois um aumento excessivo em sua concentração provoca uma queda no valor do pH. Com o consequente consumo da alcalinidade presente, para o tamponamento do sistema, produz-se um desequilíbrio entre as várias etapas do processo, prejudicando o sintrofismo bacteriano que caracteriza o metabolismo anaeróbio.

Muitos compostos tóxicos incluindo formaldeído, ácido acrílico, tricloroetileno, clorofórmio e cianeto são biodegradáveis e perderam sua toxicidade no processo anaeróbio (SPEECE, 1996).

### e) Alcalinidade

Devido à produção de ácido que se dá durante a solubilização e acidificação do processo de fermentação, que provocaria uma acidificação indesejada do meio, percebe-se a importância de um bom sistema de tamponamento no reator, capaz de manter o pH na faixa adequada.

Segundo SPEECE (1996), a neutralização do ácido acético com sódio, por exemplo, poderá elevar o pH do reator se resultar na produção de gás com 100 % de metano. Nesse caso, não haverá CO<sub>2</sub> suficiente para reagir com os álcalis que serão formados no processo.

Compostos, como CO<sub>2</sub> e ácidos graxos voláteis de cadeia curta, tendem a abaixar o pH, enquanto cátions geradores de alcalinidade, como íons de nitrogênio amoniacal provenientes da degradação de proteínas e o sódio originado da degradação de sabão, aumentam a alcalinidade e o pH (CAMPOS, 1999).

Um dos produtos finais de decomposição anaeróbia é o CO<sub>2</sub> que em presença de água forma o ácido carbônico. Este é um ácido fraco, cuja primeira constante de dissociação apresenta um valor muito adequado para se conseguir manter o pH de uma solução tamponada no valor exigido pelas arqueas metanogênicas, tornando-se necessária à presença de substâncias que consigam intervir no equilíbrio:

H<sub>2</sub>CO<sub>3</sub> ↔ H<sup>+</sup> = HCO<sub>3</sub><sup>-</sup>, deslocando-se para a direita. Substâncias que conseguem tal deslocamento são receptores de prótons, como as bases fortes (inadequadas para serem utilizadas em reatores anaeróbios, por poderem causar grandes variações momentâneas de pH), bases fracas como amônia (produto da decomposição anaeróbia de materiais protéicos) e ânions de ácidos mais fracos que o próprio H<sub>2</sub>CO<sub>3</sub>, como fosfatos, silicatos, sulfetos e de outros ácidos orgânicos fracos, encontrados comumente em reatores anaeróbios, que gerarão em solução sais solúveis do íon HCO<sub>3</sub><sup>-</sup> (MORAES, 1988).

Em reatores anaeróbios, os ânions de ácidos orgânicos, especialmente acetato (provavelmente o mais encontrado no meio), com valores de  $K_a$  maiores que  $10^{-6}$ , fazem com que a alcalinidade do meio seja superestimada.

Segundo MORAES (1988), a maneira mais adequada de se proceder a análise de alcalinidade é a titulação ponto a ponto, uma vez que, dependendo das espécies receptoras de prótons presentes, o ponto final de titulação é diferente de 4,3. Contudo, o desenvolvimento dessas curvas é um processo muito demorado para operação de rotina. Dessa forma, RIPLEY et al. (1986) aconselham a utilização da relação:

Alcalinidade Intermediária/Alcalinidade Parcial,

onde : Alcalinidade Intermediária (Alcalinidade predominantemente de Acetato) de pH 5,75 a 4,3;

Alcalinidade Parcial (Alcalinidade predominantemente de  $\text{HCO}_3^-$ ) até pH 5,75, como ferramenta de monitoramento por ser simples, barata e sensível a alterações do processo.

### **3.1.4 SISTEMAS ANAERÓBIOS DE TRATAMENTO**

Inicialmente devemos distinguir dois tipos de sistemas anaeróbios de tratamento de águas residuárias: os sistemas convencionais e os sistemas de alta taxa. A grande diferença entre esses dois grupos de reatores é basicamente a carga orgânica que pode ser tratada.

Como sistemas convencionais pode-se citar os digestores de lodo, tanques sépticos e lagoas anaeróbias.

Entre os sistemas de alta taxa destacam-se: filtros anaeróbios, reatores de manta de lodo (UASB - upflow anaerobic sludge blanket), reatores compartimentados (ABR - anaerobic baffled reactor), reatores de leito expandido ou fluidificado, etc.

O processo anaeróbio é comparado ao aeróbio, no que se refere à sua aplicabilidade a efluentes líquidos com matéria orgânica de características biodegradáveis.

Na Tabela 3.1 apresentam-se vantagens e limitações do processo anaeróbio para tratamento de efluentes.

As principais vantagens do sistema anaeróbio são: a baixa produção de lodo, a aeração desnecessária e a possibilidade de obtenção de biogás (SWITZENBAUM & GRADY, 1986, CAMPOS & DIAS, 1989, RINTALA 1991). Em ANAEROBIC (1979) são comentadas ainda a baixa demanda de nutrientes e a menor sensibilidade aos metais pesados.

**Tabela 3.1:** Vantagens e limitações do processo anaeróbio para tratamento de efluentes (Adaptado de LETTINGA *et al.*, 1980).

| Vantagens   | Limitações   |
|---|--|
| <ol style="list-style-type: none"> <li>1) Baixa produção de sólidos biológicos residuais;</li> <li>2) O lodo biológico residual é um produto altamente estabilizado, do qual pode-se extrair água facilmente;</li> <li>3) Baixo requerimento de nutrientes;</li> <li>4) Não requer energia para aeração;</li> <li>5) Produção de metano, que é um produto final utilizável;</li> <li>6) Podem-se aplicar altas cargas orgânicas, sob condições adequadas;</li> <li>7) O lodo anaeróbio mantém-se ativado por vários meses sem alimentação.</li> </ol> | <ol style="list-style-type: none"> <li>1) Processo mais sensível a alguns compostos específicos, como ao triclorometano, ao clorofórmio e ao cianeto, por exemplo;</li> <li>2) Longos períodos de tempo, em relação aos processos aeróbios, são requeridos para a partida do processo, como resultado da baixa taxa de crescimento das bactérias anaeróbias;</li> <li>3) Muitas vezes um pós-tratamento adequado é requerido antes que o efluente seja lançado aos cursos d'água;</li> <li>4) Pouca experiência prática;</li> <li>5) Passível emissão de odores, etc.</li> </ol> |

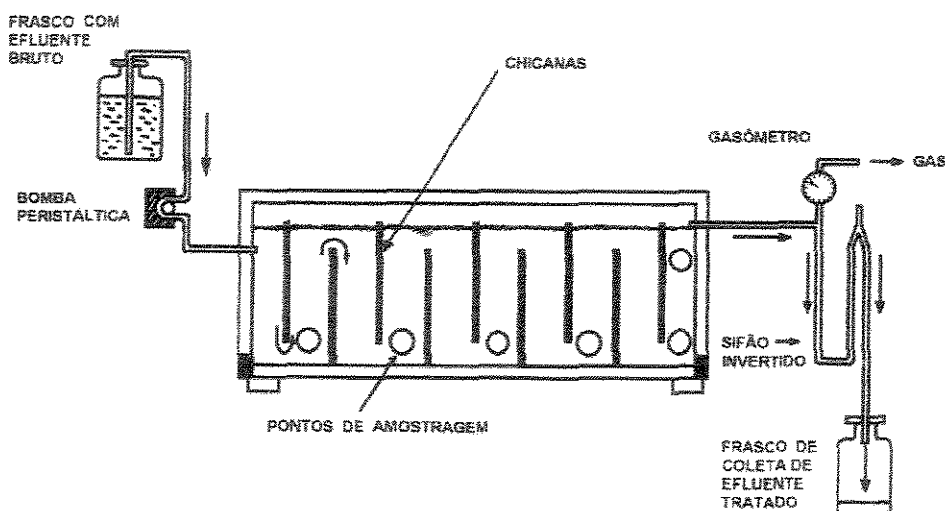
### 3.1.4.1 REATORES COMPARTIMENTADOS ANAERÓBIOS

O primeiro trabalho publicado sobre reator compartimentado anaeróbio se deve a BACHMANN *et al.* (1982) *apud* NOUR (1996), apresentado na Primeira Conferência Internacional de Processos Biológicos de Filme Fixo. Neste trabalho, os autores compararam vários tipos de reatores anaeróbios: filtro anaeróbio, reator anaeróbio de discos rotativos e o reator compartimentado anaeróbio, que foi definido como sendo vários reatores UASB em série com uma característica única, a de não necessitar de um crescimento granular.

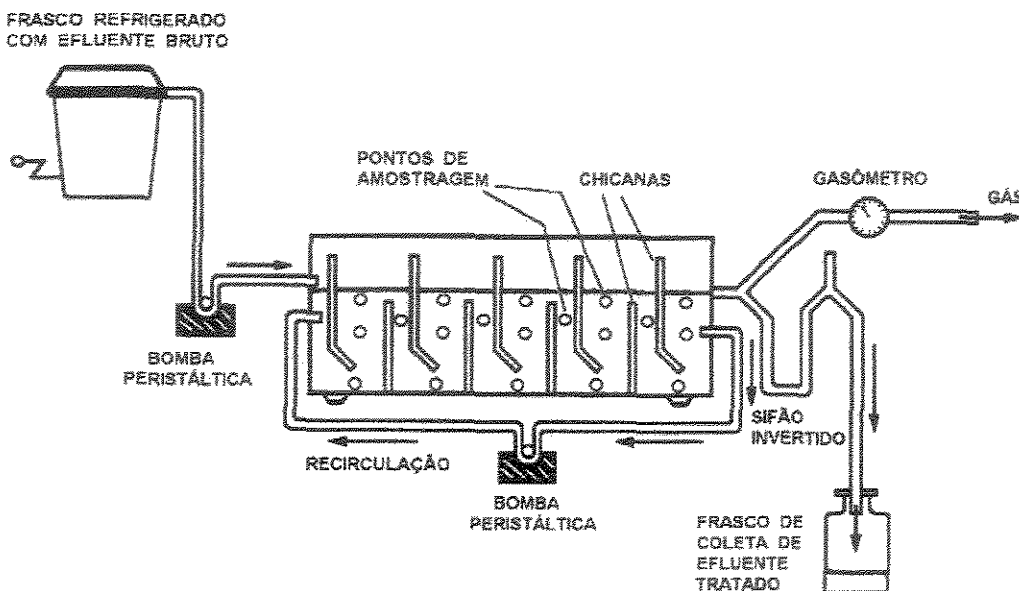
Um detalhe interessante foi a idéia da configuração inicial do reator anaeróbio compartimentado onde BACHMANN *et al.* (1982) *apud* NOUR (1996) imaginaram um

reator anaeróbio de discos rotativos funcionando de maneira estática, sem rotação dos discos.

A primeira concepção está apresentada na Figura 3.5 e, em seguida, a segunda configuração é mostrada na Figura 3.6. As duas configurações foram estudadas no trabalho de BACHMANN *et al.* (1982) *apud* NOUR (1996). A diferença principal entre os reatores compartimentados anaeróbios está na disposição das placas divisórias entre os compartimentos de fluxo ascendentes e descendentes de uma mesma câmara, de forma que no reator (Figura 3.6) o compartimento de fluxo descendente sofreu um estreitamento possibilitando um aumento no espaço reservado à manta de lodo do compartimento de fluxo ascendente e, assim, uma maior mistura entre o lodo e fluxo ascendente. O volume útil dos reatores foram de 0,68 e 6,30 litros, respectivamente.



**Figura 3.5:** Primeira concepção do reator anaeróbio compartimentado, (BACHMANN *et al.*, 1982, figura adaptada por NOUR, 1996)



**Figura 3.6:** Diagrama esquemático do sistema modificado contendo o reator compartmentado anaeróbio (BACHMANN et al., 1982, figura adaptada por NOUR, 1996)

Como pode ser verificado, a intenção era promover fluxos descendentes e ascendentes do afluente, dentro do reator por diversas vezes, possibilitando que o afluente atravesse seguidas vezes a densa camada de população microbiana presente na manta de lodo existente em cada câmara. Este artifício possibilitou um maior contato entre o afluente e os microorganismos responsáveis pela degradação dos compostos presentes, além de diminuir a perda de sólidos por arraste. Outra característica é a inexistência de dispositivos de separação de fases, líquida, gasosa e sólida, no alto de cada câmara, pois os sólidos arrastados pelos gases em uma câmara acabam sendo retidos na seguinte, exceto aqueles sólidos com densidade suficientemente pequena para não vencer a velocidade ascensional existente em outra câmara (NOUR, 1996).

BACHMANN (1985) publicou um trabalho onde foram estudados diversos aspectos sobre a operação do reator compartmentado anaeróbio em escala de bancada. O reator apresentava 13 litros de volume útil, 5 câmaras e configuração

semelhante à apresentada na Figura 3.6. O afluente utilizado no estudo era sintético, apresentando uma DQO média de  $8000 \text{ mg.L}^{-1}$  e pH na faixa de 6,6 a 7,2.

Este trabalho foi o primeiro a explicar as características do reator compartimentado anaeróbio, muito importante para o estudo do comportamento de um reator de nova concepção: eficiência na remoção e DQO frente à variação da taxa de carregamento orgânico (TCO) e tempo de detenção hidráulica (TDH), taxa de produção de metano e percentagem de metano no gás produzido durante a digestão. Os resultados deste trabalho estão apresentados na Tabela 3.2.

**Tabela 3.2:** Desempenho do Reator Compartimentado Anaeróbio sob diferentes TCO, no estado de regime estacionário

| Período de Operação | Dias de operação | TCO<br>(g.DQO.L <sup>-1</sup> .dia <sup>-1</sup> ) | TDH<br>(horas) | % de DQO removida | % de CH <sub>4</sub> no gás |
|---------------------|------------------|--|----------------|-------------------|-----------------------------|
| 1                   | 22               | 2,5  | 71             | 93                | 54                          |
| 2                   | 28               | 4,2  | 48             | 88                | 70                          |
| 3                   | 28               | 8,9  | 22             | 81                | 58                          |
| 4                   | 21               | 11,4   | 18             | 91                | 54                          |
| 5                   | 113              | 15,3   | 12             | 77                | 50                          |
| 6                   | 33               | 20,0   | 10             | 75                | 48                          |
| 7                   | 32               | 27,3   | 6,7            | 68                | 47                          |
| 8                   | 11               | 31,8   | 5,6            | 55                | 44                          |
| 9                   | 10               | 36,2   | 4,8            | 60                | 45                          |

Fonte: BACHMANN *et al.* (1985)

BACHMANN *et al.* (1985) chegaram a várias conclusões ressaltando a importância do reator compartimentado anaeróbio, e indicando ser este uma opção viável para se tratar anaerobiamente efluentes líquidos. As conclusões foram as seguintes:

- O reator compartimentado anaeróbio mostrou-se promissor para o tratamento de efluentes líquidos industriais, pois combinava alta estabilidade e confiabilidade com alto aproveitamento do volume do reator, apresentava uma configuração simples, em que o arraste de sólidos era dificultado pela presença das divisões em compartimentos;

- Redução dos riscos de entupimento e perda de massa biológica (microorganismos), sem a necessidade de sistemas de coleta de gases e separação de sólidos;
- Não necessidade de descarte de lodo em nenhuma das câmaras durante o período de operação do sistema;
- Necessidade de estudos com reatores compartimentados anaeróbios em escala piloto para a verificação do desempenho do sistema frente a produção de gás e o efeito na hidrodinâmica do processo (aparecimento de turbulência nas câmaras, modificando as taxas de transferência de massa entre os grânulos e fase líquida), a recirculação do efluente tratado, a freqüência e necessidade de descarte de sólidos, e da temperatura do afluente.

De acordo com CAMPOS (1999), este tipo de reator apresenta várias das principais vantagens dos reatores UASB, além de poder ser construído sem o separador de gases, portanto, com menores profundidades, facilitando sua execução enterrada e representando uma redução dos custos de implantação. Os reatores anaeróbios compartimentados são projetados com tempos de detenção hidráulica variando de 12 a 24 horas e profundidade de 2,5 a 3,5 metros.

NACHAIYASIT & STUCKEY (1995 b), observaram que a tendência de aumento da DQO na massa líquida do reator compartimentado anaeróbio, com o decréscimo do TDH (tempo de detenção hidráulica). Esse fenômeno foi, provavelmente, devido ao aparecimento de espaços mortos e formação de canais preferenciais juntamente com o menor tempo de contato entre os microorganismos e o substrato.

Segundo GROBICKI & STUCKEY (1992) a maior atividade bacteriana em termos de produção de gás, bem como o aumento da vazão, reduzem a formação de canais preferenciais, mantendo o leito de lodo no reator anaeróbio compartimentado parcialmente fluidificado, o que diminui o volume de espaço morto.

De acordo com BOOPATHY & TILCHE (1991), as principais vantagens do reator compartimentado híbrido anaeróbio são: o fato de não haver necessidade de sistema especial para separação de gás e sólidos; o regime de escoamento reduz o arraste hidráulico das bactérias e prescinde de que o lodo possua características de sedimentação além das usuais; pode ser operado por longos períodos e tempo sem remoção de lodo; tem capacidade para reter sólidos biológicos ativos em altas taxas; e, tem um projeto simples.

NOUR (1996), que estudou um reator compartimentado anaeróbio de 11 m<sup>3</sup> e quatro compartimentos tratando esgoto sanitário, em três fases (1<sup>a</sup> Fase – 12 horas de TDH e duração de 296 dias, 2<sup>a</sup> Fase – 8 horas de TDH e duração de 266 dias, 3<sup>a</sup> Fase - 12 horas de TDH e duração de 91 dias) obteve os seguintes valores de remoção de DBO<sub>5</sub> 37,3 a 80,6%; 26,1 a 81,7%; 55,7 a 86,3% respectivamente às fases, indicando que a operação do sistema com TDH de 12 horas tornava-o mais estável. Quanto à remoção de DQO<sub>total</sub>, os valores foram: 33,9 a 64,7%; 24,5 a 75,9%; 41,2 a 73,7%, respectivamente para as três fases.

No mesmo trabalho verificou-se que os valores de pH no efluente da saída de todos os compartimentos, em todas as fases de operação, estiveram dentro da faixa ótima de 6,8 a 7,2, não atingindo em nenhum momento valores considerados prejudiciais às atividades das arqueas metanogênicas. Também foi relatado que os valores de Alcalinidade Total apresentaram um aumento ao longo do reator, em todas as fases de operação estudadas.

POVINELLI (1994) realizou estudos preliminares com um dos primeiros reatores compartimentados anaeróbios construídos no Brasil em escala piloto para pesquisas, com volume de 11 m<sup>3</sup> e tratando esgoto sanitário. Neste trabalho foram obtidos resultados importantes quanto ao estudo da hidrodinâmica e partida do reator constituído de três câmaras e um compartimento para remoção de sólidos que sofressem arraste. Uma característica importante que deve ser ressaltada é a não

utilização de qualquer tipo de inóculo durante a etapa de partida. Os principais resultados obtidos foram os seguintes:

- a) a ausência de inóculo retardou o término da etapa da partida, que não se completou totalmente no período de estudo de 6 meses. O TDH utilizado nesta etapa foi de 12 horas;
- b) Mesmo sem inóculo, a eficiência de remoção de  $\text{DBO}_5$  e SSV atingiu valores de 70 e 50% respectivamente, valores considerados bons para reatores que tratam esgoto sanitário;
- c) No último mês de operação, os valores de  $\text{DBO}_5$  e SSV no efluente tratado atingiram valores de 80 e 60  $\text{mg L}^{-1}$  (valores próximos dos padrões de lançamento);
- d) Mesmo com uma pequena manta de lodo formada, o TDH de 12 horas mostrou ser um valor viável para a operação do reator;
- e) Os valores de pH dentro das várias câmaras permaneceram próximos do neutro;
- f) O reator apresentou, no estudo de sua hidrodinâmica, espaços mortos, recirculação interna, e fluxo tendendo a escoamento pistonado quanto maior o TDH.

Uma primeira experiência utilizando um Reator Compartimentado Anaeróbio no Brasil, ao nível de escala real, foi implantada na cidade paulista de Cosmópolis (BARROS e CAMPOS, 1991), em três etapas, acompanhando o crescimento populacional da cidade. A Figura 3.7 apresenta um esquema da unidade de tratamento pertencente a 1<sup>a</sup> etapa, em que segundo os autores “o reator conhecido neste projeto não mais poderia enquadrar-se no tipo de reator de chicanas, conforme proposto originalmente, sendo então denominado Reator Compartimentado Anaeróbio, para melhor adequar-se à situação”. No sistema, o esgoto sanitário, após o tratamento preliminar, entrava no reator constituído de 3 compartimentos em série com fluxo ascendente, com TDH total da ordem de 12 horas. O primeiro compartimento promovia a sedimentação e digestão dos sólidos, possuindo um volume de 180  $\text{m}^3$  e tempo de detenção da ordem de 3,0 horas. No segundo compartimento, projetado seguindo parâmetros adotados para reatores do tipo UASB, a velocidade ascensional era de 0,7

$\text{m.h}^{-1}$  e o TDH da ordem de 7,0 horas, para um volume de 475  $\text{m}^3$ . Segundo os autores, no primeiro compartimento prevaleciam as etapas de hidrólise e acidogênese e, no segundo compartimento, a metanogênese seria a etapa predominante. De forma a auxiliar a retenção de sólidos biológicos que poderiam ser arrastados pelo efluente proveniente do segundo compartimento, um leito de brita nº 4, funcionando como um filtro, foi instalado no compartimento de número 3, projetado para um TDH da ordem de 2,5 horas e a taxa de aplicação superficial de 0,9  $\text{m.h}^{-1}$ . O lodo biológico produzido nos compartimentos era removido quando necessário e lançado em leitos de secagem.

GROBICKI e STUCKEY (1992) apud BARBER e STUCKEY (1999), estudaram a hidrodinâmica em reatores (4-8 câmaras), utilizaram um traçador inerte ( $\text{Li}^+$ ), ambos com e sem biomassa, e vários tempos de detenção hidráulica. Os modelos forneceram um método útil para calcular o grau de mistura e volume não usado (conhecido como “espaço morto”) dentro do reator. Eles acharam baixos níveis de espaço morto (< 8% espaço morto) em comparação com outros reatores anaeróbios, 50-93% em filtros anaeróbios (YOUNG e YOUNG, 1988, apud BARBER e STUCKEY, 1999) e > 80% em CSTR (STUCKEY, 1983 apud BARBER e STUCKEY, 1999).

Vários autores têm tratado esgotos com altas e baixas cargas de carregamento orgânico e apresentado bons resultados como pode ser observado nas Tabelas 3.3 e 3.4.

Por meio da Tabela 3.5, podem-se observar os resultados de vários autores, realizados com reatores anaeróbios compartimentados.

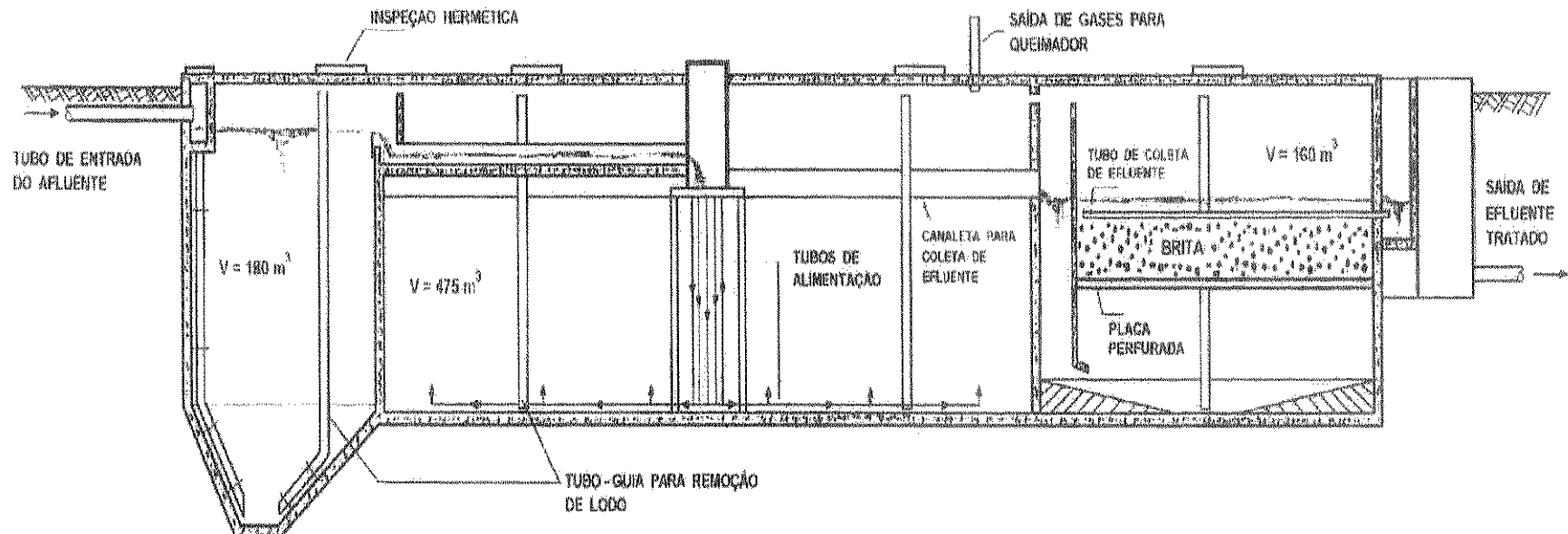


Figura 3.7 – Esquema do reator anaeróbio compartmentalizado

Fonte: BARROS e CAMPOS (1991)

**Tabela 3.3: Alta Carga de Carregamento Orgânico**

| Afluente                       | TDH (h) | DQO Afluente (g/L) | Vol. do reator (L) | Temperatura (°C) | Remoção de DQO (%) | TCO (kg.DQO/m <sup>3</sup> .d) | Referência               |
|--------------------------------|---------|--------------------|--------------------|------------------|--------------------|--------------------------------|--------------------------|
| Melaço Cru                     | 850     | 990                | 150                | 37               | 50                 | 28                             | Boopathy e Tilche, 1991  |
| Melaço de Destilaria de Álcool | 138-636 | 115,8              | 150                | 37               | 70-88              | 4,3-20                         | Boopathy e Tilche, 1992  |
| Efluente de Suínos             | 360     | 58,5               | 15                 | 35               | 62-69              | 4                              | Boopathy e Silvers, 1991 |
| Destilaria de uísque           | 360     | 51                 | 6,3                | 30               | >90                | 2,2-46                         | Boopathy et al., 1988    |

Fonte : Adaptado de BARBER e STUCKEY (1999)

**Tabela 3.4: Baixa Carga de Carregamento Orgânico**

| Afluente                      | TDH (h) | DQO (mg/L) |          | Remoção de DQO | TCO (kg.DQO/m <sup>3</sup> .d) | Referência                |
|-------------------------------|---------|------------|----------|----------------|--------------------------------|---------------------------|
|                               |         | afluente   | efluente |                |                                |                           |
| Esgoto Sanitário              | 87      | 438        | 109      | 75             | 0,13                           | Witthauer e Stuckey, 1982 |
| Esgoto Sanitário              | 48      | 492        | 143      | 71             | 0,25                           | Witthauer e Stuckey, 1982 |
| Esgoto Sanitário <sup>a</sup> | 84      | 445        | 72       | 84             | 0,13                           | Witthauer e Stuckey, 1982 |
| Sacarose <sup>b</sup>         | 6,8     | 473        | 74       | 74             | 1,67                           | Orozco, 1988              |
| Sacarose <sup>b</sup>         | 8       | 473        | 66       | 86             | 1,42                           | Orozco, 1988              |
| Sacarose <sup>b</sup>         | 11      | 441        | 33       | 93             | 0,96                           | Orozco, 1988              |
| Abatedouro                    | 26,4    | 730        | 80       | 89             | 0,67                           | Polprasert et al., 1992   |
| Abatedouro                    | 7,2     | 550        | 110      | 80             | 1,82                           | Polprasert et al., 1992   |
| Abatedouro                    | 2,5     | 510        | 130      | 75             | 4,73                           | Polprasert et al., 1992   |

Fonte : Adaptado de BARBER e STUCKEY (1999)

<sup>a</sup> Temperatura de 25 °C. <sup>b</sup> Temperaturas abaixo de 16 °C. Todos os outros trabalhos apresentados na tabela apresentaram temperaturas na faixa mesofílica.

**Tabela 3.5:** Pesquisas realizadas em reatores anaeróbios compartimentados  
 (Adaptado de BARBER e STUCKEY, 1999)

| Substrato                                   | Vol. Reactor (L) | Nº de compartimentos | Temp. (°C) | TDH (h) | TCO (kg.DQO/m <sup>3</sup> /d) | DQO de entrada (mg DQO/L) | Remoção de DQO (%) | Autor                            |
|---|------------------|----------------------|------------|---------|--------------------------------|---------------------------|--------------------|----------------------------------|
| Efluente de processamento de algas marinhas | 9,8              | 5                    | 35         | 360     | 0,4-2,4                        | 6000-36000                |                    | Chynoweth, 1980                  |
| Efluente de processamento de algas marinhas | 10               | 4                    | 35         |         | 1,6                            |                           |                    | Fanin <i>et al.</i> , 1981, 1982 |
| Mistura de proteínas e carboidratos         | 6,3              | 5                    | 35         |         | 2-20                           | 7100-7600                 | 79-82              | Bachmann <i>et al.</i> , 1983    |
|   | 8                | 6                    | 25-33      | 48-84   | 0,1-0,4                        | 480                       | 684                | Witthauer and Stuckey, 1982      |
| Mistura de proteínas e carboidratos         | 6,3              | 5                    | 35         | 4,8-71  | 2,5-36                         | 8000                      | 55-93              | Bachmann <i>et al.</i> , 1985    |
| Esterco de porco diluído                    | 20               | -                    | 30         | 60      | 1,8                            | < 5000                    | 75                 | Yang and Moengangongo, 1987      |
| Melaço                                      | 150              | 3                    | 37         |         | 5,5                            | 5000-10000                | 98                 | Yang <i>et al.</i> , 1988        |
| Sacarose                                    | 75               | 11                   | 13-16      | 6-12    | 0,7-2                          | 344-500                   | 85-93              | Orozco, 1988                     |
| Esgoto de destilaria de uísque              | 6,3              | 5                    | 30         | 360     | 2,2-3,5                        | 51600                     | 90                 | Boopathy <i>et al.</i> , 1988    |
| Mistura de proteínas e carboidratos         | 10               | 8                    | 35         | 20      | 1,2-4,8 <sup>b</sup>           | 4000                      | 99                 | Grobicki and Stuckey, 1989       |
| Mistura de proteínas e carboidratos         | 7,8-10,4         | 4-8                  | 35         | 20-80   | 1,2-4,8                        | 4000                      | 95                 | Grobicki and Stuckey, 1991       |
| Melaço                                      | 150              | 3                    | 37         | 138-850 | 4,3-28                         | 115771-990000             | 49-88              | Boopathy and Tilche, 1991        |
| Melaço                                      | 150              | 3                    | 37         | ~138    | 20                             | 115771-990000             | 70                 | Boopathy and Tilche, 1992        |
| Esterco de porco                            | 15               | 2-3                  | 35         | 360     | 4                              | 58500                     | 62-69              | Boopathy and Sievers, 1991       |

| Substrato                           | Vol. Reator (L) | Nº de compartimentos | Temp. (°C)       | TDH (h)   | TCO (kg.DQO/m <sup>3</sup> /d) | DQO de entrada (mg DQO/L) | Remoção de DQO (%) | Autor                        |                 |
|-------------------------------------|-----------------|----------------------|------------------|-----------|--------------------------------|---------------------------|--------------------|------------------------------|-----------------|
| Esgoto sanitário                    | 350             | 3                    | 18-28            | 4,8-15    | 2,17                           | 264-906                   | 90                 | Garuti et al., 1992          |                 |
| Esgoto de abatedouro                | 5,16            | 4                    | 25-30            | 2,5-26    | 0,9-4,73                       | 450-550                   | 75-90              | Polprasert et al., 1992      |                 |
| Mistura de proteínas e carboidratos | 10              | 4-8                  | 35               | 1-80      |                                | 4000                      |                    | Grobicki and Stuckey, 1992   |                 |
| Melaço                              | 150             | 3                    | 37               | 24-144    | 10                             | 115771-990000             | 40-75              | Xing and Tilche, 1992        |                 |
| Melaço                              | 150             | 3                    | 37               | ~140      | 20                             | 115771-990000             | >70                | Xing et al., 1991            |                 |
| Mistura de proteínas e carboidratos | 10              | 8                    | 35               | 20, 80    | 1,2-4,8                        | 4000                      | 98, 93             | Nachaiyasit and Stuckey 1995 |                 |
| Esgoto de industria farceutica      | 10              | 5                    | 35               | 24        | 20                             | 20000                     | 36-68              | Fox and Venkatasubbiah, 1996 |                 |
| Composto fenólico                   | -               | 5                    | 21               | ~ 24      | 1,67-2,5                       | 2200-3192                 | 83-94              | Holt et al., 1997            |                 |
| Glicose                             | 6               | 5                    | 35               | 12        | 2-20                           | 1000-10000                | 72-99              | Bae et al., 1997             |                 |
| Mistura de proteínas e carboidratos | 10              | 8                    | 35               | 20-80     | 1,2-4,8                        | 1000-4000                 | 98                 | Barber and Stuckey, 1997 a   |                 |
| Esgoto municipal e industrial       | 394000          | 8                    | 15               | 10,3      | 0,85                           | 315°                      | 70                 | Orozco, 1997                 |                 |
| Mistura de proteínas e carboidratos | 10              | 8                    | 15,25,35         | 20,20, 20 | 1,2-4,8                        | 4000                      | 75, 83, 93, 97, 96 | Nachaiyasit and Stuckey 1995 |                 |
| Mistura de proteínas e carboidratos | 10              | 8                    | 35               | 20        | 4,8-9,6                        | 4000                      | 90-98              | Nachaiyasit and Stuckey 1995 |                 |
| Mistura de proteínas e carboidratos | 10              | 8                    | 35               | 1-20      | 4,8-9,6                        | 4000                      | 52-98              | Nachaiyasit and Stuckey 1995 |                 |
| Esgoto sanitário                    | 11000           | 3+filtro             | Média de 24      | 12        |                                |                           | Média de 50        | Povinelli, 1994              |                 |
| Esgoto sanitário                    | 11000           | 3+filtro             | 23 a 27          | 8 a 12    |                                |                           | 42,1 a 57,7        | Nour, 1996                   |                 |
| Esgoto sanitário                    | 11000           | 4                    | Antes inoculação |           | 12                             | 3,17-10,18                | 490                | 55,0                         | Povinelli, 1999 |
|                                     |                 |                      | Após inoculação  |           | 12                             | 3,18-7,14                 | 429                | 63,0                         | Povinelli, 1999 |

<sup>b</sup> Apresentou resultados também com um choque em relação a taxa aplicada de 96 kg/m<sup>3</sup>/d. <sup>c</sup> Valor de DBO<sub>5</sub>

OROZCO (1997) apresenta, por meio da Tabela 3.6, os resultados da eficiência de um reator compartimentado anaeróbio operado em escala piloto em uma pequena cidade da Colômbia (Tenjo, população < 2500 habitantes).

**Tabela 3.6:** Eficiência de um reator anaeróbio compartimentado (Tenjo, Colômbia)

| <b>ESGOTO</b>   |                               |
|---|-------------------------------|
| Composição  | Esgoto doméstico e industrial |
| TCO (g.DBO <sub>5</sub> /L)   | 0,314                         |
| Sólidos Totais (g/L)  | 0,90                          |
| Sólidos Voláteis(g/L)   | 0,25                          |
| <b>EFICIÊNCIA</b>   |                               |
| Taxa de Carregamento Orgânico (kg.DBO <sub>5</sub> /m <sup>3</sup> d) | 0,85                          |
| Eficiência de Remoção (%)   | ~70                           |
| TDH (h)   | 10,3                          |
| DBO <sub>5</sub> de saída (g.DBO <sub>5</sub> /L)                     | ~0,1                          |
| <b>REATOR</b>   |                               |
| Configuração do Reator  | Reator aberto no topo         |
| Número de Reatores  | 2                             |
| Volume (m <sup>3</sup> )  | 394 (197 cada)                |
| Dimensões do Reator <sup>a</sup> (m)                                  | 2,7:17:4,3                    |
| Número de Compartimentos  | 8                             |

<sup>a</sup> Dimensões do reator : altura:comprimento:largura

Algumas vantagens e desvantagens do reator compartimentado anaeróbio estão apresentadas na Tabela 3.7.

**Tabela 3.7:** Vantagens e desvantagens do reator compartmentado anaeróbio

| Vantagens   | Limitações  |
|---|---|
| 1) Desenho simples;<br>2) Elevado volume útil;<br>3) Baixa produção de lodo;<br>4) Ausência de separador de fases;<br>5) Baixo consumo de energia elétrica;<br>6) Retenção de biomassa sem uso de meio fixo;<br>7) Pode funcionar a baixas temperaturas (13 °C);<br>8) Alta capacidade de retenção de sólidos biológicos ativos;<br>9) Podem suportar efluentes com baixas e altas cargas de DBO <sub>5</sub> ;<br>10) Obtenção de ótimo desempenho com lodo não granular;<br>11) Elevada estabilidade e reabilitação a choques, etc. | 1) Produção de efluente com baixa qualidade visual;<br>2) Produção de odores;<br>3) Necessidade de pós-tratamento;<br>4) Partida lenta;<br>5) Remoção insatisfatória de nitrogênio, fósforo e patogênicos;<br>6) Efluente com baixa quantidade de oxigênio dissolvido, etc. |

## 3.2 PROCESSOS AERÓBIOS

Os processos aeróbios têm como principal característica, como o próprio nome já diz, a estabilização da matéria orgânica biodegradável presente nas águas residuárias por meio de diversos grupos de bactérias na presença de oxigênio dissolvido.

São utilizados para tratar uma enorme variedade de compostos e tipos de resíduos, sejam domésticos ou industriais. Os produtos finais da estabilização são o CO<sub>2</sub> e matéria orgânica na forma de biomassa (lodo).

### **3.2.1 MICROBIOLOGIA**

A microfauna é, então, composta por diversos tipos e espécies de seres como protozoários, bactérias, fungos, leveduras e micrometazoários (CETESB, 1989 apud COLETTI, 1997).

Em sistemas de lodos ativados apenas a microfauna é encontrada, pois a turbulência, em razão da aeração, não permite o desenvolvimento de organismos maiores. A turbidez decorrente do material em suspensão provoca a ausência de luz, evitando o desenvolvimento de algas. Com relação à microbiota, encontram-se normalmente em vários tipos de bactérias e, às vezes, fungos e leveduras. Representando a microfauna, encontram-se protozoários e micrometazoários (rotíferos e pequenos vermes) (CETESB, 1989).

As bactérias são os organismos de maior importância, uma vez que são elas as maiores responsáveis pela estabilização da matéria orgânica e pela formação de flocos, por meio da conversão da matéria orgânica biodegradável em novo material celular, CO<sub>2</sub>, água, e outros produtos inertes. Os fungos são elementos indesejáveis ao tratamento, pois dificultam a boa formação do flocos, tendo em geral, forma filamentosa. Os protozoários não contribuem diretamente para a estabilização da matéria orgância, assim como os rotíferos; estes quase não existem no processo de lodos ativados, mas já aparecem na modalidade de aeração prolongada (JORDÃO e PESSOA , 1995).

A microfauna de um sistema de lodos ativados em operação normal é quase sempre bastante diversificada, sendo composta por diferentes grupos de organismos, onde cada um possui várias espécies. Quando uma microfauna é dominada por uma espécie ou grupo, é quase sempre indicação de desequilíbrio trófico, proporcionada pela existência de fatores limitantes que impedem o desenvolvimento da maioria das outras espécies favorecendo o crescimento de formas mais tolerantes a tais fatores. Os

fatores limitantes mais comuns são geralmente a presença de carga de choque devido à descarga tóxica, subcarga ou sobrecarga, forte descarte de lodo e insuficiência na aeração (MADONI, 1994)

Na Tabela 3.8, estão agrupados os organismos dos diversos gêneros representantes da microfauna, freqüentemente encontrados no processo de lodos ativados.

**Tabela 3.8:** Agrupamento de organismos de diversos gêneros presentes nos sistemas de lodos ativados

| <b>Grandes Grupos</b>                   | <b>Gêneros Freqüentes</b>  |
|---|--|
| Classe Ciliada                          |  |
| a) ciliados livre-natantes              | <i>Paramecium, Colpidium, Litonotus, Trachelophyllum, Amphileptus, Chilodonella</i>  |
| b) ciliados pedunculados                | <i>Vorticella, Charchesium e as suctórias Acineta e Podophrya</i>                    |
| c) ciliados livres, predadores do floco | <i>Aspidisca, Euplates, Stylonychia, Oxytricha</i>                                   |
| Classe Mastigophora-flagelados          | <i>Bodo, Cercobodo, Mona sp., Oicomona sp., Euglena sp., Cercomona sp., Peranema</i> |
| Classe Sarcodina-amebas                 | <i>Amoeba, Arcella, Actinophrys, Vahlkampfi, Astramoeba, Diffugia, Cochiopodium</i>  |
| Classe Rotífera-rotíferos               | <i>Philodina, Rotaria, Epiphantes</i>  |
| Classe Nematoda-nematóides              | <i>Rhabditis</i>   |
| Filo Anelida - anelídeos                | <i>Aelosoma</i>  |

### **3.2.2 CINÉTICA**

A estabilização da matéria orgânica por meios aeróbios é feita por um conjunto de diferentes tipos de microorganismos, mas os principais estabilizadores de matéria orgânica são as bactérias. O crescimento bacteriano típico será descrito como principal fator cinético nos processos aeróbios.

#### **3.2.2.1 CINÉTICA DE CRESCIMENTO BIOLÓGICO**

Em uma cultura pura de bactérias sete fases podem ser descritas (SILVA, 1993; COLETTI, 1997):

- Inicialmente os microrganismos devem se adaptar ao meio, por isso não há crescimento perceptível, podendo ser considerado crescimento nulo: esta é a “fase de adaptação” (também conhecida como fase lag);
- Após a adaptação, começa a fase de crescimento máximo e constante, onde a velocidade de crescimento é dependente da capacidade dos microrganismos em processar o substrato;
- Esta é a chamada “fase de crescimento logarítmico”;
- A terceira fase, chamada de “fase de desaceleração” marca o início da escassez de substrato com a consequente diminuição no ritmo de crescimento dos microrganismos;
- Com a limitação do substrato a população microbiana permanece estável, tendo taxa de crescimento nula - é a “fase estacionária”;
- A quinta fase é a chamada “fase de incremento de morte” onde a quantidade de mortes supera a de síntese, diminuindo a população;
- A seguir, na “fase de decaimento logarítmico” os microrganismos metabolizam o seu próprio material, onde a taxa de decaimento atinge o valor máximo;

- Finalmente ocorre a “fase do extermínio”, onde todos os microrganismos do cultivo morrem;
- Como em um sistema de tratamento de águas residuárias, tem-se o inter-relacionamento de várias culturas de diversas formas: interações comensalistas, mutualistas e antagonistas (relações de competição e predador-presa), nas quais cada microorganismo apresenta uma curva própria de crescimento. Ocorre, portanto, uma sucessão ecológica que depende de diversos fatores como: pH, tipo de substrato, temperatura e quantidade de oxigênio disponível. Como a maioria dos processos aeróbios são operados continuamente - com constante entrada de substrato não se pode perceber nitidamente essa sucessão (COLETTI, 1997).

### **3.2.3 REQUISITOS AMBIENTAIS**

Diversos são os fatores que interferem no bom desempenho dos processos aeróbios:

#### *a) Nutrientes*

Todos os nutrientes necessários para um adequado crescimento celular devem estar presentes nos despejos. Nutrientes como nitrogênio e fósforo, que são requeridos em quantidades elevadas, podem se tornar limitantes ao crescimento bacteriano, quando insuficientes no afluente. Segundo LARANJEIRA FILHO (1989) apud COLETTI, (1997) os micronutrientes requeridos nos processos aeróbios: potássio, magnésio, cálcio, ferro, sódio, zinco, cobalto, molibdênio, cobre e iodo, encontram-se em quantidades suficientes na maioria dos despejos.

#### *b) Temperatura*

Segundo Von SPERLING (1997): a temperatura influencia:

- O crescimento;
- A atividade metabólica;

- A predominância de espécies de microrganismos;
- A taxa de transferência de oxigênio de duas maneiras opostas: - a elevação da temperatura causa uma redução na concentração de saturação, o que, por sua vez, implica na redução da taxa de transferência; - a elevação da temperatura causa um aumento no coeficiente global de transferência de oxigênio.

Portanto, com o aumento da temperatura fica mais fácil a transferência do oxigênio para o líquido, mas a quantidade de oxigênio que o líquido é capaz de “suportar” (concentração máxima de oxigênio) fica menor.

#### *c) Oxigênio Dissolvido*

O oxigênio é limitante no crescimento de microrganismos. A concentração de oxigênio dissolvido (OD) no tanque de aeração deve ser mantida entre 1,5 e 4 mg.O<sub>2</sub>/L; 2 mg.O<sub>2</sub>/L é um valor bastante utilizado. Valores acima de 4 mg.O<sub>2</sub>/L apenas aumentam os custos de aeração, não melhorando a operação (METCALF & EDDY, 1991).

ALÉM SOBRINHO (1983) menciona que, para se obter a nitrificação, o oxigênio dissolvido deve ser mantido próximo de 2 mg.O<sub>2</sub>/L. Baixas concentrações de oxigênio dissolvido, inferiores a 0,5 mg.O<sub>2</sub>/L, é uma das causas do intumescimento filamentoso do lodo.

#### *d) pH*

o pH é um dos responsáveis pela seleção dos microrganismos presentes no sistema. Segundo METCALF & EDDY (1991) o pH ótimo para o crescimento bacteriano está entre 6,5 e 7,5. BRANCO (1986 apud COLETTI 1997) afirma que para pH abaixo de 6,5 a competição entre fungos e bactérias torna-se maior e entre 4,5 e 5,0 há uma predominância dos fungos como formadores de flocos.

O pH no tanque de aeração é altamente dependente da composição do afluente e exerce grande influência na presença dos microorganismos. Os flocos desejáveis ao

processo de lodos ativados são formados em pH na faixa de 6 a 9. O lodo ativado tende a desflocular-se e perder-se no efluente final em valores baixos de pH (ALÉM SOBRINHO, 1983).

e) *Toxicidade*

SANT'ANNA (1982) cita que vários elementos podem ser tóxicos aos sistemas de tratamento biológicos aeróbios:

- Metais pesados (cromo, cobre, etc.);
- Substâncias orgânicas (fenol, formaldeído, etc.), e;
- Amônia e sais orgânicos.

### **3.2.4 SISTEMAS AERÓBIOS DE TRATAMENTO**

São várias as concepções que utilizam processos aeróbios para tratamento de águas residuárias: Lagoas Aeróbias, Lagoas Aeradas, Filtros Biológicos Aeróbios, Valos de Oxidação e Lodos Ativados, para o qual será dado maior ênfase na presente pesquisa.

Os sistemas aeróbios de tratamento de águas residuárias apresentam as seguintes vantagens e desvantagens apresentadas na Tabela 3.9:

**Tabela 3.9:** Vantagens e desvantagens do processo aeróbio para tratamento de efluentes (SILVA, 1993; COLETTI, 1997; Von SPERLING 1997);

| <b>Vantagens</b>  | <b>Desvantagens</b>  |
|---|--|
| <ul style="list-style-type: none"> <li>1) Necessidade de pequenas áreas de implantação;</li> <li>2) Possibilidade de tratamento de diversos tipos de despejos;</li> <li>3) Demanda bioquímica de oxigênio mais baixa no líquido sobrenadante;</li> <li>4) Possibilidade de tratamento de despejos com altas cargas orgânicas;</li> <li>5) Melhor qualidade e aparência do efluente;</li> <li>6) Partida rápida;</li> <li>7) Baixo tempo de detenção hidráulica, e etc.</li> </ul> | <ul style="list-style-type: none"> <li>1) Elevados custos de implantação e operação;</li> <li>2) Elevado consumo de energia elétrica;</li> <li>3) Grande produção de lodo;</li> <li>4) Elevado índice de mecanização;</li> <li>5) Necessidade de operação sofisticada,e</li> <li>6) Lodo não estabilizado, etc.</li> </ul> |

Entre os processos aeróbios destaca-se o processo de lodos ativados, ao qual será dada maior ênfase neste trabalho. Este processo consiste, basicamente, na utilização de biomassa ativa em constante aeração e mistura com o efluente para estabilização da matéria orgânica. O processo como um todo consiste em um tanque de aeração e um decantador secundário, no qual a matéria sólida é retida e, então, parte é recirculada para o tanque de aeração.

### **3.2.4.1 LODOS ATIVADOS**

Entre os processos de tratamento de efluentes, merece destaque o processo de lodos ativados, com muitas variações, ajustando-se e evoluindo ao longo deste século para atender aos diversos objetivos e eficiências desejados para o tratamento de efluente.

desvantagens são os custos elevados de construção e de operação e produção de grande quantidade de lodo putrescível, que necessita ser estabilizado antes da separação sólido-líquido (Van HAANDEL & LETTINGA, 1994).

Segundo CHERNICHARO (1997), nos processos de lodos ativados uma grande parcela de  $\text{DBO}_5$  de entrada - cerca de 50 a 60 % - é transformada em lodo, sendo uma das desvantagens dos processos aeróbios - uma alta produção de lodo não estabilizado.

No sistema de lodos ativados, o processo biológico é eficiente na remoção de vírus do esgoto sanitário, cuja capacidade está relacionada com a remoção de sólidos (GERBA et al., 1978 apud BITTON, 1994). Os vírus são também inativados pelos fatores ambientais e biológicos.

No processo biológico de lodos ativados, as bactérias são os microrganismos mais importantes, por serem responsáveis pela decomposição da matéria orgânica afluente. Somente uma fração do resíduo original é realmente oxidado a compostos de baixa energia como  $\text{NO}_3^-$ ,  $\text{SO}_4^{2-}$ ,  $\text{CO}_2$ ,  $\text{H}_2\text{O}$  e  $\text{NH}_4^+$ , enquanto que o remanescente é sintetizado em material celular (METCALF & EDDY, 1991).

Quando o efluente do sistema de lodos ativados apresenta concentrações elevadas de sólidos suspensos, apesar de ter havido boa floculação, o problema pode ser devido ao dimensionamento incorreto do decantador, aeração insuficiente ou deficiente, ou, ainda, da presença de organismos filamentosos (BLUNDI, 1982).

Os sistemas de lodos ativados de tratamento de águas residuárias apresentam as seguintes vantagens e desvantagens apresentadas na Tabela 3.10.

**Tabela 3.10:** Vantagens e desvantagens do sistema de lodos ativados para tratamento de efluentes (SILVA, 1993; COLETTI, 1997; Von SPERLING 1997);

| Vantagens   | Desvantagens   |
|---|--|
| 1) Partida rápida;<br>2) Baixo tempo de detenção hidráulica;<br>3) Melhor qualidade e aparência do efluente;<br>4) Possibilidade de tratamento de diversos tipos e despejos;<br>5) Possibilidade de tratamento de despejos com altas cargas orgânicas;<br>6) Maior quantidade de oxigênio dissolvido no efluente. | 1) Grande produção de lodo não estabilizado;<br>2) Elevado índice de mecanização;<br>3) Elevado consumo de energia elétrica;<br>4) Elevados custos de implantação e operação;<br>5) Necessidade de operação sofisticada. |

### 3.2.4.1 REATORES COMPARTIMENTADOS AERÓBIOS

FORESTI (1982) e BOOPATHY & TILCHE (1991) apud CLARETO (1997), destacaram a superioridade na eficiência dos reatores compartimentados, no tratamento de águas residuárias com alta concentração de carga orgânica, quando comparados aos reatores em única fase. Em reatores compartimentados, há maior resistência a choques decorrentes da variação afluente, onde somente a primeira câmara é alimentada com substrato e as subsequentes com efluente da câmara anterior, separando o processo em etapas seqüenciais, que podem facilitar a degradação da matéria orgânica.

O uso de reatores em série beneficia potencialmente a seleção de grupos de microorganismos melhores adaptados, responsáveis pela estabilização da matéria orgânica. Esta seleção diminui a competição entre os microorganismos, melhorando o rendimento deste e, consequentemente, obtendo maior eficiência do processo. Além

disso, a compartmentalização atenua a potencialidade de toxicidade nas câmaras que se seguem (CLARETO, 1997).

CHUDOBA *et al.*(1991) pesquisaram dois sistemas de lodos ativados, em paralelo – empregando reator de mistura completa e reator compartimentado (oito compartimentos) ambos de mesmo volume total (1340 L), mesma área de superfície de contato material (37,5 m<sup>3</sup>) e tratando águas residuárias, provenientes do Hospital Hanwa-Senpoka, em Osaka – Japão. Nesta pesquisa CHUDOBA *et al.*(1991) confirmaram que os reatores produzem efluentes da mesma qualidade em relação à DBO<sub>5</sub> e a DQO solúveis. Contudo, foi comprovada a superioridade do reator compartimentado na degradação de compostos tóxicos – como por exemplo o fenol – além de conter o crescimento de microorganismos filamentosos. Também foi observado que o reator compartimentado produz melhor efluente com menor DBO<sub>5</sub> total, obviamente devido à baixa concentração de sólidos em suspensão presentes no efluente deste sistema. Os valores médios dos resultados de DBO<sub>5</sub> e sólidos em suspensão (SS) são apresentados na Tabela 3.11.

**Tabela 3.11:** Valores médios de DBO<sub>5</sub> e SS dos experimentos realizados por CHUDOBA *et al.* (1991), no tratamento de águas residuárias provenientes do Hospital Hanwa-Senpoka, em Osaka - Japão

| Afluente (mg/L)         |            | Efluente (mg/L)         |                              |            |                            |                             |            |
|-------------------------|------------|-------------------------|------------------------------|------------|----------------------------|-----------------------------|------------|
|                         |            | Reator Compartimentado  |                              |            | Reator de Mistura Completa |                             |            |
| DBO <sub>5</sub> (mg/L) | SST (mg/L) | DBO <sub>5</sub> (mg/L) | DBO <sub>5</sub> filt (mg/L) | SST (mg/L) | DBO <sub>5</sub> (mg/L)    | DBO <sub>5</sub> filt(mg/L) | SST (mg/L) |
| 144                     | 242        | 35                      | 17                           | 15         | 45                         | 18                          | 37         |

DBO<sub>5</sub>: Demanda bioquímica de oxigênio, ML<sup>-3</sup>

DBO<sub>5</sub> filt: Demanda bioquímica de oxigênio, de amostra filtrada, ML<sup>-3</sup>

SST: Sólidos suspensos totais, ML<sup>-3</sup>

MAEDA (1999) estudou um reator compartimentado aeróbio de bancada, tratando esgoto sanitário proveniente da rede pública de esgotamento. Foram obtidos resultados que demonstraram um bom desempenho na remoção de DQO<sub>total</sub> e DBO<sub>5</sub> total, com destaque para os valores médios obtidos durante a Fase 3 (de 12 a 8 horas

de tempo de detenção hidráulica e tempo de retenção celular “idade do lodo” de 10 dias), em que apresentou eficiência de 83 e 90%, respectivamente. Ainda na Fase 3, obteve-se uma eficiência média de SST e SSV com valores médios de 97% para ambos os parâmetros, apresentando os melhores resultados dentre as 5 fases estudadas.

### 3.3 PROCESSOS ANAERÓBIOS/AERÓBIOS

Sistemas envolvendo processos anaeróbio/aeróbio ainda não são muito usuais, mas sua utilização e pesquisa vêm crescendo nos últimos anos.

A maior parte dos sistemas citados na literatura são justaposições de reatores, já bastante estudados, anaeróbios e aeróbios (UASB seguido de lodos ativados, filtro biológico seguido de lodos ativados, filtro anaeróbio seguido de “wetlands”, etc).

O uso de reatores em série beneficia potencialmente a seleção de grupos de microrganismos melhores adaptados, responsáveis pela estabilização da matéria orgânica. Esta seleção diminui a competição entre os microrganismos, melhorando o rendimento destes e, consequentemente, obtendo uma eficiência melhor no processo.

Nessas concepções buscam-se associar as vantagens de ambos os processos:

- Baixo teor de sólidos em suspensão no efluente;
- Efluente com oxigênio dissolvido;
- Pouca cor;
- Ausência de odores desagradáveis;
- Alta remoção de carbono ( $\text{DBO}_5$ , DQO);
- Se possível remoção de fósforo e nitrogênio;
- Baixos custos de operação;
- Baixa produção de lodo;
- Boa estabilidade no processo, etc.

Experiências relatadas na literatura mostram resultados promissores na junção dos processos anaeróbios e aeróbios:

SILVA (1993), utilizando um reator UASB seguido por um reator de lodos ativados, e tratando uma mistura de águas residuárias sanitárias e industriais, obteve remoções de 78 a 89% de DQO<sub>total</sub>, 82 a 90% de DQO<sub>filtrada</sub>, 74 a 96% para DBO<sub>total</sub>, 93 a 98% de DBO<sub>filtrada</sub>, 77 a 86% de SST e 79 a 96% de SSV.

GONÇALVES et al. (1997) estudaram a associação de reator UASB e biofiltro aerado submerso. Construído em Vitória-E.S., o sistema, composto por um reator UASB com 46 litros de volume útil seguido por um biofiltro com capacidade para 6,3 litros com meio granular composto por esferas de poliestireno de diâmetro efetivo de 3 mm, foi submetido a condições operacionais variáveis, através de alterações no tempo de detenção hidráulica, que variou no reator UASB de 16 a 4 horas. As eficiências de remoção obtidas pelo conjunto foram aproximadamente: 95% para SSV, 95% para DBO<sub>5</sub> e 88% para DQO.

SOUZA e FORESTI (1997) estudaram o comportamento da associação de um reator UASB, com capacidade para 4 litros, seguido por dois reatores seqüenciais em batelada aeróbios e paralelos, com capacidade de 3,6 litros cada, para a verificação do desempenho de remoção de DQO, NTK, SSV e nitrogênio amoniacial. O sistema foi alimentado com esgoto sintético, mantendo-se uma taxa de carregamento orgânico média de 2,53 kg.DQO.m<sup>-3</sup>.dia<sup>-1</sup>, e um tempo de detenção hidráulica médio de 47 horas no reator UASB. Os reatores seqüenciais foram operados com ciclos de 4 horas, incluindo o tempo de enchimento, aeração, decantação e descarte. Os resultados obtidos no sistema foram animadores, com remoções médias de 95% de DQO, 96% de SSV e 85% de NTK.

Em relação a reatores anaeróbios/aeróbios, existe a necessidade de um número maior de pesquisas para a formação de um banco de dados que possibilite

uma melhor compreensão dos fenômenos envolvidos, bem como as melhores combinações de processos para a obtenção de efluentes com alta qualidade e de uma baixa produção de lodo.

LOPES (1999) estudou dois reatores compartimentados com volume total de 10 litros, um operando anaerobiamente, outro aerobiamente e, em seguida, os dois em série. Na Etapa I o reator compartimentado anaeróbio e o aeróbio foram alimentados com esgoto sanitário bruto, porém, na Etapa II o reator compartimentado aeróbio foi alimentado com efluente do reator compartimentado anaeróbio que recebia como afluente esgoto sanitário bruto.

Na Etapa I os reatores foram operados separadamente, ambos alimentados com esgoto sanitário bruto, mas com TDH diferentes, respeitando-se as características de cada processo, e a Etapa II os reatores foram operados em série, o reator aeróbio recebia o efluente do reator anaeróbio.

A Etapa II foi dividida em duas fases em função do TDH de operação. Na Fase 1 o reator foi operado com TDH de 8 horas, durante 91 dias, e na Fase 2, com duração de 127 dias e, o TDH foi de 6 horas.

Para remoção de DQO<sub>total</sub>, LOPES (1999) apresentou os seguintes resultados em percentagem de remoção e desvio padrão:  $89 \pm 4$  para a Fase 1 e  $85 \pm 5$  para a Fase 2. Para DQO<sub>filtrada</sub> os resultados em percentagem de remoção e desvio padrão foram:  $81 \pm 7$  para a Fase 1 e  $79 \pm 12$  para a Fase 2.

LOPES (1999) obteve os seguintes valores de remoção e desvio padrão de SST e SSV:  $94 \pm 5$  na Fase 1 e  $82 \pm 20$  na Fase 2, para SSV,  $92 \pm 5$  para a Fase 1 e  $82 \pm 15$  para a Fase 2.

ZANELLA (1999) estudou a partida de um reator compartimentado anaeróbio/aeróbio, o mesmo utilizado na presente pesquisa. O sistema foi operado por 152 dias, sendo 61 dias com tempo de detenção hidráulica total inicial de 30 horas, sendo 24 horas nas câmaras anaeróbias. O tempo foi diminuído para 17,5 horas, sendo 15 horas nas câmaras anaeróbias, mantido assim por 63 dias e, finalmente, diminuído para 10 horas, sendo 8 horas nas câmaras anaeróbias e 2 horas na câmara aeróbia, mantido assim por 28 dias. O valor médio e desvio padrão de remoção total de DQO encontrados para os três tempos de detenção hidráulica estudados: 30, 17,5 e 10 horas foram, respectivamente:  $53,8 \pm 22,2\%$ ,  $59,10 \pm 8,70\%$  e  $72,3 \pm 9,90\%$ , valores estes relativos à partida do reator.

Quanto aos valores médios de remoção de  $\text{DBO}_5$  para cada tempo de detenção hidráulica estudado (30, 17,5 e 10 horas) foram respectivamente:  $70 \pm 15\%$ ,  $64 \pm 19\%$  e  $76 \pm 6\%$ .

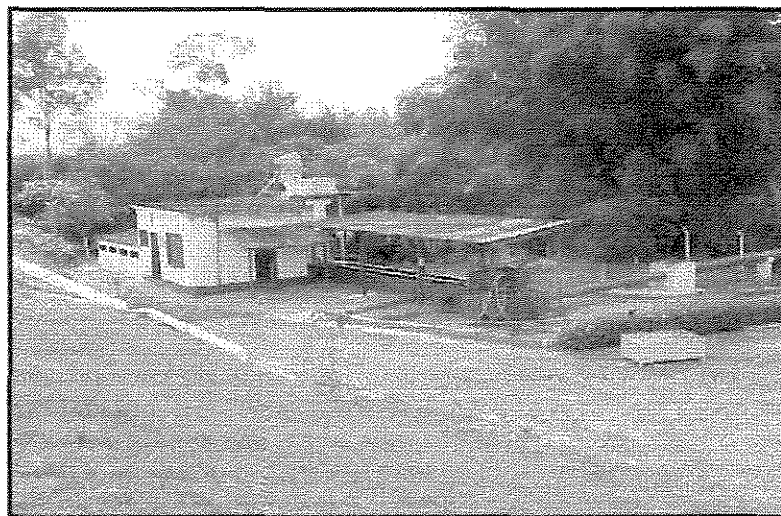
Os valores médios de eficiência de remoção de sólidos em suspensão totais foram  $74 \pm 40,8\%$  para TDH de 30 horas,  $72 \pm 16,9\%$  para TDH de 17,5 horas e  $73 \pm 12,4\%$  para TDH de 10 horas.

Para remoção de sólidos em suspensão voláteis, os valores médios obtidos para cada tempo de detenção hidráulica foram:  $81 \pm 20,3\%$  para TDH de 30 horas;  $70 \pm 12,7\%$  para TDH de 17,5 horas e  $74 \pm 12,4\%$  para TDH de 10 horas.

## **4 MATERIAL E MÉTODOS**

### **4.1 DESCRIÇÃO DO SISTEMA DE TRATAMENTO**

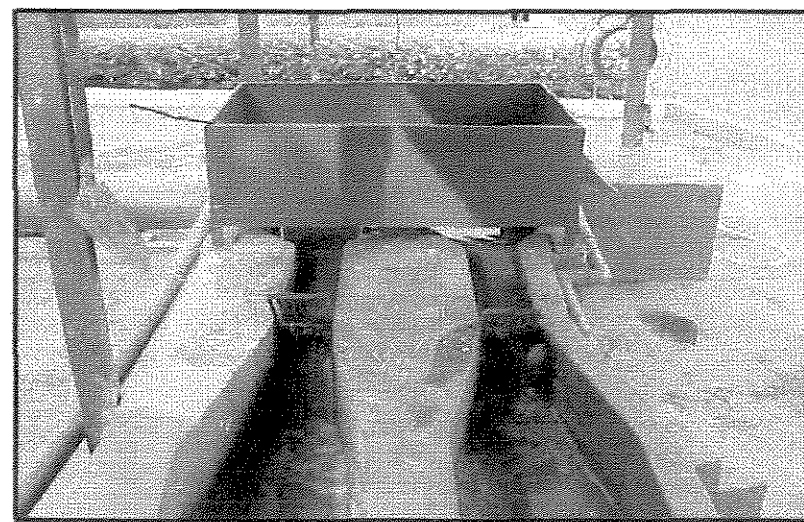
O sistema de tratamento que foi utilizado para o desenvolvimento deste trabalho localiza-se na E.T.E. (Estação de Tratamento de Efluentes) do bairro da Graminha, no município de Limeira, São Paulo, onde é tratado esgoto sanitário proveniente da rede pública de coleta de esgotos. Uma vista geral da chegada do efluente e casa de máquinas podem ser observadas na Figura 4.1.



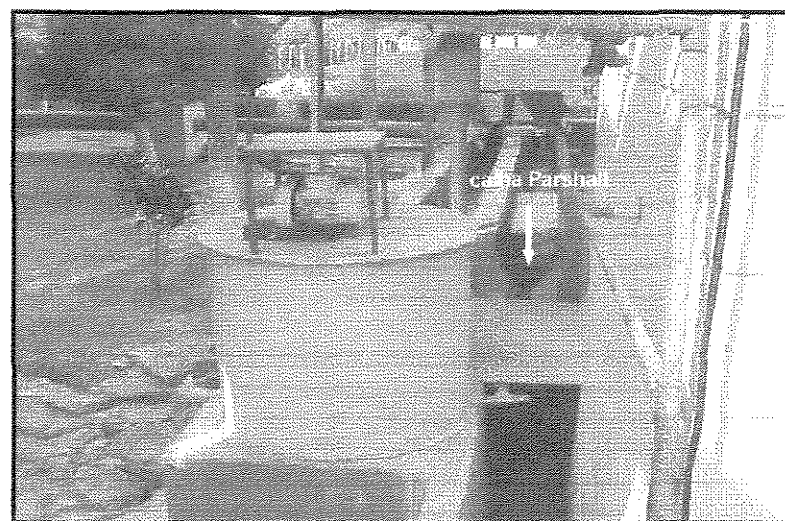
**Figura 4.1:** Vista geral da chegada do efluente e casa de máquinas

O esgoto, depois de coletado em um interceptor, passa por uma grade grosseira, de espaço entre barras de aproximadamente 2 cm, passando por uma caixa

de areia (Figura 4.2) e, em seguida, por uma calha Parshall para medir e regularizar a velocidade do fluxo (Figura 4.3).



**Figura 4.2:** Detalhe da grade grosseira e caixa de areia



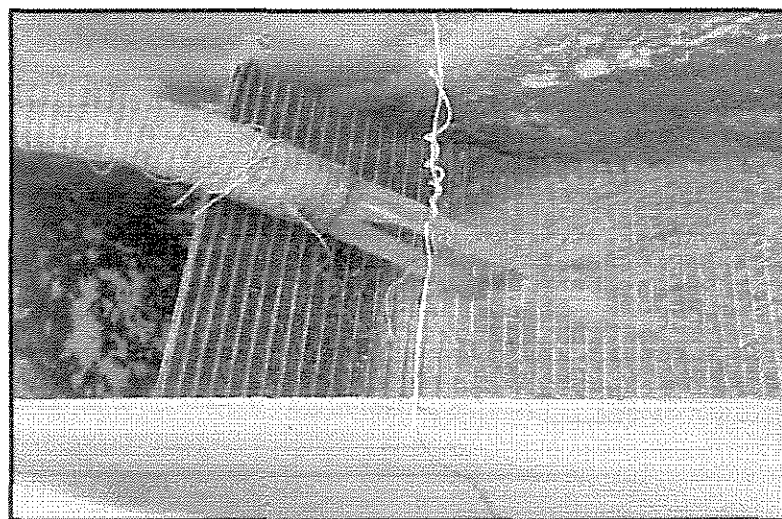
**Figura 4.3:** Calha Parshall

Em seguida o efluente é encaminhado para uma peneira estática de barras verticais de 1,5 mm de largura e abertura entre barras de 1,0 mm, e então encaminhado para dois reservatórios colocados em série, com volume unitário de 500 L, cuja finalidade é manter a pressão hidrostática constante do afluente do reator (Figura 4.4).



**Figura 4.4:** Sistema de alimentação do reator compartmentado anaeróbio/aeróbio

Um detalhe da peneira estática pode ser observado por meio da Figura 4.5.



**Figura 4.5:** Detalhe da Peneira Estática

Após o segundo reservatório, o efluente é encaminhado para o sistema de tratamento, alvo deste estudo.

A vazão do efluente foi controlada por meio de um registro de gaveta colocado na tubulação de PVC e um vertedor triangular com 15° de abertura, confeccionado com chapa de aço inox (Figura 4.6).



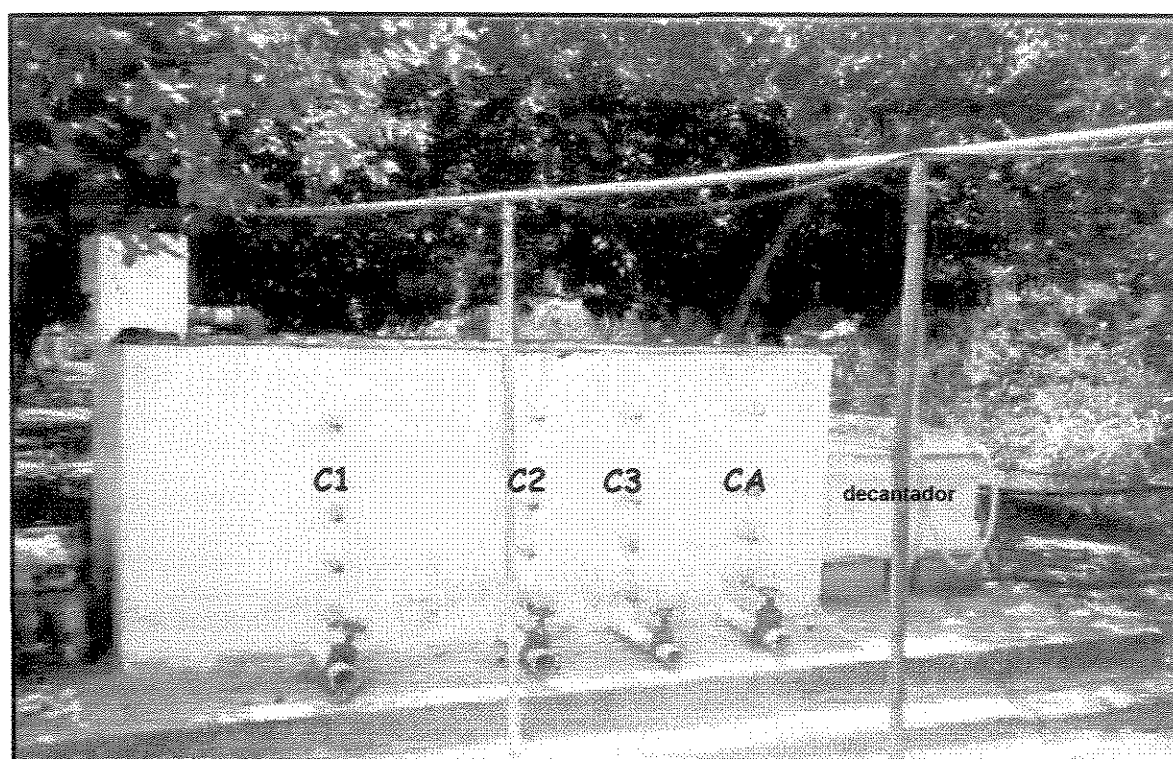
**Figura 4.6:** Vertedor triangular de 15° e registro de gaveta

O sistema de tratamento consiste em um reator compartimentado anaeróbio/aeróbio, com dimensões: 3,06 m de comprimento por 1,30 m de altura por 1,50 m de largura, seguido por um decantador laminar com volume de 0,5 m<sup>3</sup> de onde foi retirado o lodo para recirculação. O sistema é composto por 4 câmaras, sendo que as três primeiras são anaeróbias e a última câmara aeróbia (Figuras 4.7 e 4.8).

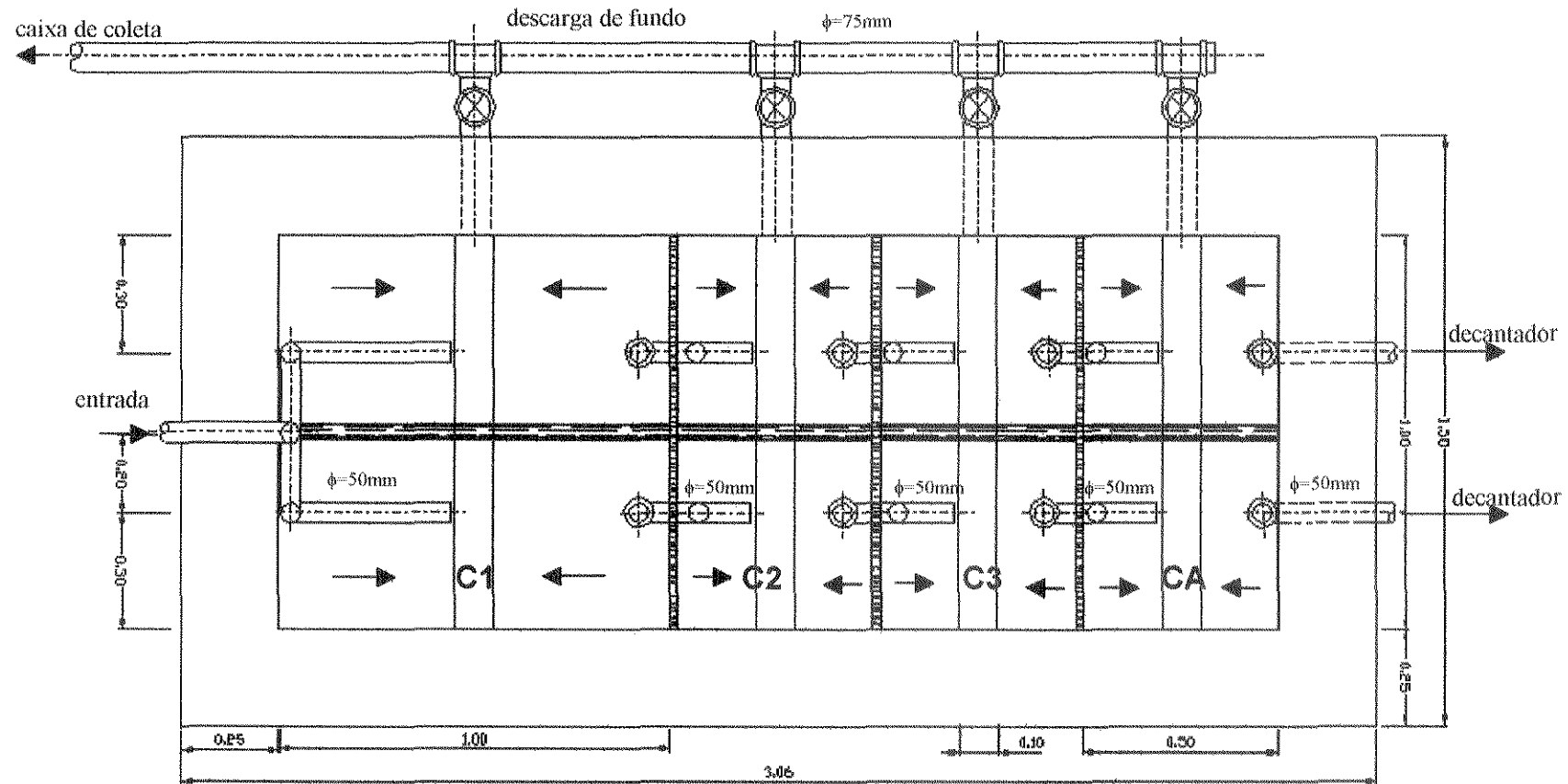
O perfil do reator compartimentado e os pontos de amostragem podem ser observados na Figura 4.9.

Um esquema completo do sistema de tratamento utilizado no estudo pode ser observado na Figura 4.10.

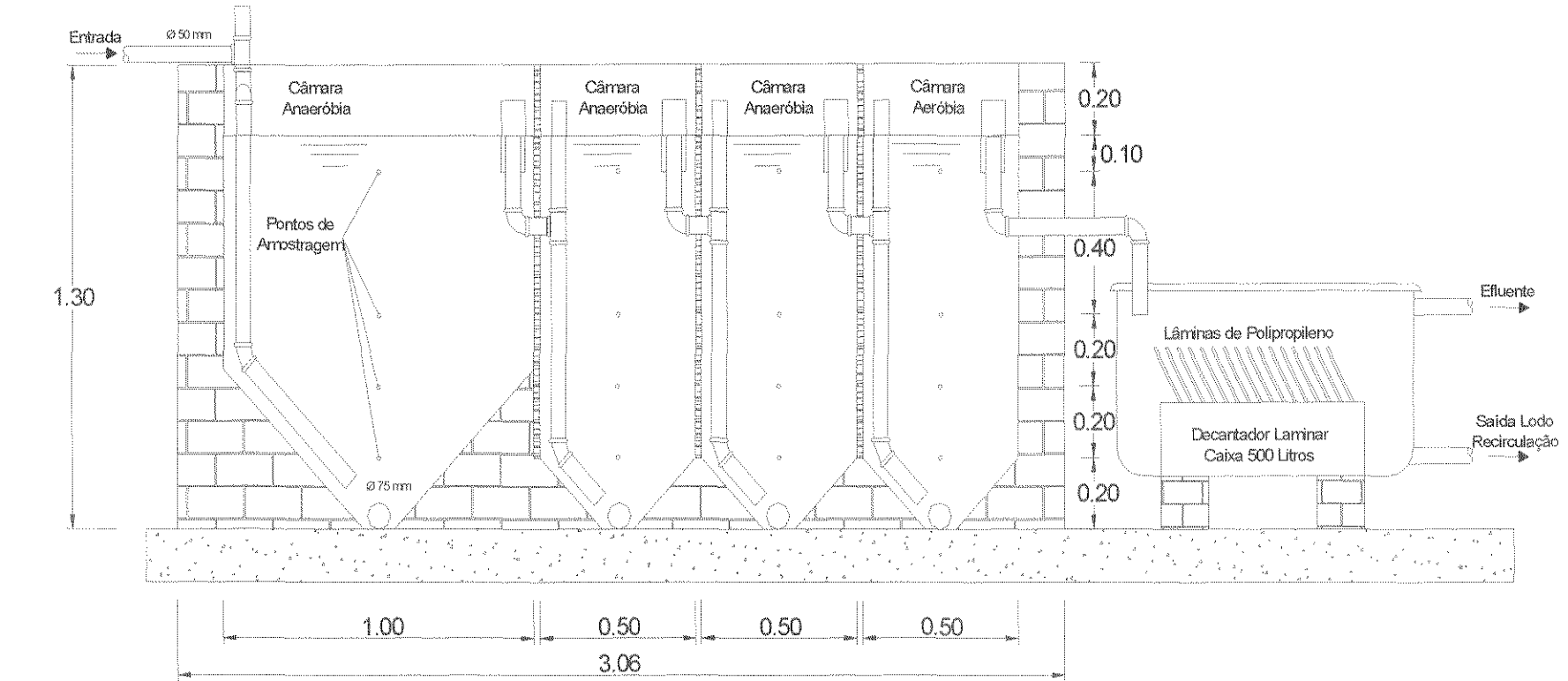
O reator utilizado para este estudo é o mesmo utilizado por ZANELLA (1999) para estudar a partida do mesmo.



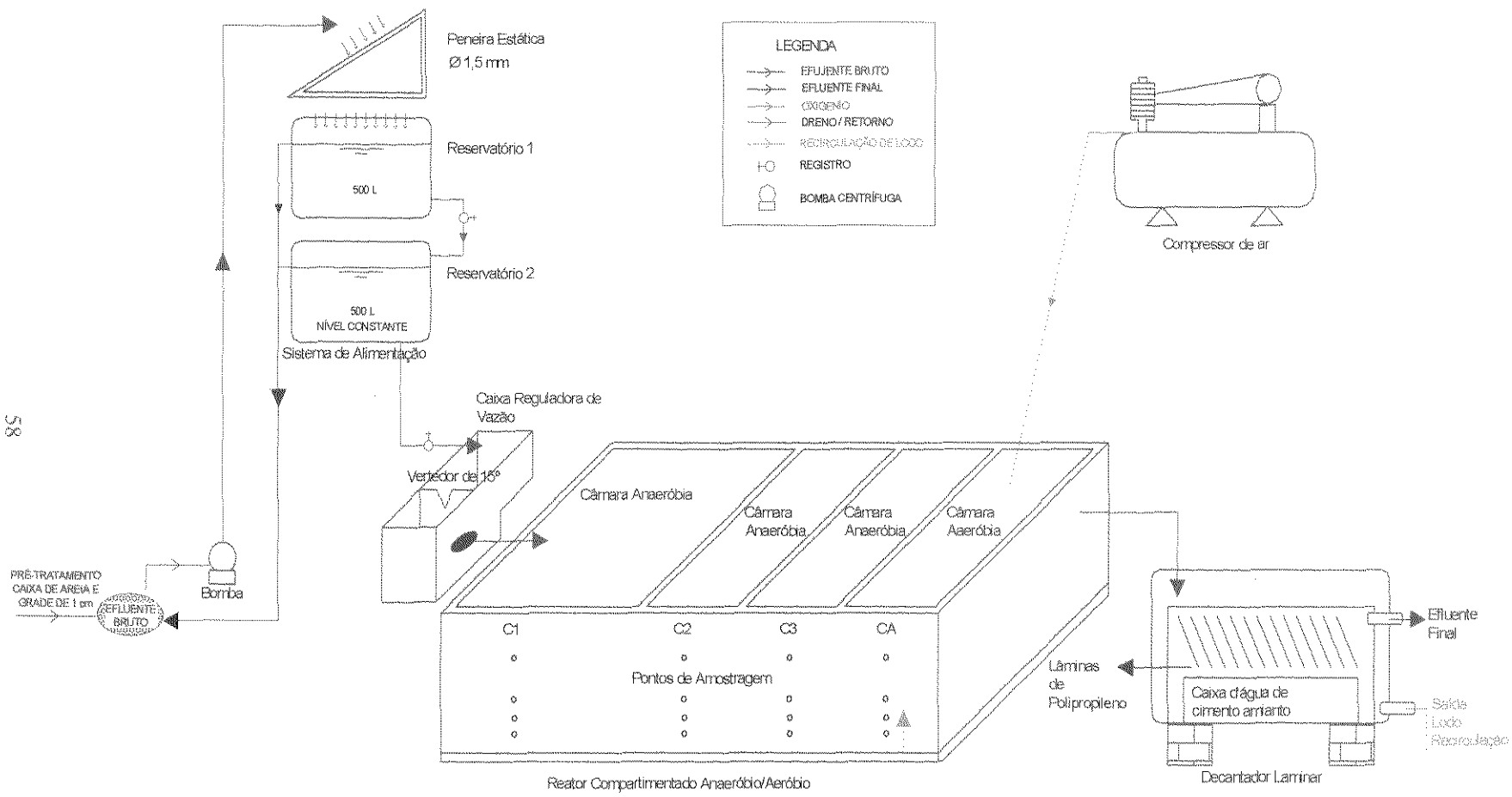
**Figura 4.7:** Reator Compartimentado Anaeróbio/Aeróbio



**Figura 4.8:** Esquema do Reator Compartimentado Anaeróbio/Aeróbio - Planta



**Figura 4.9 – Perfil do Reator Compartimentado Anaeróbio/Aeróbio**



**Figura 4.10:** Esquema Geral do Sistema Tratamento de Esgotos

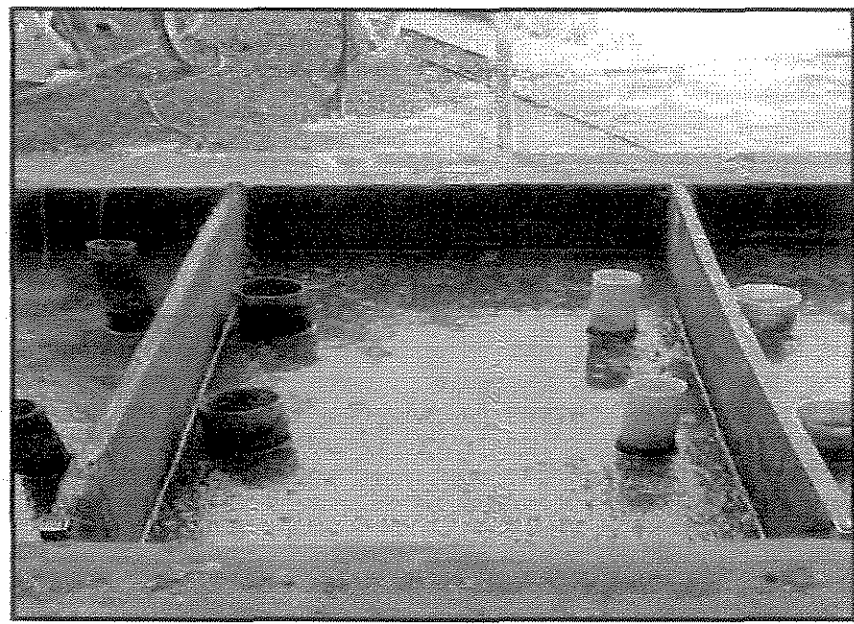
Pelas Figuras 4.11, 4.12, 4.13, 4.14 pode-se observar as 4 câmaras do reator anaeróbio/aeróbio compartimentado.



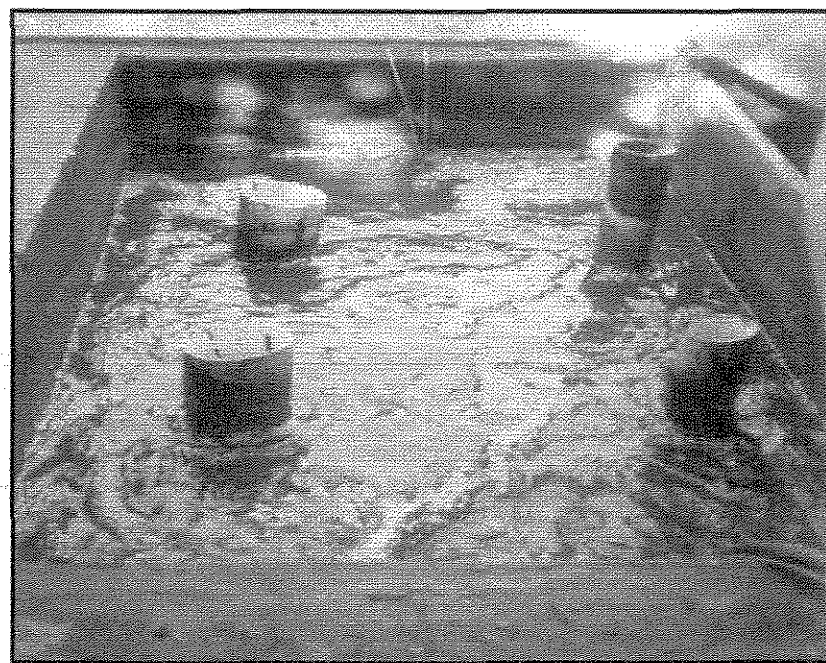
**Figura 4.11:** Vista da Lâmina Líquida da Câmara 1



**Figura 4.12:** Vista da Lâmina Líquida da Câmara 2

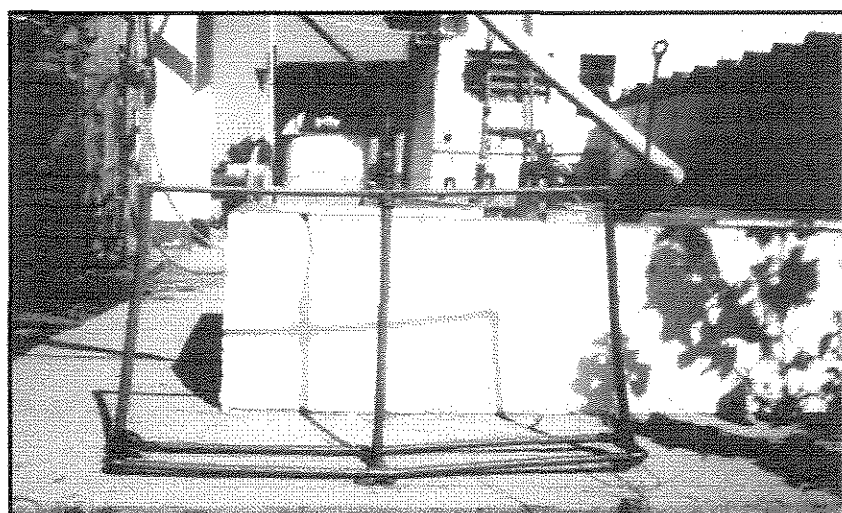


**Figura 4.13:** Vista da Lâmina Líquida da Câmara 3



**Figura 4.14:** Vista da Lâmina Líquida da Câmara Aerada

A última câmara foi aerada por um sistema constituído de um difusor de ar colocado junto ao fundo, confeccionado com dois tubos de PVC, de 64 mm de diâmetro e comprimento igual a 980 mm, dispostos paralelamente a uma distância de 100 mm entre eles, cada tubo apresentando duas linhas de orifícios intercalados, de diâmetro de 0,80 mm e distantes 10 mm entre si (Figura 4.15). Esse difusor foi mantido junto ao fundo da câmara aeróbia por meio de duas peças de chumbo com cerca de 0,50 kg cada uma. O fornecimento de ar foi realizado por um compressor de uso comercial com reservatório para 175 L e pressão máxima 120 lbf/pol<sup>2</sup> (Figura 4.16).



**Figura 4.15:** Difusor de ar



**Figura 4.16:** Compressor utilizado para o sistema de aeração

Após a saída do reator (saída da 4<sup>a</sup> câmara) existe um decantador secundário laminar constituído por uma caixa de fibro cimento com 0,5 m<sup>3</sup> de volume (Figura 4.17). A estrutura de suporte das lâminas foi confeccionado com madeira tratada com verniz naval e as lâminas, de 250 mm de altura, foram feitas de placas de polipropileno, com 2 mm de espessura, distantes 50 mm entre si e inclinadas em ângulo de 60° em relação à horizontal.



**Figura 4.17:** Decantador Laminar

O volume total do reator é de 2,5 m<sup>3</sup>. A primeira câmara possui um volume de 1,00 m<sup>3</sup> e as outras 3 câmaras possuem um volume aproximado de 0,50 m<sup>3</sup> cada uma. O volume da primeira câmara é maior para proporcionar um maior tempo de detenção hidráulica nesta câmara, já que, segundo CLARETO (1997), é nesta câmara que se dá a maior remoção da matéria orgânica.

## 4.2 PARÂMETROS ESTUDADOS

As análises e exames foram realizados no Laboratório de Saneamento do Departamento de Saneamento e Ambiente da Faculdade de Engenharia Civil/UNICAMP. Os parâmetros analisados e a freqüência média das análises e exames que foram realizados nos ensaios estão apresentados na Tabela 4.1.

**Tabela 4.1:** Parâmetros e freqüência das análises

| Parâmetros a serem Analisados (1) | Freqüência das análises    | Fase Anaeróbia | Fase Aeróbia | Lodo |
|-----------------------------------|----------------------------|----------------|--------------|------|
| Temperatura                       | Semanal                    | X              | X            |      |
| pH                                | Semanal/Eventualmente (4)  | X              | X            |      |
| OD                                | Semanal                    | X              | X            |      |
| Alcalinidade Parcial (2)          | Semanal                    | X              | X            |      |
| Alcalinidade Total                | Semanal                    | X              | X            |      |
| Ácidos Voláteis (3)               | Semanal                    | X              | X            |      |
| DBO <sub>5</sub>                  | Semanal                    | X              | X            |      |
| DQO <sub>total</sub>              | Semanal                    | X              | X            |      |
| DQO <sub>filtr.</sub>             | Semanal                    | X              | X            |      |
| Sólidos Totais                    | Semanal/Eventualmente (4)  | X              | X            | X    |
| Sólidos em Suspensão              | Semanal/ Eventualmente (4) | X              | X            | X    |
| Sólidos Sedimentáveis             | Semanal                    | X              | X            |      |
| Série de Nitrogênio               | Quinzenal                  | X              | X            |      |
| Fósforo                           | Quinzenal                  | X              | X            |      |
| IVL                               | Eventualmente              |                |              | X    |
| % Matéria Orgânica (sólidos)      | Eventualmente              |                |              | X    |

(1) Utilizando metodologias contidas no Standard Methods for the Examination of Water and Wastewater (1992), exceto quando especificado outra metodologia.

(2) Metodologia descrita por RIPLEY (1986).

(3) Metodologia descrita por DiLALLO & ALBERTSON (1961).

(4) Freqüência das análises de sólidos totais e sedimentáveis para as amostras de lodo

#### **4.2.1 AMOSTRAGEM**

A amostragem foi realizada de forma composta, com coletas de hora em hora, durante quatro horas, uma vez por semana, realizada sempre às terças-feiras, no período da manhã. Nestas coletas foram utilizados tubos de 12,5 mm de diâmetro, munidos de registros de gaveta instalados nas laterais do reator, localizados a 1,00 m de altura em relação ao fundo de cada câmara. (Figura 4.7).

O acompanhamento da evolução da altura da manta de lodo em cada câmara foi feito por meio de coleta de amostras em pontos de amostragem, localizados ao longo da altura de cada uma das câmaras: (0,20, 0,40, 0,60, 1,00 m). Para tanto, foram realizadas análises de sólidos totais e sólidos em suspensão.

No ponto mais baixo do decantador laminar, existe um registro para que se possa realizar a recirculação do lodo para a câmara aerada (CA), recirculação esta que foi realizada da seguinte forma: em uma caixa d'água de 250 litros foi colocado o lodo e, em seguida, este foi homogeneizado e recirculado para a CA. Este lodo foi quantificado e caracterizado por meio de análises de pH, sólidos suspensos e sólidos totais.

O sistema foi monitorado durante 444 dias sob diversas fases, ou condições operacionais, as quais tinham como fator determinante a variação no TDH das fases anaeróbia e aeróbia do reator, explicitadas a seguir.

**Fase 1:** TDH<sub>total</sub>: 10 horas (8 horas para as câmaras anaeróbias e 2 horas para a câmara aeróbia) e duração de 171 dias (01/03/2000 a 08/08/2000);

**Fase 2:** TDH<sub>total</sub>: 16 horas (12 horas para as câmaras anaeróbias e 4 horas para a câmara aeróbia) e duração de 20 dias (22/08/2000 a 19/09/2000);

**Fase 3:** TDH<sub>total</sub>. 12 horas (8 horas para as câmaras anaeróbias e 4 horas para a câmara aeróbia) e duração de 124 dias (26/09/2000 a 21/11/2000);

**Fase 4:** TDH<sub>total</sub>. 8 horas (4 horas para as câmaras anaeróbias e 4 horas para a câmara aeróbia) e duração de 81 dias (25/01/2001 a 03/04/2001);

**Fase 5:** TDH<sub>total</sub>. 7 horas (4 horas para as câmaras anaeróbias e 3 horas para a câmara aeróbia) e duração de 48 dias (10/04/2001 a 29/05/2001);

Os TDH estudados em cada uma das câmaras, nas cinco fases estudadas, estão apresentados na Tabela 4.2 e as vazões de entrada e descarte necessária após a câmara 3, necessária para que se pudesse controlar o tempo de detenção hidráulica da quarta câmara estão apresentados na Tabela 4.3.

**Tabela 4.2:** Tempo de detenção hidráulica (h) em cada câmara

| Compartimento         | Vazão (L.min <sup>-1</sup> ) |        |        |        |        |
|-----------------------|------------------------------|--------|--------|--------|--------|
|                       | Fase 1                       | Fase 2 | Fase 3 | Fase 4 | Fase 5 |
| Câmara 1              | 4                            | 6      | 4      | 2      | 2      |
| Câmara 2              | 2                            | 3      | 2      | 1      | 1      |
| Câmara 3              | 2                            | 3      | 2      | 1      | 1      |
| Câmara aeróbia        | 2                            | 4      | 4      | 4      | 3      |
| Decantador Secundário | 2                            | 4      | 4      | 4      | 3      |

**Tabela 4.3:** Vazões de entrada e descarte na câmara 3

| Vazões (L.min <sup>-1</sup> ) | Fases |      |      |      |      |
|-------------------------------|-------|------|------|------|------|
|                               | 1     | 2    | 3    | 4    | 5    |
| Entrada                       | 4,2   | 2,78 | 4,2  | 8,33 | 8,33 |
| Descarte                      | -     | 0,70 | 2,08 | 6,25 | 5,58 |

## **5 RESULTADOS E DISCUSSÃO**

De modo a facilitar a compreensão, os resultados obtidos nos diversos parâmetros estudados estão apresentados sob a forma de gráficos e tabelas, para cada um dos parâmetros, nas diversas fases de operação.

Para facilitar a visualização, do comportamento destes diversos parâmetros, ao longo de todo o período de desenvolvimento do trabalho experimental, foram construídos gráficos onde o parâmetro estudado está no eixo das ordenadas, com suas respectivas unidades, e o tempo de operação no eixo das abscissas.

A compreensão dos resultados obtidos por meio de gráficos pode, em certos momentos, tornar-se difícil. Desta forma, para cada um dos parâmetros, foram construídas tabelas contendo o valor médio, o desvio padrão absoluto e percentual em cada fase de operação. Estas tabelas fornecem importantes informações sobre o comportamento de cada parâmetro, frente a um determinado compartimento e uma determinada fase. A utilização dos valores médios é importante quando da comparação do desempenho dos compartimentos entre si, frente a um mesmo parâmetro, ao longo das 5 fases em que se estudou o reator compartmentado anaeróbio/aeróbio. Estes gráficos são apresentados neste capítulo, de forma seqüencial, contendo a descrição dos parâmetros relacionados.

De forma a avaliar a existência ou não, de diferenças significativas do desempenho do reator compartmentado anaeróbio/aeróbio, com relação a alguns parâmetros estudados durante as diferentes fases de operação, foi utilizado um método

estatístico para tanto. O método utilizado foi o de "Comparação de Médias de duas Amostras" (MILLER e MILLER, 1993).

Esta análise estatística utiliza os valores de média, desvio padrão e número de amostras, na determinação do valor de "t de Students" segundo a equação 5.1:

$$t_{calculado} = |x_1 - x_2| / (S_1^2/n_1 + S_2^2/n_2)^{0,5} \dots \dots \dots \text{(eq. 5.1)}$$

onde,

$x_1$  = média da amostra 1 em módulo;

$x_2$  = média da amostra 2 em módulo;

$S_1$  = desvio padrão da amostra 1;

$S_2$  = desvio padrão da amostra 2;

$n_1$  = número de amostras da amostra 1 que geraram a média;

$n_2$  = número de amostras da amostra 2 que geraram a média.

E calcula-se o grau de liberdade por meio da equação 5.2:

$$g = \{ (S_1^2/n_1 + S_2^2/n_2) / ((S_1^2/n_1)^2/(n_1+1) + (S_2^2/n_2)^2/(n_2+1)) \} - 2 \dots \dots \dots \text{(eq. 5.2)}$$

onde;

$g$  = grau de liberdade;

$S_1$  = desvio padrão da amostra 1;

$S_2$  = desvio padrão da amostra 2;

$n_1$  = número de amostras da amostra 1, que geraram a média;

$n_2$  = número de amostras da amostra 2, que geraram a média.

De acordo com o grau de liberdade calculado, é possível por meio de uma tabela encontrar o valor de  $t_{tabelado}$ , para um valor de significância de  $P = 0,05$ .

Quando o resultado de  $|t_{calculado}|$  for menor que o de  $|t_{tabelado}|$  o parâmetro em estudo não apresenta diferença significativa ao nível e  $P = 0,05$  entre as diferentes fases em estudo.

Um exemplo de cálculo pode ser observado no anexo para melhor compreensão do método.

## 5.1 TEMPERATURA ATMOSFÉRICA

Os valores máximos e mínimos da temperatura atmosférica são de extrema importância para a atividade biológica nos processos de tratamento de esgoto, pois interferem diretamente na temperatura tanto do efluente bruto como do líquido presente no interior do reator biológico.

No Tabela 5.1 e Figura 5.1 estão representados os valores correspondentes às temperaturas atmosféricas obtidas na Estação de Tratamento de Esgotos da Graminha, onde se localiza a instalação, durante o período de monitoração.

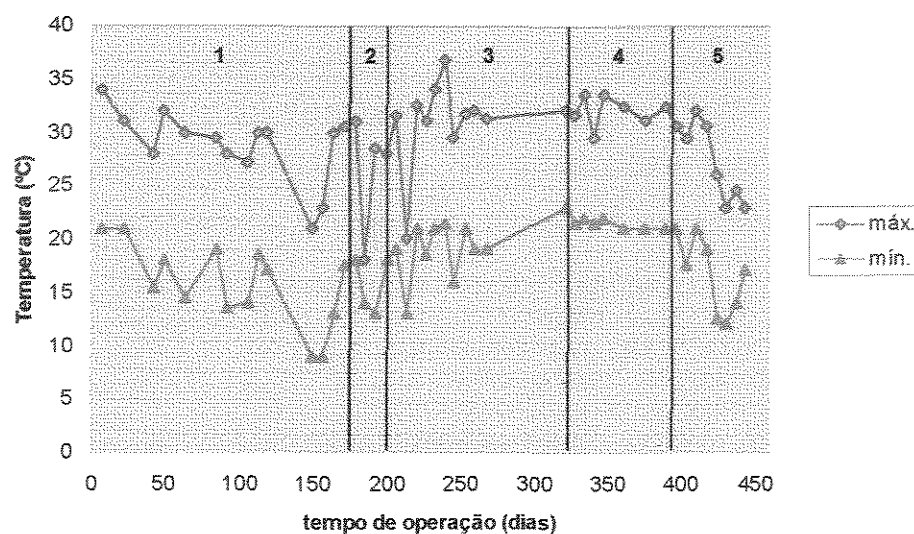
**Tabela 5.1:** Valores médios, desvios padrão absolutos e percentuais da Temperatura atmosférica ( $^{\circ}\text{C}$ )

| Ponto de Coleta | 444 dias de operação | Fase 1         | Fase 2         | Fase 3         | Fase 4        | Fase 5         |
|-----------------|----------------------|----------------|----------------|----------------|---------------|----------------|
| Máxima do ar    | 29,4<br>(13,6)       | 29,0<br>(11,7) | 26,0<br>(26,5) | 31,0<br>(13,5) | 32,0<br>(4,1) | 27,0<br>(13,7) |
| Mínima do ar    | 17,7<br>(20,9)       | 16,0<br>(23,8) | 15,0<br>(17,3) | 19,0<br>(13,2) | 22,0<br>(3,2) | 16,0<br>(21,3) |

Obs.:  $M \pm dp$  : valor médio, mais ou menos desvio padrão. O valor entre parênteses representa o desvio padrão percentual em relação ao desvio médio.

O experimento aconteceu em um período onde ocorreram altas e baixas temperaturas devido às estações do ano, principalmente inverno e verão. Pode-se observar por meio da Figura 5.1, que a Fase 1, (01/03/00 a 08/08/00) apresentou

temperaturas baixas, mínimas atingindo 9 °C, e altas, máximas atingindo 36,7 °C. A partir do dia 15/06/00 (114º dia de operação) começou a se registrar temperaturas com valores mais baixos que se estenderam até o dia 26/07/00 (157º dia de operação). As Fases 2, 3 ,4 (22/08/00 à 03/04/01) apresentaram temperaturas um pouco mais elevadas que a da Fase 1. A partir do dia 24/04/01 (410º dia de operação) começou a ser registrado novamente valores baixos de temperatura, correspondente a Fase 5 de operação.



**Figura 5.1:** Temperatura Atmosférica registrada na ETE Graminha

## 5.2 TEMPERATURA DO ESGOTO

A temperatura interna do reator foi verificada nos dias nos quais as coletas foram realizadas e estão apresentadas na Tabela 5.2 e Figura 5.2. A temperatura foi registrada pela leitura de um termômetro de mercúrio colocado diretamente no interior das câmaras.

Analizando os dos resultados obtidos é possível verificar que as temperaturas internas, mínima de 17,3, máxima de 30,1, e média de 24,4 °C, as temperaturas

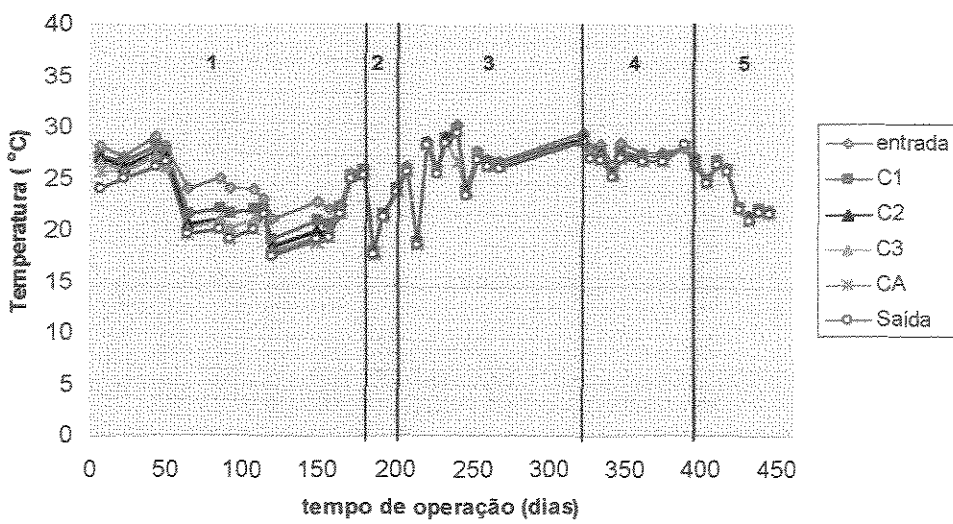
internas do reator situaram-se próxima a na faixa mesofílica, faixa esta ótima para o sistema (LETTINGA et al. 1996 e CHERNICHARO, 1997).

Comparando-se as temperaturas atmosféricas e internas do reator, nota-se que a temperatura atmosférica teve grande influência na manutenção da temperatura do efluente. Quedas significativas de temperatura são notadas ao longo das várias câmaras para a Fase 1. Tanto o esgoto quanto o ar que abastece a câmara aeróbia, são transportados, do sistema de distribuição até o reator, por um sistema de tubulações exposto ao tempo, sem nenhum tipo de isolamento térmico, portanto a tubulação de transporte funciona como trocador de calor. Pode-se citar como queda da temperatura no reator, o fato de se encontrar em uma área que permanece sombreada por árvores na maior parte do tempo, como pode ser visto na Figura 4.7. A espessura da parede também funcionou com um isolante térmico para que a temperatura do esgoto não se alterasse.

**Tabela 5.2:** Valores médios, desvios padrão absolutos e percentuais da Temperatura para os efluentes ( $^{\circ}\text{C}$ )

| Ponto de Coleta  | 444 dias de operação |               | Fase 1         | Fase 2        | Fase 3         | Fase 4        | Fase 5         |              |               |              |               |     |
|------------------|----------------------|---------------|----------------|---------------|----------------|---------------|----------------|--------------|---------------|--------------|---------------|-----|
|                  | M ± dp               | M ± dp        | M ± dp         | M ± dp        | M ± dp         | M ± dp        | M ± dp         |              |               |              |               |     |
| Afluente         | 25,3<br>(11,5)       | 2,9<br>(10,1) | 24,7<br>(10,1) | 2,5<br>(17,9) | 21,8<br>(17,9) | 3,9<br>(11,5) | 26,1<br>(11,5) | 3,0<br>(3,3) | 27,7<br>(3,3) | 0,9<br>(9,4) | 23,5<br>(9,4) | 2,2 |
| Câmara 1         | 24,7<br>(12,6)       | 3,1<br>(12,9) | 23,3<br>(12,9) | 3,0<br>(18,0) | 21,7<br>(18,0) | 3,9<br>(11,5) | 26,0<br>(11,5) | 3,0<br>(3,3) | 27,3<br>(3,3) | 0,9<br>(9,4) | 23,4<br>(9,4) | 2,2 |
| Câmara 2         | 24,4<br>(13,5)       | 3,3<br>(14,2) | 22,6<br>(14,2) | 3,2<br>(18,1) | 21,6<br>(18,1) | 3,9<br>(11,6) | 25,9<br>(11,6) | 3,0<br>(3,7) | 27,2<br>(3,7) | 1,0<br>(9,4) | 23,4<br>(9,4) | 2,2 |
| Câmara 3         | 24,3<br>(13,6)       | 3,3<br>(13,9) | 22,3<br>(13,9) | 3,1<br>(18,6) | 21,5<br>(18,6) | 4,0<br>(11,6) | 25,8<br>(11,6) | 3,0<br>(3,7) | 27,1<br>(3,7) | 1,0<br>(9,4) | 23,3<br>(9,4) | 2,2 |
| Câmara 4<br>(CA) | 24,0<br>(13,8)       | 3,3<br>(15,1) | 21,9<br>(15,1) | 3,3<br>(17,8) | 21,3<br>(17,8) | 3,8<br>(11,0) | 25,4<br>(11,0) | 2,8<br>(3,7) | 26,9<br>(3,7) | 1,0<br>(9,5) | 23,2<br>(9,5) | 2,2 |
| Saída            | 23,9<br>(13,8)       | 3,3<br>(13,8) | 21,7<br>(13,8) | 3,0<br>(18,3) | 21,3<br>(18,3) | 3,9<br>(11,8) | 25,5<br>(11,8) | 3,0<br>(3,7) | 26,9<br>(3,7) | 1,0<br>(9,5) | 23,2<br>(9,5) | 2,2 |

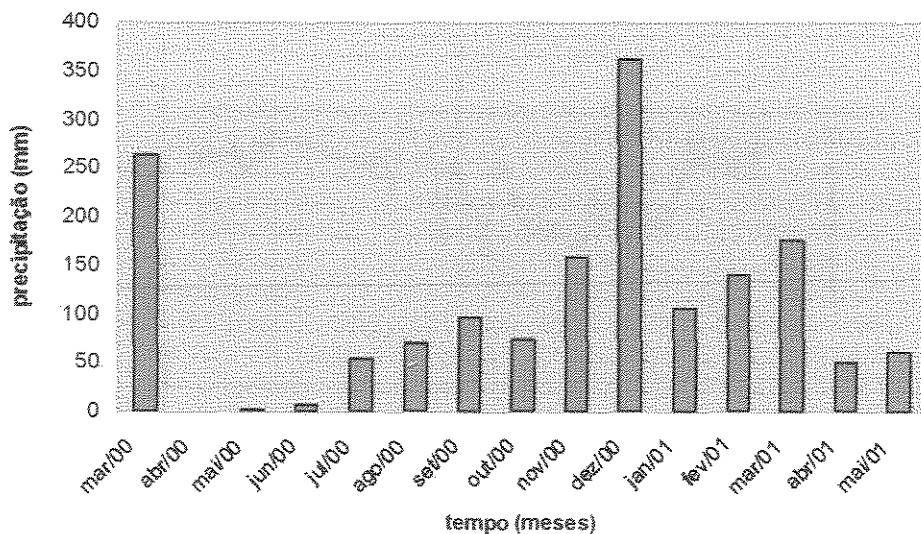
Obs.: M ± dp : valor médio, mais ou menos desvio padrão. O valor entre parênteses representa o desvio padrão percentual em relação ao desvio médio.



**Figura 5.2:** Temperatura interna do reator ao longo do tempo

### 5.3 ÍNDICES PLUVIOMÉTRICOS

Um dos fatores ambientais que interferem na qualidade do esgoto, é a quantidade de chuva ocorrida, como mostrado na Figura 5.3 que inclui os valores mensais de precipitação entre 01 de março de 2000 e a data final de acompanhamento do reator compartmentado anaeróbio/aeróbio. Os dados foram obtidos na estação meteorológica do CESET-UNICAMP, campus Limeira.



**Figura 5.3:** Volume total mensal da precipitação

## 5.4 VALORES DE pH

Os valores de pH estão apresentados pela Tabela 5.3 e Figura 5.4.

**Tabela 5.3:** Valores médios, desvios padrão absolutos e percentuais para o pH

| Ponto de Coleta  | 444 dias de operação | Fase 1       | Fase 2       | Fase 3       | Fase 4       | Fase 5       |              |              |              |              |              |              |
|------------------|----------------------|--------------|--------------|--------------|--------------|--------------|--------------|--------------|--------------|--------------|--------------|--------------|
|                  | M ± dp               | M ± dp       | M ± dp       | M ± dp       | M ± dp       | M ± dp       |              |              |              |              |              |              |
| Afluente         | 7,0<br>(7,1)         | 0,5<br>(5,6) | 7,2<br>(5,6) | 0,4<br>(3,0) | 6,7<br>(3,0) | 0,2<br>(7,2) | 6,9<br>(7,2) | 0,5<br>(8,6) | 7,0<br>(8,6) | 0,6<br>(9,0) | 6,7<br>(9,0) | 0,6<br>(9,0) |
| Câmara 1         | 6,8<br>(4,4)         | 0,3<br>(2,9) | 7,0<br>(2,9) | 0,2<br>(1,5) | 6,7<br>(1,5) | 0,1<br>(1,5) | 6,7<br>(3,0) | 0,2<br>(3,0) | 6,8<br>(6,0) | 0,4<br>(6,0) | 6,8<br>(4,4) | 0,3<br>(4,4) |
| Câmara 2         | 6,7<br>(3,0)         | 0,2<br>(1,4) | 6,9<br>(1,4) | 0,1<br>(1,5) | 6,6<br>(1,5) | 0,1<br>(1,5) | 6,6<br>(3,0) | 0,2<br>(2,9) | 6,7<br>(4,5) | 0,3<br>(4,5) | 6,7<br>(8,6) | 0,2<br>(8,6) |
| Câmara 3         | 6,7<br>(3,0)         | 0,2<br>(1,5) | 6,8<br>(1,5) | 0,1<br>(1,5) | 6,6<br>(1,5) | 0,1<br>(1,5) | 6,7<br>(2,9) | 0,1<br>(2,9) | 6,7<br>(4,5) | 0,3<br>(4,5) | 6,7<br>(3,0) | 0,2<br>(3,0) |
| Câmara 4<br>(CA) | 7,0<br>(4,3)         | 0,3<br>(2,9) | 6,9<br>(2,9) | 0,2<br>(4,3) | 7,0<br>(4,3) | 0,3<br>(4,3) | 7,1<br>(1,5) | 0,4<br>(1,5) | 7,0<br>(4,3) | 0,3<br>(4,3) | 6,9<br>(1,4) | 0,1<br>(1,4) |
| Saída            | 7,0<br>(4,3)         | 0,3<br>(2,8) | 7,1<br>(2,8) | 0,2<br>(2,9) | 7,0<br>(2,9) | 0,2<br>(2,8) | 7,1<br>(2,8) | 0,2<br>(2,8) | 7,0<br>(4,3) | 0,3<br>(4,3) | 6,9<br>(1,4) | 0,1<br>(1,4) |

Obs. : M ± dp : valor médio, mais ou menos desvio padrão. O valor entre parênteses representa o desvio padrão percentual em relação ao desvio médio.

A média geral (incluindo todas as etapas e compartimentos) e desvios padrão em todas as câmaras foram de  $6,8 \pm 0,3$ . O maior valor de pH encontrado foi de 8,3 no afluente e o menor também no afluente e foi de 5,4, valor devido provavelmente por alguns despejos de compostos químicos ocorridos na rede coletora. O valor mais alto encontrado, talvez provocado por uma quantidade excessiva de cal adicionada na E.T.E., para se corrigir o pH do efluente bruto. A grande maioria dos valores de pH estiveram na faixa de 6,7 a 7,0 durante as cinco fases do monitoramento, valores estes ótimos para o tratamento de esgoto, pelo processo anaeróbio, não atingindo valores considerados prejudiciais as atividades das arqueas metanogênicas, em praticamente todo o período de operação.

Independentemente do valor de entrada, o pH de saída também se manteve próximo de 7,0 para as cinco fases. Pode-se observar isto nos 50°, 253°, 267°, 361° e 403° dias de operação onde o valor do pH de entrada foi de 8,3, 7,9, 7,7, 8,3 e 5,4 respectivamente e o valor de pH de saída foi de 7,2, 7,0, 7,1, 7,4 e 6,9 mostrando uma boa estabilidade do reator compartmentado anaeróbio/aeróbio.

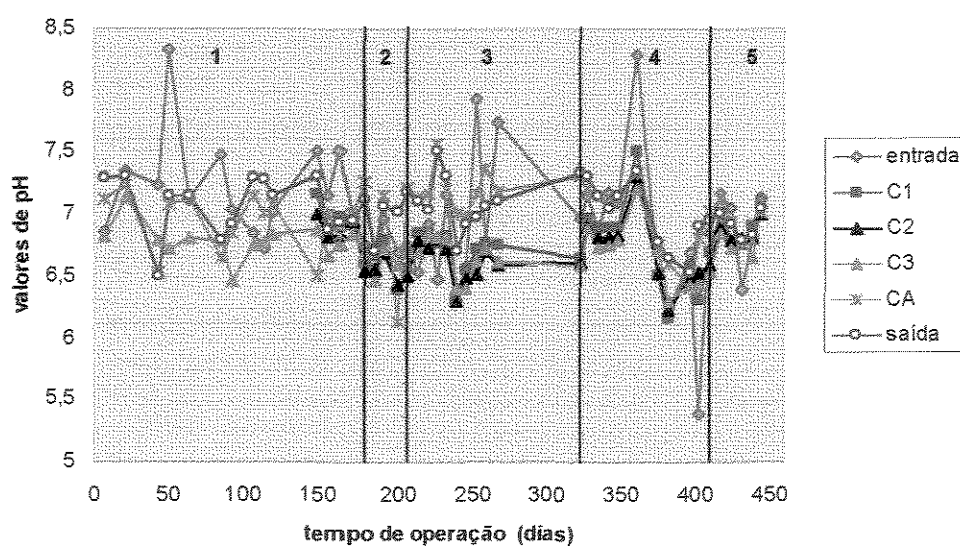


Figura 5.4: Valores de pH nas câmaras ao longo do tempo

A cidade de Limeira tem entre as suas principais atividades econômicas a produção artesanal de bijuterias. Em muitos desses processos, realizados por pequenas empresas caseiras, parte dos produtos químicos utilizados na confecção das peças é despejada na rede coletora de esgotos, causando quedas abruptas de pH e nem sempre sendo detectadas neste trabalho, já que as coletas foram semanais. Pode-se ressaltar que os efluentes da câmara 3, câmara aeróbia e saída do reator praticamente não tiveram seu valor de pH alterado, mostrando uma boa estabilidade e capacidade de absorção de choques, reforçando as pesquisas de NACHAIYSIT & STUCKEY (1997a, 1997b), POVINELLI (1994), NOUR (1996), ZANELLA (1999), ZANELLA & NOUR (2000) e SILVA *et al.* (2000).

Foi realizada no dia 03 de abril de 2001, uma coleta no período noturno, começando às 22:00 e terminando às 2:30 horas, para que se tentasse detectar descarte de algum produto químico que pudesse causar variação de pH. Nesse dia os valores para entrada, câmara 1, câmara 2, câmara 3, câmara aerada e saída foram de 6,7, 6,7, 6,7, 6,6, 6,9 e 6,8 respectivamente.

Alguns valores baixos de pH na chegada do esgoto na estação foram obtidos da planilha do operador da E.T.E. em um determinado período de tempo. Estes valores estão apresentados na Tabela 5.4.

**Tabela 5.4:** Valores de pH detectados na entrada da E.T.E.

| Fase | Dia      | Hora |       |       |       |
|------|----------|------|-------|-------|-------|
|      |          | 9:00 | 11:00 | 15:00 | 17:00 |
| 4    | 05/04/01 |      |       | 5,7   | 5,8   |
|      | 06/04/01 |      |       | 5,9   | 5,8   |
|      | 09/04/01 | 5,8  |       |       |       |
|      | 10/04/01 |      |       |       | 5,8   |
|      | 11/04/01 |      |       | 5,8   |       |
|      | 12/04/01 |      |       |       | 5,8   |
|      | 18/04/01 |      |       |       | 5,9   |
|      | 20/04/01 | 4,9  |       |       |       |
| 5    | 02/05/01 |      |       |       | 3,1   |

Todos os dados da Tabela 5.4 indicam que a ocorrência de descartes é totalmente aleatória e imprevisível. Estes fatos reforçam a grande capacidade deste reator em absorver variações de pH presentes no efluente bruto, fator de importância na manutenção das condições ótimas do metabolismo dos microorganismos anaeróbios, principalmente os responsáveis pela fase metanogênica.

## 5.5 ALCALINIDADE

A alcalinidade é um parâmetro que indica a capacidade de tamponamento do sistema, e é responsável pelo equilíbrio nos valores de pH.

Os resultados contidos nas Tabelas 5.5 e 5.6 e Figuras 5.5 e 5.6, indicam que o reator ainda não havia atingido uma estabilidade adequada na Fase 1, frente aos valores de alcalinidade, por permanecer um longo período em operação precária, esta estabilidade foi atingida nas demais fases. A diminuição nos valores de desvios padrão na Fase 3 e 4 indicam um aumento importante na capacidade de tamponamento do sistema, de forma que as variações nos valores de pH que passaram a ocorrer para o efluente bruto, foi mais facilmente suportada.

Os valores de alcalinidade total apresentaram aumentos para a Fase 5 em relação a Fase 4, devido aos aumentos nas concentrações de AOV, contudo não foi possível determinar quais são as espécies que tiveram um maior aumento (Tabela 5.5 e 5.9 e Figuras 5.5 e 5.8).

**Tabela 5.5:** Valores médios, desvios padrão absolutos e percentuais, para Alcalinidade Total ( $\text{mg.CaCO}_3 \cdot \text{L}^{-1}$ )

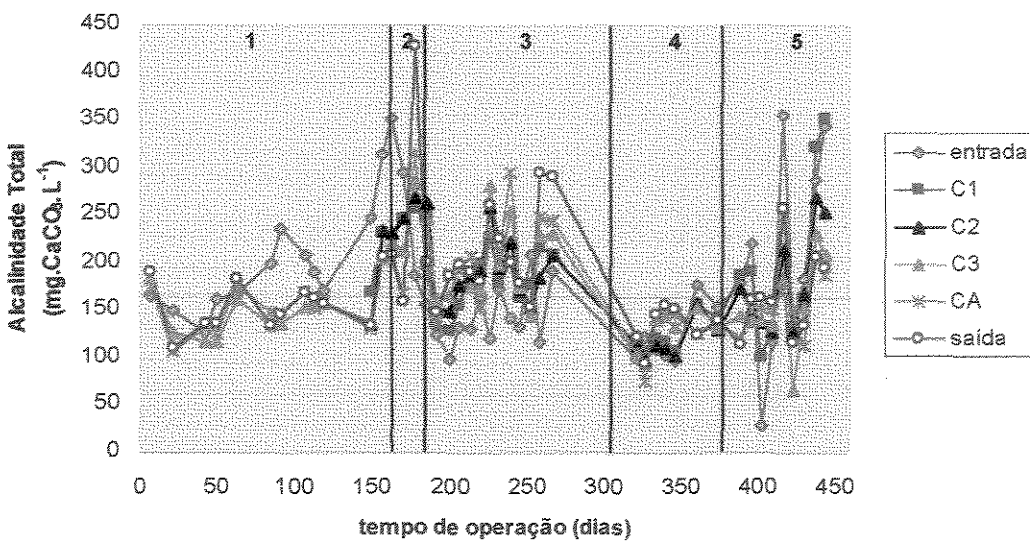
| Ponto de Coleta  | 444 dias de operação | Fase 1       | Fase 2        | Fase 3       | Fase 4        | Fase 5        |               |              |               |              |               |               |
|------------------|----------------------|--------------|---------------|--------------|---------------|---------------|---------------|--------------|---------------|--------------|---------------|---------------|
|                  | $M \pm dp$           | $M \pm dp$   | $M \pm dp$    | $M \pm dp$   | $M \pm dp$    | $M \pm dp$    |               |              |               |              |               |               |
| Afluente         | 175<br>(41,7)        | 73<br>(32,1) | 212<br>(32,1) | 68<br>(20,1) | 154<br>(22,1) | 31<br>(31,7)  | 145<br>(22,1) | 32<br>(31,7) | 139<br>(31,7) | 44<br>(31,7) | 205<br>(61,5) | 126<br>(61,5) |
| Câmara 1         | 183<br>(33,3)        | 61<br>(15,7) | 217<br>(15,7) | 34<br>(32,6) | 212<br>(32,6) | 69<br>(15,7)  | 185<br>(15,7) | 29<br>(24,3) | 136<br>(24,3) | 33<br>(24,3) | 208<br>(48,6) | 101<br>(48,6) |
| Câmara 2         | 178<br>(29,2)        | 52<br>(24,2) | 211<br>(24,2) | 51<br>(29,1) | 227<br>(29,1) | 66<br>(16,3)  | 190<br>(16,3) | 31<br>(20,3) | 128<br>(20,3) | 26<br>(20,3) | 184<br>(32,6) | 60<br>(32,6)  |
| Câmara 3         | 168<br>(28,6)        | 48<br>(22,3) | 157<br>(22,3) | 35<br>(27,4) | 230<br>(27,4) | 63<br>(20,9)  | 201<br>(20,9) | 42<br>(15,4) | 130<br>(15,4) | 20<br>(15,4) | 158<br>(34,2) | 54<br>(34,2)  |
| Câmara 4<br>(CA) | 168<br>(28,6)        | 48<br>(19,1) | 157<br>(19,1) | 30<br>(43,4) | 212<br>(43,4) | 92<br>(20,7)  | 208<br>(20,7) | 43<br>(19,7) | 127<br>(19,7) | 25<br>(19,7) | 161<br>(18,6) | 30<br>(18,6)  |
| Saída            | 177<br>(33,3)        | 59<br>(18,9) | 159<br>(18,9) | 30<br>(57,8) | 258<br>(57,8) | 149<br>(22,0) | 214<br>(22,0) | 47<br>(16,4) | 134<br>(16,4) | 22<br>(16,4) | 175<br>(27,4) | 48<br>(27,4)  |

Obs. :  $M \pm dp$  : valor médio, mais ou menos desvio padrão. O valor entre parênteses representa o desvio padrão percentual em relação ao desvio médio.

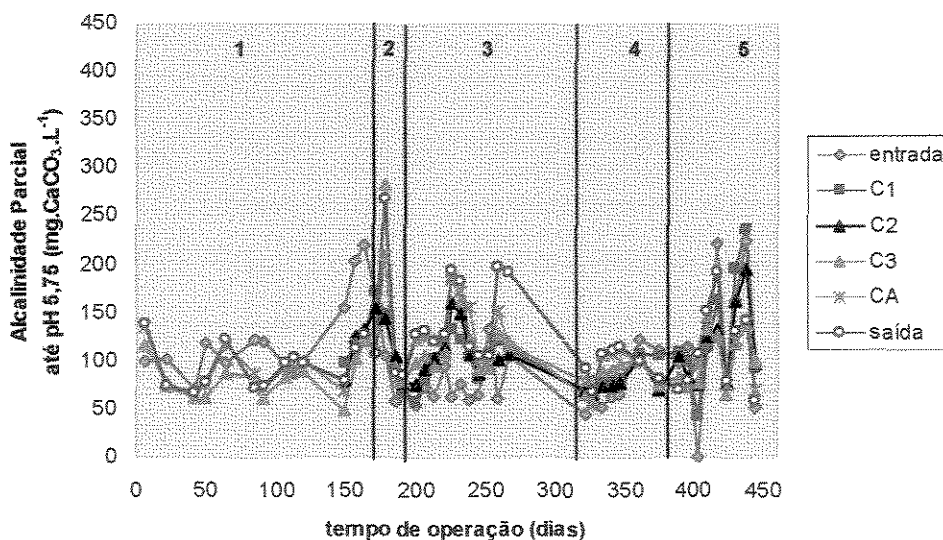
**Tabela 5.6:** Valores médios, desvios padrão absolutos e percentuais, para Alcalinidade Parcial ( $\text{mg.CaCO}_3 \cdot \text{L}^{-1}$ )

| Ponto de Coleta  | 444 dias de operação | Fase 1       | Fase 2        | Fase 3       | Fase 4        | Fase 5        |               |              |              |              |               |              |
|------------------|----------------------|--------------|---------------|--------------|---------------|---------------|---------------|--------------|--------------|--------------|---------------|--------------|
|                  | $M \pm dp$           | $M \pm dp$   | $M \pm dp$    | $M \pm dp$   | $M \pm dp$    | $M \pm dp$    |               |              |              |              |               |              |
| Afluente         | 100<br>(50,0)        | 50<br>(35,7) | 126<br>(35,7) | 45<br>(38,8) | 77<br>(38,8)  | 26<br>(31,1)  | 74<br>(31,1)  | 23<br>(34,9) | 83<br>(34,9) | 29<br>(34,9) | 121<br>(71,1) | 86<br>(71,1) |
| Câmara 1         | 108<br>(37,0)        | 40<br>(25,0) | 128<br>(25,0) | 32<br>(38,8) | 103<br>(38,8) | 40<br>(21,4)  | 103<br>(21,4) | 22<br>(19,3) | 88<br>(19,3) | 17<br>(19,3) | 132<br>(52,3) | 69<br>(52,3) |
| Câmara 2         | 106<br>(31,1)        | 33<br>(25,2) | 123<br>(25,2) | 31<br>(30,3) | 109<br>(30,3) | 33<br>(24,1)  | 108<br>(24,1) | 26<br>(18,8) | 80<br>(18,8) | 15<br>(18,8) | 124<br>(35,5) | 44<br>(35,5) |
| Câmara 3         | 101<br>(39,6)        | 40<br>(37,6) | 101<br>(37,6) | 38<br>(75,0) | 152<br>(75,0) | 114<br>(26,0) | 119<br>(26,0) | 31<br>(17,3) | 81<br>(17,3) | 14<br>(17,3) | 108<br>(7,4)  | 8<br>(7,4)   |
| Câmara 4<br>(CA) | 107<br>(31,8)        | 34<br>(24,8) | 105<br>(24,8) | 26<br>(60,1) | 123<br>(60,1) | 74<br>(22,0)  | 132<br>(22,0) | 29<br>(21,8) | 87<br>(21,8) | 19<br>(21,8) | 110<br>(27,3) | 30<br>(27,3) |
| Saída            | 115<br>(37,4)        | 43<br>(24,0) | 96<br>(24,0)  | 23<br>(60,1) | 123<br>(60,1) | 74<br>(30,1)  | 136<br>(30,1) | 41<br>(18,5) | 92<br>(18,5) | 17<br>(18,5) | 123<br>(36,6) | 45<br>(36,6) |

Obs.:  $M \pm dp$  : valor médio, mais ou menos desvio padrão. O valor entre parênteses representa o desvio padrão percentual em relação ao desvio médio.



**Figura 5.5:** Alcalinidade Total ao longo do tempo



**Figura 5.6:** Alcalinidade Parcial (até pH = 5,75) ao longo do tempo

Foi verificado a ocorrência de um aumento nos valores de alcalinidade total e parcial (produção de alcalinidade) para a Fase 3, ao longo dos compartimentos, comprovado pela não ocorrência do aumento nos valores de ácidos orgânicos voláteis.

Para as Fases 4 e 5 os valores de alcalinidade parcial praticamente não se alteraram ao longo dos compartimentos, contudo para alcalinidade total foi verificado

uma queda nos seus valores, onde também foi verificado um consumo ou degradação maior de ácidos orgânicos voláteis no sistema.

Por meio da Tabela 5.7 pode-se observar a amplitude de variação de Alcalinidade Parcial e Total, entre entrada e saída o reator, para as cinco fases estudadas.

**Tabela 5.7:** Amplitude de variação de Alcalinidade Parcial e Total

| Fases | Alcalinidade Parcial<br>(mg.CaCO <sub>3</sub> .L <sup>-1</sup> ) |        | Alcalinidade Total<br>(mg.CaCO <sub>3</sub> .L <sup>-1</sup> ) |        |
|-------|--|--------|--|--------|
|       | máximo   | mínimo | máximo   | mínimo |
| 1     | 138  | 60     | 235  | 105    |
| 2     | 268  | 53     | 426  | 98     |
| 3     | 198  | 59     | 294  | 115    |
| 4     | 121  | 45     | 219  | 74     |
| 5     | 236  | 0      | 350  | 27     |

Alcalinidade intermediária é calculada como o valor da alcalinidade total subtraída do valor da alcalinidade parcial. Esse parâmetro fornece a relação de quanto da alcalinidade total é formada por alcalinidade de carbonatos e bicarbonatos e quanto é formado por alcalinidade de ácidos orgânicos voláteis.

O comportamento apresentado na relação AI/AP mostra que o sistema tampão gerado no interior do reator foi devido principalmente por bicarbonatos.

A Fase 3 apresentou menores amplitudes de variação na relação AI/AP, indicando uma maior estabilidade do sistema.

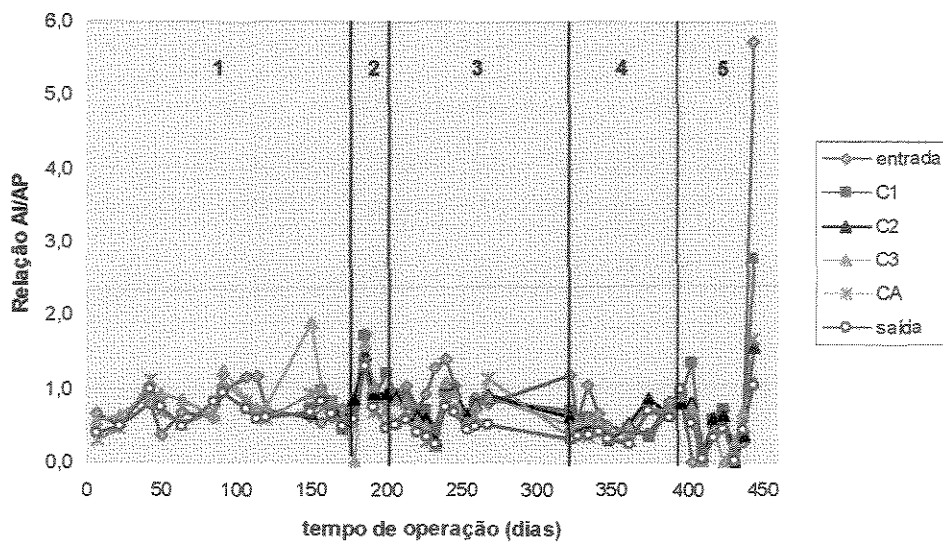
O aumento dos valores da relação AI/AP na Fase 5, confirma que a alcalinidade total apresentou uma proporção maior, devido aos AOV, que as demais fases, principalmente nas câmaras 1 e 2, o que produziu um efeito tampão menor pelo sistema carbonato-bicarbonato que o apresentado nas outras fases.

A relação AI/AP (Tabela 5.8), segundo RIPLEY et al. (1986) e NOUR (1996), é um importante parâmetro para a rápida verificação das condições operacionais da digestão anaeróbia. De acordo com estes autores, valores de AI/AP superiores a 0,3, indicam a ocorrência de distúrbios no processo anaeróbio. Mas segundo FORESTI (1994) apud CHERNICHARO (1997), é possível a estabilidade do processo mesmo para valores diferentes de 0,3, dependendo do caso em estudo.

**Tabela 5.8:** Valores médios, desvios padrão absolutos e percentuais, para relação AI/AP, Alcalinidade Intermediária (pH 5,75 até 4,3; AI = AT – AP) / Alcalinidade Parcial (até pH = 5,75)

| Ponto de Coleta  | 444 dias de operação |                | Fase 1         |                | Fase 2         |                | Fase 3         |                | Fase 4         |                | Fase 5          |                 |
|------------------|----------------------|----------------|----------------|----------------|----------------|----------------|----------------|----------------|----------------|----------------|-----------------|-----------------|
|                  | M ± dp               |                | M ± dp         |                | M ± dp         |                | M ± dp         |                | M ± dp         |                | M ± dp          |                 |
| Afluente         | 0,85<br>(96,5)       | 0,82<br>(96,5) | 0,72<br>(33,3) | 0,24<br>(33,3) | 1,10<br>(50,0) | 0,55<br>(50,0) | 0,94<br>(26,6) | 0,25<br>(26,6) | 0,72<br>(40,3) | 0,29<br>(40,3) | 1,06<br>(195,3) | 2,07<br>(195,3) |
| Câmara 1         | 0,77<br>(62,3)       | 0,48<br>(62,3) | 0,73<br>(31,5) | 0,23<br>(31,5) | 1,12<br>(47,3) | 0,53<br>(47,3) | 0,82<br>(25,6) | 0,21<br>(25,6) | 0,56<br>(33,9) | 0,19<br>(33,9) | 0,85<br>(111,8) | 0,95<br>(111,8) |
| Câmara 2         | 0,71<br>(45,1)       | 0,32<br>(45,1) | 0,72<br>(15,3) | 0,11<br>(15,3) | 1,10<br>(30,0) | 0,33<br>(30,0) | 0,78<br>(28,2) | 0,22<br>(28,2) | 0,60<br>(28,3) | 0,17<br>(28,3) | 0,58<br>(93,1)  | 0,54<br>(93,1)  |
| Câmara 3         | 0,72<br>(50,0)       | 0,36<br>(50,0) | 0,88<br>(39,8) | 0,35<br>(39,8) | 0,88<br>(92,0) | 0,81<br>(92,0) | 0,72<br>(33,3) | 0,24<br>(33,3) | 0,61<br>(26,2) | 0,16<br>(26,2) | 0,47<br>(85,1)  | 0,40<br>(85,1)  |
| Câmara 4<br>(CA) | 0,61<br>(52,5)       | 0,32<br>(52,5) | 0,70<br>(32,9) | 0,23<br>(32,9) | 0,85<br>(54,1) | 0,46<br>(54,1) | 0,60<br>(43,3) | 0,26<br>(43,3) | 0,48<br>(45,8) | 0,22<br>(45,8) | 0,53<br>(101,9) | 0,54<br>(101,9) |
| Saída            | 0,56<br>(46,4)       | 0,26<br>(46,4) | 0,67<br>(28,4) | 0,19<br>(28,4) | 0,88<br>(43,2) | 0,38<br>(43,2) | 0,49<br>(30,6) | 0,15<br>(30,6) | 0,48<br>(52,1) | 0,25<br>(52,1) | 0,41<br>(85,4)  | 0,35<br>(85,4)  |

Obs.: M ± dp : valor médio, mais ou menos desvio padrão. O valor entre parênteses representa o desvio padrão percentual em relação ao desvio médio.



**Figura 5.7:** Relação alcalinidade intermediária e alcalinidade parcial (AI/AP) ao longo do tempo

CAMARGO (2000), que operou por 745 dias filtros anaeróbios com enchimento de bambu verificou que a relação AI/AP no efluente dos filtros estiveram na faixa entre 0,3 e 0,6 e assegurou um bom tamponamento diante das variações de pH no afluente dos filtros a ser tratado pelos filtros.

Na Tabela 5.8 e Figura 5.7 nota-se que a relação AI/AP no efluente do reator compartimentado em estudo esteve na faixa entre 0,6 a 0,9, valores considerados elevados. Contudo, foi verificado um bom tamponamento diante dos valores encontrados de pH nos efluentes das diversas câmaras do reator compartimentado anaeróbio/aeróbio, reforçando os estudos de FORESTI (1994) apud CHERNICHARO (1997) e CAMARGO (2000). Estes resultados indicam uma significativa estabilidade nos valores de pH verificados, um resultado de grande importância na operação de reatores anaeróbios.

## 5.6 ÁCIDOS ORGÂNICOS VOLÁTEIS (AOV)

O equilíbrio na concentração dos ácidos orgânicos voláteis é um bom indicador de um adequado funcionamento de um reator anaeróbio e o valor é de grande importância no acompanhamento da atividade das bactérias acidogênicas e as arqueas metanogênicas (Tabela 5.9 e Figura 5.8).

Segundo NOUR (1996), o procedimento analítico para quantificação de AOV (DiLALLO e ALBERTSON, 1961), mostrou-se pouco adequado durante seu trabalho experimental, pois os resultados obtidos mostraram-se mais qualitativos, que quantitativos. Esta característica deve-se principalmente a pouca sensibilidade do método a concentrações de AOV menores que  $180 \text{ mg.HAc.L}^{-1}$ , limite mínimo estudado no trabalho dos referidos autores. As amostras utilizadas durante as análises efetuadas pelos autores foram de todos digeridos em processos anaeróbios, com uma concentração de sólidos bem maiores, NOUR (1996). Esta afirmação também é válida para o presente estudo.

Uma alternativa seria a utilização de Cromatografia Gasosa para uma quantificação mais exata e precisa, além deste método possibilitar a identificação dos ácidos orgânicos presentes. Estes dados são importantes para o estudo mais aprofundado da influência do Tempo de Detenção Hidráulica e Taxa de Carregamento Orgânico no desempenho e operação de reatores compartimentados anaeróbios e as possíveis diferenças existentes entre seus compartimentos, NOUR (1996).

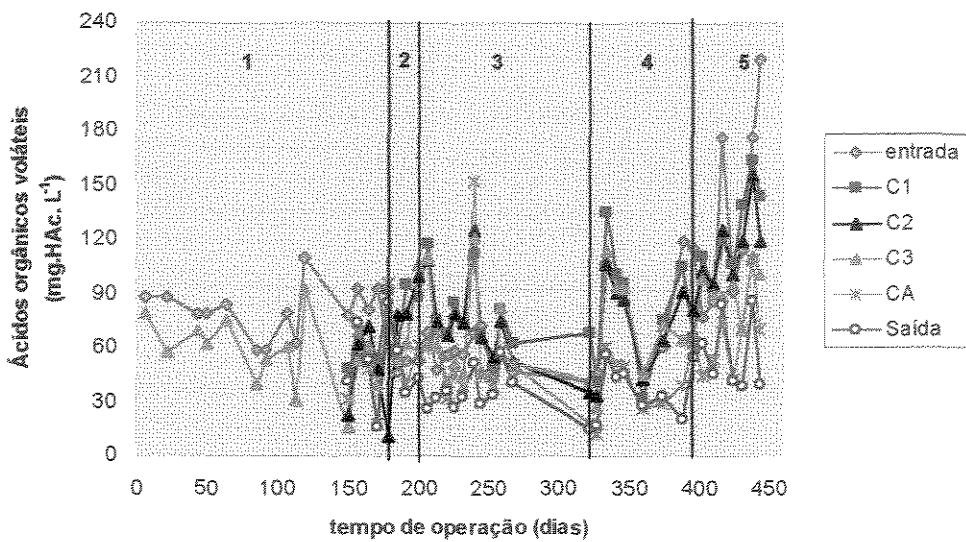
Contudo, o método titulométrico de determinação descrito por DiLLALO e ALBERTSON (1961), ainda é bastante utilizado em estudos com efluentes líquidos, e desta forma optou-se pela sua utilização neste estudo de modo a comparar os resultados aqui obtidos com aqueles presentes na literatura.

**Tabela 5.9:** Valores médios, desvios padrão absolutos e percentuais, para Ácidos Orgânicos Voláteis ( $\text{mg.HAc.L}^{-1}$ )

| Ponto de Coleta  | 444 dias de operação | Fase 1       | Fase 2       | Fase 3       | Fase 4       | Fase 5       |              |              |              |              |               |              |
|------------------|----------------------|--------------|--------------|--------------|--------------|--------------|--------------|--------------|--------------|--------------|---------------|--------------|
|                  | $M \pm dp$           | $M \pm dp$   | $M \pm dp$   | $M \pm dp$   | $M \pm dp$   | $M \pm dp$   |              |              |              |              |               |              |
| Afluente         | 81<br>(45,7)         | 37<br>(17,5) | 80<br>(13,2) | 14<br>(13,2) | 53<br>(17,5) | 7<br>(17,5)  | 57<br>(17,5) | 10<br>(17,5) | 79<br>(39,2) | 31<br>(39,2) | 134<br>(41,8) | 56<br>(41,8) |
| Câmara 1         | 86<br>(37,2)         | 32<br>(4,0)  | 51<br>(25,9) | 2<br>(25,9)  | 81<br>(25,3) | 21<br>(25,3) | 79<br>(25,3) | 20<br>(25,3) | 79<br>(41,8) | 33<br>(41,8) | 125<br>(20,0) | 25<br>(20,0) |
| Câmara 2         | 79<br>(40,5)         | 32<br>(41,2) | 51<br>(41,2) | 21<br>(70,9) | 55<br>(70,9) | 39<br>(70,9) | 80<br>(27,5) | 22<br>(27,5) | 70<br>(38,6) | 27<br>(38,6) | 117<br>(17,9) | 21<br>(17,9) |
| Câmara 3         | 68<br>(38,2)         | 26<br>(35,7) | 56<br>(35,7) | 20<br>(20,0) | 65<br>(20,0) | 13<br>(20,0) | 68<br>(45,6) | 31<br>(45,6) | 68<br>(41,2) | 28<br>(41,2) | 93<br>(14,0)  | 13<br>(14,0) |
| Câmara 4<br>(CA) | 53<br>(50,9)         | 27<br>(53,4) | 42<br>(53,4) | 22<br>(45,3) | 64<br>(45,3) | 29<br>(45,3) | 59<br>(55,9) | 33<br>(55,9) | 38<br>(47,4) | 18<br>(47,4) | 66<br>(34,8)  | 23<br>(34,8) |
| Saída            | 43<br>(44,2)         | 19<br>(52,2) | 46<br>(52,2) | 24<br>(42,4) | 59<br>(42,4) | 25<br>(42,4) | 37<br>(27,0) | 10<br>(27,0) | 34<br>(27,0) | 16<br>(27,0) | 57<br>(47,1)  | 21<br>(36,8) |

Obs.:  $M \pm dp$  : valor médio, mais ou menos desvio padrão. O valor entre parênteses representa o desvio padrão percentual em relação ao desvio médio.

Na Fase 1, onde foi monitorado apenas a entrada e a saída da câmara 3 até o 120º dia observou-se uma queda nos níveis de ácidos voláteis, mas não se pode afirmar que nesta fase ocorreu uma eficiente metabolização dos ácidos em relação entrada e saída, pois, nos dias 150º e 157 °, onde começou a ser monitorada todas as câmaras observou-se uma variação muito ampla nos resultados analisados em cada uma delas.



**Figura 5.8:** Ácidos Orgânicos Voláteis ao longo do tempo

A Fase 2, com TDH de 16 horas (12 horas para câmaras anaeróbia e 4 horas para a câmara aeróbia), mostrou um grande desequilíbrio em relação à concentração de AOV, na maioria das câmaras, provavelmente devido a problemas operacionais já citados, ocorridos nesta fase.

As Fases 3, 4 e 5, após o 220º dia de operação ocorreu uma adequada metabolização dos ácidos.

Com a diminuição do TDH, consequentemente aumento da Taxa de Carregamento Orgânico (TCO) da Fase 2 (12 horas câmaras anaeróbias e 4 horas câmara aeróbia) para 3 (8 horas câmaras anaeróbias e 4 horas câmara aeróbia), praticamente não houve alterações nos valores de AOV, a mesma característica apresentada quando se diminuiu o TDH da Fase 3 para a 4 (4 horas câmaras anaeróbias e 4 horas câmara aeróbia), apenas ocorrendo um aumento no valor de entrada, característica esta apresentada pela qualidade do afluente do reator.

Na Fase 5 observou-se um aumento na concentração de AOV, este aumento se deve a sobrecarga do afluente. O pH, a partir desta Fase não teve seu valor aumentado devido ao aumento dos AOV, enquanto a relação AI/AP atingiu o valor de 5,71, mas a média permaneceu por volta de 0,89.

## 5.7 DEMANDA QUÍMICA DE OXIGÊNIO – DQO

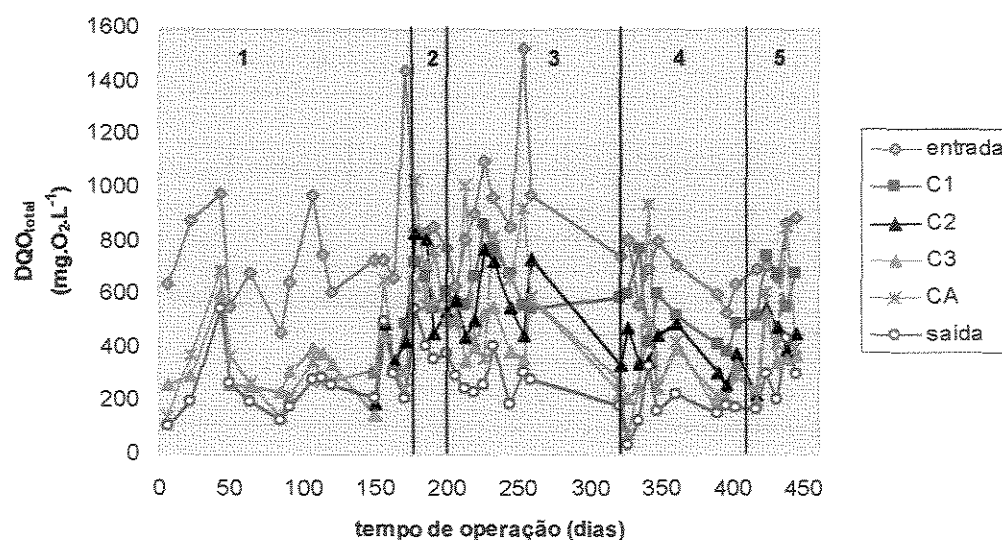
### 5.7.1 DQO<sub>total</sub>

Os valores de DQO<sub>total</sub> do afluente do reator compartimentado apresentaram grande variação na Fase 1 (Tabela 5.10 e Figura 5.9), estando a maioria dos valores compreendidos entre 450 e 1000 mg.O<sub>2</sub>.L<sup>-1</sup>, com a média e desvio padrão de 727 ± 183 mg.O<sub>2</sub>.L<sup>-1</sup>. Foram analisados valores de eficiência de *remoção parcial* definida como a eficiência de remoção de DQO<sub>total</sub> entre a entrada do reator e a saída da 3<sup>a</sup> câmara e *remoção total*, definida como eficiência de remoção de DQO<sub>total</sub> entre entrada e saída do reator, englobando câmaras anaeróbias, aeróbia e decantador secundário. Estes resultados são apresentados na Tabela 5.11 e Figura 5.10.

**Tabela 5.10:** Valores médios, desvios padrão absolutos e percentuais, para DQO<sub>total</sub> ( $\text{mg.O}_2\text{.L}^{-1}$ )

| Ponto de Coleta  | 444 dias de operação | Fase 1        | Fase 2        | Fase 3        | Fase 4        | Fase 5        |               |               |               |               |               |               |
|------------------|----------------------|---------------|---------------|---------------|---------------|---------------|---------------|---------------|---------------|---------------|---------------|---------------|
|                  | M ± dp               | M ± dp        | M ± dp        | M ± dp        | M ± dp        | M ± dp        |               |               |               |               |               |               |
| Afluente         | 790<br>(27,0)        | 213<br>(31,9) | 764<br>(31,9) | 244<br>(1,4)  | 840<br>(1,4)  | 12<br>(27,0)  | 945<br>(27,0) | 255<br>(15,4) | 680<br>(15,4) | 105<br>(14,4) | 742<br>(14,4) | 107<br>(14,4) |
| Câmara 1         | 575<br>(23,3)        | 134<br>(27,1) | 395<br>(27,1) | 107<br>(13,7) | 641<br>(13,7) | 88<br>(16,9)  | 645<br>(16,9) | 109<br>(24,2) | 536<br>(24,2) | 130<br>(17,0) | 607<br>(17,0) | 103<br>(17,0) |
| Câmara 2         | 477<br>(34,6)        | 165<br>(35,5) | 363<br>(35,5) | 129<br>(30,1) | 698<br>(30,1) | 210<br>(21,2) | 589<br>(21,2) | 125<br>(22,3) | 376<br>(22,3) | 84<br>(26,7)  | 412<br>(26,7) | 110<br>(26,7) |
| Câmara 3         | 375<br>(37,1)        | 139<br>(33,7) | 323<br>(33,7) | 109<br>(10,3) | 641<br>(10,3) | 66<br>(19,5)  | 462<br>(19,5) | 90<br>(37,0)  | 284<br>(37,0) | 105<br>(37,0) | 356<br>(29,8) | 106<br>(29,8) |
| Câmara 4<br>(CA) | 451<br>(57,6)        | 260<br>(49,1) | 328<br>(49,1) | 161<br>(30,4) | 782<br>(30,4) | 238<br>(35,3) | 642<br>(35,3) | 227<br>(84,0) | 318<br>(84,0) | 267<br>(48,7) | 466<br>(48,7) | 227<br>(48,7) |
| Saída            | 263<br>(43,7)        | 115<br>(47,7) | 260<br>(47,7) | 124<br>(22,2) | 437<br>(22,2) | 97<br>(24,3)  | 288<br>(24,3) | 70<br>(47,1)  | 174<br>(47,1) | 82<br>(38,4)  | 263<br>(38,4) | 101<br>(38,4) |

Obs.: M ± dp : valor médio, mais ou menos desvio padrão. O valor entre parênteses representa o desvio padrão percentual em relação ao desvio médio.



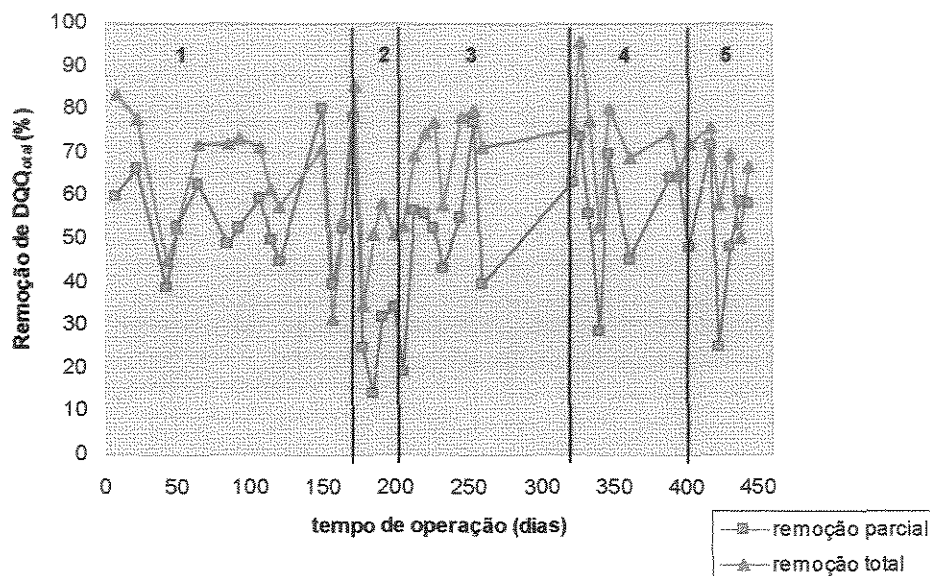
**Figura 5.9:** DQO<sub>total</sub> ao longo do tempo

Os valores médios e desvios padrão absolutos e percentual de remoção de DQO<sub>total</sub> estão representados no Tabela 5.11.

**Tabela 5.11:** Valores médios, desvios padrão absolutos e percentuais, para percentagem de remoção de DQO<sub>total</sub>

| Ponto de Coleta | 444 dias de operação | Fase 1         | Fase 2         | Fase 3         | Fase 4         | Fase 5         |                |                |                |                |                |
|-----------------|----------------------|----------------|----------------|----------------|----------------|----------------|----------------|----------------|----------------|----------------|----------------|
|                 | M ± dp               | M ± dp         | M ± dp         | M ± dp         | M ± dp         | M ± dp         |                |                |                |                |                |
| Remoção Parcial | 51,5<br>(31,5)       | 16,2<br>(22,6) | 56,1<br>(22,6) | 12,7<br>(37,3) | 23,6<br>(34,2) | 8,8<br>(14,7)  | 48<br>(52,1)   | 16,4<br>(25,3) | 58<br>(32,8)   | 14,7<br>(17,1) |                |
| Remoção Total   | 66,0<br>(20,8)       | 13,7<br>(23,6) | 64,8<br>(23,6) | 15,3<br>(24,8) | 47,9<br>(16,3) | 11,9<br>(11,1) | 67,9<br>(73,7) | 11,1<br>(12,3) | 73,7<br>(65,2) | 12,3<br>(9,6)  | 65,2<br>(14,7) |

Obs.: M ± dp : valor médio, mais ou menos desvio padrão. O valor entre parênteses representa o desvio padrão percentual em relação ao desvio médio.



**Figura 5.10:** Eficiência de Remoção de DQO<sub>total</sub> ao longo do tempo

O reator apresentou boa eficiência de remoção durante a Fase 1 indicando que mesmo com um período de aproximadamente 6 meses sem acompanhamento adequado o desempenho do reator pouco se alterou (SILVA *et al.*, 2000).

Vale ressaltar que problemas operacionais com o sistema ocorreram na Fase 1, não possibilitando a ocorrência de um equilíbrio adequado. Problemas com a peneira estática; onde grãos não retidos provocaram entupimento no registro, responsável pelo

controle da vazão, e consequentemente controle do tempo de detenção hidráulica; problemas ocorreram também com o sistema de aeração que não estava conseguindo aerar de forma homogênea a câmara 4, além de problemas com o compressor no início da operação do sistema (Fase 1).

Com a ocorrência de problemas operacionais, principalmente no controle da vazão de entrada, que era feita por meio de um registro de gaveta, a eficiência obtida na Fase 2 não melhorou, já que se pretendia obter melhores resultados quanto a remoção e DQO<sub>total</sub>.

A Fase 2 não apresentou resultados comparativos, pois não foi possível uma operação adequada frente aos TDH das câmaras anaeróbias e aeróbias, por isso o reator foi operado por um curto período de tempo.

A Tabela 5.12 apresenta os resultados para a análise estatística de comparação de médias de duas amostras na remoção parcial de DQO<sub>total</sub> nas diferentes fases de estudo do reator compartimentado anaeróbio/aeróbio.

**Tabela 5.12:** Comparação entre a média de duas amostras na remoção parcial de DQO<sub>total</sub> nas diferentes fases de estudo

| Fases  | 1 | 2 | 3 | 4 | 5 |
|--------|---|---|---|---|---|
| 1 (14) |   | ≠ | = | = | = |
| 2 (3)  | ≠ |   | ≠ | ≠ | ≠ |
| 3 (9)  | = | ≠ |   | = | = |
| 4 (8)  | = | ≠ | = |   | = |
| 5 (6)  | = | ≠ | = | = |   |

Obs.: = : os resultados não diferem com nível de significância com P = 0,05;

≠ : os resultados diferem com nível de significância com P = 0,05;

O valor entre parênteses representa o número de amostras que geraram a média.

Na Fase 3, mesmo com menor TDH igual a 12 horas (8 horas câmaras anaeróbias e 4 horas câmara aeróbia), houve uma melhor remoção parcial de DQO<sub>total</sub>

em relação à Fase 2, onde se conseguiu um melhor controle da vazão, consequentemente um melhor funcionamento do sistema.

É importante verificar que mesmo com a diminuição do TDH das câmaras anaeróbias de 12 para 8 horas (Fase 2 para 3) ocorreu um aumento na eficiência média remoção parcial de DQO<sub>total</sub>, mesmo sabendo que a Fase 2 foi péssima para remoção de quase todos os parâmetros. O mesmo fato ocorreu quando da passagem da Fase 3 para a 4, onde o reator ficou um período de aproximadamente 2 meses em situações precárias de operação devido a alguns problemas encontrados. Com a diminuição em 50 % do TDH para todo o sistema da Fase 3 para a 4 (8 para 4 horas), a avaliação estatística de comparação de médias de duas amostras mostrou que os valores de remoção parcial de DQO<sub>total</sub> da Fase 3 e 4 não diferem com nível de significância de P=0,05 (Tabela 5.12). A Fase 5 também não apresentou diferença significativa em relação as Fase 3 e 4.

A Tabela 5.13 apresenta os resultados para a análise estatística de comparação de média de duas amostras na remoção total de DQO<sub>total</sub> nas diferentes fases de estudo do reator compartmentado anaeróbio/aeróbio.

**Tabela 5.13:** Comparação entre a média de duas amostras na remoção total de DQO<sub>total</sub> nas diferentes fases de estudo

| Fases  | 1 | 2 | 3 | 4 | 5 |
|--------|---|---|---|---|---|
| 1 (14) |   | = | = | = | = |
| 2 (3)  | = |   | = | ≠ | ≠ |
| 3 (9)  | = | = |   | = | = |
| 4 (8)  | = | ≠ | = |   | = |
| 5 (6)  | = | ≠ | = | = |   |

Obs.: = : os resultados não diferem com nível de significância com P = 0,05;

≠ : os resultados diferem com nível de significância com P = 0,05;

O valor entre parênteses representa o número de amostras que geraram a média.

O aumento do TDH da câmara aeróbia de 2 para 4 horas (Fase 1 para a 2, 3 e 4) alterou pouco a eficiência média de remoção total de DQO<sub>total</sub> em relação aos valores

médios, o mesmo se confirmado quando foi realizado a avaliação estatística de comparação de médias de duas amostras (Tabela 5.13). Quando se alterou o TDH de 4 para 3 horas (Fase 4 para 5), houve uma pequena diminuição na eficiência média de remoção total de DQO<sub>total</sub>, quando se analisou apenas os valores médios. Pode-se justificar essa pequena diminuição na eficiência média pela alteração no TDH e por problemas operacionais como, a quebra da bomba e problemas no compressor de ar. Foi também na Fase 5 que se verificou a menor média de oxigênio dissolvido.

Os valores de remoção parcial de DQO<sub>total</sub> encontrados para a Fase 1, 4 e 5, foram um pouco maiores (somente câmaras anaeróbias) que 50%, valor também encontrado por POVINELLI (1994) para a partida de um reator compartimentado anaeróbio de 3 câmaras seguidos por filtro de britas.

ZANELLA (1999) apresentou valor de remoção média total e desvio padrão de DQO<sub>total</sub> de  $72,3 \pm 9,9\%$ , para o TDH<sub>total</sub> = 10 horas. Analisando-se apenas os valores médios, a Fase 4, que foi operada com TDH menor ao utilizado por ZANELLA (1999), apresentou valor de média semelhante. Porém, o método estatístico de comparação de médias de duas amostras pode-se afirmar que o resultado apresentado por ZANELLA op cit. para remoção total de DQO<sub>total</sub> apenas difere com nível de significância P=0,05, para a Fase 2, como pode ser observado pela Tabela 5.14

**Tabela 5.14:** Resultados da Comparação entre a média de duas amostras entre os valores obtidos no presente estudo com ZANELLA (1999) na remoção total de DQO<sub>total</sub> nas diferentes fases de estudo

| Presente Trabalho |     | ZANELLA (1999)<br>TDH = 10 horas<br>(3) |
|-------------------|-----|---|
| Fase              | TDH |   |
| 1 (14)            | 10  | =                                       |
| 2 (3)             | 16  | ≠                                       |
| 3 (9)             | 12  | =                                       |
| 4 (8)             | 8   | =                                       |
| 5 (6)             | 7   | =                                       |

Obs.: = : os resultados não diferem com nível de significância com P = 0,05;

≠ : os resultados diferem com nível de significância com P = 0,05;

O valor entre parênteses representa o número de amostras que geraram a média.

NOUR (1996), apresentou como resultados de remoção total e desvios padrão de DQO<sub>total</sub> para as 3 Fases estudadas, TDH<sub>1</sub>=12 horas (Fase 1 B), TDH<sub>2</sub>=8 horas (Fase 2) e TDH<sub>3</sub>=12 horas (Fase 3) os seguintes valores:  $52,5 \pm 8,6\%$ ,  $42,1 \pm 13,9\%$  e  $56,7 \pm 9,5\%$ , respectivamente. Comparando-se apenas os valores médios de remoção de DQO<sub>total</sub>, os resultados obtidos por NOUR (1996), onde existiam somente câmaras anaeróbias, foram menores que os encontrados no presente estudo para as cinco fases. De forma a avaliar com maior cuidado os resultados dessa comparação, foi realizado também a comparação de médias de duas amostras (Tabela 5.15).

Por meio da análise estatística realizada e apresentada na Tabela 5.15, pode-se concluir que nem todos os valores apresentados por NOUR (1996) são menores que os apresentados neste estudo. O símbolo de “=” apresentado na Tabela 5.15, possibilita concluir que os resultados não diferem com nível de significância com P = 0,05 e a maioria dos resultados representados pelo símbolo de “≠” eram menores e diferiam com nível de significância com P = 0,05.

**Tabela 5.15:** Resultados da Comparação entre a média de duas amostras entre os valores obtidos no presente estudo com NOUR (1996) na remoção total de DQO<sub>total</sub> nas diferentes fases de estudo

| Presente Trabalho |     | NOUR (1996)<br>TDH = 12 horas<br>(20) | NOUR (1996)<br>TDH = 8 horas<br>(34) | NOUR (1996)<br>TDH = 12 horas<br>(13) |
|-------------------|-----|---------------------------------------|--------------------------------------|---------------------------------------|
| Fase              | TDH |                                       |                                      |                                       |
| 1 (14)            | 10  | ≠                                     | ≠                                    | =                                     |
| 2 (3)             | 16  | =                                     | ≠                                    | =                                     |
| 3 (9)             | 12  | ≠                                     | ≠                                    | ≠                                     |
| 4 (8)             | 8   | ≠                                     | ≠                                    | ≠                                     |
| 5 (6)             | 7   | ≠                                     | ≠                                    | =                                     |

Obs.: = : os resultados não diferem com nível de significância com P = 0,05;

≠ : os resultados diferem com nível de significância com P = 0,05;

O valor entre parênteses representa o número de amostras que geraram a média.

LOPES (1999), operou um reator compartimentado anaeróbio e um compartimentado aeróbio de bancada, de volume total de 10 litros. O reator compartimentado aeróbio recebia como afluente o efluente do reator compartimentado anaeróbio. No trabalho de LOPES *op cit.*, a Fase 1 (TDH<sub>total</sub> = 8 horas) obteve uma remoção média de 89,0 ± 4,0 a Fase 2 (TDH<sub>total</sub> = 6 horas) 85 ± 5%, valores estes maiores que os apresentados no presente estudo, valendo ressaltar que o reator operado pela autora constituía-se de um reator de bancada, onde se conseguia controlar melhor as variáveis do sistema, o que provavelmente possibilitou um alto valor na eficiência de remoção comparado aos do presente reator compartimentado, um sistema em uma escala piloto.

AISSE (2000) fez um estudo comparativo entre um reator UASB e um reator anaeróbio compartimentado seqüencial com vazão de 250 L/h para tratar esgoto sanitário e, verificou que para remoção de DQO<sub>total</sub> o reator UASB apresentou uma remoção de 70,0 % e o reator anaeróbio compartimentado 58,2 %. O presente estudo apresentou resultado semelhante ao do reator UASB para o TDH da Fase 3, e resultado maior para o TDH da Fase 4, e os resultados apresentados para reator anaeróbio compartimentado foram menores que o do presente estudo, apenas

apresentando resultado maior para o TDH da Fase 2 onde foram encontrados problemas operacionais, já citados anteriormente.

Como resultado médio de remoção parcial (câmaras anaeróbias), o reator compartimentado anaeróbio/aeróbio apresentou resultados médios semelhantes ao apresentado por AISSE (2000)

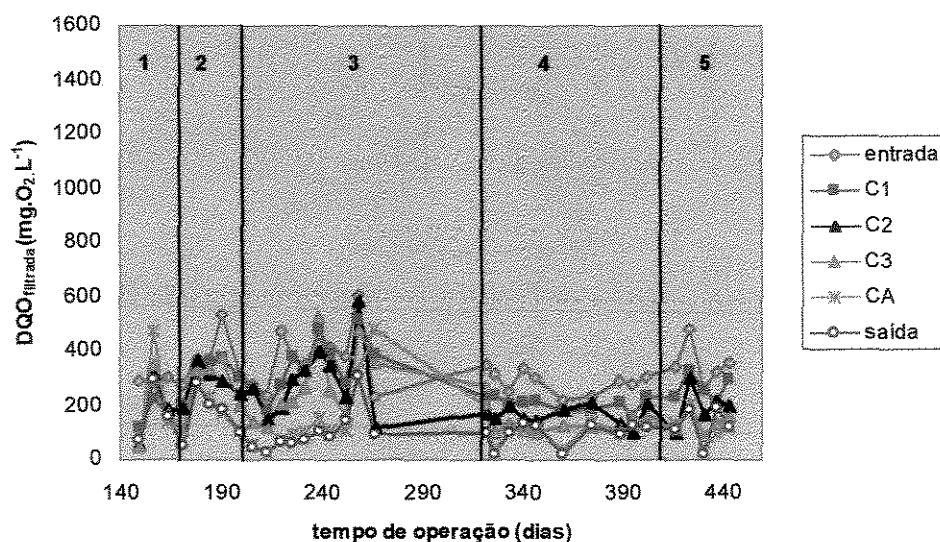
### **5.7.2 DQO<sub>filtrada</sub>**

O afluente (efluente bruto) apresentou uma alta amplitude de variação para os valores de DQO<sub>filtrada</sub> (Tabela 5.16 e Figura 5.11), comportamento semelhante ao apresentado pela DQO<sub>total</sub>. Estes valores situaram-se na faixa de 215 a 603 mg.O<sub>2</sub>.L<sup>-1</sup> durante todo o período experimental. Considerando-se cada uma das fases de operação, foram encontradas as faixas: para a Fase 1 de 274 a 303 mg.O<sub>2</sub>.L<sup>-1</sup>, para a Fase 2 de 366 a 533 mg.O<sub>2</sub>.L<sup>-1</sup>, para a Fase 3 de 227 a 603 mg.O<sub>2</sub>.L<sup>-1</sup>, para Fase 4 de 215 a 350 mg.O<sub>2</sub>.L<sup>-1</sup> e para a Fase 5 de 254 a 481 mg.O<sub>2</sub>.L<sup>-1</sup>.

**Tabela 5.16** Valores médios, desvios padrão absolutos e percentuais, para DQO<sub>filtrada</sub> ( $\text{mg.O}_2 \cdot \text{L}^{-1}$ )

| Ponto de Coleta  | 444 dias de operação | Fase 1        | Fase 2        | Fase 3        | Fase 4        | Fase 5        |
|------------------|----------------------|---------------|---------------|---------------|---------------|---------------|
|                  |                      | M ± dp        |
| Afluente         | 336<br>(26,8)        | 292<br>(3,4)  | 385<br>(28,1) | 369<br>(30,1) | 283<br>(16,3) | 342<br>(22,2) |
| Câmara 1         | 271<br>(34,7)        | 168<br>(30,3) | 320<br>(33,8) | 345<br>(28,7) | 202<br>(12,9) | 258<br>(17,4) |
| Câmara 2         | 227<br>(46,2)        | 105<br>(70,5) | 289<br>(25,6) | 286<br>(45,1) | 160<br>(21,3) | 198<br>(33,3) |
| Câmara 3         | 201<br>(58,7)        | 118<br>(80,4) | 152<br>(42,8) | 264<br>(51,1) | 130<br>(40,8) | 142<br>(28,2) |
| Câmara 4<br>(CA) | 143<br>(76,9)        | 110<br>(99,5) | 222<br>(49,5) | 186<br>(93,2) | 110<br>(49,1) | 118<br>(49,2) |
| Saída            | 118<br>(63,6)        | 75<br>(65,1)  | 175<br>(51,9) | 99<br>(75,8)  | 92<br>(47,8)  | 123<br>(50,4) |

Obs.: M ± dp : valor médio, mais ou menos desvio padrão. O valor entre parênteses representa o desvio padrão percentual em relação ao desvio médio.



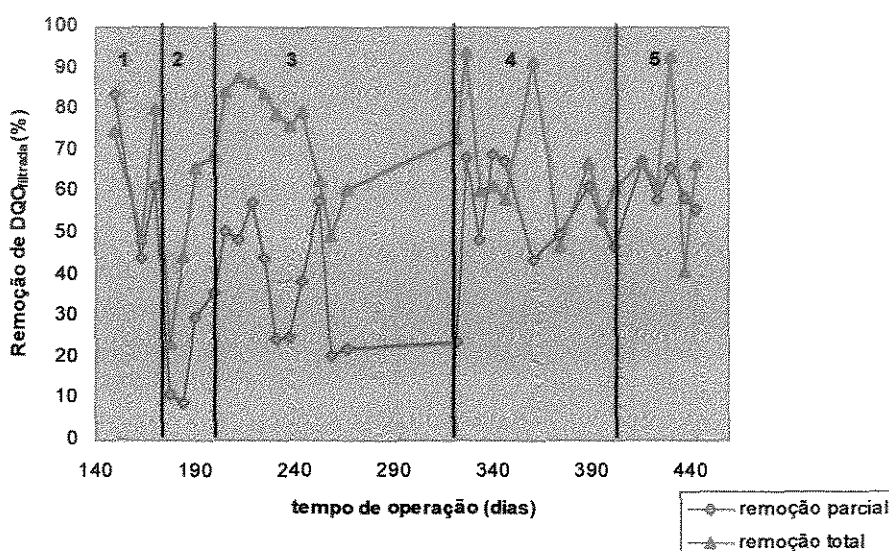
**Figura 5.11:** DQO<sub>filtrada</sub> ao longo do tempo

Os valores médios e desvios padrão absoluto e percentual de remoção de DQO<sub>filtrada</sub> estão representados na Tabela 5.17 e Figura 5.12.

**Tabela 5.17:** Valores médios, desvios padrão absolutos e percentuais, para percentagem de remoção de DQO<sub>filtrada</sub>

| Ponto de Coleta | 444 dias de operação | Fase 1         | Fase 2         | Fase 3         | Fase 4         | Fase 5         |                |                |                |                |
|-----------------|----------------------|----------------|----------------|----------------|----------------|----------------|----------------|----------------|----------------|----------------|
|                 | M ± dp               | M ± dp         | M ± dp         | M ± dp         | M ± dp         | M ± dp         |                |                |                |                |
| Remoção Parcial | 46,9<br>(39,9)       | 18,7<br>(31,7) | 63,0<br>(31,7) | 20,0<br>(69,5) | 16,4<br>(36,7) | 11,4<br>(14,1) | 38,4<br>(53,8) | 14,1<br>(14,9) | 58,8<br>(27,7) | 7,4<br>(12,6)  |
| Remoção Total   | 67,2<br>(24,9)       | 16,7<br>(24,9) | 68,0<br>(24,9) | 16,9<br>(47,7) | 44,4<br>(16,8) | 21,2<br>(12,5) | 74,3<br>(67,3) | 12,5<br>(16,2) | 65,0<br>(24,1) | 18,7<br>(28,8) |

Obs.: M ± dp : valor médio, mais ou menos desvio padrão. O valor entre parênteses representa o desvio padrão percentual em relação ao desvio médio.



**Figura 5.12 – Eficiência de Remoção de DQO<sub>filtrada</sub> ao longo do tempo**

Para a Fase 1 a DQO<sub>filtrada</sub> apresentou uma tendência semelhante a DQO<sub>total</sub>, porém, havendo uma maior remoção da DQO<sub>filtrada</sub> em relação a DQO<sub>total</sub>, como pode ser observado nas Tabelas 5.11 e 5.17 e Figuras 5.10 e 5.12.

A Fase 3 foi a que apresentou melhores resultados médios de remoção total de DQO<sub>filtrada</sub>.

Na Tabela 5.18 são apresentados os resultados para a análise estatística de comparação de média de duas amostras na remoção parcial de DQO<sub>filtrada</sub> nas diferentes fases de estudo do reator compartimentado anaeróbio/aeróbio.

Mesmo com a diminuição do TDH das câmaras anaeróbias de 12 para 8 horas (Fase 2 para 3) não houve queda na eficiência média de remoção parcial de DQO<sub>filtrada</sub>, mas sim foi um aumento nos valores médios de remoção parcial, fato confirmado, quando foi realizado a avaliação estatística de comparação de médias de duas amostras (Tabela 5.18).

**Tabela 5.18:** Comparação entre a média de duas amostras na remoção parcial de DQO<sub>filtrada</sub> nas diferentes fases de estudo

| Fases  | 1 | 2 | 3 | 4 | 5 |
|--------|---|---|---|---|---|
| 1 (3)  |   | ≠ | = | = | = |
| 2 (3)  | ≠ |   | ≠ | ≠ | ≠ |
| 3 (11) | = | ≠ |   | ≠ | ≠ |
| 4 (9)  | = | ≠ | ≠ |   | = |
| 5 (6)  | = | ≠ | ≠ | = |   |

Obs.: = : os resultados não diferem com nível de significância com P = 0,05;

≠ : os resultados diferem com nível de significância com P = 0,05;

O valor entre parênteses representa o número de amostras que geraram a média.

O mesmo ocorreu quando se diminuiu o TDH da fase anaeróbia de 8 para 4 horas (Fase 3 para 4) ocorrendo um aumento de 38,4 para 53,8% na eficiência de remoção. Este resultado indica que o reator compartimentado anaeróbio/aeróbio apresenta uma boa flexibilidade e rápida absorção de choques ocasionados pela variação do TDH. A Fase 5 não apresentou diferença significativa no valor de remoção parcial de DQO<sub>filtrada</sub>.

Na Tabela 5.19 são apresentados os resultados para a análise estatística de comparação de média de duas amostras na remoção total de DQO<sub>filtrada</sub> nas diferentes fases de estudo do reator compartimentado anaeróbio/aeróbio.

**Tabela 5.19:** Comparação entre a média de duas amostras na remoção total de DQO<sub>filtrada</sub> nas diferentes fases de estudo

| Fases  | 1 | 2 | 3 | 4 | 5 |
|--------|---|---|---|---|---|
| 1 (3)  |   | = | = | = | = |
| 2 (3)  | = |   | = | = | = |
| 3 (11) | = | = |   | = | = |
| 4 (9)  | = | = | = |   | = |
| 5 (6)  | = | = | = | = |   |

Obs.: = : os resultados não diferem com nível de significância com P = 0,05;

≠ : os resultados diferem com nível de significância com P = 0,05;

O valor entre parênteses representa o número de amostras que geraram a média.

O aumento do TDH da fase aeróbia de 2 para 4 horas (Fase 1 para a 2, 3 e 4) pouco alterou a eficiência média de remoção total de DQO<sub>filtrada</sub>, fato confirmado quando foi realizado a avaliação estatística de comparação de médias de duas amostras, onde os resultados não diferiam com nível de significância com P = 0,05 (Tabela 5.19). O valor de média de remoção total de DQO<sub>filtrada</sub> não apresentou diferença em relação a Fase 4 mesmo quando da diminuição do TDH da câmara aeróbia de 4 para 3 horas. Foi também na Fase 5 que se verificou a menor média de oxigênio dissolvido.

NOUR (1996), obteve como resultados para remoção de DQO<sub>filtrada</sub>,  $33,6 \pm 13,9\%$  para a Fase 1 B,  $28,0 \pm 13,2\%$  para a Fase 2 e  $36,2 \pm 10,9\%$  para a Fase 3, em um reator compartimentado anaeróbico. Comparando-se apenas os valores médios de remoção total de DQO<sub>filtrada</sub>, os valores apresentados foram menores que os encontrados no presente estudo para as cinco fases. De forma a avaliar com maior cuidado os resultados dessa comparação, foi realizado também a comparação de médias de duas amostras (Tabela 5.20).

**Tabela 5.20:** Resultados da Comparação entre a média de duas amostras entre os valores obtidos no presente estudo com NOUR (1996) na remoção total de DQO<sub>filtrada</sub> nas diferentes fases de estudo

| Presente Trabalho |     | NOUR (1996)<br>TDH = 12 horas<br>(19) nº de amostras | NOUR (1996)<br>TDH = 8 horas<br>(31) nº de amostras | NOUR (1996)<br>TDH = 12 horas<br>(13) nº de amostras |
|-------------------|-----|--|---|--|
| Fase              | TDH |  |   |  |
| 1 (3)             | 10  | ≠  | =   | ≠  |
| 2 (3)             | 16  | =  | =   | =  |
| 3 (11)            | 12  | ≠  | ≠   | ≠  |
| 4 (9)             | 8   | ≠  | ≠   | ≠  |
| 5 (6)             | 7   | ≠  | ≠   | =  |

Obs.: = : os resultados não diferem com nível de significância com P = 0,05;

≠ : os resultados diferem com nível de significância com P = 0,05;

. O valor entre parênteses representa o número de amostras que geraram a média.

A análise estatística realizada e apresentada na Tabela 5.20 apresenta resultados onde se pode concluir que nem todos os valores apresentados por NOUR (1996) são menores que os apresentados neste estudo, pois o símbolo de “=” apresentado na Tabela 5.20, possibilita concluir que os resultados não diferem com nível de significância com P = 0,05.

LOPES (1999), operando um reator compartimentado aeróbio onde era recebido como afluente o efluente de um reator compartimentado anaeróbico, com TDH<sub>total</sub> = 8 horas obteve  $81,0 \pm 7,0\%$  de remoção média de DQO<sub>filtrada</sub>, e TDH<sub>total</sub> = 6 horas obteve  $79,0 \pm 12,0\%$ , valores estes superiores aos apresentados pelo presente estudo quando analisado apenas valores médios, porém quando foi realizado o teste estatístico de comparação de médias de duas amostras, os resultados não apresentam diferença com nível de significância com P = 0,05 (Tabela 5.21).

**Tabela 5.21:** Resultados da Comparaçāo de média de duas amostras entre os valores obtidos no presente estudo com LOPES (1999) na remoção total de DQO<sub>filtrada</sub> nas diferentes fases de estudo

| Presente Trabalho |     | LOPES (1999)<br>TDH = 8 horas<br>(24) | LOPES (1999)<br>TDH = 6 horas<br>(29) |
|-------------------|-----|---------------------------------------|---------------------------------------|
| Fase              | TDH |                                       |                                       |
| 1 (3)             | 10  | =                                     | =                                     |
| 2 (3)             | 16  | =                                     | =                                     |
| 3 (11)            | 12  | =                                     | =                                     |
| 4 (9)             | 8   | =                                     | =                                     |
| 5 (6)             | 7   | =                                     | =                                     |

Obs.: = : os resultados não diferem com nível de significância com P = 0,05;

≠ : os resultados diferem com nível de significância com P = 0,05;

. O valor entre parênteses representa o número de amostras que geraram a média.

Para TDH<sub>total</sub> = 12, 8 e 6 horas (Etapa I), LOPES (1999) obteve como resultados de eficiência de remoção de DQO<sub>filtrada</sub> 60 ± 15; 47 ± 15 e 41 ± 12% para o reator compartimentado anaeróbio alimentado com efluente sanitário. O presente reator, com um TDH igual a 8 horas (Fase 1) para as câmaras anaeróbias, apresentou melhores resultados que os obtidos por LOPES (1999), quando foram avaliados apenas os valores médios. Entretanto quando avaliados com o teste de comparação de médias de duas amostras, os valores não apresentaram diferença significativa ao nível de P = 0,05 em quase todas as fases de operação. (Tabela 5.22)

**Tabela 5.22:** Resultados da Comparação de média de duas amostras entre os valores obtidos no presente estudo com LOPES (1999) na remoção parcial de DQO<sub>filtrada</sub> nas diferentes fases de estudo

| Presente Trabalho |     | LOPES (1999)<br>TDH = 12 horas<br>(44) | LOPES (1999)<br>TDH = 8 horas<br>(27) | LOPES (1999)<br>TDH = 6 horas<br>(8) |
|-------------------|-----|--|---------------------------------------|--------------------------------------|
| Fase              | TDH |  |                                       |                                      |
| 1 (3)             | 10  | =                                      | =                                     | =                                    |
| 2 (3)             | 16  | ≠                                      | ≠                                     | ≠                                    |
| 3 (11)            | 12  | =                                      | =                                     | =                                    |
| 4 (9)             | 8   | =                                      | =                                     | =                                    |
| 5 (6)             | 7   | =                                      | ≠                                     | =                                    |

Obs.: = : os resultados não diferem com nível de significância com P = 0,05;

≠ : os resultados diferem com nível de significância com P = 0,05;

O valor entre parênteses representa o número de amostras que geraram a média.

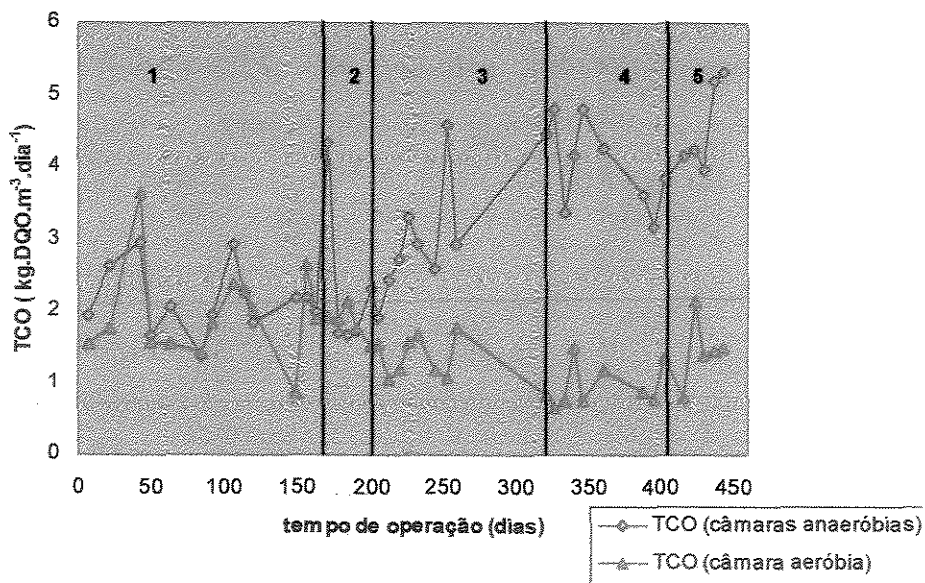
## 5.8 TAXA DE CARREGAMENTO ORGÂNICO (TCO)

Os valores da taxa de carregamento orgânico são mostrados na Tabela 5.23 e Figura 5.13.

**Tabela 5.23:** Valores médios, desvios padrão absolutos e percentuais, para TCO ( $\text{kg.DQO.m}^3.\text{dia}^{-1}$ ) para fase anaeróbia e aeróbia.

| Ponto de Coleta | 444 dias de operação | Fase 1         |                | Fase 2         |                | Fase 3         |                | Fase 4         |                | Fase 5         |                |      |
|-----------------|----------------------|----------------|----------------|----------------|----------------|----------------|----------------|----------------|----------------|----------------|----------------|------|
|                 |                      | M ± dp         |      |
| Fase Anaeróbia  | 3,05<br>(37,4)       | 1,14<br>(31,9) | 2,29<br>(31,9) | 0,73<br>(1,2)  | 1,68<br>(1,2)  | 0,02<br>(27,1) | 2,84<br>(27,1) | 0,77<br>(15,5) | 4,07<br>(15,5) | 0,63<br>(14,4) | 4,44<br>(14,4) | 0,64 |
| Fase Aeróbia    | 1,53<br>(39,2)       | 0,60<br>(34,4) | 1,94<br>(34,4) | 0,66<br>(10,4) | 1,92<br>(10,4) | 0,20<br>(19,6) | 1,38<br>(19,6) | 0,27<br>(36,5) | 0,85<br>(36,5) | 0,31<br>(29,4) | 1,43<br>(29,4) | 0,42 |

Obs.: M ± dp : valor médio, mais ou menos desvio padrão. O valor entre parênteses representa o desvio padrão percentual em relação ao desvio médio.



**Figura 5.13:** Taxa de Carregamento Orgânico ao longo do tempo

Com o aumento no TDH das câmaras anaeróbias da Fase 1 para 2, mesmo ocorrendo um aumento na DQO<sub>total</sub> ocorreu uma diminuição no valor médio da TCO.

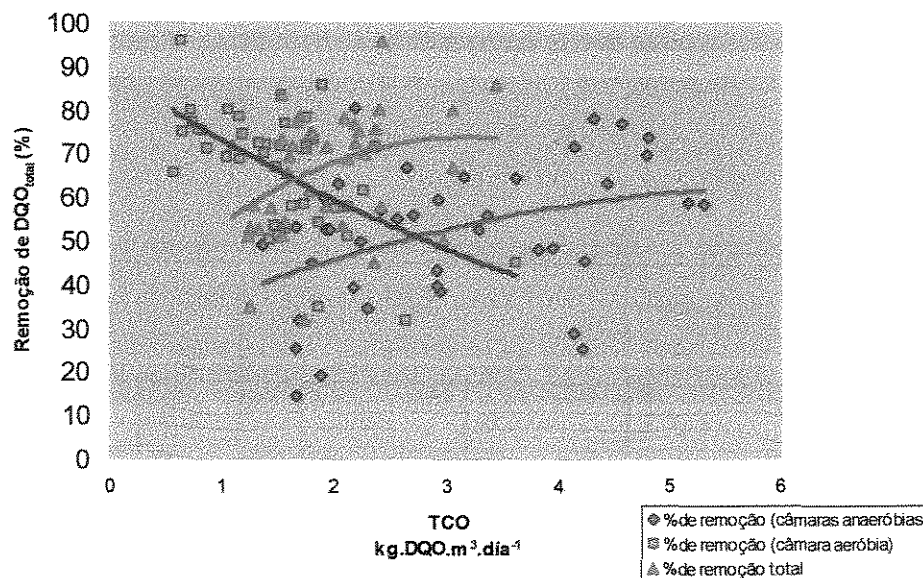
Quando houve a diminuição no TDH das câmaras anaeróbias da Fase 2 para a 3 e também um aumento nos valores médios de DQO<sub>total</sub> a TCO apresentou valores maiores, variando de 1,89 a 4,57 kg.DQO.m<sup>-3</sup>.dia<sup>-1</sup>, para um valor médio  $2,84 \pm 0,77$  kg.DQO.m<sup>-3</sup>.dia<sup>-1</sup>. Para a diminuição no TDH das câmaras anaeróbias pela metade (Fase 3 para a 4) houve um grande aumento na TCO, variando de 3,16 a 4,80 kg.DQO.m<sup>-3</sup>.dia<sup>-1</sup>, e valor médio de  $4,07 \pm 0,63$  kg.DQO.m<sup>-3</sup>.dia<sup>-1</sup>. Este aumento ocorrido foi absorvido adequadamente pelo sistema, não apresentando nenhuma alteração em sua estabilidade. Para a Fase 5 onde foi mantido o TDH das câmaras anaeróbias a TCO praticamente não houve alteração nos seus valores.

O aumento do TDH de 2 para 4 horas para a câmara aeróbia (Fase 1 para a 2, 3 e 4) não se detectou diferença nos valores médios da TCO para a Fase 2, mesmo com a ocorrência de aumento nos valores médios de DQO<sub>total</sub>. Para a Fase 3 os valores médios da TCO tiveram uma diminuição nos valores médios o mesmo comportamento

observado nos valores médios de DQO<sub>total</sub>. Na Fase 4 onde o TDH ainda era de 4 horas para a câmara aeróbia o mesmo comportamento ocorrido na Fase 3 foi observado, já para a Fase 5 onde o TDH da câmara aeróbia foi diminuído de 4 para 3 horas, houve um pequeno aumento da TCO.

As mudanças promovidas no tempo de detenção hidráulica podem ser consideradas como um pequeno choque orgânico e hidráulico no reator. Como as respostas a choques do reator compartimentado são rápidas (NACHAIYASIT & STUCKEY, 1997a, 1997b), a eficiência do reator voltou em poucos dias, este comportamento também foi observado para o reator compartimentado anaeróbio/aeróbio estudado, principalmente com a mudança do TDH da Fase 3 para 4 e 5, onde foi diminuído pela metade o TDH da fase anaeróbia.

Os valores da taxa de carregamento orgânico em função da porcentagem de remoção de DQO<sub>total</sub> são mostrados na Figura 5.14.



**Figura 5.14:** Taxa de Carregamento Orgânico em função da porcentagem Remoção de DQO<sub>total</sub>

Por meio da Figura 5.14 pode-se observar pela linha de tendência da fase aeróbia que com o aumento da TCO provocou uma diminuição nos valores de porcentagem de remoção de DQO<sub>total</sub>, isto não ocorrendo com a linha de tendência da fase anaeróbia, que com o aumento da TCO a porcentagem de remoção de DQO<sub>total</sub> tendeu a um aumento, uma boa característica observada onde pode-se constatar que esta configuração pode suportar altas cargas. E com o aumento da taxa de carregamento pode-se observar um aumento na eficiência de remoção de DQO<sub>total</sub> para um reator como um todo.

## 5.9 DEMANDA BIOQUÍMICA DE OXIGÉNIO (DBO<sub>5</sub>)

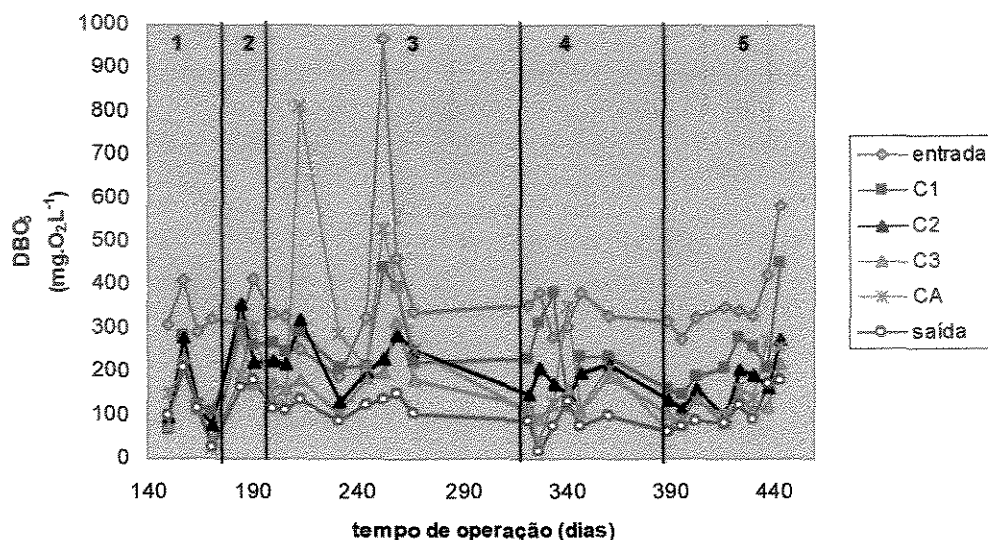
O comportamento apresentado pela DBO<sub>5</sub> (Tabela 5.24 e Figura 5.15) foi semelhante ao da DQO<sub>total</sub> apresentando a mesma instabilidade nos valores médios de porcentagem (Figura 5.16 e 5.10, Tabela 5.11 e 5.25).

**Tabela 5.24** Valores médios, desvios padrão absolutos e percentuais, para DBO<sub>5</sub> (mg.O<sub>2</sub>.L<sup>-1</sup>).

| Ponto de Coleta  | 444 dias de operação | Fase 1        | Fase 2        | Fase 3        | Fase 4        | Fase 5        |
|------------------|----------------------|---------------|---------------|---------------|---------------|---------------|
|                  |                      | M ± dp        |
| Afluente         | 360<br>(38,3)        | 332<br>(16,0) | 363<br>(19,8) | 399<br>(60,7) | 242<br>(13,2) | 327<br>(25,6) |
| Câmara 1         | 245<br>(38,0)        | 93<br>(65,1)  | 146<br>(9,6)  | 280<br>(30,2) | 86<br>(38,6)  | 228<br>(36,2) |
| Câmara 2         | 195<br>(35,4)        | 69<br>(65,2)  | 141<br>(32,8) | 95<br>(24,1)  | 56<br>(22,0)  | 168<br>(32,4) |
| Câmara 3         | 152<br>(42,1)        | 64<br>(73,7)  | 114<br>(36,1) | 84<br>(31,2)  | 58<br>(30,6)  | 121<br>(34,1) |
| Câmara 4<br>(CA) | 213<br>(75,1)        | 160<br>(62,1) | 124<br>(31,0) | 77<br>(67,5)  | 231<br>(72,3) | 137<br>(39,5) |
| Saída            | 114<br>(42,1)        | 48<br>(67,9)  | 112<br>(7,0)  | 76<br>(15,8)  | 19<br>(41,6)  | 77<br>(36,9)  |

Obs.: M ± dp : valor médio, mais ou menos desvio padrão. O valor entre parênteses representa o desvio padrão percentual em relação ao desvio médio.

A Fase 3 foi a que apresentou a maior oscilação quanto aos valores de  $\text{DBO}_5$ , para o efluente na entrada do reator, valores variando de 187,09 a 967,09  $\text{mg.O}_2\cdot\text{L}^{-1}$ . A Fase 1 foi a que apresentou a maior oscilação quanto aos valores de saída de  $\text{DBO}_5$  variando de 24,91 a 208,92  $\text{mg.O}_2\cdot\text{L}^{-1}$ , fase esta onde ocorreu a estabilização do sistema, podendo ter sido esta uma das causas desta oscilação.



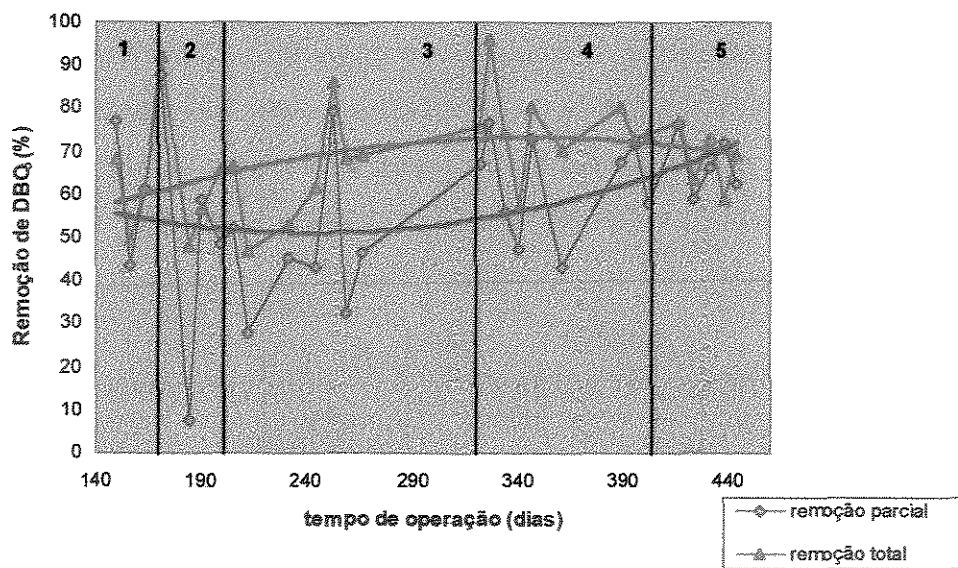
**Figura 5.15:** Demanda Bioquímica de Oxigênio ( $\text{DBO}_5$ ) ao longo do tempo

Os valores médios de porcentagem de remoção de  $\text{DBO}_5$  estão apresentados na Tabela 5.25 e Figura 5.16.

**Tabela 5.25:** Valores médios, desvios padrão absolutos e percentuais, para remoção de  $\text{DBO}_5$ .

| Ponto de Coleta | 444 dias de operação | Fase 1         | Fase 2         | Fase 3          | Fase 4         | Fase 5         |                |                |               |               |
|-----------------|----------------------|----------------|----------------|-----------------|----------------|----------------|----------------|----------------|---------------|---------------|
|                 | $M \pm dp$           | $M \pm dp$     | $M \pm dp$     | $M \pm dp$      | $M \pm dp$     | $M \pm dp$     |                |                |               |               |
| Saída Câmara 3  | 57,2<br>(31,1)       | 17,8<br>(28,7) | 67,3<br>(19,3) | 33,0<br>(109,4) | 36,1<br>(33,2) | 46,7<br>(15,5) | 62,6<br>(19,8) | 12,4<br>(11,1) | 65,6<br>(7,3) | 7,3<br>(11,1) |
| Saída do Reator | 68,3<br>(18,0)       | 12,3<br>(26,9) | 67,6<br>(18,2) | 52,4<br>(11,8)  | 6,2<br>(18,0)  | 64,6<br>(11,6) | 75,7<br>(14,4) | 10,9<br>(14,4) | 69,2<br>(9,8) | 6,8<br>(9,8)  |

Obs.:  $M \pm dp$  : valor médio, mais ou menos desvio padrão. O valor entre parênteses representa o desvio padrão percentual em relação ao desvio médio.



**Figura 5.16:** Eficiência de Remoção de  $\text{DBO}_5$  ao longo do tempo

Na Tabela 5.26 são apresentados os resultados da análise estatística de comparação de média de duas amostras na remoção parcial de  $\text{DBO}_5$  nas diferentes fases de estudo do reator compartmentado anaeróbio/aeróbio.

**Tabela 5.26:** Comparação entre a média de duas amostras na remoção parcial de  $\text{DBO}_5$  nas diferentes fases de estudo

| Fases  | 1 | 2 | 3 | 4 | 5 |
|--------|---|---|---|---|---|
| 1 (14) |   | ≠ | = | = | = |
| 2 (3)  | ≠ |   | ≠ | ≠ | ≠ |
| 3 (9)  | = | ≠ |   | ≠ | ≠ |
| 4 (8)  | = | ≠ | ≠ |   | = |
| 5 (6)  | = | ≠ | ≠ | = |   |

Obs.: = : os resultados não diferem com nível de significância com  $P = 0,05$ ;

≠ : os resultados diferem com nível de significância com  $P = 0,05$ ;

O valor entre parênteses representa o número de amostras que geraram a média.

Quando as câmaras anaeróbias tiveram seu TDH diminuído de 12 para 8 horas (Fase 2 para 3) não houve queda na eficiência média de remoção parcial de  $\text{DBO}_5$ , pelo contrário, ocorreu sim um aumento no valor médio de remoção parcial. O mesmo ocorreu quando da passagem da Fase 3 para a 4, onde o reator ficou um período de

aproximadamente 2 meses em situações precárias de operação devido a alguns problemas encontrados. Com a diminuição em 50 % do TDH nas câmaras anaeróbias, 8 para 4 horas, da Fase 3 para a 4, a avaliação estatística de comparação de médias de duas amostras mostraram que os valores entre a Fase 3 e 4 diferem com nível de significância de  $P = 0,05$  (Tabela 5.26). A Fase 5 também apresentou diferença significativa em relação a Fase 3.

Na Tabela 5.27 são apresentados os resultados da análise estatística de comparação de média de duas amostras na remoção total de  $\text{DBO}_5$  nas diferentes fases de estudo do reator compartmentado anaeróbio/aeróbio.

**Tabela 5.27:** Comparação entre a média de duas amostras na remoção total de  $\text{DBO}_5$  nas diferentes fases de estudo

| Fases | 1 | 2 | 3 | 4 | 5 |
|-------|---|---|---|---|---|
| 1 (3) |   | = | = | = | = |
| 2 (3) | = |   | ≠ | ≠ | ≠ |
| 3 (8) | = | ≠ |   | = | = |
| 4 (8) | = | ≠ | = |   | = |
| 5 (6) | = | ≠ | = | = |   |

Obs.: = : os resultados não diferem com nível de significância com  $P = 0,05$ ;

≠ : os resultados diferem com nível de significância com  $P = 0,05$ ;

O valor entre parênteses representa o número de amostras que geraram a média.

Com o aumento do TDH da câmara aeróbia de 2 para 4 horas (Fase 1 para 2, 3 e 4) pouco se alterou a eficiência média de remoção total de  $\text{DBO}_5$ . Apenas a Fase 2 teve um valor médio um pouco menor devido a problemas operacionais já citados e a Fase 4 um valor médio maior em decorrência a um melhor controle operacional do sistema. Quando se alterou o TDH nas câmaras anaeróbias de 4 para 3 horas (Fase 4 para 5) houve uma pequena queda, na eficiência média de remoção total de  $\text{DBO}_5$ . Nesta fase também foi verificada a menor média de oxigênio dissolvido, contudo não houve queda significativa no valor médio de remoção de  $\text{DBO}_5$ .

Quando realizado o teste estatístico de comparação de médias duas amostras, foi verificado que a Fase 2 diferia das Fases 3, 4 e 5, ao nível de significância de  $P = 0,05$ , na comparação de eficiência de remoção de  $\text{DBO}_5$  (Tabela 5.27).

A Fase 4 foi a etapa que apresentou a maior instabilidade quanto aos valores de remoção parcial de  $\text{DBO}_5$ , característica esta também detectada para  $\text{DQO}_{\text{total}}$ , SST e SSV. A Fase 5 foi a que obteve a melhor estabilidade quanto à eficiência de remoção parcial de  $\text{DBO}_5$ .

A eficiência de remoção média parcial (saída da câmara 3) para  $\text{TDH} = 12$  e 8 horas (Fase 3 e 4) foi de  $46,7 \pm 15,5$  e  $62,6 \pm 12,4$  % e para remoção total (saída do decantador) foi de  $64,6 \pm 11,6$  e  $75,7 \pm 10,9$ %. NOUR (1996) apresentou como eficiência de remoção média total para Fase 1B ( $\text{TDH} = 12$  horas), e Fase 2 ( $\text{TDH} = 8$  horas)  $61,8 \pm 9,1$  e  $49,0 \pm 14,2$  %, valores estes maiores que os apresentados para remoção parcial. Contudo, o reator operado por NOUR (1996) apresentava um filtro de britas após as câmaras. Os valores de remoção de  $\text{DBO}_5$  total obtidos no trabalho de NOUR (1996) são menores que os obtidos no presente trabalho, e diferem quando se utilizou o método estatístico de comparação de médias.

ZANELLA (1999) apresentou valores de eficiência média de remoção parcial e total para  $\text{DBO}_5$  quando o  $\text{TDH} = 10$  horas (8 horas para as câmaras anaeróbias e 2 horas para a câmara aeróbia), entre  $64,0 \pm 7,5$  e  $76,0 \pm 7,6$  %, valores estes um pouco maiores que os obtidos no presente estudo para o mesmo  $\text{TDH}$ . Contudo quando realizado o teste estatístico de comparação de médias de duas amostras, os resultados não apresentaram diferença significativa ao nível de  $P = 0,05$ , conforme Tabela 5.28.

**Tabela 5.28:** Resultados da Comparaçāo de média de duas amostras entre os valores obtidos no presente estudo com ZANELLA (1999) na remoção parcial e total de DBO<sub>5</sub> nas diferentes fases de estudo

| Presente Trabalho |     | ZANELLA (1999)<br>TDH = 10 horas<br>(3) |       |
|-------------------|-----|---|-------|
| Fase              | TDH | Parcial                                 | Total |
| 1 (3)             | 10  | =                                       | =     |
| 2 (3)             | 16  | =                                       | ≠     |
| 3 (8)             | 12  | ≠                                       | =     |
| 4 (8)             | 8   | =                                       | =     |
| 5 (6)             | 7   | =                                       | =     |

Obs.: = : os resultados não diferem com nível de significância com P = 0,05;

≠ : os resultados diferem com nível de significância com P = 0,05;

O valor entre parênteses representa o número de amostras que geraram a média.

Para as Fases 2, 3 e 4, os valores médios parciais apresentados para remoção DBO<sub>5</sub> por ZANELLA (1999), apenas na Fase 3 foi observada uma diferença significativa ao nível de P = 0,05, e para remoção total de DBO<sub>5</sub>, nos valores médios apresentados, apenas na Fase 2 foi constatada uma diferença significativa ao nível de P = 0,05 (Tabela 5.28).

## 5.10 VELOCIDADE ASCENSIONAL

Utilizando-se a área superficial de cada uma das três câmaras anaeróbias e a vazão de efluente, foram calculadas as velocidades ascensionais em cada câmara. Estes valores são apresentados na Tabela 5.29.

**Tabela 5.29:** Valores de TDH e velocidades ascensionais

| TDH |    |    |    | Velocidade Ascensional ( $m.h^{-1}$ ) |      |      |
|-----|----|----|----|---------------------------------------|------|------|
| (h) | C1 | C2 | C3 | C1                                    | C2   | C3   |
| 8   | 4  | 2  | 2  | 0,25                                  | 0,50 | 0,50 |
| 12  | 6  | 3  | 3  | 0,16                                  | 0,30 | 0,30 |
| 8   | 4  | 2  | 2  | 0,25                                  | 0,50 | 0,50 |
| 4   | 2  | 1  | 1  | 0,625                                 | 1,25 | 1,25 |
| 4   | 2  | 1  | 1  | 0,625                                 | 1,25 | 1,25 |

Para as Fases 4 e 5 as velocidades ascensionais ( $v = 1,25 m.h^{-1}$ ) para as câmaras 2 e 3 (TDH = 4 horas) não houve perda de sólidos, como pode ser observado por meio da Tabela 33 e Figura 5.19.

Estudos realizados em escala piloto mostraram que a relação área/profundidade para um determinado TDH não influencia o desempenho de reatores UASB. As velocidades ascensionais estão de acordo com os valores recomendados para reatores do tipo UASB, conforme Tabela 5.30.

**Tabela 5.30:** Velocidades ascendentes recomendadas para o projeto de reatores UASB tratando esgoto domésticos.

| Vazão Afluente     | Velocidade Ascendente ( $m.h^{-1}$ ) |
|--------------------|--------------------------------------|
| Vazão média        | 0,5-0,7                              |
| Vazão máxima       | 0,9-1,1                              |
| Picos temporários* | <1,5                                 |

\* Picos de vazão com duração entre 2 e 4 horas.

Fonte: Adaptado de LETTINGA & HULSHOFF POL (1995)

## 5.11 SÓLIDOS EM SUSPENSÃO

Os valores médios de Sólidos em Suspensão obtidos estão apresentados nas Tabelas 5.31, 5.32 e 5.33 e Figuras 5.17, 5.18 e 5.19.

**Tabela 5.31:** Valores médios, desvios padrão absolutos e percentuais, para Sólidos em Suspensão Totais ( $\text{mg} \cdot \text{L}^{-1}$ ).

| Ponto de Coleta  | 444 dias de operação |                 | Fase 1          | Fase 2         | Fase 3          | Fase 4         | Fase 5          |                  |                  |                  |                  |                |
|------------------|----------------------|-----------------|-----------------|----------------|-----------------|----------------|-----------------|------------------|------------------|------------------|------------------|----------------|
|                  | M ± dp               | M ± dp          | M ± dp          | M ± dp         | M ± dp          | M ± dp         | M ± dp          |                  |                  |                  |                  |                |
| Afluente         | 278,6<br>(22,0)      | 61,2<br>(19,1)  | 281,6<br>(19,1) | 53,7<br>(23,6) | 290,3<br>(23,6) | 68,4<br>(18,9) | 305,1<br>(18,9) | 57,7<br>(18,0)   | 235,3<br>(18,0)  | 42,5<br>(10,5)   | 350,6<br>(10,5)  | 36,7           |
| Câmara 1         | 190,2<br>(39,3)      | 74,7<br>(23,8)  | 128,8<br>(23,8) | 30,7<br>(17,7) | 194,3<br>(46,5) | 34,3<br>(21,2) | 188,3<br>(16,7) | 31,5<br>(13,2)   | 208,3<br>(52,9)  | 125,8<br>(92,3)  | 210,7<br>(92,3)  | 29,2<br>(39,9) |
| Câmara 2         | 138,0<br>(49,4)      | 68,2<br>(40,3)  | 77,5<br>(40,3)  | 31,2<br>(29,3) | 174,9<br>(29,3) | 81,3<br>(13,2) | 200,6<br>(13,2) | 42,5<br>(41,1)   | 95,4<br>(41,1)   | 34,0<br>(47,3)   | 145,0<br>(47,3)  | 78,8           |
| Câmara 3         | 107,7<br>(45,2)      | 48,7<br>(36,7)  | 78,5<br>(36,7)  | 28,8<br>(29,3) | 151,1<br>(29,3) | 44,2<br>(13,2) | 145,2<br>(13,2) | 19,1<br>(83,5)   | 83,5<br>(83,5)   | 34,3<br>(34,3)   | 148,8<br>(148,8) | 70,4<br>(70,4) |
| Câmara 4<br>(CA) | 158,4<br>(63,4)      | 100,4<br>(49,2) | 108,5<br>(49,2) | 53,4<br>(31,9) | 236,9<br>(31,9) | 75,5<br>(52,9) | 226,9<br>(52,9) | 120,0<br>(129,1) | 120,0<br>(129,1) | 119,2<br>(119,2) | 202,3<br>(202,3) | 80,8<br>(80,8) |
| Saída            | 72,9<br>(53,5)       | 39,0<br>(47,2)  | 58,3<br>(47,2)  | 27,5<br>(1,9)  | 108,2<br>(1,9)  | 2,0<br>(28,2)  | 116,5<br>(28,2) | 32,8<br>(40,4)   | 40,4<br>(40,4)   | 26,5<br>(65,6)   | 83,4<br>(65,6)   | 32,9<br>(39,4) |

Obs.: M ± dp : valor médio, mais ou menos desvio padrão. O valor entre parênteses representa o desvio padrão percentual em relação ao desvio médio.

**Tabela 5.32:** Valores médios, desvios padrão absolutos e percentuais, para Sólidos em Suspensão Fixos ( $\text{mg} \cdot \text{L}^{-1}$ ).

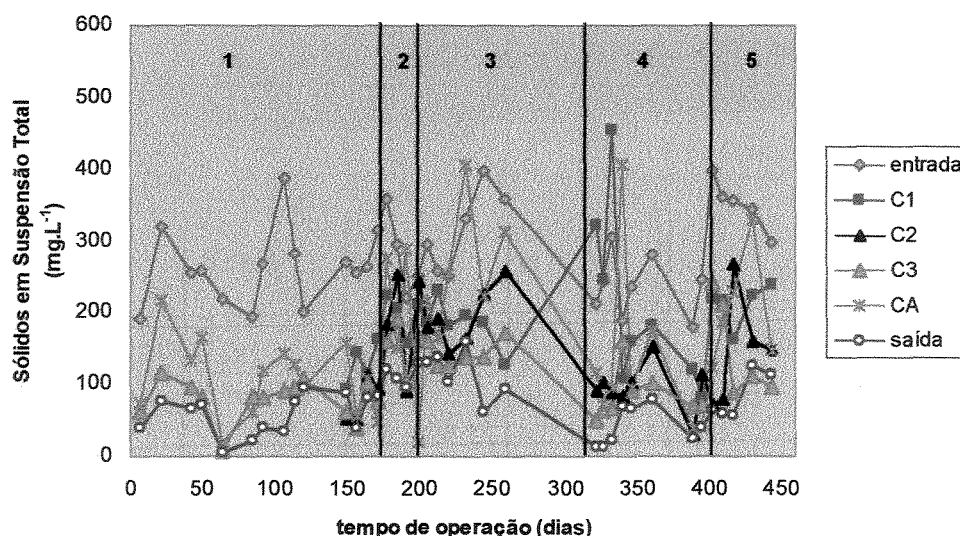
| Ponto de Coleta  | 444 dias de operação |                | Fase 1         | Fase 2         | Fase 3         | Fase 4         | Fase 5         |                |                 |                 |                 |      |
|------------------|----------------------|----------------|----------------|----------------|----------------|----------------|----------------|----------------|-----------------|-----------------|-----------------|------|
|                  | M ± dp               | M ± dp         | M ± dp         | M ± dp         | M ± dp         | M ± dp         | M ± dp         |                |                 |                 |                 |      |
| Afluente         | 39,2<br>(67,1)       | 26,3<br>(59,8) | 28,6<br>(59,8) | 17,1<br>(22,8) | 39,9<br>(22,8) | 9,1<br>(43,8)  | 42,9<br>(43,8) | 18,8<br>(72,8) | 33,5<br>(81,5)  | 27,3<br>(38,8)  | 72,8<br>(53,3)  | 38,8 |
| Câmara 1         | 28,2<br>(78,4)       | 22,1<br>(42,7) | 11,0<br>(42,7) | 4,7<br>(44,2)  | 26,0<br>(44,2) | 11,5<br>(75,5) | 22,9<br>(75,5) | 17,3<br>(34,6) | 34,6<br>(71,7)  | 24,8<br>(40,4)  | 40,4<br>(31,0)  | 31,0 |
| Câmara 2         | 26,2<br>(119,5)      | 31,3<br>(27,9) | 8,6<br>(27,9)  | 2,4<br>(70,9)  | 28,9<br>(70,9) | 20,5<br>(64,6) | 39,6<br>(64,6) | 25,6<br>(13,0) | 13,0<br>(44,6)  | 5,8<br>(44,4)   | 44,4<br>(61,0)  | 61,0 |
| Câmara 3         | 14,7<br>(75,5)       | 11,1<br>(43,0) | 7,9<br>(43,0)  | 3,4<br>(20,6)  | 21,8<br>(20,6) | 4,5<br>(35,2)  | 23,3<br>(35,2) | 8,2<br>(12,2)  | 12,2<br>(116,4) | 14,2<br>(21,5)  | 21,5<br>(14,6)  | 14,6 |
| Câmara 4<br>(CA) | 29,4<br>(98,6)       | 29,0<br>(64,7) | 16,7<br>(64,7) | 10,8<br>(41,0) | 38,8<br>(41,0) | 15,9<br>(64,3) | 47,3<br>(64,3) | 30,4<br>(31,6) | 31,6<br>(144,3) | 45,6<br>(144,3) | 31,6<br>(88,0)  | 27,8 |
| Saída            | 8,8<br>(86,3)        | 7,6<br>(81,6)  | 4,9<br>(81,6)  | 4,0<br>(76,0)  | 12,1<br>(76,0) | 9,2<br>(22,5)  | 16,9<br>(22,5) | 3,8<br>(4,9)   | 4,9<br>(63,3)   | 3,1<br>(63,3)   | 12,7<br>(101,6) | 12,9 |

Obs.: M ± dp : valor médio, mais ou menos desvio padrão. O valor entre parênteses representa o desvio padrão percentual em relação ao desvio médio.

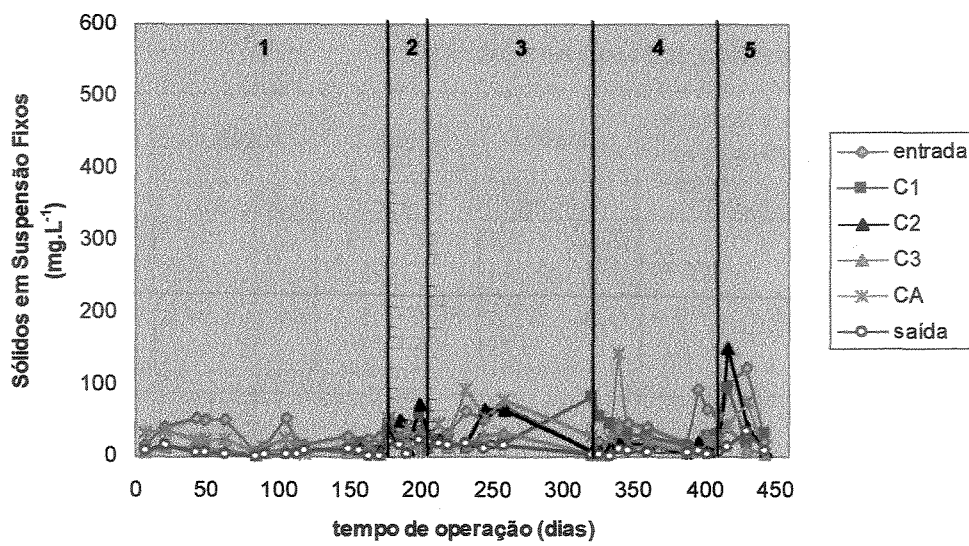
**Tabela 5.33:** Valores médios, desvios padrão absolutos e percentuais, para Sólidos em Suspensão Voláteis ( $\text{mg} \cdot \text{L}^{-1}$ ).

| Ponto de Coleta  | 444 dias de operação | Fase 1         | Fase 2          | Fase 3         | Fase 4          | Fase 5          |                 |                 |                 |                 |                 |
|------------------|----------------------|----------------|-----------------|----------------|-----------------|-----------------|-----------------|-----------------|-----------------|-----------------|-----------------|
|                  | $M \pm dp$           | $M \pm dp$     | $M \pm dp$      | $M \pm dp$     | $M \pm dp$      | $M \pm dp$      |                 |                 |                 |                 |                 |
| Afluente         | 240,4<br>(21,0)      | 50,5<br>(19,0) | 235,7<br>(19,0) | 44,8<br>(29,1) | 205,5<br>(17,3) | 59,9<br>(45,3)  | 262,4<br>(23,9) | 45,3<br>(27,8)  | 201,9<br>(42,1) | 48,3<br>(15,2)  | 277,8<br>(23,9) |
| Câmara 1         | 162,0<br>(41,2)      | 66,7<br>(25,4) | 117,8<br>(29,9) | 29,9<br>(14,1) | 168,3<br>(18,7) | 23,8<br>(165,4) | 165,4<br>(30,9) | 30,9<br>(173,6) | 108,9<br>(62,7) | 170,3<br>(58,9) | 58,9<br>(34,6)  |
| Câmara 2         | 111,3<br>(43,0)      | 47,9<br>(43,8) | 69,1<br>(30,3)  | 30,3<br>(41,8) | 146,1<br>(12,7) | 61,0<br>(161,0) | 82,4<br>(20,5)  | 31,1<br>(37,7)  | 100,6<br>(37,7) | 34,6<br>(34,4)  | 100,6<br>(34,4) |
| Câmara 3         | 93,0<br>(44,2)       | 41,1<br>(36,2) | 70,8<br>(25,6)  | 25,6<br>(30,7) | 129,3<br>(11,3) | 39,7<br>(121,9) | 71,3<br>(13,8)  | 20,9<br>(29,3)  | 127,4<br>(29,3) | 67,9<br>(53,3)  | 127,4<br>(53,3) |
| Câmara 4<br>(CA) | 129,5<br>(58,8)      | 76,2<br>(49,5) | 93,5<br>(46,3)  | 46,3<br>(31,3) | 198,1<br>(53,0) | 62,0<br>(179,5) | 95,2<br>(53,0)  | 75,8<br>(77,7)  | 170,6<br>(77,7) | 55,4<br>(32,5)  | 170,6<br>(32,5) |
| Saída            | 61,4<br>(55,7)       | 34,2<br>(49,6) | 53,4<br>(26,5)  | 26,5<br>(3,4)  | 96,3<br>(51,5)  | 3,3<br>(85,7)   | 85,7<br>(44,4)  | 24,1<br>(35,4)  | 70,6<br>(68,1)  | 25,6<br>(36,3)  | 70,6<br>(36,3)  |

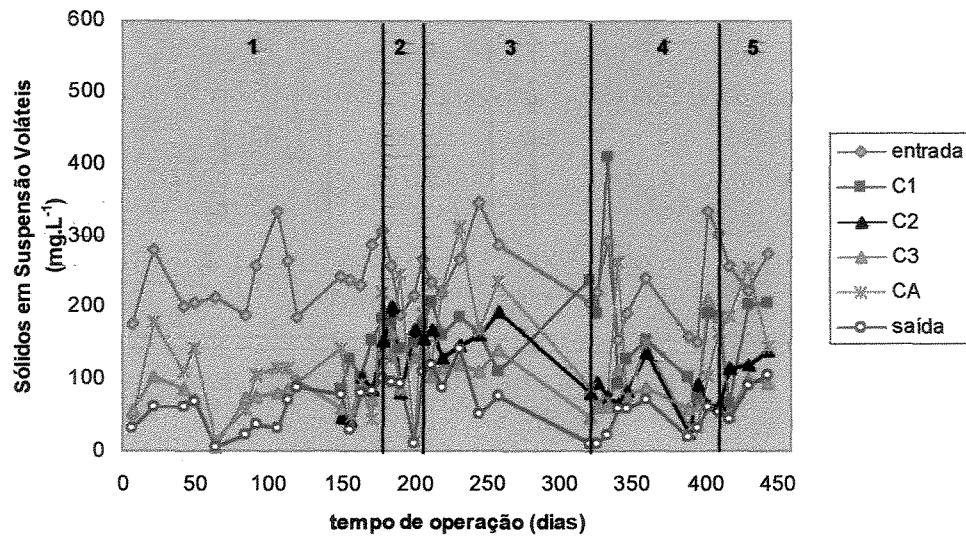
Obs.:  $M \pm dp$  : valor médio, mais ou menos desvio padrão. O valor entre parênteses representa o desvio padrão percentual em relação ao desvio médio.



**Figura 5.17:** Sólidos em Suspensão Totais ao longo do tempo



**Figura 5.18:** Sólidos em Suspensão Fixos ao longo do tempo



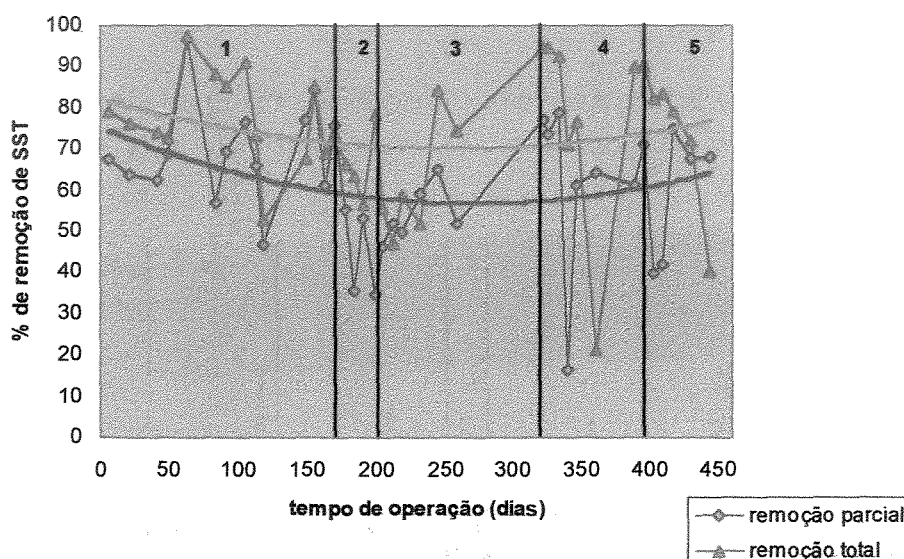
**Figura 5.19:** Sólidos em Suspensão Voláteis ao longo do tempo

As remoções de sólidos em suspensão totais obtidas na saída da câmara 3 e do decantador são apresentadas na Tabela 5.34 e Figura 5.31.

**Tabela 5.34:** Valores médios, desvios padrão absolutos e percentuais, para remoção de Sólidos em Suspensão Totais.

| Ponto de Coleta | 444 dias de operação | Fase 1         | Fase 2         | Fase 3         | Fase 4         | Fase 5         |                |                |                |      |
|-----------------|----------------------|----------------|----------------|----------------|----------------|----------------|----------------|----------------|----------------|------|
|                 | M ± dp               | M ± dp         | M ± dp         | M ± dp         | M ± dp         | M ± dp         |                |                |                |      |
| Saída Câmara 3  | 61,3<br>(25,6)       | 15,7<br>(17,9) | 69,4<br>(12,4) | 10,9<br>(22,8) | 47,9<br>(18,8) | 51,2<br>(9,6)  | 62,8<br>(20,1) | 20,1<br>(32,0) | 58,4<br>(28,1) | 16,4 |
| Saída do Reator | 73,1<br>(23,0)       | 16,8<br>(14,7) | 77,4<br>(11,4) | 5,1<br>(8,2)   | 61,9<br>(14,5) | 64,1<br>(22,6) | 78,8<br>(14,5) | 24,9<br>(22,6) | 71,4<br>(31,6) | 18,0 |

Obs.: M ± dp : valor médio, mais ou menos desvio padrão. O valor entre parênteses representa o desvio padrão percentual em relação ao desvio médio.



**Figura 5.20:** Eficiência de Remoção de SST ao longo do tempo

Na Fase 2 foram obtidos resultados menores na eficiência média de remoção parcial e total de SST em relação às demais Fases, causado pela má manutenção no controle da vazão, já que a tubulação de entrada entupia constantemente.

Na Tabela 5.35 são apresentados os resultados da análise estatística de comparação de média de duas amostras na remoção parcial de SST nas diferentes fases de estudo do reator compartmentado anaeróbico/aeróbico.

**Tabela 5.35:** Comparação de média de duas amostras na remoção parcial de SST nas diferentes fases de estudo

| Fases  | 1 | 2 | 3 | 4 | 5 |
|--------|---|---|---|---|---|
| 1 (14) |   | ≠ | ≠ | = | = |
| 2 (3)  | ≠ |   | = | = | = |
| 3 (7)  | ≠ | = |   | = | = |
| 4 (8)  | = | = | = |   | = |
| 5 (5)  | = | = | = | = |   |

Obs.: = : os resultados não diferem com nível de significância com  $P = 0,05$ ;

≠ : os resultados diferem com nível de significância com  $P = 0,05$ ;

O valor entre parênteses representa o número de amostras que geraram a média.

Com a diminuição do TDH das câmaras anaeróbias de 12 para 8 horas (Fase 2 para 3) não houve queda na eficiência média de remoção parcial de SST, mas sim um aumento. O mesmo ocorreu na mudança do TDH das câmaras anaeróbias da Fase 3 para a 4, onde se diminuiu o TDH em 50%. Na Fase 5 foi mantido o tempo de 4 horas para as câmaras anaeróbias. Contudo, quando realizado o teste estatístico de comparação de médias de duas amostras, as Fases 2 e 3 apresentaram diferença significativa de  $P = 0,05$  em relação à Fase 1. As demais fases não apresentaram diferença significativa entre si (Tabela 5.35).

Na Tabela 5.36 são apresentados os resultados da análise estatística de comparação de média de duas amostras na remoção total de SST nas diferentes fases de estudo do reator compartimentado anaeróbio/aeróbio.

**Tabela 5.36** Comparação de média de duas amostras na remoção total de SST nas diferentes fases de estudo

| Fases  | 1 | 2 | 3 | 4 | 5 |
|--------|---|---|---|---|---|
| 1 (14) |   | ≠ | = | = | = |
| 2 (3)  | ≠ |   | = | = | = |
| 3 (7)  | = | = |   | = | = |
| 4 (8)  | = | = | = |   | = |
| 5 (5)  | = | = | = | = |   |

Obs.: = : os resultados não diferem com nível de significância com  $P = 0,05$ ;

≠ : os resultados diferem com nível de significância com  $P = 0,05$ ;

O valor entre parênteses representa o número de amostras que geraram a média.

Os resultados contidos na Tabela 5.36 indicam que o aumento do TDH da câmara aeróbia de 2 para 4 horas (Fase 1 para a 2, 3 e 4) não alterou muito a eficiência média de remoção total de SST, onde apenas a Fase 2 apresentou diferença significativa ao nível de  $P = 0,05$  em relação à Fase 1. Quando se alterou o TDH de 4 para 3 horas (Fase 4 para 5) houve um pequeno decréscimo na eficiência média de remoção de SST, podendo ter sido ocasionado pela na quebra da bomba que recalava o esgoto para as caixas de alimentação e por problemas com o compressor de ar. Foi também na Fase 5 que se verificou a menor média de oxigênio dissolvido. Esta diferença da Fase 4 para a 5 na remoção média de SST, não é verificada quando realizado o teste estatístico de comparação de médias de duas amostras, pois os valores não apresentaram diferença significativa ao nível de  $P = 0,05$  (Tabela 5.36).

NOUR (1996) apresentou como eficiência de remoção média total para Fase 1B ( $TDH = 12$  horas), Fase 2 ( $TDH = 8$  horas) e Fase 3 ( $TDH = 12$  horas),  $64,3 \pm 13,5$ ,  $49,5 \pm 16,6$  e  $67,5 \pm 10,0$  % valores estes inferiores aos apresentados no presente trabalho para remoção de total de SST, porém NOUR (1996) estudou apenas câmaras anaeróbias, seguidas de um filtro de britas.

Para uma confiança maior na comparação de médias entre os estudo de NOUR (1996) e o presente estudo para remoção de SST, foi realizado o teste estatístico de

comparação de médias de duas amostras, sendo os resultados apresentados na Tabela 5.37.

**Tabela 5.37:** Resultados da Comparação de média de duas amostras entre os valores obtidos no presente estudo com NOUR (1996) na remoção total de SST nas diferentes fases de estudo

| Presente Trabalho |     | NOUR (1996)         |                    |                     |
|-------------------|-----|---------------------|--------------------|---------------------|
| Fase              | TDH | TDH = 12 horas (18) | TDH = 8 horas (32) | TDH = 12 horas (13) |
| 1 (14)            | 10  | ≠                   | ≠                  | ≠                   |
| 2 (3)             | 16  | =                   | ≠                  | =                   |
| 3 (7)             | 12  | =                   | ≠                  | =                   |
| 4 (8)             | 8   | =                   | ≠                  | =                   |
| 5 (5)             | 7   | =                   | ≠                  | =                   |

Obs.: = : os resultados não diferem com nível de significância com  $P = 0,05$ ;

≠ : os resultados diferem com nível de significância com  $P = 0,05$ ;

O valor entre parênteses representa o número de amostras que geraram a média.

A análise estatística apresenta resultados onde se pode concluir que, os valores apresentados por NOUR (1996), são menores que os apresentados neste estudo, pois o símbolo de “≠” apresentado na Tabela 5.37, possibilita concluir que os resultados diferem com nível de significância com  $P = 0,05$ .

LOPES (1999), na segunda etapa de seu estudo, usando um reator compartimentado aeróbio alimentado com efluente de um reator compartimentado anaeróbio, utilizando um TDH igual a 8 horas e 6 horas obteve uma remoção média e desvio padrão de SST igual a  $94,0 \pm 5,0$  e  $82 \pm 20\%$  respectivamente, valores estes maiores que os valores obtidos neste estudo. Para se verificar se havia diferença significativa entre os resultados apresentados pela autora e o do presente estudo foi realizado um teste estatístico de comparação de médias de duas amostras, onde se verificou que os resultados apresentados pela autora não apresentavam diferença significativa ao nível de  $P = 0,05$ , conforme Tabela 5.38.

**Tabela 5.38:** Resultados da Comparação de média de duas amostras entre os valores obtidos no presente estudo com LOPES (1999) na remoção total de SST nas diferentes fases de estudo

| Presente Trabalho |     | LOPES (1999)          |                       |
|-------------------|-----|-----------------------|-----------------------|
|                   |     | TDH = 8 horas<br>(10) | TDH = 6 horas<br>(21) |
| Fase              | TDH |                       |                       |
| 4 (8)             | 8   | =                     | =                     |
| 5 (5)             | 7   | =                     | =                     |

Obs.: = : os resultados não diferem com nível de significância com  $P = 0,05$ ;

≠ : os resultados diferem com nível de significância com  $P = 0,05$ ;

O valor entre parênteses representa o número de amostras que geraram a média.

AISSE (2000) obteve em seu estudo com um reator UASB uma remoção de SST de 72,6 %, valor este um pouco maior que as Fases 2 e 3, muito semelhante ao a Fase 5 e menores que as Fases 1 e 4 do presente estudo. Para o reator anaeróbio compartimentado o autor apresentou um valor de remoção de 60,6%, valor este inferior aos valores apresentados no presente estudo.

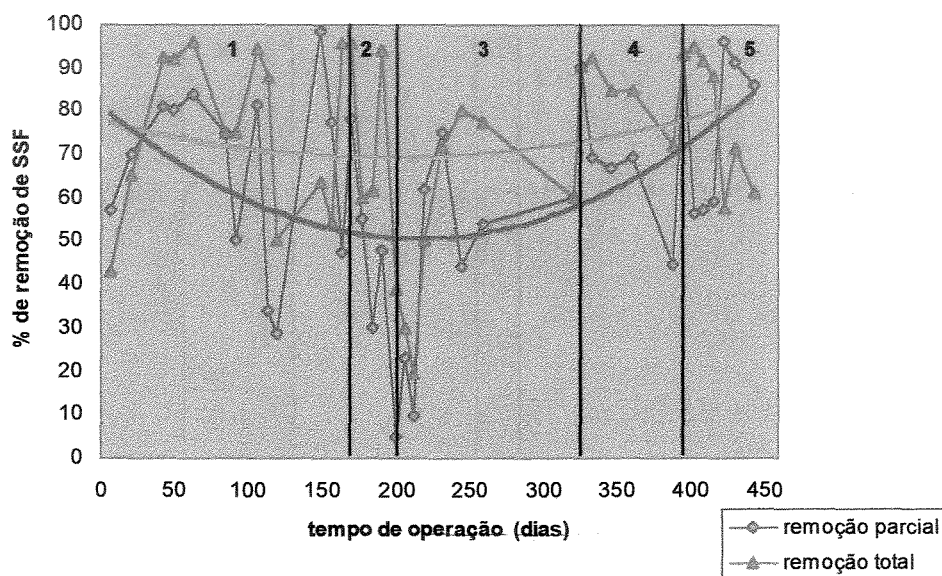
É importante salientar que o desempenho do reator, em relação à remoção de SST, não se alterou durante a diminuição do TDH, procedimento este que proporcionou uma adaptação para biomassa diante de novas condições de operação.

A remoção de sólidos em suspensão fixos obtida é indicado na Tabela 5.39 e Figura 5.21:

**Tabela 5.39:** Valores médios, desvios padrão absolutos e percentuais, para remoção de Sólidos em Suspensão Fixos.

| Ponto de Coleta | 444 dias de operação | Fase 1         | Fase 2         | Fase 3         | Fase 4         | Fase 5         |                |                |                |                |
|-----------------|----------------------|----------------|----------------|----------------|----------------|----------------|----------------|----------------|----------------|----------------|
|                 | $M \pm dp$           | $M \pm dp$     | $M \pm dp$     | $M \pm dp$     | $M \pm dp$     | $M \pm dp$     |                |                |                |                |
| Saída Câmara 3  | 61,7<br>(38,2)       | 23,6<br>(30,5) | 67,3<br>(20,5) | 44,3<br>(29,1) | 12,9<br>(69,2) | 38,9<br>(23,9) | 26,9<br>(16,8) | 70,4<br>(25,1) | 16,8<br>(74,2) | 18,6<br>(25,1) |
| Saída do Reator | 73,1<br>(28,0)       | 20,5<br>(24,6) | 77,1<br>(19,0) | 71,8<br>(26,6) | 19,1<br>(46,4) | 52,4<br>(24,3) | 24,3<br>(82,4) | 12,2<br>(14,8) | 77,3<br>(16,1) | 16,1<br>(20,8) |

Obs.:  $M \pm dp$  : valor médio, mais ou menos desvio padrão. O valor entre parênteses representa o desvio padrão percentual em relação ao desvio médio.



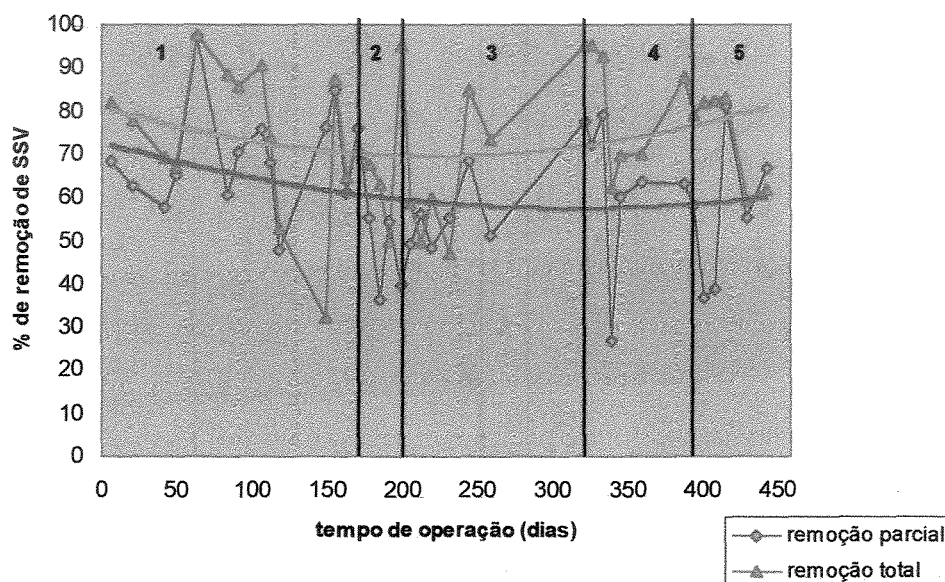
**Figura 5.21:** Eficiência de Remoção de SSF ao longo do tempo

A remoção de sólidos em suspensão voláteis obtida é indicada na Tabela 5.40 e Figura 5.22:

**Tabela 5.40:** Valores médios, desvios padrão absolutos e percentuais, para remoção de Sólidos em Suspensão Voláteis.

| Ponto de Coleta | 444 dias de operação | Fase 1         | Fase 2         | Fase 3         | Fase 4         | Fase 5         |                |                |                |      |
|-----------------|----------------------|----------------|----------------|----------------|----------------|----------------|----------------|----------------|----------------|------|
|                 | M ± dp               | M ± dp         | M ± dp         | M ± dp         | M ± dp         | M ± dp         |                |                |                |      |
| Saída Câmara 3  | 61,7<br>(24,3)       | 15,0<br>(17,7) | 69,3<br>(12,3) | 10,6<br>(21,9) | 52,5<br>(8,9)  | 62,4<br>(16,9) | 16,8<br>(26,9) | 55,6<br>(33,8) | 18,8           |      |
| Saída do Reator | 73,2<br>(21,7)       | 15,9<br>(23,0) | 74,3<br>(17,1) | 9,1<br>(15,1)  | 66,8<br>(27,2) | 18,2<br>(27,2) | 81,4<br>(16,0) | 13,0<br>(16,0) | 73,6<br>(16,2) | 11,9 |

Obs.: M ± dp : valor médio, mais ou menos desvio padrão. O valor entre parênteses representa o desvio padrão percentual em relação ao desvio médio.



**Figura 5.22:** Eficiência de Remoção de SSV ao longo do tempo

O comportamento apresentado nos resultados de remoção de SSV foi semelhante aos resultados de remoção de SST.

A quantidade de SSV na quarta câmara em nenhum momento atingiu valores próximos aos citados por Von SPERLING (1997) que, para lodos ativados convencional é de 1500 a 3500 mg.SSV/L e aeração prolongada 2500 a 4000 mg. SSV/L.

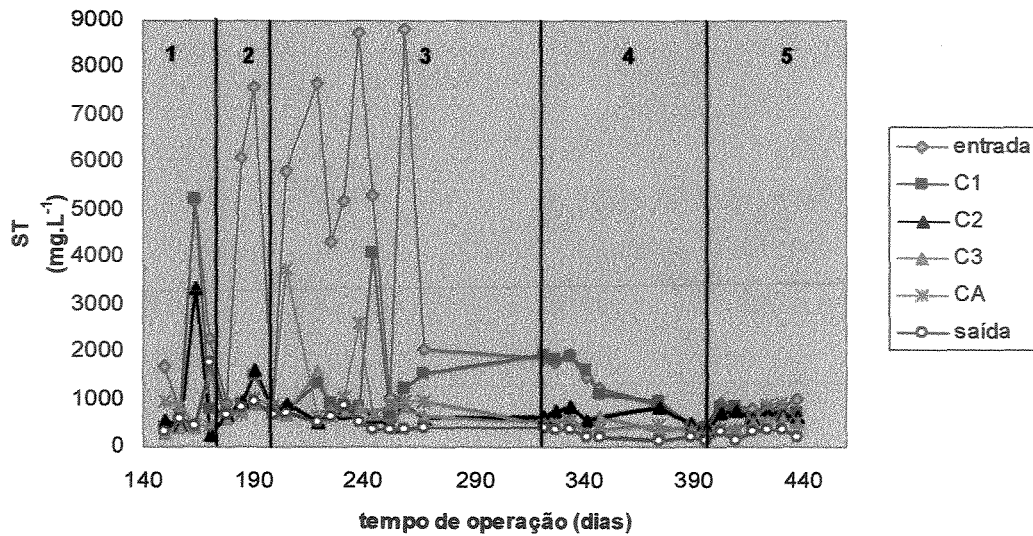
## 5.11 SÓLIDOS TOTAIS

A comportamento dos valores de sólidos totais (Tabela 5.41 e Figura 5.23) no interior do reator manteve-se oscilando principalmente nas Fases 1, 2 e 3, apesar da grande variação dos sólidos totais de entrada e, independente do tempo de detenção hidráulica empregado, observou-se a rápida obtenção do equilíbrio do reator para esse parâmetro.

**Tabela 5.41:** Valores médios, desvios padrão absolutos e percentuais, para Sólidos Totais.

| Ponto de Coleta  | 444 dias de operação | Fase 1          | Fase 2          | Fase 3         | Fase 4         | Fase 5         |                |                |                |               |               |               |
|------------------|----------------------|-----------------|-----------------|----------------|----------------|----------------|----------------|----------------|----------------|---------------|---------------|---------------|
|                  | M ± dp               | M ± dp          | M ± dp          | M ± dp         | M ± dp         | M ± dp         |                |                |                |               |               |               |
| Afluente         | 2878<br>(93,9)       | 2703<br>(77,3)  | 2484<br>(72,2)  | 1920<br>(59,4) | 4868<br>(59,4) | 3514<br>(59,4) | 4968<br>(59,4) | 2950<br>(59,4) | 1245<br>(48,7) | 606<br>(48,7) | 840<br>(48,7) | 94<br>(11,2)  |
| Câmara 1         | 1208<br>(85,1)       | 1028<br>(134,5) | 1734<br>(134,5) | 2332<br>(42,7) | 1009<br>(79,4) | 431<br>(79,4)  | 1288<br>(79,4) | 1023<br>(79,4) | 1274<br>(50,5) | 643<br>(50,5) | 735<br>(50,5) | 89<br>(12,1)  |
| Câmara 2         | 769<br>(68,8)        | 529<br>(128,2)  | 1140<br>(128,2) | 1461<br>(44,4) | 1077<br>(44,4) | 478<br>(44,4)  | 692<br>(22,0)  | 152<br>(22,0)  | 629<br>(26,9)  | 169<br>(26,9) | 685<br>(26,9) | 80<br>(11,7)  |
| Câmara 3         | 625<br>(48,2)        | 301<br>(90,9)   | 638<br>(90,9)   | 580<br>(21,3)  | 764<br>(21,3)  | 163<br>(21,3)  | 793<br>(37,3)  | 296<br>(37,3)  | 449<br>(28,5)  | 128<br>(28,5) | 501<br>(28,5) | 113<br>(22,6) |
| Câmara 4<br>(CA) | 797<br>(86,6)        | 690<br>(41,8)   | 655<br>(41,8)   | 274<br>(19,5)  | 838<br>(19,5)  | 163<br>(19,5)  | 1288<br>(80,0) | 1030<br>(80,0) | 392<br>(10,2)  | 40<br>(10,2)  | 593<br>(10,2) | 247<br>(41,7) |
| Saída            | 465<br>(69,7)        | 324<br>(86,4)   | 767<br>(86,4)   | 663<br>(15,4)  | 816<br>(15,4)  | 126<br>(15,4)  | 530<br>(34,0)  | 180<br>(34,0)  | 239<br>(46,0)  | 110<br>(46,0) | 283<br>(46,0) | 91<br>(32,2)  |

Obs.: M ± dp : valor médio, mais ou menos desvio padrão. O valor entre parênteses representa o desvio padrão percentual em relação ao desvio médio.



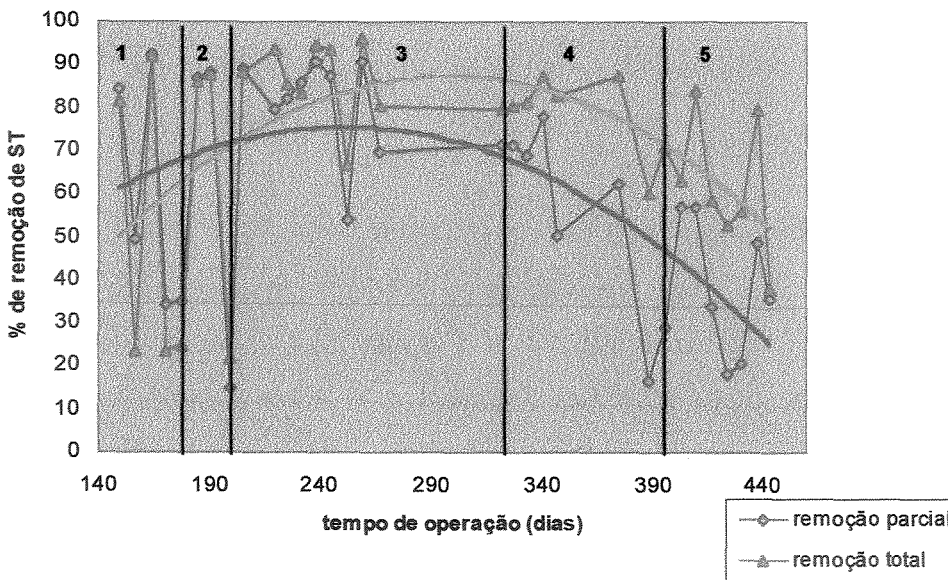
**Figura 5.23:** Sólidos Totais ao longo do tempo

A remoção de sólidos totais obtida é indicada na Tabela 5.42 e Figura 5.24:

**Tabela 5.42:** Valores médios, desvios padrão absolutos e percentuais, para remoção de Sólidos Totais.

| Ponto de Coleta | 444 dias de operação | Fase 1         | Fase 2         | Fase 3         | Fase 4         | Fase 5         |                |                |                |
|-----------------|----------------------|----------------|----------------|----------------|----------------|----------------|----------------|----------------|----------------|
|                 | M ± dp               | M ± dp         | M ± dp         | M ± dp         | M ± dp         | M ± dp         |                |                |                |
| Saída           | 60,3<br>(42,1)       | 25,4<br>(42,8) | 65,0<br>(27,8) | 70,0<br>(43,1) | 30,2<br>(32,1) | 23,8<br>(39,8) | 55,8<br>(41,3) | 22,2<br>(38,7) | 16,0<br>(16,7) |
| Câmara 3        | 71,3<br>(32,0)       | 22,8<br>(66,9) | 55,0<br>(36,8) | 66,3<br>(54,1) | 35,9<br>(27,8) | 80,3<br>(11,5) | 22,3<br>(15,7) | 78,5<br>(61,6) | 9,0<br>(25,5)  |

Obs.: M ± dp : valor médio, mais ou menos desvio padrão. O valor entre parênteses representa o desvio padrão percentual em relação o desvio médio.



**Figura 5.24:** Eficiência de remoção de ST ao longo do tempo

Vale ressaltar que mesmo com a diminuição do TDH das câmaras anaeróbias de 12 para 8 horas (Fase 2 para 3) não houve queda, mas sim um aumento na eficiência média de remoção parcial de ST. Quando se diminuiu o TDH das câmaras anaeróbias de 8 para 4 horas (Fase 3 para 4, e 5), houve uma queda no valor médio de remoção parcial de ST de 74,2 para 55,8%, em seguida para 38,7 %, provavelmente ocasionado pelo acúmulo de sólidos causado pelo dispositivo instalado na tubulação de descarte de efluente da própria câmara 3. Este dispositivo tinha como função reter material particulado de forma a diminuir a ocorrência de entupimentos nesta tubulação. Este dispositivo mesmo sendo limpo uma vez por semana pode ter diminuído a eficiência média de remoção de ST, contudo fica a dúvida: porque esse comportamento não foi registrado nos SST?

Para a mudança do TDH da câmara aeróbia de 2 para 4 horas (Fase 1 para a 2, 3 e 4) verificou-se alterações na eficiência média de remoção total de ST, a Fase 2 teve um valor médio um pouco menor devido as ocorrências operacionais já citados. Quando se alterou o TDH de 4 para 3 horas (Fase 4 para 5) houve um decréscimo, na eficiência média de remoção total de ST, provavelmente ocasionados pela grande

produção de lodo na quarta câmara, e que era encaminhado para o decantador laminar. Esta ocorrência pode ser constatada visualmente ao final da Fase 5. Foi também na Fase 5 que se verificou a menor média de oxigênio dissolvido.

Para a remoção total (saída do reator) de ST a Fase 3 foi a que apresentou melhores resultados, ou seja, um valor médio acima de 80%. Pode-se observar os valores contidos na Tabela 5.42 e Figura 5.24, que houve um decremento nos resultados de remoção total nas Fases 4 e 5. Esse decréscimo foi ocasionado pela quantidade muito grande de lodo encontrado no decantador laminar, que pode ser constatado visualmente ao final da Fase 5, mas não apresentando diminuição nos valores de remoção de DQO<sub>total</sub>, DBO<sub>5</sub>.

MAEDA (1999) apresentou como resultado de remoção em porcentagem, de ST para a Fase 3 de operação (TDH = 8 horas), 60,4%, valor este inferior ao apresentado no presente estudo para a Fase 4 (TDH = 8 horas) que foi de 78,5%, e resultado muito semelhante ao da Fase 5 (TDH = 7 horas) que foi de 61,6%.

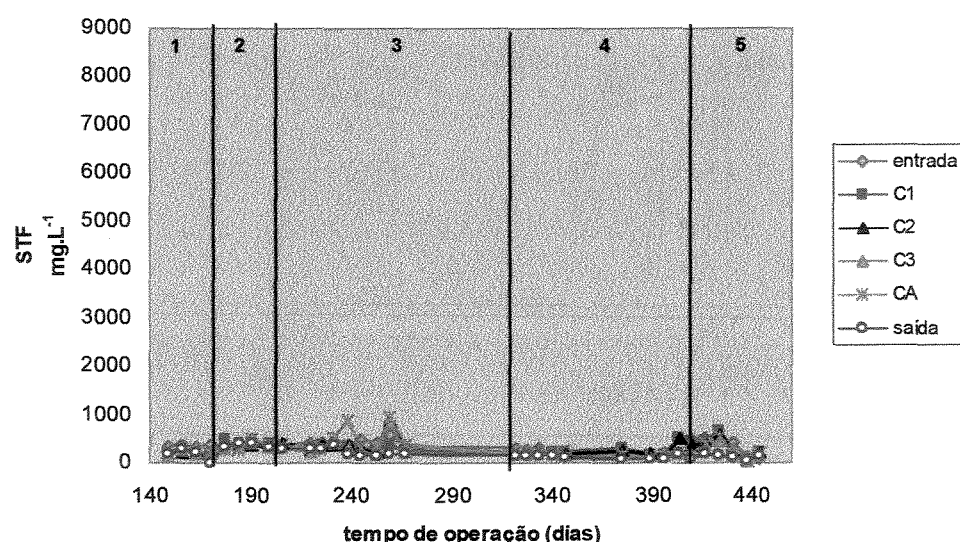
AISSE (2000) em seu estudo com um reator UASB apresentou como resultado médio de remoção de ST, o valor de 39,3 %, valor este menor que o apresentado pelo reator compartimentado anaeróbio/aeróbio, e para o reator anaeróbio compartimentado AISSE (2000) apresentou como resultado de eficiência de remoção média de ST, 33,3 %, valor este menor que os resultados médios apresentados para eficiência de remoção parcial do reator utilizado no presente estudo.

Observando os resultados obtidos para sólidos totais fixos (Tabela 5.43 e Figura 5.25) nota-se uma variação de 5 e 940 mg L<sup>-1</sup> ao longo de todas as câmaras, bem como entrada e saída do reator.

**Tabela 5.43:** Valores médios, desvios padrão absolutos e percentuais, para Sólidos Totais Fixos.

| Ponto de Coleta  | 444 dias de operação |                 | Fase 1          | Fase 2          | Fase 3          | Fase 4           | Fase 5          |                |                  |                  |
|------------------|----------------------|-----------------|-----------------|-----------------|-----------------|------------------|-----------------|----------------|------------------|------------------|
|                  | M ± dp               | M ± dp          | M ± dp          | M ± dp          | M ± dp          | M ± dp           | M ± dp          |                |                  |                  |
| Afluente         | 346,4<br>(36,5)      | 126,3<br>(5,0)  | 349,5<br>(17,5) | 389,0<br>(18,5) | 72,0<br>(19,1)  | 412,0<br>(19,1)  | 223,5<br>(26,6) | 59,5<br>(36,8) | 424,0<br>(36,8)  | 156,0            |
| Câmara 1         | 294,8<br>(44,8)      | 132,2<br>(13,0) | 218,8<br>(28,5) | 386,0<br>(21,0) | 81,2<br>(14,9)  | 327,9<br>(48,7)  | 200,5<br>(21,1) | 42,4<br>(21,1) | 383,0<br>(56,9)  | 218,0            |
| Câmara 2         | 290,6<br>(53,5)      | 155,5<br>(18,6) | 192,8<br>(35,8) | 331,0<br>(13,4) | 44,4<br>(52,0)  | 366,8<br>(19,1)  | 188,0<br>(15,1) | 28,4<br>(54,9) | 357,0<br>(196,0) | 196,0            |
| Câmara 3         | 251,4<br>(57,2)      | 143,8<br>(21,6) | 188,5<br>(40,8) | 342,7<br>(19,3) | 66,3<br>(55,3)  | 340,3<br>(188,3) | 158,6<br>(15,8) | 25,1<br>(60,0) | 240,0<br>(144,0) | 144,0            |
| Câmara 4<br>(CA) | 301,9<br>(67,7)      | 198,4<br>(14,8) | 235,5<br>(34,9) | 355,0<br>(30,7) | 109,1<br>(51,6) | 469,5<br>(51,6)  | 242,4<br>(19,4) | 28,4<br>(63,0) | 146,4<br>(19,4)  | 265,0<br>(167,0) |
| Saída            | 192,4<br>(54,1)      | 104,1<br>(13,1) | 175,0<br>(23,0) | 374,3<br>(12,0) | 45,1<br>(31,5)  | 247,1<br>(31,5)  | 77,9<br>(31,5)  | 40,6<br>(33,6) | 120,9<br>(33,6)  | 61,0<br>(49,6)   |

Obs.: M ± dp : valor médio, mais ou menos desvio padrão. O valor entre parênteses representa o desvio padrão percentual em relação ao desvio médio.



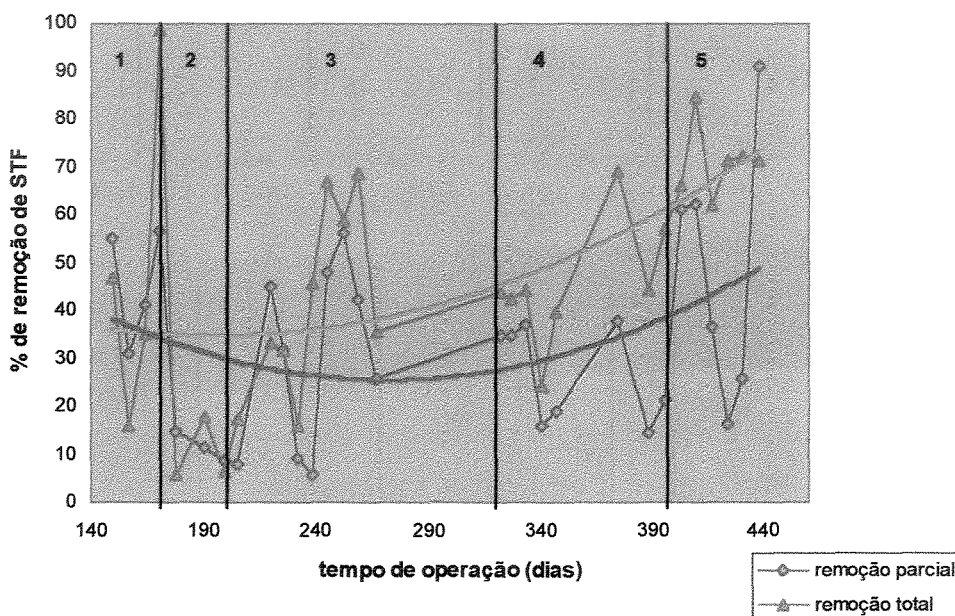
**Figura 5.25:** Sólidos Totais Fixos ao longo do tempo

As médias de remoção para STF obtidas durante o período de coleta de dados do reator estão apresentadas na Tabela 5.44 e Figura 5.26.

**Tabela 5.44:** Valores médios, desvios padrão absolutos e percentuais, para remoção de Sólidos Totais Fixos.

| Ponto de Coleta | 444 dias de operação | Fase 1         | Fase 2       | Fase 3         | Fase 4        | Fase 5       |                |                |                |                |
|-----------------|----------------------|----------------|--------------|----------------|---------------|--------------|----------------|----------------|----------------|----------------|
|                 | $M \pm dp$           | $M \pm dp$     | $M \pm dp$   | $M \pm dp$     | $M \pm dp$    | $M \pm dp$   |                |                |                |                |
| Saída Câmara 3  | 33,3<br>(60,7)       | 20,2<br>(26,6) | 45,9<br>12,2 | 13,0<br>(16,9) | 2,2<br>(68,7) | 28,1<br>19,3 | 28,8<br>(35,1) | 10,1<br>(48,8) | 48,8<br>(27,7) | 27,7<br>(56,8) |
| Saída do Reator | 46,4<br>(51,3)       | 23,8<br>(72,2) | 49,0<br>35,4 | 11,7<br>(74,4) | 8,7<br>(57,1) | 38,0<br>21,7 | 45,5<br>(28,8) | 13,1<br>(71,3) | 7,7<br>(10,8)  |                |

Obs.:  $M \pm dp$  : valor médio, mais ou menos desvio padrão. O valor entre parênteses representa o desvio padrão percentual em relação ao desvio médio.



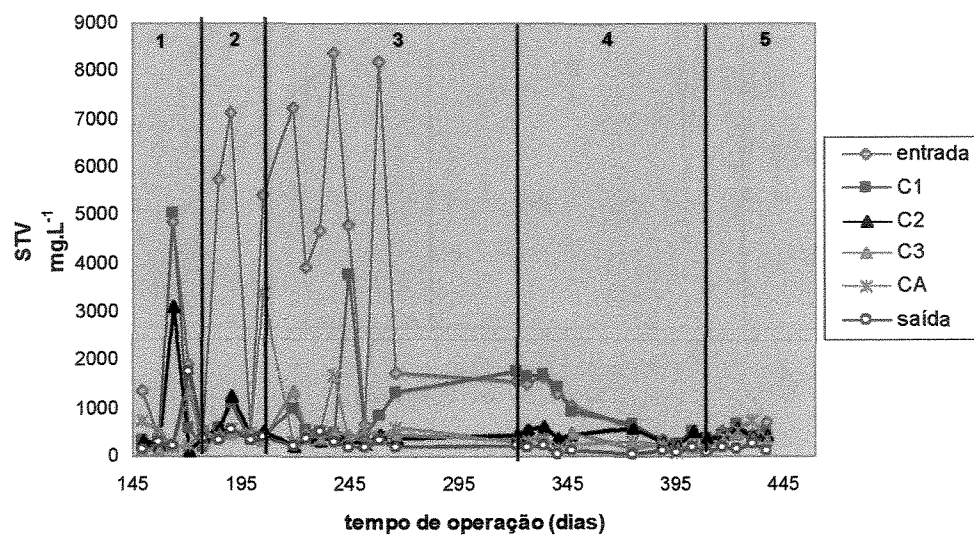
**Figura 5.26:** Eficiência de remoção de STF ao longo do tempo

Os valores de STV estão apresentados na Tabela 5.45 e Figura 5.27.

**Tabela 5.45:** Valores médios, desvios padrão absolutos e percentuais, para Sólidos Totais Voláteis.

| Ponto de Coleta  | 444 dias de operação | Fase 1          | Fase 2    | Fase 3    | Fase 4    | Fase 5   |         |
|------------------|----------------------|-----------------|-----------|-----------|-----------|----------|---------|
|                  | M ± dp               | M ± dp          | M ± dp    | M ± dp    | M ± dp    | M ± dp   |         |
| Afluente         | 2431<br>(107,8)      | 2620<br>(90,4)  | 2135 1931 | 3844 4644 | 4553 2912 | 1022 559 | 499 114 |
| Câmara 1         | 952<br>(111,0)       | 1057<br>(150,3) | 1558 2341 | 647 639   | 960 1031  | 1073 632 | 475 97  |
| Câmara 2         | 513<br>(103,3)       | 530<br>(152,6)  | 950 1450  | 825 607   | 371 92    | 441 146  | 450 83  |
| Câmara 3         | 389<br>(73,0)        | 284<br>(132,9)  | 450 598   | 390 137   | 495 308   | 290 117  | 302 99  |
| Câmara 4<br>(CA) | 521<br>(117,7)       | 613<br>(63,2)   | 419 265   | 515 25    | 858 973   | 245 87   | 397 209 |
| Saída            | 271<br>(114,0)       | 309<br>(130,7)  | 597 780   | 447 129   | 298 102   | 119 77   | 154 309 |

Obs.: M ± dp : valor médio, mais ou menos desvio padrão. O valor entre parênteses representa o desvio padrão percentual em relação ao desvio médio.



**Figura 5.27:** Sólidos Totais Voláteis ao longo do tempo

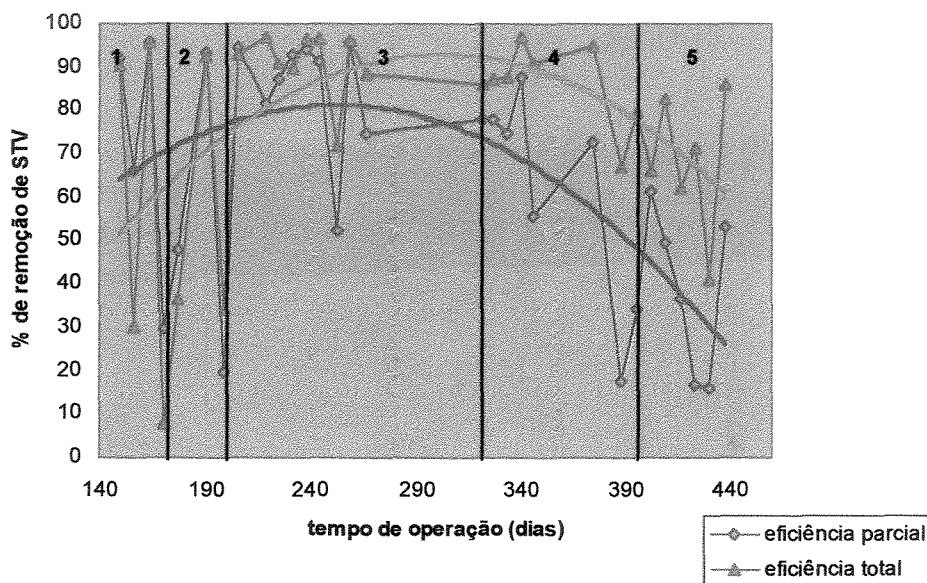
Os valores de saída de STV oscilavam muito estando os valores entre 31 e 1764 mg.L<sup>-1</sup>, os valores de entrada obtidos também apresentaram uma grande variação 267 e 8360 mg.L<sup>-1</sup>.

As médias de remoção para STV obtidas durante o período de coleta de dados do reator estão apresentadas na Tabela 5.46 e Figura 5.28.

**Tabela 5.46:** Valores médios, desvios padrão absolutos e percentuais, para remoção de Sólidos Totais Voláteis.

| Ponto de Coleta | 444 dias de operação | Fase 1         | Fase 2         | Fase 3         | Fase 4         | Fase 5         |                |                |                |                |                |                |
|-----------------|----------------------|----------------|----------------|----------------|----------------|----------------|----------------|----------------|----------------|----------------|----------------|----------------|
|                 | M ± dp               | M ± dp         | M ± dp         | M ± dp         | M ± dp         | M ± dp         |                |                |                |                |                |                |
| Saída Câmara 3  | 65,0<br>(41,5)       | 27,0<br>(43,1) | 70,8<br>(43,1) | 30,5<br>(45,7) | 70,4<br>(31,3) | 32,2<br>(24,5) | 78,2<br>(39,5) | 24,5<br>(38,7) | 62,1<br>(19,2) | 24,5<br>(49,6) | 38,7<br>(38,7) | 19,2<br>(19,2) |
| Saída do Reator | 77,0<br>(31,2)       | 24,0<br>(78,3) | 55,9<br>(61,2) | 43,8<br>(22,9) | 64,5<br>(11,0) | 39,5<br>(9,5)  | 85,3<br>(23,8) | 19,5<br>(16,2) | 86,1<br>(11,0) | 9,5<br>(68,2)  | 68,2<br>(16,2) | 16,2<br>(23,8) |

Obs.: M ± dp : valor médio, mais ou menos desvio padrão. O valor entre parênteses representa o desvio padrão percentual em relação ao desvio médio.



**Figura 5.28:** Eficiência de remoção de STV ao longo do tempo

Durante a diminuição do TDH das câmaras anaeróbias de 12 para 8 horas (Fase 2 para 3), ocorreu um aumento no valor médio de remoção parcial. Com a diminuição do TDH das câmaras anaeróbias de 8 para 4 horas (Fase 3 para 4 e 5), houve uma queda no valor médio de remoção parcial de ST de 78,2 para 62,1%, e então para 38,7%, provavelmente ocasionado pelos mesmos problemas já citados na discussão de ST.

Para a mudança do TDH da câmara aeróbia de 2 para 4 horas (Fase 1 para a 2, 3 e 4) verificou-se alterações na eficiência média de remoção total de STV, a Fase 2 teve um valor médio um pouco menor devido as problemas operacionais já citados. Quando se alterou o TDH de 4 para 3 horas (Fase 4 para 5) houve um decréscimo, na eficiência média de remoção total de ST, provavelmente ocasionados pela grande produção de lodo na quarta câmara, e que era encaminhado para o decantador laminar. Esta ocorrência pode ser constatada visualmente ao final da Fase 5. Foi também na Fase 5 que se verificou a menor média de oxigênio dissolvido.

MAEDA (1999) apresentou como resultado de remoção em porcentagem, de STV para a Fase 3 de operação (TDH = 8 horas), 81,9%, valor muito semelhante ao apresentado no presente estudo para a Fase 4 onde foi operado com o mesmo TDH.

O comportamento na eficiência de remoção de STV e ST (Figura 5.28 e Figura 5.24) foram muito semelhantes, independente do tempo de detenção hidráulica empregado.

## 5.12 SÓLIDOS SEDIMENTÁVEIS

A maior parte dos sólidos sedimentáveis presentes no esgoto afluente foram retidos na câmara 1 como pode ser visto na Tabela 5.47 e Figura 5.29.

Foram encontrados valores de 6,5 a 15 mL.L<sup>-1</sup> para a Fase 3 de operação do reator, mostrando uma atividade biológica aeróbia nessa câmara, formando flocos visíveis.

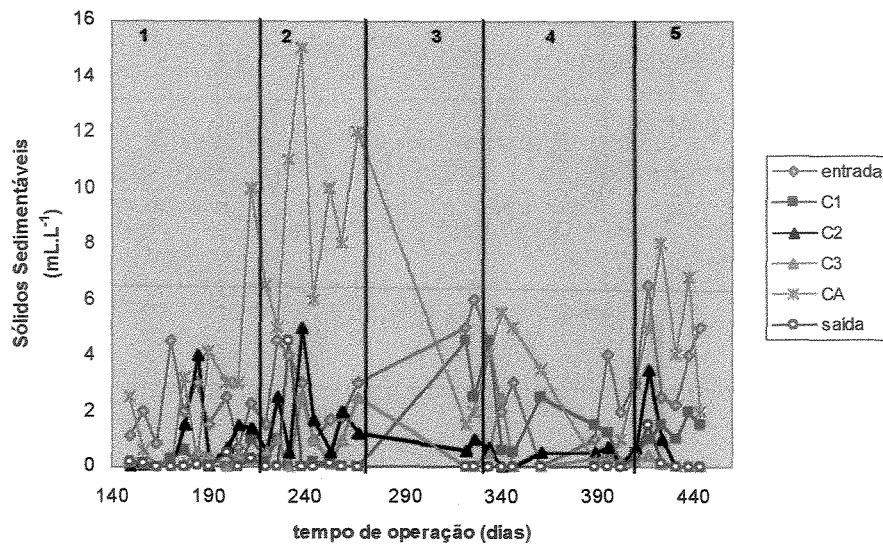
**Tabela 5.47:** Valores médios, desvios padrão absolutos e percentuais, para Sólidos Sedimentáveis ( $\text{mL.L}^{-1}$ ).

| Ponto de Coleta  | 444 dias de operação |                 | Fase 1          | Fase 2           | Fase 3          | Fase 4          | Fase 5          |                 |                 |                 |                 |
|------------------|----------------------|-----------------|-----------------|------------------|-----------------|-----------------|-----------------|-----------------|-----------------|-----------------|-----------------|
|                  | M ± dp               |                 | M ± dp          | M ± dp           | M ± dp          | M ± dp          | M ± dp          |                 |                 |                 |                 |
| Afluente         | 2,77<br>(57,8)       | 1,60<br>(80,0)  | 2,10<br>(80,0)  | 1,68<br>(35,0)   | 2,17<br>(35,0)  | 2,35<br>(51,5)  | 1,21<br>(64,9)  | 3,19<br>(64,9)  | 2,07<br>(45,8)  | 3,60<br>(45,8)  | 1,65<br>(45,8)  |
| Câmara 1         | 0,89<br>(132,6)      | 1,18<br>(118,2) | 0,11<br>(118,2) | 0,13<br>(133,3)  | 0,24<br>(133,3) | 0,24<br>(162,5) | 0,39<br>(71,3)  | 2,23<br>(71,3)  | 1,59<br>(59,7)  | 1,09<br>(59,7)  | 0,65<br>(59,7)  |
| Câmara 2         | 0,99<br>(123,2)      | 1,22<br>(100,0) | 0,02<br>(100,0) | 0,02<br>(109,8)  | 1,84<br>(109,8) | 2,02<br>(81,3)  | 1,60<br>(81,3)  | 1,30<br>(68,0)  | 0,50<br>(68,0)  | 0,34<br>(167,1) | 0,76<br>(167,1) |
| Câmara 3         | 0,46<br>(154,3)      | 0,71<br>(112,5) | 0,08<br>(112,5) | 0,09<br>(75,0)   | 0,32<br>(75,0)  | 0,24<br>(105,9) | 0,85<br>(105,9) | 0,90<br>(184,8) | 0,46<br>(184,8) | 0,85<br>(115,4) | 0,13<br>(115,4) |
| Câmara 4<br>(CA) | 4,60<br>(83,0)       | 3,82<br>(151,3) | 0,78<br>(151,3) | 1,18<br>(83,5)   | 2,48<br>(83,5)  | 2,07<br>(44,6)  | 8,14<br>(44,6)  | 3,63<br>(75,5)  | 2,74<br>(75,5)  | 2,07<br>(59,4)  | 4,26<br>(59,4)  |
| Saída            | 0,24<br>(337,5)      | 0,81<br>(100,0) | 0,07<br>(100,0) | 0,007<br>(100,0) | 0,02<br>(100,0) | 0,02<br>(268,0) | 0,50<br>(268,0) | 1,34<br>(0,00)  | 0,01<br>(0,00)  | 0,00<br>(0,00)  | 0,29<br>(189,7) |

Obs.: M ± dp : valor médio, mais ou menos desvio padrão. O valor entre parênteses representa o desvio padrão percentual em relação ao desvio médio

Valores bem baixos ou até a não detecção de sólidos sedimentáveis foram encontrados no efluente de saída do reator, graças à presença do decantador laminar, mostrando grande qualidade quanto aos sólidos sedimentáveis, sempre apresentando valores inferiores  $0,5 \text{ mL.L}^{-1}$ , atendendo a legislação (RESOLUÇÃO Nº 20 do CONAMA) que normaliza o efluente com materiais sedimentáveis inferiores a  $1 \text{ mL.L}^{-1}$ . Esses resultados demonstram que o reator compartimentado anaeróbio/aeróbio seguido de um decantador laminar é eficiente para a remoção de sólidos sedimentáveis.

A câmara 4 (câmara aerada) foi aquela apresentou maiores quantidades sólidos sedimentáveis, com uma média de  $4,60 \text{ mL.L}^{-1}$ , por apresentar características de um processo de mistura completa.



**Figura 5.29:** Sólidos Sedimentáveis ao longo do tempo

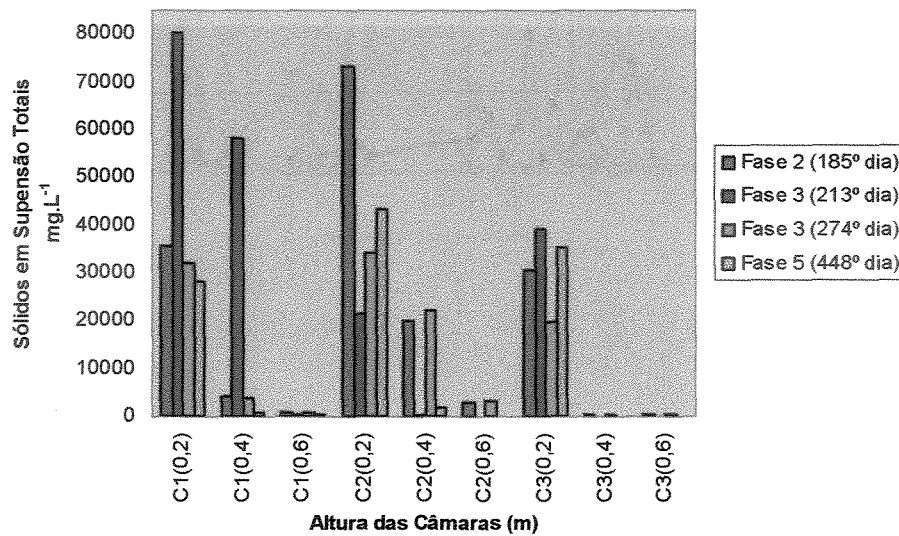
### 5.13 SÓLIDOS – TOMADAS INTERMEDIÁRIAS

Ao longo do período de coleta de dados foram realizados análises de sólidos em tomadas intermediárias localizadas ao longo das alturas das três primeiras câmaras, com o objetivo de verificar a evolução da dimensão da espessura da manta de lodo existente.

Os pontos de amostragem são indicados pela sigla correspondente a cada câmara: C1 - câmara 1; C2 – câmara 2 e C3 – câmara 3 seguido pela altura do ponto de coleta (m). Foram realizadas as coletas nas seguintes datas 28/08/2000 (Fase 2), 26/09/2000 (Fase 3), 28/11/2000 (Fase 3), 02/06/2001 (Fase 5).

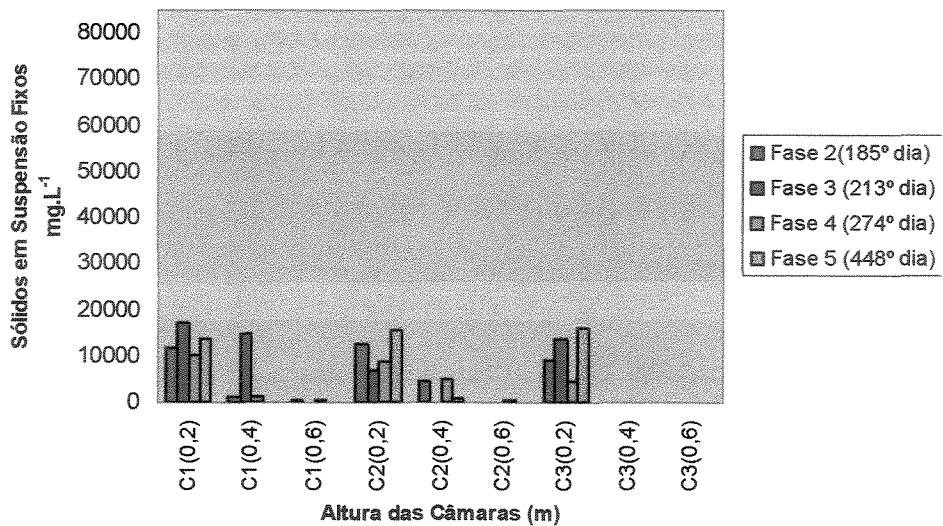
### 5.13.1 SÓLIDOS EM SUSPENSÃO – TOMADAS INTERMEDIÁRIAS

Os resultados obtidos para sólidos em suspensão totais podem ser observados pela Figura 5.30.



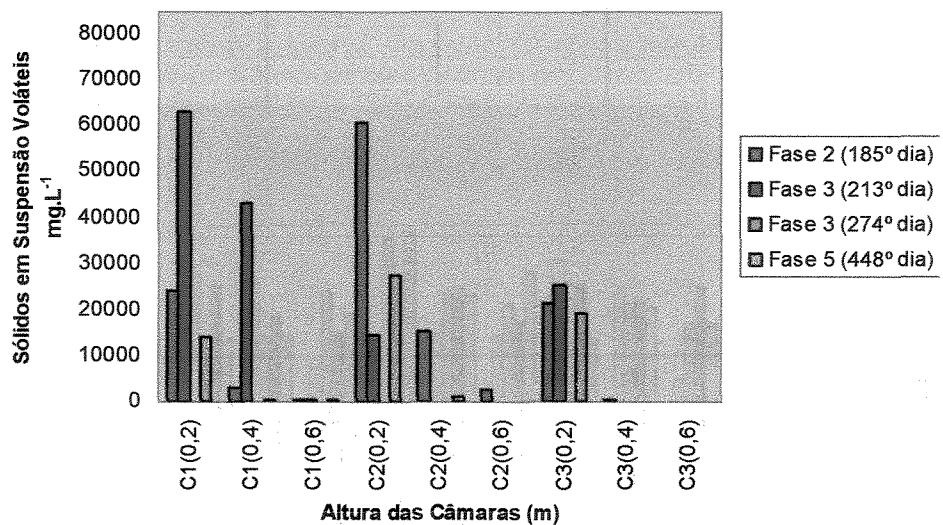
**Figura 5.30:** Sólidos em Suspensão Totais – Tomadas Intermediárias

Os resultados obtidos para sólidos em suspensão fixos podem ser observados pela Figura 5.31.



**Figura 5.31:** Sólidos em Suspensão Fixos - Tomadas Intermediárias

Os resultados obtidos para sólidos em suspensão voláteis podem ser observados pela Figura 5.32.



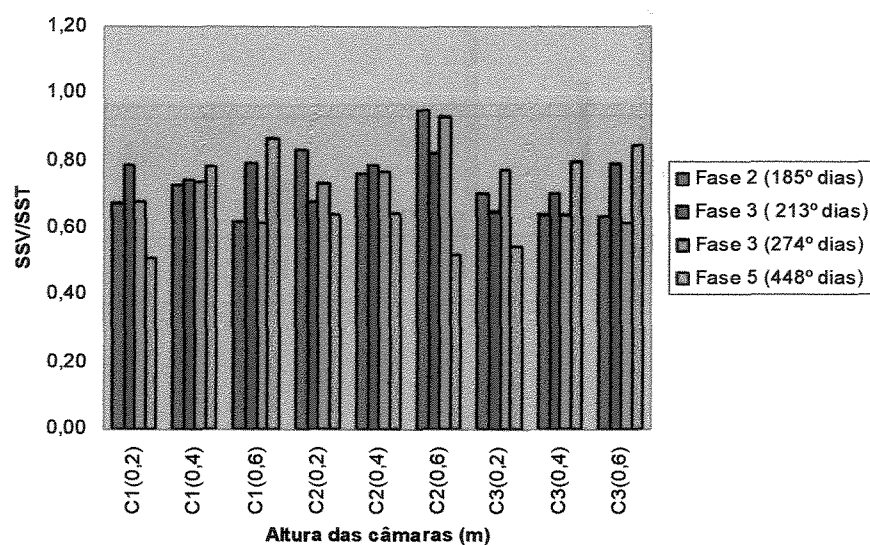
**Figura 5.32:** Sólidos em Suspensão Voláteis - Tomadas Intermediárias

### 5.13.2 SSV/SST – TOMADAS INTERMEDIÁRIAS

A relação SSV/SST indica o grau de mineralização da fração orgânica suspensa. Por meio da Tabela 5.48 e Figura 5.33 pode-se observar os valores se SSV/SST para as tomadas intermediárias.

**Tabela 5.48:** Relação SSV/SST das tomadas intermediárias

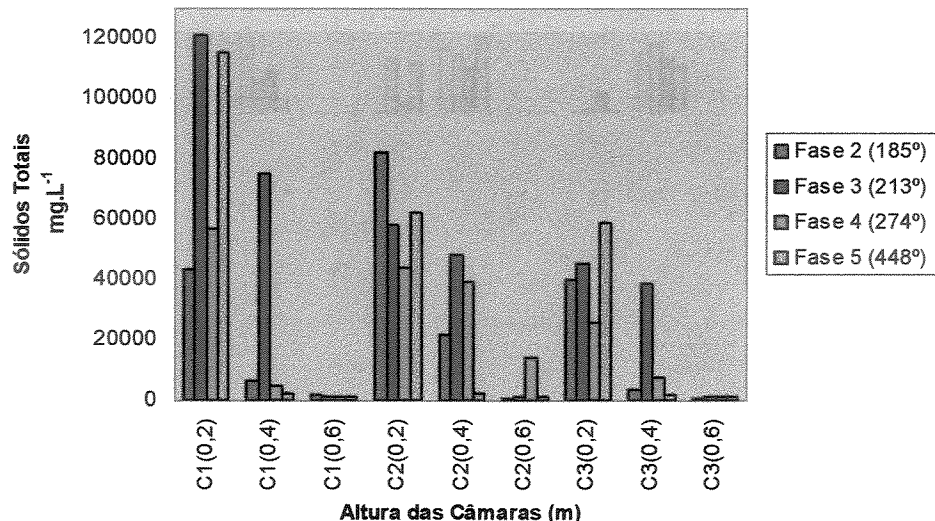
| Ponto de Coleta     | Fase 2 | Fase 3 | Fase 3 | Fase 4 |
|---------------------|--------|--------|--------|--------|
| C1 <sub>(0,2)</sub> | 0,67   | 0,79   | 0,68   | 0,51   |
| C1 <sub>(0,4)</sub> | 0,73   | 0,74   | 0,74   | 0,78   |
| C1 <sub>(0,6)</sub> | 0,62   | 0,80   | 0,62   | 0,87   |
| C2 <sub>(0,2)</sub> | 0,83   | 0,68   | 0,74   | 0,64   |
| C2 <sub>(0,4)</sub> | 0,76   | 0,79   | 0,77   | 0,65   |
| C2 <sub>(0,6)</sub> | 0,95   | 0,83   | 0,93   | 0,52   |
| C3 <sub>(0,2)</sub> | 0,70   | 0,65   | 0,77   | 0,55   |
| C3 <sub>(0,4)</sub> | 0,64   | 0,70   | 0,64   | 0,80   |
| C3 <sub>(0,6)</sub> | 0,64   | 0,79   | 0,61   | 0,85   |



**Figura 5.33** Relação entre SSV/SST – Tomadas Intermediárias

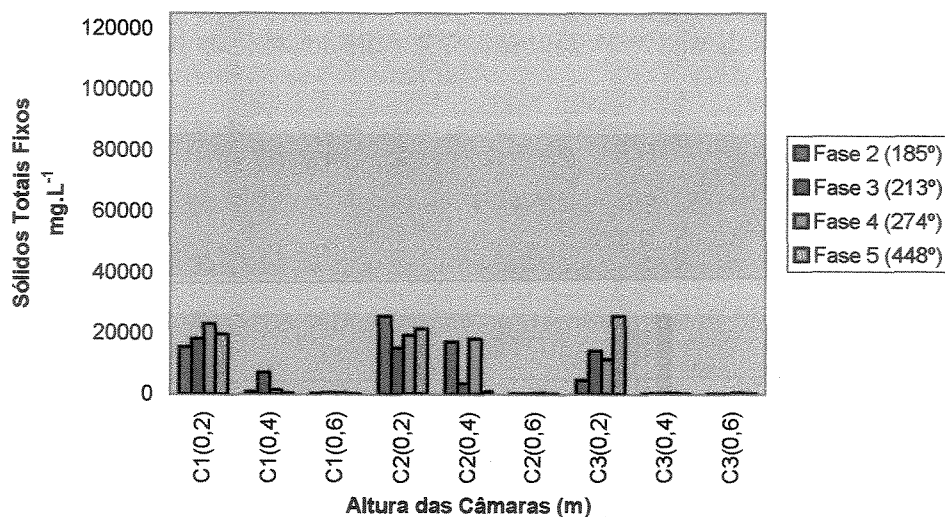
### 5.13.3 SÓLIDOS TOTAIS – TOMADAS INTERMEDIÁRIAS

Os resultados obtidos para sólidos totais podem ser observados pela Figura 5.34.



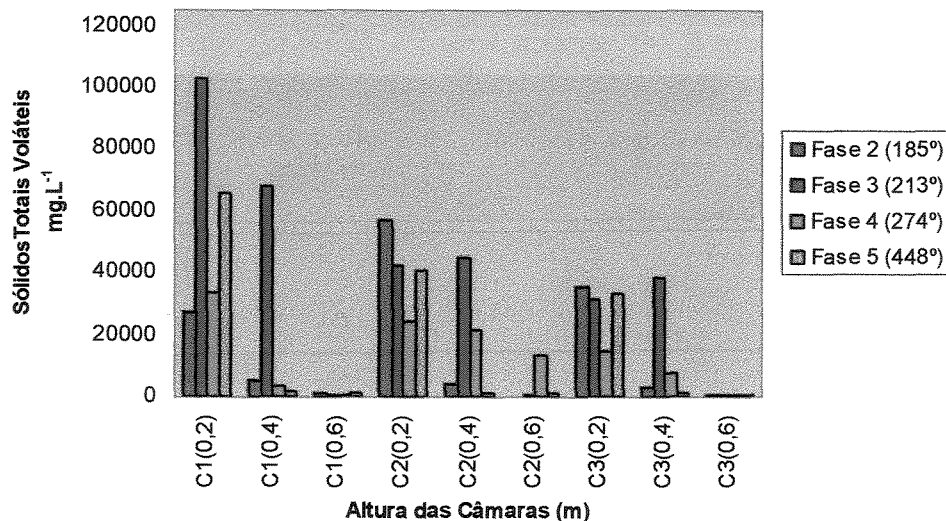
**Figura 5.34:** Sólidos Totais – Tomadas Intermediárias

Os resultados obtidos para sólidos totais fixos podem ser observados pela Figura 5.35.



**Figura 5.35:** Sólidos Totais Fixos – Tomadas Intermediárias

Os resultados obtidos para sólidos totais voláteis podem ser observados pela Figura 5.36.



**Figura 5.36:** Sólidos Totais Voláteis – Tomadas Intermediárias

As mantas de lodo observadas não são muitas espessas, apresentando uma altura menor que 0,40 m, porém o efluente atravessa 3 mantas de lodo (câmara 1, 2 e

3) com estas dimensões. Este fato, uma característica do reator compartimentado, promove uma equivalência com a espessura da manta de lodo presente em reatores do tipo UASB.

Observa-se pela análise das Figuras 5.34, 5.35 e 5.36, que nas três primeiras câmaras, havia uma grande concentração de sólidos, indicando a presença de uma manta de lodo característica nessas câmaras. Essa manta, formada principalmente por sólidos voláteis, encontrava-se suspensa em torno de 0,40 m de altura em relação ao fundo do reator, principalmente nas câmaras 1 e 2.

## 5.14 OXIGÊNIO DISSOLVIDO

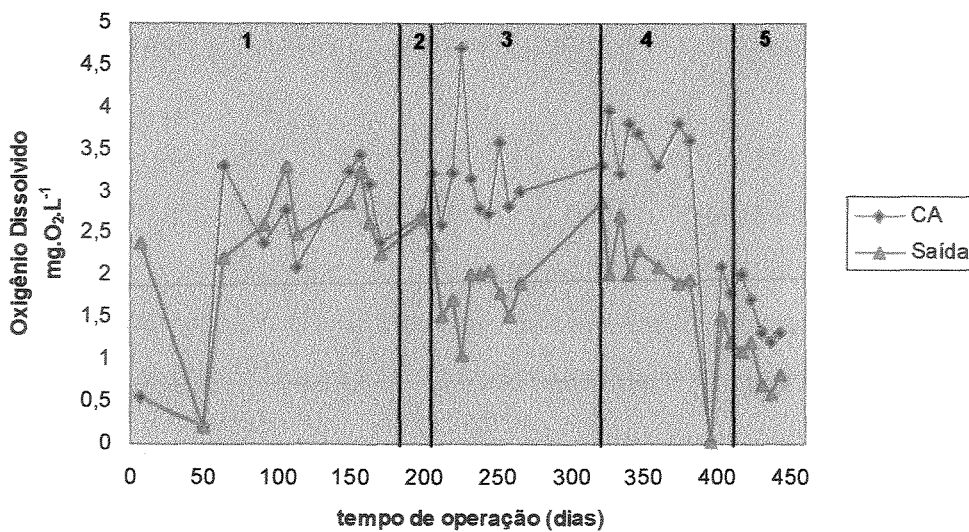
A quantidade de oxigênio dissolvido presente na câmara aeróbia e saída do reator foram monitorados conforme demonstrado na Tabela 5.49 e Figura 5.37.

**Tabela 5.49:** Valores médios, desvios padrão absolutos e percentuais, para Oxigênio Dissolvido ( $\text{mg.O}_2\cdot\text{L}^{-1}$ ).

| Ponto de Coleta | 444 dias de operação |                | Fase 1         | Fase 2        | Fase 3        | Fase 4         | Fase 5         |                |                |                |
|-----------------|----------------------|----------------|----------------|---------------|---------------|----------------|----------------|----------------|----------------|----------------|
|                 | M ± dp               | M ± dp         | M ± dp         | M ± dp        | M ± dp        | M ± dp         | M ± dp         |                |                |                |
| Câmara 4 (CA)   | 2,80<br>(39,3)       | 1,10<br>(16,7) | 3,00<br>(16,7) | 0,50<br>(0,0) | 2,70<br>(0,0) | 0,00<br>(18,8) | 3,20<br>(37,5) | 1,20<br>(25,0) | 3,20<br>(1,60) | 0,40<br>(0,40) |
| Saída           | 1,70<br>(41,2)       | 0,70<br>(14,8) | 2,70<br>(14,8) | 0,40<br>(0,0) | 2,70<br>(0,0) | 0,00<br>(22,2) | 1,80<br>(40,0) | 0,40<br>(1,00) | 2,00<br>(40,0) | 0,80<br>(0,30) |

Obs.: M ± dp : valor médio, mais ou menos desvio padrão. O valor entre parênteses representa o desvio padrão percentual em relação ao desvio médio

Os valores encontrados de oxigênio dissolvido na câmara 4 (CA) foram satisfatórios na maior parte do tempo, alcançando valor máximo de  $4,70 \text{ mg O}_2\cdot\text{L}^{-1}$  e mínimo de  $0 \text{ mg O}_2\cdot\text{L}^{-1}$  na CA .



**Figura 5.37:** Oxigênio Dissolvido na Câmara Aeróbia e saída do reator ao longo do tempo

O valor médio de concentrações de oxigênio dissolvido na quarta câmara foi de  $2,80 \pm 1,10 \text{ mg O}_2\text{L}^{-1}$ , encontrando-se dentro da faixa mínima necessária, conforme descrito na revisão bibliográfica. Mesmo ocorrendo valores de OD menores que os sugeridos pela literatura, estes não apresentaram, influência na eficiência de remoção de DQO<sub>total</sub>, DQO<sub>filtrada</sub>, DBO<sub>5</sub>, SST, SSV, ST, STV, com exceção para a Fase 5 onde foi encontrada a menor média de teor de oxigênio dissolvido, registrando-se uma pequena queda de eficiência para esses parâmetros.

O valor médio para quantidade de oxigênio dissolvido para a saída do reator foi de  $1,70 \pm 0,70 \text{ mg O}_2\text{L}^{-1}$ , conseguindo lançar um efluente com uma quantidade satisfatória de oxigênio no corpo de água.

A quantidade de oxigênio apresentada na saída do reator teve um decréscimo no seu valor em relação a quarta câmara, devido ao seu consumo pela matéria orgânica no decantador.

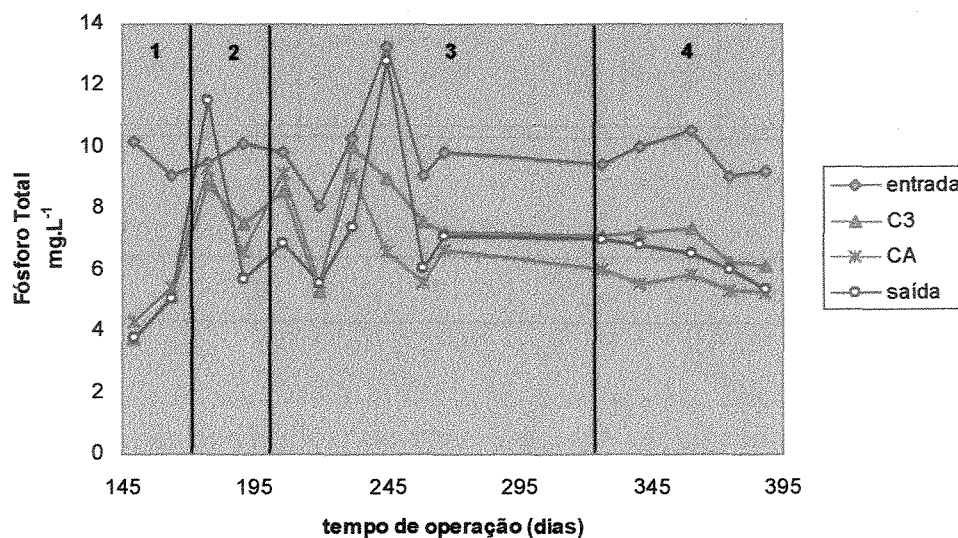
## 5.15 FÓSFORO TOTAL

Os valores encontrados para fósforo total são mostrados na Tabela 5.50 e Figura 5.38.

**Tabela 5.50:** Valores médios, desvios padrão absolutos e percentuais, para Fósforo Total ( $\text{mg.L}^{-1}$ ).

| Ponto de Coleta | 444 dias de operação | Fase 1        | Fase 2        | Fase 3        | Fase 4        |               |
|-----------------|----------------------|---------------|---------------|---------------|---------------|---------------|
|                 | $M \pm dp$           | $M \pm dp$    | $M \pm dp$    | $M \pm dp$    | $M \pm dp$    |               |
| Afluente        | 9,8<br>(11,2)        | 1,1<br>(5,1)  | 9,8<br>(5,1)  | 0,5<br>(8,3)  | 9,6<br>(8,0)  | 0,8<br>(9,6)  |
| Câmara 3        | 7,1<br>(22,5)        | 1,6<br>(11,1) | 8,1<br>(22,7) | 0,9<br>(22,7) | 4,4<br>(20,3) | 1,6<br>(8,8)  |
| Câmara 4 (CA)   | 6,4<br>(25,0)        | 1,6<br>(23,8) | 8,0<br>(16,7) | 1,9<br>(22,5) | 4,8<br>(22,5) | 0,8<br>(5,4)  |
| Saída           | 6,9<br>(33,3)        | 2,3<br>(47,7) | 8,6<br>(20,5) | 4,1<br>(34,2) | 4,4<br>(34,2) | 0,9<br>(11,1) |

Obs.:  $M \pm dp$  : valor médio, mais ou menos desvio padrão. O valor entre parênteses representa o desvio padrão percentual em relação ao desvio médio



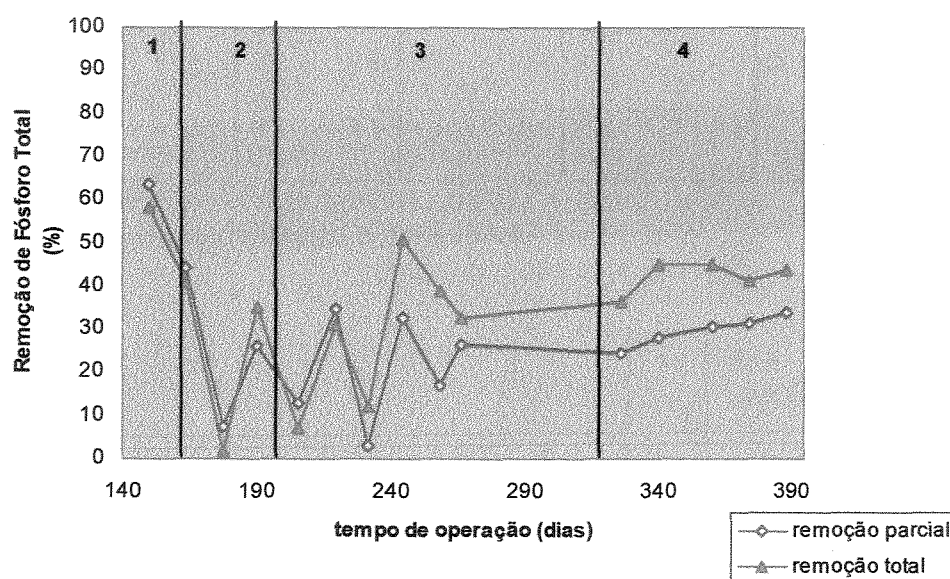
**Figura 5.38:** Fósforo Total ao longo do tempo

Os valores médios de remoção de fósforo total podem ser observados na Tabela 5.51 e Figura 5.39.

**Tabela 5.51:** Valores médios, desvios padrão absolutos e percentuais, para remoção de Fósforo Total.

| Ponto de Coleta | 444 dias de operação |                | Fase 1         | Fase 2        | Fase 3        | Fase 4         |                |                         |
|-----------------|----------------------|----------------|----------------|---------------|---------------|----------------|----------------|-------------------------|
|                 | M ± dp               | M ± dp         | M ± dp         | M ± dp        | M ± dp        | M ± dp         |                |                         |
| Saída Câmara 3  | 29,0<br>(49,0)       | 14,2<br>(49,0) | 53,6<br>(25,6) | 13,7<br>(0,0) | 25,9<br>(0,0) | 20,9<br>(58,9) | 12,3<br>(29,6) | 29,6<br>(3,5)<br>(49,0) |
| Saída do Reator | 34,0<br>(38,5)       | 13,1<br>(24,3) | 53,8<br>(24,3) | 13,1<br>(0,0) | 44,0<br>(0,0) | 25,6<br>(42,6) | 10,9<br>(34,2) | 34,2<br>(6,2)<br>(18,1) |

Obs.: M ± dp : valor médio, mais ou menos desvio padrão. O valor entre parênteses representa o desvio padrão percentual em relação ao desvio médio



**Figura 5.39:** Eficiência de remoção de Fósforo Total ao longo do tempo

Com a diminuição do TDH das câmaras anaeróbias de 12 para 8 horas (Fase 2 para 3) houve uma pequena queda na eficiência média de remoção parcial de fósforo total. Quando se diminuiu o TDH das câmaras anaeróbias de 8 para 4 horas (Fase 3 para 4), houve um pequeno aumento no valor médio de remoção parcial de fósforo total de 20,9 para 29,6%, o mesmo comportamento foi verificado na saída do reator. O comportamento apresentado pelos valores de remoção de fósforo total (Figura 5.39) ao

longo do tempo de operação, indica a ocorrência de um equilíbrio dinâmico do sistema quanto a remoção deste parâmetro, indicando o aparecimento de uma população estável de microorganismos responsáveis pela remoção biológica de fósforo. Este fato pode ser observado nas fases 3 e 4.

No aumento no TDH da câmara aeróbia de 2 para 4 horas (Fase 1, 2, 3 e 4) houve alteração na eficiência média de remoção total de fósforo total, a Fase 1 mesmo sendo uma fase de estabilização foi a fase que apresentou melhores resultados na eficiência média de remoção de fósforo total. A Fase 2 teve um valor médio um pouco menor provavelmente devido a problemas operacionais já citados. A Fase 3 e 4 apesar de terem sido operadas com um maior cuidado em relação as demais não apresentaram melhores resultados quanto a eficiência de remoção de fósforo total.

Os valores obtidos são superiores aos encontrados na literatura para reatores compartimentados anaeróbios (em torno de 19,1% - NOUR 1996, POVINELLI 1994).

ZANELLA (1999), apresentou como resultados médios de remoção de fósforo total para TDH = 10 horas (8 horas para fase aeróbia e 2 horas para fase anaeróbia) 39,10 % para remoção parcial 42,95 % para remoção total, valores estes menores para o mesmo TDH estudado na Fase 1 deste trabalho.

LOPES (1999), para um reator aeróbio compartimentado recebendo esgoto de um reator compartimentado anaeróbio, apresentou para uma eficiência média de remoção de 19% para um TDH igual a 8 horas, valor este inferior aos valores apresentados no reator compartimentado anaeróbio/aeróbio.

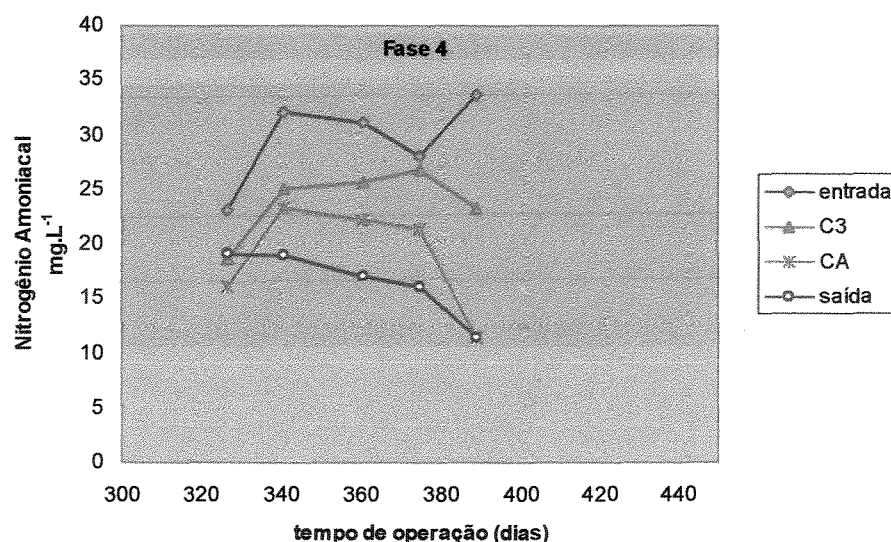
## 5.16 NITROGÊNIO AMONIACAL

Observando os resultados obtidos para nitrogênio amoniacial (Tabela 5.52 e Figura 5.40) nota-se uma variação de 11,4 e 33,6 mg.L<sup>-1</sup> ao longo de todas as câmaras, bem como entrada e saída do reator.

**Tabela 5.52:** Valores médios, desvios padrão absolutos e percentuais, para Nitrogênio Amoniacial (mg.L<sup>-1</sup>).

| Ponto de Coleta | Fase 4<br>M ± dp       | Dias de operação |      |      |      |      |
|-----------------|------------------------|------------------|------|------|------|------|
|                 |                        | 327°             | 341° | 361° | 375° | 389° |
| Afluente        | 29,5<br>4,10<br>(13,9) | 23,1             | 32,0 | 31,0 | 28,0 | 33,6 |
| Câmara 3        | 23,8<br>3,20<br>(13,4) | 18,5             | 25,0 | 25,6 | 26,7 | 23,1 |
| Câmara 4 (CA)   | 18,8<br>5,0<br>(26,6)  | 16,0             | 23,1 | 22,1 | 21,3 | 11,4 |
| Saída           | 16,5<br>3,1<br>(18,8)  | 19,0             | 18,9 | 17,0 | 16,0 | 11,4 |

Obs.: M ± dp : valor médio, mais ou menos desvio padrão. O valor entre parênteses representa o desvio padrão percentual em relação ao desvio médio.



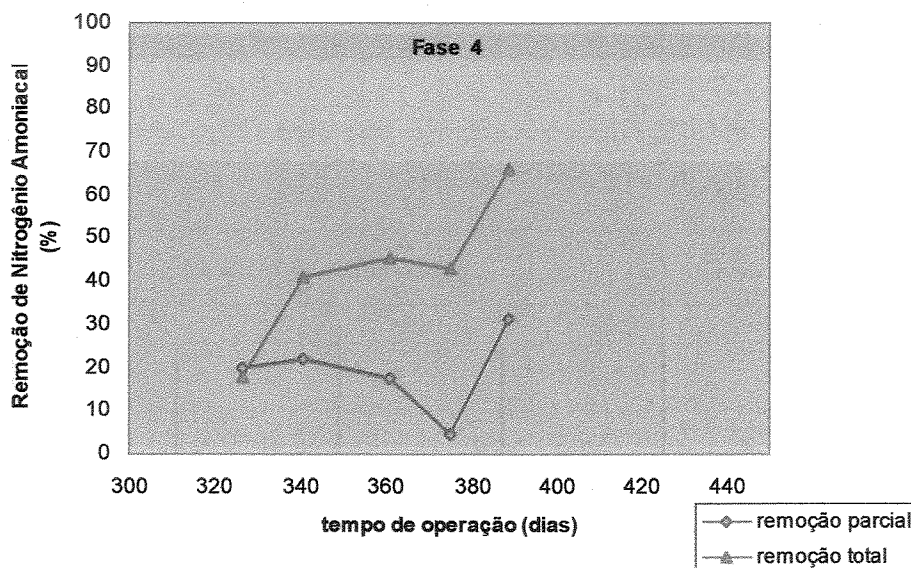
**Figura 5.40:** Nitrogênio amoniacial ao longo da Fase 4

Os valores médios de remoção de nitrogênio amoniacial podem ser observados na Tabela 5.53 e Figura 5.41.

**Tabela 5.53:** Valores médios, desvios padrão absolutos e percentuais, para remoção de Nitrogênio Amoniacal.

| Ponto de Coleta | Fase 4         | Dias de operação |      |      |      |      |
|-----------------|----------------|------------------|------|------|------|------|
|                 |                | $M \pm dp$       | 327º | 341º | 361º | 375º |
| Saída Câmara 3  | 19,0<br>(50,5) | 9,6              | 9,9  | 21,9 | 17,4 | 4,6  |
| Saída do Reator | 42,6<br>(40,1) | 17,1             | 17,8 | 40,9 | 45,1 | 66   |

Obs.:  $M \pm dp$  : valor médio, mais ou menos desvio padrão. O valor entre parênteses representa o desvio padrão percentual em relação ao desvio médio



**Figura 5.41:** Eficiência de remoção de Nitrogênio Amoniacal ao longo da Fase 4

LOPES (1999), operando um reator compartimentado aeróbio recebendo efluente do reator compartimentado anaeróbio apresentou uma eficiência média de remoção de nitrogênio amoniacial de 60 % para um TDH igual a 8 horas, valor este maior que a média apresentada para o reator compartimentado anaeróbio/aeróbio com o mesmo TDH (8 horas, 4 para as câmaras anaeróbias e 4 para a câmara aeróbia). Para o 389º dia de operação o reator compartimentado anaeróbio/aeróbio apresentou uma remoção de 66% valor este maior que a média apresentada por LOPES (1999).

Mesmo não sendo monitorada a concentração de nitrato, a Figura 5.41 indica uma provável ocorrência de nitrificação na câmara aeróbia, como sugere o aumento da remoção de nitrogênio amoniacial neste compartimento.

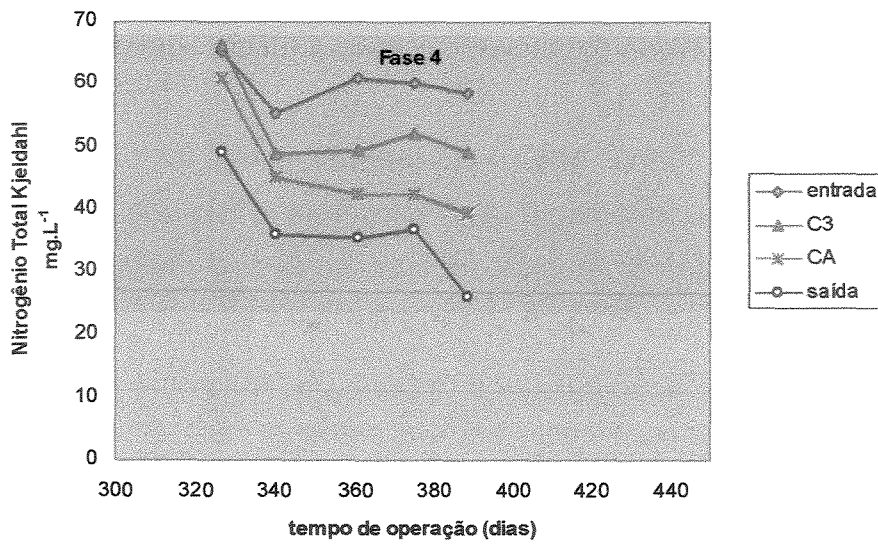
## 5.17 NITROGÊNIO TOTAL KJELDAHL (NTK)

Observando os resultados obtidos para nitrogênio total Kjeldahl (Tabela 5.54 e Figura 5.42) nota-se uma variação de 26,10 e 118,20 mg.L<sup>-1</sup> ao longo de todas as câmaras, bem como entrada e saída do reator.

**Tabela 5.54:** Valores médios, desvios padrão absolutos e percentuais, para Nitrogênio Total Kjeldahl.

| Ponto de Coleta  | Fase 4<br>M ± dp      | Dias de operação |      |      |      |      |
|------------------|-----------------------|------------------|------|------|------|------|
|                  |                       | 327°             | 341° | 361° | 375° | 389° |
| Afluente         | 60,0<br>3,7<br>(6,2)  | 65,3             | 55,3 | 61,0 | 60,1 | 58,4 |
| Câmara 3         | 53,0<br>7,4<br>(14,0) | 66,2             | 48,9 | 49,3 | 52,0 | 49,2 |
| Câmara 4<br>(CA) | 46,0<br>8,7<br>(18,9) | 61,0             | 45,1 | 42,3 | 42,5 | 39,1 |
| Saída            | 36,6<br>8,2<br>(22,4) | 49               | 36   | 35,3 | 36,7 | 26,1 |

Obs.: M ± dp : valor médio, mais ou menos desvio padrão. O valor entre parênteses representa o desvio padrão percentual em relação ao desvio médio



**Figura 5.42:** Nitrogênio Total Kjeldahl ao longo da Fase 4

Os valores médios de remoção de nitrogênio total Kjeldahl podem ser observados na Tabela 5.55.

**Tabela 5.55:** Valores médios, desvios padrão absolutos e percentuais, para remoção de Nitrogênio Total Kjeldahl

| Ponto de Coleta | Fase 4         |      | Dias de operação |      |      |      |      |
|-----------------|----------------|------|------------------|------|------|------|------|
|                 | M ± dp         |      | 327º             | 341º | 361º | 375º | 389º |
| Saída Câmara 3  | 11,7<br>(67,5) | 7,9  | -1,4             | 11,6 | 19,2 | 13,5 | 15,8 |
| Saída do Reator | 39,2<br>(28,3) | 11,1 | 25               | 34,9 | 42,1 | 38,9 | 55,3 |

Obs. : M ± dp : valor médio, mais ou menos desvio padrão. O valor entre parênteses representa o desvio padrão percentual em relação ao desvio médio.

Para o reator compartimentado aeróbio recebendo efluente do reator compartimentado anaeróbio, LOPES (1999) apresentou uma eficiência média de remoção de nitrogênio total Kjeldahl de 57 % para um TDH igual a 8 horas, valor este maior que a média apresentada para o reator compartimentado anaeróbio/aeróbio com o mesmo TDH (8 horas, 4 para as câmaras anaeróbias e 4 para a câmara aeróbia).

Para o 389º dia de operação o reator compartimentado anaeróbio/aeróbio apresentou uma remoção de 55,3% valor este semelhante a média apresentada por LOPES (1999).

Da mesma forma que o observado para fósforo total, ainda existe a necessidade de um tratamento a nível terciário do efluente tratado pelo reator compartimentado anaeróbio/aeróbio, quando se deseja diminuir o impacto causado pelo efluente líquido no corpo d'água em que ele será lançado. Contudo, a viabilidade da configuração deste reator em promover um tratamento a nível terciário é bastante promissora, indicando a necessidade de estudos mais específicos sobre este tema, como os realizados por LOPES (1999).

## 5.18 RECIRCULAÇÃO DE LODO

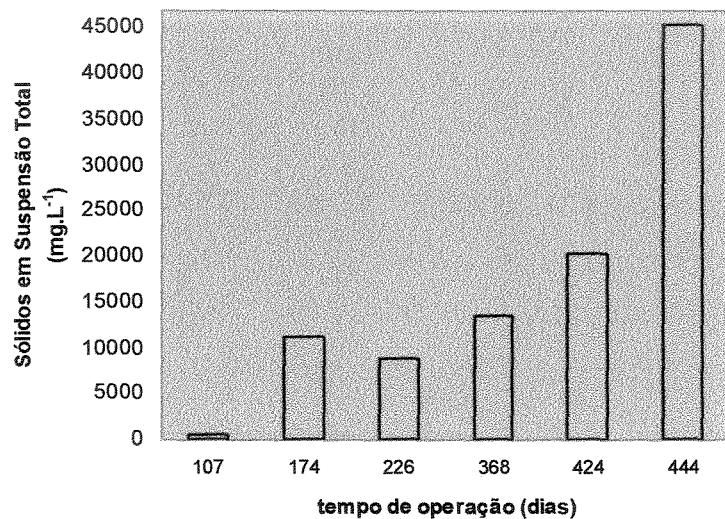
O lodo acumulado até um certo período no fundo do decantador secundário é constituído, em sua maioria, por bactérias ainda ativas do ponto de vista da capacidade de assimilar a matéria orgânica. Deste modo quanto maior a concentração de biomassa, mais substrato é utilizado ou, em outras palavras, mais  $\text{DBO}_5$  é removida. Portanto, caso se retorne o lodo sedimentado, de maior concentração (ou “lodo ativado”) ao reator, o sistema poderá assimilar uma carga maior de  $\text{DBO}_5$  (Von SPERLING, 1997).

A biomassa é expressa em termos de sólidos em suspensão voláteis (SSV). Estes representam a fração orgânica da biomassa, já que a matéria orgânica pode ser volatilizada, ou seja, convertida a gás por combustão (oxidação).

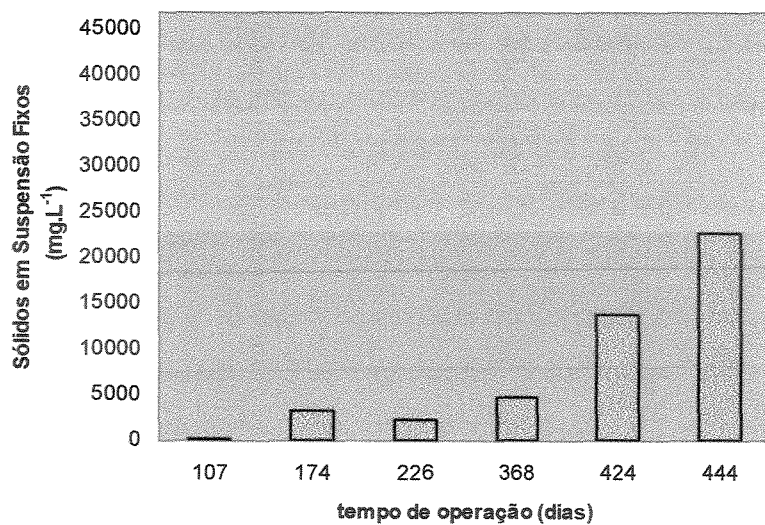
Nem toda, a fração orgânica da biomassa é ativa (ECKENFELDER, 1980; MARAIS & EKAMA, 1976; GRADY & LIM, 1980; IAWPRC, 1987 apud Von SPERLING, 1997).

O volume de lodo recirculado foi quantificado e são apresentados a seguir: 08/06/2000 (107º dia de operação) foi 154 litros, 15/08/2000 (174º dia de operação) foi de 102 litros, 09/10/2000 (226º dia de operação) foi de 21,4 litros, 13/03/2001 (368º dia de operação) foi de 19,2 litros, 08/05/2001 (424º dia de operação) foi de 75,5 litros e 29/05/2001 (444º dia de operação) foi de 160 litros.

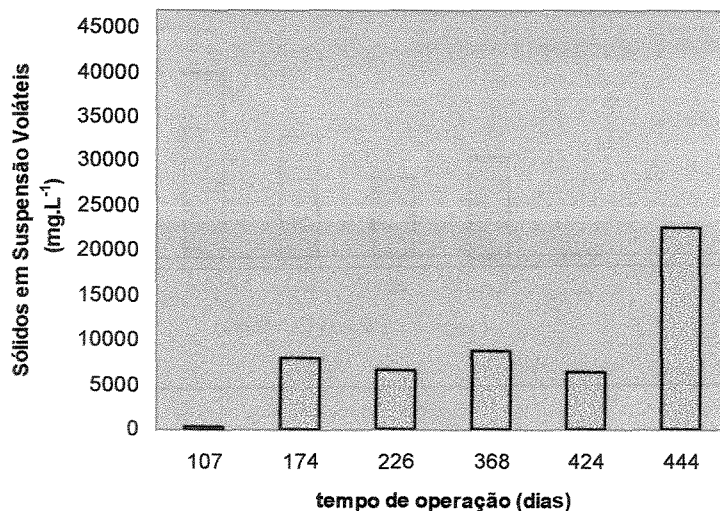
A recirculação do lodo ocorreu quando se era verificado a quantidade e qualidade do lodo do decantador secundário. Os resultados de sólidos, Índice Volumétrico de Lodo (I.V.L.) e pH podem ser verificados por meio das Figuras 5.43, 5.44, 5.45, 5.46, 5.47, 5.48, 5.49, 5.50.



**Figura 5.43:** Sólidos em Suspensão Totais presentes no lodo recirculado ao longo do tempo



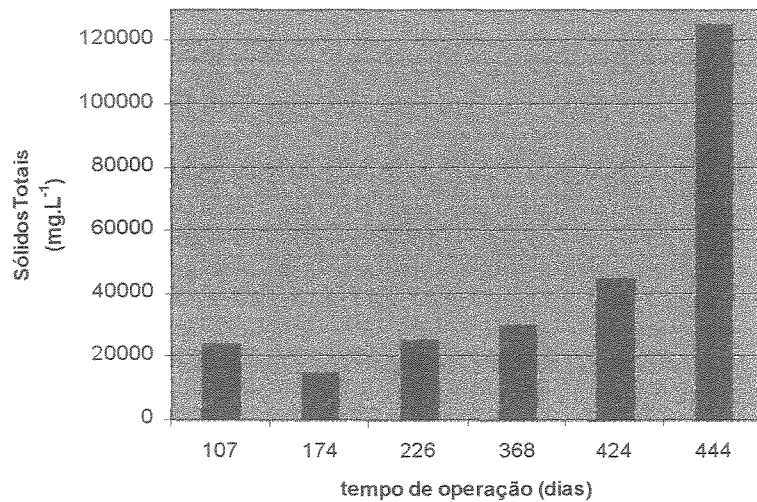
**Figura 5.44:** Sólidos em Suspensão Fixos presentes no lodo recirculado ao longo do tempo



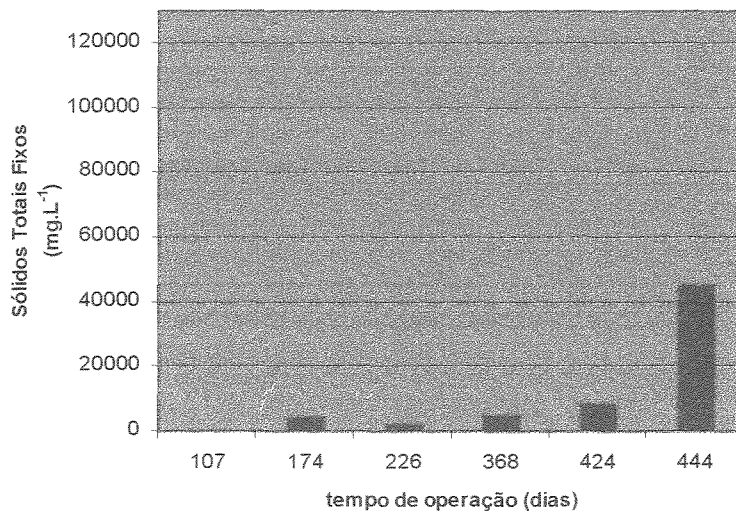
**Figura 5.45:** Sólidos em Suspensão Voláteis presentes no lodo recirculado ao longo do tempo

Os valores de SSV não apresentaram aumento na quarta câmara após as recirculações de lodo. Provavelmente pelo grande intervalo de tempo decorrido entre

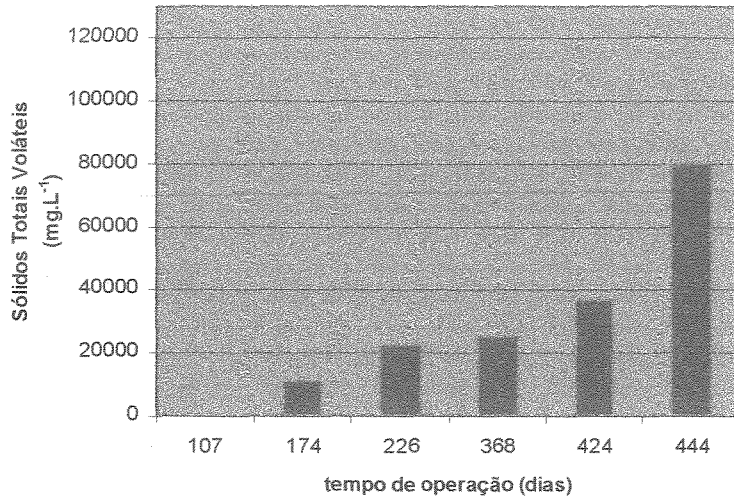
uma e outra recirculação e o lodo era constituído de uma pequena população de células viáveis (Figura 5.45).



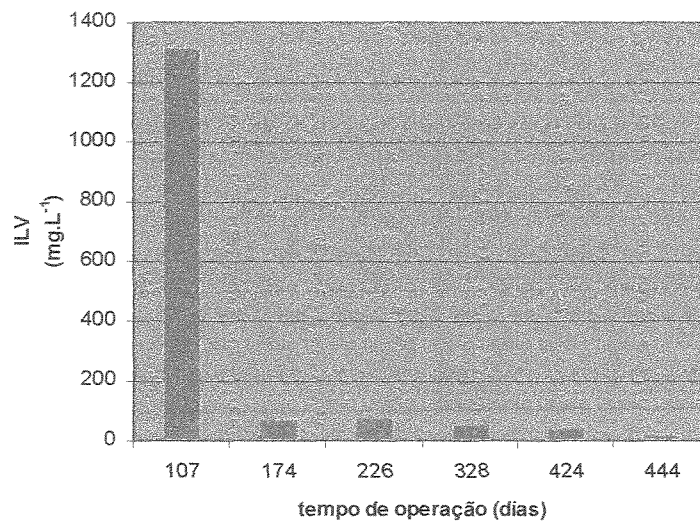
**Figura 5.46:** Sólidos Totais presentes no lodo recirculado ao longo do tempo



**Figura 5.47:** Sólidos Totais Fixos presentes no lodo recirculado ao longo do tempo



**Figura 5.48:** Sólidos Totais Voláteis presentes no lodo recirculado ao longo do tempo



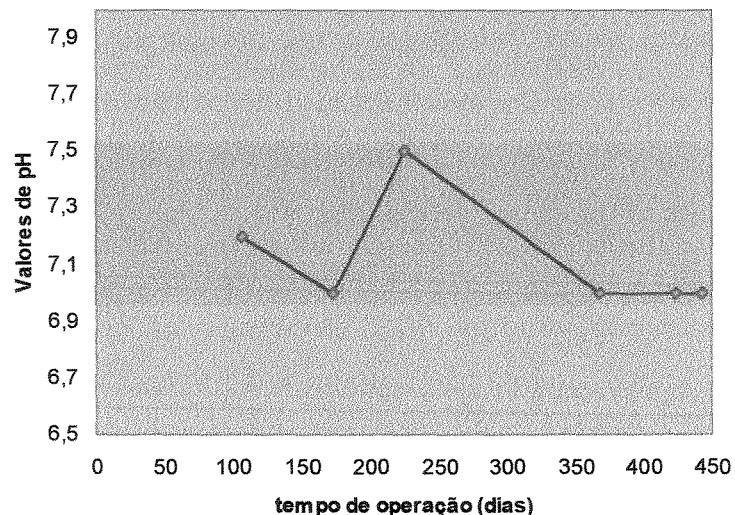
**Figura 5.49:** Índice Volumétrico de Lodo – Lodo recirculado

A interpretação do I.V.L. (Figura 5.49) se faz no sentido de que, quanto maior o seu valor, pior é a sedimentabilidade do lodo, ou seja, o lodo ocupa um maior volume no decantador secundário. Para o 107º dia de operação o lodo teve uma péssima sedimentabilidade, já para o 174º, 226º e 328º dias de operação apresentou uma boa

sedimentabilidade e para o 424º e 444º dias de operação a sedimentabilidade do lodo alcançou valores ótimos de acordo com a interpretação do resultado do índice volumétrico de lodo apresentado por Von SPERLING (1997) e JORDAO e PESSOA (1995).

Estes resultados ressaltam que a configuração do sistema em estudo promove a produção de um lodo aeróbio de fácil e adequada remoção, possibilitando um manejo adequado, tanto durante a recirculação, mas também para promover um efluente de boa qualidade.

A grande maioria dos valores de pH estiveram na faixa de 7,0 durante as cinco fases do monitoramento, valores estes ótimos para o tratamento de esgoto, não atingindo em nenhum momento valores considerados prejudiciais as atividades das bactérias envolvidas no processo de lodos ativados (Figura 5.50).



**Figura 5.50:** Valores de pH do lodo recirculado ao longo do tempo

A grande maioria dos valores de pH estiveram na faixa de 7,0 durante as cinco fases do monitoramento, valores estes ótimos para o tratamento de esgoto, não atingindo em nenhum momento valores considerados prejudiciais as atividades das bactérias envolvidas no processo de lodos ativados.

## 6 CONCLUSÕES

Com base nos resultados obtidos nos ensaios realizados para o reator compartimentado anaeróbio/aeróbio pode-se concluir que:

- Possui uma operação simples, baixo consumo de energia elétrica, fácil manutenção;
- Mesmo após um período longo sem manutenção adequada, apresenta altos valores na remoção de DQO, DBO<sub>5</sub>, SST e ST;
- Os valores médios de pH nos efluentes da saída de todos os compartimentos, em todas as fases de operação, estiveram dentro da faixa ótima de 6,8 a 7,2, não atingindo em nenhum momento valores considerados prejudiciais as atividades dos microrganismos envolvidos;
- Independentemente do valor de entrada, o valor de pH da saída do reator também se manteve próximo de 7,0 durante as cinco fases, indicando uma boa estabilidade do reator compartimentado anaeróbio/aeróbio;
- A relação AI/AP no efluente dos compartimentos estiveram na faixa entre 0,6 a 0,9 e assegurou um bom tamponamento diante de variações de pH no afluente tratado pelo reator compartimentado anaeróbio/aeróbio;
- O reator apresentou boa eficiência de remoção DQO<sub>total</sub>, DQO<sub>filtrada</sub>, DBO<sub>5</sub> e SST durante a Fase 1, que mesmo com um período de aproximadamente 6 meses sem acompanhamento e controle operacional adequados, o desempenho do reator pouco se alterou;

- A porcentagem de remoção parcial de DQO<sub>total</sub> situou-se na faixa de 23,8 a 56,1% e a remoção total de DQO<sub>total</sub> 47,9 a 73,7%. A Fase 4, TDH = 8 horas (4 horas câmaras anaeróbias e 4 horas câmara aeróbia) apresentou o melhor desempenho quanto a remoção total de DQO<sub>total</sub>, média de 58 % para remoção parcial e 73,7 % para remoção total. A Fase 2 apresentou a maior instabilidade na remoção de DQO<sub>total</sub>;
- O reator apresentou boa flexibilidade quanto a mudanças de TDH, no que se refere a eficiências de remoção de DQO<sub>total</sub>, DQO<sub>filtrada</sub>, DBO<sub>5</sub> e SST;
- A Fase 1 apresentou o melhor desempenho quanto a remoção parcial de DQO<sub>filtrada</sub>, 63% (TDH = 8+2 h) e a Fase 4 (TDH = 4+4 h) foi a que apresentou o melhor desempenho quanto a remoção total de DQO<sub>filtrada</sub> 74,3%.
- Um aumento da TCO diminuiu a os valores de remoção total de DQO<sub>total</sub>, o que não ocorreu com a remoção parcial de DQO<sub>total</sub>, cujos valores de porcentagem de remoção tenderam a um aumento;
- A Fase 4 foi a etapa que apresentou a maior instabilidade quanto aos valores de remoção de DBO<sub>5</sub>, característica esta também detectada para DQO<sub>total</sub>, SST e SSV;
- A Fase 5 foi a que obteve a melhor estabilidade quanto à eficiência de remoção de DBO<sub>5</sub>,  $65,6 \pm 7,3\%$  para remoção parcial e  $69,2 \pm 6,8\%$  para remoção total;
- A remoção média parcial de DBO<sub>5</sub> para todas as fases foi de  $55,5 \pm 19,8\%$  e para remoção total foi de  $66,2 \pm 16,4\%$  , valores maiores que os apresentados por reatores compartimentados anaeróbios citados na literatura;
- A remoção média parcial de SST para todas as fases foi de  $61,3 \pm 15,7\%$  e para remoção total foi de  $73,1 \pm 16,8\%$  valores estes maiores que os apresentados por reatores compartimentados anaeróbios citados na literatura;
- O comportamento na eficiência de remoção de STV e ST foram muito semelhantes, independente do TDH empregado. A Fase 3 (TDH = 8 + 4 h) apresentou uma remoção média de 80% para ST;

- Valores bem baixos de sólidos sedimentáveis foram encontrados no efluente final do reator, graças à presença do decantador laminar, valores esses sempre inferiores a  $0,5 \text{ mL.L}^{-1}$  ou iguais a zero;
- Em cada uma das três câmaras anaeróbias, a manta de lodo estava presente nos primeiros 0,40 m de altura, apresentando valores de SST na faixa de 90 a  $80350 \text{ mg.L}^{-1}$
- O valor médio de OD para a quarta câmara foi de  $2,80 \pm 1,10 \text{ mg O}_2.\text{L}^{-1}$ , encontrando-se dentro da faixa mínima necessária, conforme descrito na revisão bibliográfica;
- O valor médio de OD para o efluente do reator compartimentado anaeróbio/aeróbio foi de  $1,70 \pm 0,70 \text{ mg.O}_2.\text{L}^{-1}$ , um efluente com uma quantidade satisfatória de oxigênio para ser lançado em um corpo de água;
- Os resultados obtidos para o índice volumétrico do lodo formado na câmara aeróbia indicaram bons e ótimos resultados de sedimentabilidade;
- A configuração do sistema em estudo promove a produção de um lodo aeróbio de fácil e adequada remoção, possibilitando um manejo adequado, tanto durante a sua recirculação, como promover um efluente de boa qualidade.
- A remoção média parcial de Fósforo Total para todas as fases foi de  $29,0 \pm 14,2 \%$  e para remoção total foi de  $34,0 \pm 13,1 \%$ , valores maiores que os apresentados por reatores compartimentados anaeróbios citados na literatura;
- O equilíbrio dinâmico do sistema (final da Fase 3 e Fase 4) quanto a remoção de Fósforo Total, indica o aparecimento de uma população estável de microorganismos responsáveis pela remoção biológica de Fósforo;
- A remoção média parcial de Nitrogênio Amoniacal para todas as fases foi de  $19,0 \pm 9,6 \%$  e para remoção total foi de  $42,1 \pm 17,1 \%$ ;
- A remoção média parcial de Nitrogênio Total Kjeldahl para todas as fases foi de  $11,7 \pm 7,9 \%$  e para remoção total foi de  $39,2 \pm 11,1 \%$  valores maiores que os apresentados por reatores compartimentados anaeróbios citados na literatura;
- Os aumentos ocorridos na carga orgânica e hidráulica foram absorvidos adequadamente pelo sistema, não provocando nenhuma instabilidade no

sistema, mostrando ser um reator com boa configuração para absorver choques hidráulicas e orgânicos;

- A viabilidade da configuração deste reator em promover um tratamento a nível terciário é bastante promissora;

## **7 RECOMENDAÇÕES**

Tendo em vista futuras pesquisas de tratamento de esgoto sanitário empregando processo híbrido anaeróbio/aeróbio sob a forma de um reator compartimentado, recomenda-se:

- Controlar a concentração de oxigênio dissolvido na câmara de aeração, mantendo seus valores em torno de 2 mg/L;
- Melhoria no sistema de difusão de ar da câmara aeróbia com a utilização de bombas de ar utilizadas em grandes aquários, para minimização de gastos com energia elétrica;
- Estudar choques de pH e presença de compostos tóxicos, com duração e intensidade variáveis, de forma testar a capacidade de absorção e reabilitação do reator compartimentado anaeróbio/aeróbio;
- Promover a recirculação de lodo do decantador laminar secundário para a primeira câmara;
- Colocar uma bomba controladora de vazão com alta pressão e baixa vazão, para evitar entupimentos na tubulação;
- Identificação dos microorganismos presentes na manta de lodo, e;
- Utilizar um método mais adequado para a quantificação e especiação ácidos orgânicos voláteis (AOV), objetivando maximizar ainda mais o desempenho do reator.

## **REFERÊNCIAS BIBLIOGRÁFICAS**

- AISSE, M. M., (1985), Sedimentação do lodo secundário obtido no processo dos lodos ativados. . Dissertação (Mestrado) - São Carlos: Escola de Engenharia de São Carlos, USP, 205 p.
- AISSE, M.M., LOBATO, M.B., BONA, A., GARBOSSA, L.H.P., (2000), Estudo Comparativo do reator UASB e do reator anaeróbio compartimentado seqüencial no tratamento de esgoto sanitário, XVII Congresso Interamericano de Ingenieria Sanitaria y Ambiental, Porto Alegre, Brasil, Anais Eletrônicos.
- ALÉM SOBRINHO, P., (1983), Estudo dos fatores que influem no desempenho do processo de lodos ativados- determinação de parâmetros de projeto para esgotos predominantemente domésticos, Revista DAE, n. 132, p. 49-85.
- APHA; AWWA; WPCF, (1992), Standard Methods for the Examination of Water and Wastewater. 18. ed. Washington D. C..
- BACHMANN, A.; BEARD, V.DL.; McCARTY, P.L., (1982), Comparision of Fixed-film reactors with a modified Sludge Blanket Reactor apud NOUR, E. A. A., (1996), Tratamento de Esgoto Sanitário Empregando-se Reator Compartimentado Anaeróbio. Dissertação (Doutorado) – São Carlos: Escola de Engenharia de São Carlos, USP, 148 p.

BACHMANN, A.; BEARD, V.D.L.; McCARTY, P.L., (1985), Performance characteristics of the anaerobic baffled reator, Water Research, v. 19, n1, p. 99-106.

BARROS, F. G., CAMPOS, J. R., (1992), Tratamento de Esgotos Sanitários por Reator Anaeróbio Compartimentado, XXIII Congresso Interamericano de Ingenieria Sanitaria y Ambiental, La Havana, Cuba, Anais.

BITTON, G., (1994), Wastewater microbiology. University of Florida, Gainesville, Department of Environmental Engineering Sciences. 478 p.

BLUNDI, C. E., (1982), Processo de lodos ativados – modelos matemáticos e determinação de parâmetros em instalação piloto. Dissertação (Mestrado) - São Carlos: Escola de Engenharia de São Carlos, USP, 169 p.

BOOPATHAY, R.; TILCHE, A., (1991), Anaerobic digestion of high strength molasses wastewater using hybrid anaerobic baffled reactor apud CLARETO, C. R., (1997), Tratamento biológico de líquidos percolados gerados em aterros sanitários utilizando reator anaeróbio compartimentado. Dissertação (Mestrado) - São Carlos: Escola de Engenharia de São Carlos, USP, 300 p.

BOOPATHAY, R.; TILCHE, A., (1991), Anaerobic digestion of high strength molasses wastewater using hybrid anaerobic baffled reactor, Water Research, v.25, n. 7, 785-790 p.

BRANCO, S. M., (1986), Hidrologia Aplicada à Engenharia Sanitária. São Paulo, CETESB, 3 ed., 616 p. apud COLETTI, F.J., (1997), Pós Tratamento por Lodos Ativados de Efluentes de um Reator Anaeróbio Compartimentado no Tratamento de Esgotos Sanitários. Dissertação (Mestrado) - São Carlos: Escola de Engenharia de São Carlos, USP, 169 p.

CAMARGO, S.A. R., (2000), Filtro Anaeróbio com Enchimento de Bambu para Tratamento de Esgotos Sanitários: Avaliação da Partida e Operação, Dissertação (Mestrado), Universidade Estadual de Campinas, 181 p.

CAMPOS, J.R., (Coordenador), (1999). Tratamento de esgotos sanitários por processos anaeróbios e disposição controlada no solo, Rio de Janeiro, ABES , 464p. , Projeto PROSAB.

CAMPOS, J.R., DIAS, H.G., (1989), Potencialidade do filtro anaeróbio. Revista DAE, São Paulo, v.49, n.154, 29-33 p.

CETESB, (1989), Microbiologia de Lodos Ativados. São Paulo, 23p. apud COLETTI, F. J., (1997), Pós Tratamento por Lodos Ativados de Efluentes de um Reator Anaeróbio Compartimentado no Tratamento de Esgotos Sanitários. Dissertação (mestrado) - São Carlos: Escola de Engenharia de São Carlos, USP, 1997. 169 p.

CLARETO, C. R., (1997), Tratamento biológico de líquidos percolados gerados em aterros sanitários utilizando reator anaeróbio compartimentado. Dissertação (Mestrado) - São Carlos: Escola de Engenharia de São Carlos, USP, 300 p.

CHERNICHARO, C.A.L., (1997), Princípios do Tratamento Biológico de Águas Residuárias - Reatores Anaeróbios. Belo Horizonte: Departamento de Engenharia Sanitária e Ambiental, Universidade Federal de Minas Gerais, v. 5, 245p.

CHERNICHARO, C.A.L., AROEIRA, R.M., (1994), Metodologia para avaliação de alcalinidade em processos anaeróbios. Revista BIO, 31-36 p.

CHODOBA, J., STRAKOVÁ, P. e KONDO, M., (1991), Compartmentalized versus completely-mixed biological wastewater treatment systems, Water Research, v.25, nº 8, 973- 978 p.

COLETTI, F. J., (1997), Pós Tratamento por Lodos Ativados de Efluentes de um Reator Anaeróbio Compartimentado no Tratamento de Esgotos Sanitários. Dissertação (Mestrado) - São Carlos: Escola de Engenharia de São Carlos, USP, 169 p.

CONAMA, (1986), Resolução nº 20. Conselho Nacional do Meio Ambiente. Ministério do Desenvolvimento Urbano e Meio ambiente.

DILLALO, R. e ALBERTSON, O. E., (1961), Volatile acids by direct titration, Journal Water Pollution Control Federation, v. 33, nº 4, 356-351 p.

ECKENFELDER Jr., W.W., (1980), Principles of water quality management, Boston, CBI, 717 p., apud Von Sperling, M., (1997), Princípios do Tratamento Biológicos de Águas Residuárias – Lodos Ativados. Belo Horizonte: Departamento de Engenharia Sanitária e Ambiental, Universidade Federal de Minas Gerais, 1997. v. 4, 416 p.

FORESTI, E., (1987), Efeitos da Concentração Inicial do Substrato no Desempenho de Reatores Anaeróbios de Fluxo Ascendente com Manta de Lodo. Tese (livre Docência) - São Carlos: Escola de Engenharia de São Carlos, USP, 147p.

FORESTI, E., (1982), O comportamento singular do sistema de lodos ativados quando utilizado no tratamento de águas residuárias de uma indústria de fermento biológico., Tese (Doutorado) São Carlos: - Escola de Engenharia de São Carlos, USP, 121p.

GARCIA, M.L.A.R., (1991), Efeito de alguns metais pesados e cianetos sobre a digestão anaeróbia de lodos de esgotos. Dissertação (Mestrado) – São Carlos: Escola de Engenharia de São Carlos, USP.

GONÇALVES, R.F.; ARAÚJO, V. L.; CHERNICHARO, C. A , (1997), Tratamento Secundário Através da Associação em Série de Reatores USAB e Biofiltros Aerados Submersos. In: CONGRESSO BRASILEIRO DE ENGENHARIA SANITÁRIA E AMBIENTAL, 19, Foz do Iguaçu, 1997. Anais, ABES, 450 -461p.

GRADY, C.P.L., LIM, H., (1980), Biological wastewater treatment: theory and application, Marcel Dekker, New York, apud Von Sperling, M. (1997), Princípios do Tratamento Biológicos de Águas Residuárias – Lodos Ativados. Belo Horizonte: Departamento de Engenharia Sanitária e Ambiental, Universidade Federal de Minas Gerais, v. 4, 416 p.

GROBICKI, A.; STUCKEY, D. C., (1992), The combined biological nitrogen and phosphorus removal – design and large scale experiences, Water Science and Technology, v. 26, n. 9-11, 2241-2244 p.

HIRATA, Y.S., (1994), Experiências e perspectivas do tratamento anaeróbio no Brasil. In: Taller y Seminario Latinoamericano Tratamiento Anaeróbio de Aguas Residuales, 3, 1994, Montevideo. Proceedings...Montevideo: Graphis Ltda. Juan C. Gomez, .281-291 p.

HENZE, M. E HARREMÖES, P., (1983), Anaerobic treatment of wastewater in fixed film reactors – A literature review, Wat. Sci. Tech., v. 15, 1-101p.

IAWPRC, (1987), Activated sludge model nº 1. IAWPRC Scientific and Technical Reports nº 1 apud Von Sperling (1997), Princípios do Tratamento Biológicos de Águas Residuárias – Lodos Ativados. Belo Horizonte: Departamento de Engenharia Sanitária e Ambiental, Universidade Federal de Minas Gerais, v. 4, 416 p.

JORDÃO, E. P., (1998), Pesquisas visando melhorias operacionais no processo de lodos ativados, Dissertação (doutorado) – Escola Politécnica da Universidade de São Paulo, 293 p.

JORDÃO, E. P., PESSAO, C.A., (1995) Tratamento de Esgotos Sanitários, 3ed., Rio de Janeiro: ABES, 720 p.

KATO, M.T., (1982), Estudo e tratamento de águas residuárias de abatedouro de aves, São Carlos – SP, 262 p. Dissertação (mestrado) – Escola de Engenharia de São Carlos, Universidade de São Paulo

KASPAR, H.F. & WUHRMANN, K., (1978), Kinetic parameters and relative turnovers of some important catabolic reactions in digested sludge. Applied and Environmental Microbiology, v. 35, 1-7p.

LARANJEIRA FILHO, B. A., (1989), Estudo Comparativo de Reatores de Lodos Ativados em Escala de Laboratório. Dissertação (Mestrado) São Carlos: Escola de Engenharia de São Carlos, USP, 126 p. apud COLETTI, F.J., (1997), Pós Tratamento por Lodos Ativados de Efluentes de um Reator Anaeróbio Compartimentado no Tratamento de Esgotos Sanitários. Dissertação (Mestrado) - São Carlos: Escola de Engenharia de São Carlos, USP, 169 p.

LETTINGA, G., (1995), Anaerobic digestion and wastewater treatment systems. Antonie van Leeuwenhoek, v. 67, 3-28 p., 1995.

LETTINGA G.; HULSHOF POL L., (1986), Advanced reactor design, operation and economy. In: Proc. International Seminar on Anaerobic Treatment in tropical countries, São Paulo, Brasil.

LETTINGA G.; HULSHOF POL L. W.; ZEEMAN G., (1986), Biological Waster Treatment. Part 1: Anaerobic Wastewater Treatment. Lecture Notes. Wageningen Agricultural University, ed. January apud CHERNICHARO, C.A.L., (1997), Princípios do Tratamento /biológico de Águas Residuárias - Reatores Anaeróbios. Belo Horizonte: Departamento de Engenharia Sanitária e Ambiental, Universidade Federal de Minas Gerais, v. 5, 245 p.

- LETTINGA, G., VAN VELSEN, A.F.M., HOBMA, S.W. et al. (1980), Use of the upflow sludge blanket (USB) reactor concept for biological wastewater treatment, especially for anaerobic treatment. *Biotechnology and Bioengineering*, v.22, 699-734p.
- LOPES, D. D., (1999), Tratamento de Esgoto Sanitário Empregando Reatores Compartimentados Anaeróbio/ Aeróbio em Série. Dissertação (Doutorado) – São Carlos: Escola de Engenharia de São Carlos, USP, 178 p.
- MADONI, P. (1994), A Sludge biotic index (SBI) for the evaluation of the biological performance of actived sludge plants, base don the microfauna anlysis, *Water Research*, v. 38, n. 1, 67-75 p.
- MAEDA, R. A., (1999), Tratamento Biológico de Esgoto Sanitário Empregando Reator Aeróbio Compartimentado. Dissertação (Mestrado) – São Carlos: Escola de Engenharia de São Carlos, USP, 151 p.
- MALINA, J.F.B., (1992), Design of biological wastewater treatment systems. In Seminários de Transferências de Tecnologia - Tratamento de Esgotos, Rio de Janeiro. Trabalhos Apresentados, Rio de Janeiro: ABES / Water Environment Federation, 165-171p.
- MARAIS, G.v.R. & EKAMA, G.A., (1976), The activated sludge process, Part I – Steady state behaviour, *Water S. A.*, 2(4), Oct., 164-200p., apud Von Sperling (1997), Princípios do Tratamento Biológicos de Águas Residuárias – Lodos Ativados. Belo Horizonte: Departamento de Engenharia Sanitária e Ambiental, Universidade Federal de Minas Gerais, v. 4, 416 p.
- McCARTY, Perry L., (1964), Anaerobic Waste Treatment Fundamentals. Public Works - Parts 1, 2, 3, and 4. n. 9, 107 – 112 p.; n. 11, 91 – 94 p.; n. 12, 95 -99 p., Apud CHERNICHARO, C. A. L., (1997), Princípios do Tratamento Biológico de Águas

Residuárias - Reatores Anaeróbios. Belo horizonte: Departamento de Engenharia Sanitária e Ambiental, Universidade Federal de Minas Gerais, v. 5, 245 p.

McCARTY, P.L. (1981), One hundred years of anaerobic treatment. In: International Symposium on Anaerobic Digestion, 2, Travemünde. Proceedings... Amsterdam: Elsevier Biomedical Press B. V., 1982, 3-22 p.

METCALF & EDDY, (1991), Wastewater engineering treatment disposal reuse, 3.ed. New York: McGraw-Hill, 1334p.

MILLER, J.C., MILLER, J.N., (1993), Statistic for analytical chemistry, 3rd edition, 233 p., Ellis Horwood PTR Printice Hall.

MORAES, E. M., (1988), Relações entre pH e alcalinidade, poder tampão e equilíbrios de CO<sub>2</sub> em reatores anaeróbios, Trabalho apresentado na disciplina SHS-891, EESC-USP.

NACHAIYASIT, S.; (1995), The effectof process parameters on reactor performance in an anaerobic baffled reactor apud BARBER, W.P. e STUCKEY, D.C., (1999), The use of the anaerobic baffled reator (ABR) for waste water treatment: A Review, Water Research, v. 33, nº 7, 1559-1578 p.

NACHAIYASIT, S.; STUCKEY, D.C., (1995a) The effect of low temperature on the performance of an anaerobic bafilled reactor (ABR). J. Chem. Tech. Biotech., v.69, 276-284 p.

NACHAIYASIT, S.; STUCKEY, D.C., (1997b), The effect of shock loads on the performance of on anaerobic baffled reactor (ABR). 2. Step and transient hydraulic shocks at constant feed strength. Water Research, v.31, n.11, 2747-2754 p.

NOUR, E. A. A., (1996), Tratamento de Esgoto Sanitário Empregando-se Reator Compartimentado Anaeróbio. Tese (Doutorado) – São Carlos: Escola de Engenharia de São Carlos, USP, 284 p.

OROZCO, A., (1997), Pilot and full-scale anaerobic treatment of low-strength wastewater at sub-optimal temperature (15 °C) with hybrid plug flow reactor apud BARBER, W.P. e STUCKEY, D.C., (1999), The use of the anaerobic baffled reator (ABR) for waste water treatment: A Review, Water Research, v. 33, nº 7, 1559-1578 p.

PHILIPPI JÚNIOR, A., (1992), Águas residuárias. In: JÚNIOR, A. P. et al. Saneamento do meio. São Paulo, SP. Cap II. Fundacentro, Departamento de Saúde Ambiental.

POVINELLI, J.; AISSE, M. M., (1987), Sedimentação do lodo secundário obtido nos processos de lodos ativados, CONGRESSO BRASILEIRO DE ENGENHARIA SANITÁRIA E AMBIENTAL, 14, São Paulo, Anais, Rio de Janeiro, ABES vol.2, T.I., 398-428 p.

POVINELLI, S. C. S., (1994), Estudo da Hidrodinâmica e Partida de Reator anaeróbio com Chicanas Tratando Esgoto Sanitário. Dissertação (Mestrado) – São Carlos: Escola de Engenharia de São Carlos, USP, 1994. 128 p.

POVINELLI, S. C. S., (1999), Cinética, Hidrodinâmica e Biomassa em Reator Anaeróbio Compartimentado Alimentado com Esgoto Sanitário. Tese (Doutorado) – São Carlos: Escola de Engenharia de São Carlos, USP, 137 p.

SILVA, G.H.R., ZANELLA, L., NOUR, E. A. A., (2000) Comportamento de um reator compartimentado híbrido submetido a um período de operação precária: Estabilidade do Sistema, XVII Congresso Interamericano de Ingenieria Sanitaria y Ambiental, Porto Alegre, Brasil, Anais Eletrônicos.

- RINTALA, J., (1991), High-rate anaerobic treatment of industrial wastewaters. Water Science and Technology, Oxford, v.24., n.1, 69-74 p.
- RIPLEY, L.E., BOYLE, W. C., CONVERSE, J. C., (1986), Improved alkalimetric monitoring for anaerobic digestion of high-strength wastes. Journal WPCF, v.38, n.5, 406-411 p.
- SANT' ANNA, F. S. P., (1982), Tratamento de águas residuárias da industrialização de frutas cítricas pelo processo de lodos ativados, Dissertação (Mestrado) – São Carlos: Escola de Engenharia de São Carlos, USP, 165 p.
- SILVA, S.M.C.P., (1993), Desenvolvimento de uma Nova Concepção de Tratamento de Águas Residuárias pela Associação de Processos Anaeróbio e Aeróbios. Tese (Doutorado) - São Paulo: Escola Politécnica de São Paulo, USP, 672 p.
- Soubes, M., (1994), Microbiología de la digestión anaerobia. In: Taller y Seminario Latinoamericano Tratamiento Anaerobio de Aguas Residuales, 3, Montevideo. Proceedings...Montevideo: Graphis Ltda. Juan C. Gomez, 15-28 p.
- SOUZA, J.T., FORESTI, E., (1997), Pós Tratamento de Efluente Pré Tratado Anaerobiamente Através de Reator Seqüencial em Batelada. In: Congresso Brasileiro de Engenharia Sanitária e Ambiental, 19, Foz do Iguaçu, Anais, ABES, 180-186 p.
- SPEECE, Richard E., (1983), Anaerobic Biotechnology for Industrial Wastewater Treatment. Environmental Science Technology, v. 17, n. 9, 416 A - 427 A p.
- SPEECE, Richard E., (1996), Anaerobic Biotechnology for Industrial Wastewaters. Archae, Nashville, TN.

- SPEECE, Richard E., (1994), Trace metals Key role in anaerobic treatment processes. In: Taller y Seminario Latinoamericano Tratamiento Anaerobio de Aguas Residuales, 3, 1994, Montevideo. Proceedings...Montevideo: Graphis Ltda. Juan C. Gomez, 65-82 p.
- STUCKEY, D.C., (1983), Anaerobic digestion in developing countries: advances in fermentation apud BARBER, W.P., STUCKEY, D. C., (1999), The use of anaerobic baffled reator (ABR) for wastewater treatment: A Review, Water Research, v.33, n. 7, 1559-1578 p.
- SWITZENBAUM, M.S., GRADY JUNIOR, C.P.L. (1986), Anaerobic treatment of domestic wastewater. Journal of the Water Pollution Control Federation, Alexandria, v.58, 102-106 p.
- TAKASHIMA, M. e SPEECE, R.E., (1989), Mineral requirements for high-rate methane fermentation of acetate ao low SRT apud LETTINGA, G., (1995), Anaerobic digestion and wastewater treatment systems. Antonie van Leeuwenhoek, v. 67, 3-28 p.
- VAN HAANDEL, A., LETTINGA, G., (1994), Tratamento anaeróbio de esgotos - um manual para regiões de clima quente. Campina Grande: Guerreiro e Catunda, 125p.
- VON SPERLING, M., (1997), Princípios do Tratamento Biológicos de Águas Residuárias - Princípios Básicos de Tratamento de Esgotos. Belo Horizonte: Departamento de Engenharia Sanitária e Ambiental, Universidade Federal de Minas Gerais, v. 2, 211 p.
- VON SPERLING, M., (1997), Princípios do Tratamento Biológicos de Águas Residuárias – Lodos ativados. Belo Horizonte: Departamento de Engenharia Sanitária e Ambiental, Universidade Federal de Minas Gerais, v. 4, 416 p.

YOUNG H. W. e YOUNG J.C., (1988), Hydraulic characteristics of upflow anaerobic filters apud. BARBER, W.P., STUCKEY, D. C., (1999), The use of anaerobic baffled reactor (ABR) for wastewater treatment: A Review, Water Research, v.33, n. 7, 1559-1578 p.

ZANELLA, L., (1999), Partida de um Reator Compartimentado Híbrido Anaeróbio/Aeróbio Tratando Esgoto Sanitário, Dissertação (Mestrado), Universidade Estadual de Campinas, Unicamp, 118p.

ZANELLA, L. & NOUR, E.A.A., (2000), Partida de um reator compartimentado híbrido anaeróbio/aeróbio tratando esgoto sanitário, In. VI Latin American Workshop and Seminar on Anaerobic Digestion, Recife, Anais, v. 2 , n. 1 , p. 195 -198

ZEHNDER, A.J.B., INGVORSEN, K., MARTI, T. (1982) Microbiology of methane bacteria. In: International Symposium on Anaerobic Digestion, 2, 1981, Travemünde. Proceedings... Amsterdam: Elsevier Biomedical Press B. V., 45-65 p.

## **ANEXOS**

**Tabela 1:** Temperatura atmosférica e do esgoto (°C)

| Tempo<br>de<br>operação<br>(dias) | Ponto de coleta |      |      |      |      |       | Atmosférica |        |
|-----------------------------------|-----------------|------|------|------|------|-------|-------------|--------|
|                                   | entrada         | C1   | C2   | C3   | CA   | Saída | Máxima      | Mínima |
| 7                                 | 28,0            | 27,0 | 27,0 | 26,5 | 25,5 | 24,0  | 34,0        | 21,0   |
| 22                                | 27,0            | 26,5 | 26,0 | 25,5 | 25,5 | 25,0  | 31,0        | 21,0   |
| 43                                | 29,0            | 28,0 | 27,5 | 27,0 | 27,5 | 26,0  | 28,0        | 15,5   |
| 50                                | 28,0            | 27,5 | 27,0 | 26,0 | 26,5 | 26,5  | 32,0        | 18,0   |
| 64                                | 24,0            | 21,5 | 20,5 | 20,0 | 19,5 | 19,5  | 30,0        | 14,5   |
| 85                                | 25,0            | 22,0 | 21,0 | 21,0 | 20,0 | 20,0  | 29,5        | 19,0   |
| 92                                | 24,0            | 21,5 | 20,0 | 20,0 | 19,0 | 19,0  | 28,0        | 13,5   |
| 107                               | 24,0            | 22,0 | 21,0 | 21,0 | 20,0 | 20,0  | 27,2        | 14,0   |
| 114                               | 23,0            | 22,0 | 22,0 | 22,0 | 21,5 | 21,5  | 30,0        | 18,5   |
| 120                               | 21,0            | 19,0 | 18,3 | 17,9 | 17,7 | 17,3  | 30,0        | 17,0   |
| 150                               | 22,7            | 20,8 | 19,8 | 19,2 | 18,7 | 19,0  | 21,0        | 9,0    |
| 157                               | 22,0            | 20,5 | 19,7 | 19,6 | 19,2 | 19,2  | 23,0        | 9,0    |
| 164                               | 22,3            | 22,1 | 21,9 | 21,9 | 21,5 | 21,5  | 30,0        | 13,0   |
| 171                               | 25,4            | 25,3 | 25,3 | 25,2 | 25,1 | 25,0  | 30,5        | 17,5   |
| 178                               | 25,8            | 25,7 | 25,5 | 25,5 | 25,2 | 25,2  | 31,0        | 18,0   |
| 185                               | 18,0            | 17,9 | 17,8 | 17,6 | 17,6 | 17,5  | 18,0        | 14,0   |
| 191                               | 21,5            | 21,4 | 21,4 | 21,3 | 21,2 | 21,2  | 28,5        | 13,0   |
| 200                               | 24,0            | 23,9 | 23,8 | 23,7 | 23,6 | 23,6  | 28,0        | 18,0   |
| 206                               | 26,0            | 25,8 | 25,8 | 25,7 | 25,5 | 25,5  | 31,5        | 19,0   |
| 213                               | 19,0            | 18,9 | 18,8 | 18,7 | 18,6 | 18,6  | 20,0        | 13,0   |
| 220                               | 28,5            | 28,4 | 28,5 | 28,3 | 28,2 | 28,2  | 32,5        | 21,0   |
| 226                               | 26,0            | 25,8 | 25,6 | 25,5 | 25,5 | 25,4  | 31,0        | 18,5   |
| 232                               | 29,0            | 28,8 | 29,0 | 28,6 | 28,6 | 28,4  | 34,0        | 21,0   |
| 239                               | 30,1            | 29,9 | 29,7 | 29,7 | 26,5 | 29,4  | 36,7        | 21,5   |
| 245                               | 24,0            | 23,8 | 23,8 | 23,6 | 23,4 | 23,2  | 29,5        | 16,0   |
| 253                               | 27,5            | 27,3 | 27,2 | 27,2 | 27,0 | 26,8  | 31,7        | 21,0   |
| 259                               | 26,7            | 26,5 | 26,4 | 26,4 | 26,1 | 26,0  | 32,0        | 19,0   |
| 267                               | 26,5            | 26,4 | 26,3 | 26,3 | 26,0 | 25,9  | 31,2        | 19,0   |
| 322                               | 29,3            | 28,9 | 28,9 | 28,7 | 28,6 | 28,6  | 32,0        | 23,0   |
| 327                               | 27,8            | 27,6 | 27,5 | 27,6 | 27,0 | 26,9  | 31,5        | 21,5   |
| 334                               | 28,2            | 27,5 | 27,3 | 27,2 | 26,8 | 26,8  | 33,5        | 22,0   |
| 341                               | 26,3            | 25,6 | 25,5 | 25,3 | 25,3 | 25,1  | 29,5        | 21,5   |
| 347                               | 28,3            | 27,6 | 27,4 | 27,2 | 26,9 | 26,9  | 33,5        | 22,0   |
| 361                               | 27,3            | 27,0 | 26,8 | 26,7 | 26,5 | 26,5  | 32,4        | 21,0   |
| 375                               | 27,4            | 27,0 | 26,8 | 26,7 | 26,5 | 26,5  | 31,0        | 21,0   |
| 389                               | 27,8            | 27,8 | 28,0 | 28,0 | 28,1 | 28,2  | 32,4        | 21,0   |
| 396                               | 26,9            | 26,8 | 26,3 | 26,4 | 26,2 | 26,2  | 30,5        | 21,0   |
| 403                               | 24,7            | 24,7 | 24,6 | 24,6 | 24,5 | 24,5  | 29,5        | 17,5   |
| 410                               | 26,7            | 26,5 | 26,4 | 26,4 | 26,3 | 26,3  | 32,0        | 21,0   |
| 417                               | 25,9            | 25,8 | 25,8 | 25,7 | 25,7 | 25,6  | 30,5        | 19,0   |
| 424                               | 22,2            | 22,2 | 22,1 | 22,1 | 22,0 | 22,0  | 26,0        | 12,5   |
| 431                               | 21,3            | 21,1 | 21,1 | 21,0 | 20,9 | 20,9  | 23,0        | 12,0   |
| 438                               | 22,0            | 21,9 | 21,8 | 21,8 | 21,6 | 21,7  | 24,5        | 14,0   |
| 444                               | 21,8            | 21,7 | 21,7 | 21,6 | 21,5 | 21,5  | 23,0        | 17,0   |

**Tabela 2: Valores de pH**

| Tempo de operação (dias) | Pontos de Coleta |     |     |     |     |       |
|--------------------------|------------------|-----|-----|-----|-----|-------|
|                          | entrada          | C1  | C2  | C3  | CA  | saída |
| 7                        | 6.9              |     |     | 6.8 | 7.1 | 7.3   |
| 22                       | 7.4              |     |     | 7.1 | 7.2 | 7.3   |
| 43                       | 7.2              |     |     | 6.8 | 6.5 | 6.5   |
| 50                       | 8.3              |     |     | 6.7 | 7.1 | 7.2   |
| 64                       | 7.1              |     |     | 6.8 | 7.1 | 7.2   |
| 85                       | 7.5              |     |     | 6.8 | 6.6 | 6.8   |
| 92                       | 7.0              |     |     | 6.5 | 6.9 | 6.9   |
| 107                      | 6.8              |     |     | 6.7 | 7.2 | 7.3   |
| 114                      | 6.7              |     |     | 6.8 | 7.0 | 7.3   |
| 120                      | 7.0              |     |     | 6.8 | 7.1 | 7.1   |
| 150                      | 7.5              | 7.2 | 7.0 | 6.9 | 6.5 | 7.3   |
| 157                      | 7.2              | 6.8 | 6.8 | 6.7 | 7.0 | 6.9   |
| 164                      | 7.5              | 7.0 | 6.8 | 6.8 | 6.8 | 6.9   |
| 171                      | 7.0              | 6.9 | 7.0 | 6.8 | 7.0 | 7.0   |
| 178                      | Fase 1           | 6.7 | 6.6 | 6.5 | 6.7 | 7.3   |
| 185                      |                  | 6.5 | 6.7 | 6.6 | 6.5 | 6.7   |
| 191                      | Fase 2           | 7.0 | 6.8 | 6.7 | 6.7 | 7.2   |
| 200                      |                  | 6.7 | 6.4 | 6.4 | 6.6 | 6.1   |
| 206                      |                  | 6.8 | 6.6 | 6.5 | 6.7 | 7.2   |
| 213                      |                  | 6.5 | 6.8 | 6.8 | 6.7 | 7.1   |
| 220                      |                  | 6.9 | 6.9 | 6.7 | 6.8 | 7.2   |
| 226                      |                  | 6.5 | 6.8 | 6.8 | 6.8 | 7.6   |
| 232                      |                  | 7.1 | 6.8 | 6.7 | 6.8 | 7.2   |
| 239                      |                  | 6.3 | 6.3 | 6.3 | 6.4 | 7.0   |
| 245                      |                  | 6.6 | 6.5 | 6.5 | 6.4 | 7.0   |
| 253                      |                  | 7.9 | 6.7 | 6.5 | 6.6 | 7.2   |
| 259                      |                  | 6.8 | 6.8 | 6.7 | 6.7 | 7.4   |
| 267                      |                  | 7.7 | 6.7 | 6.6 | 6.6 | 7.2   |
| 322                      |                  | 7.0 | 6.6 | 6.6 | 6.6 | 7.3   |
| 327                      |                  | 7.1 | 7.0 | 6.9 | 6.9 | 7.2   |
| 334                      | Fase 3           | 6.9 | 6.9 | 6.8 | 6.7 | 7.1   |
| 341                      |                  | 7.2 | 6.9 | 6.8 | 6.8 | 7.1   |
| 347                      |                  | 7.1 | 6.9 | 6.8 | 6.8 | 7.1   |
| 361                      |                  | 8.3 | 7.5 | 7.3 | 7.2 | 7.3   |
| 375                      |                  | 6.5 | 6.5 | 6.5 | 6.7 | 6.8   |
| 382                      |                  | 6.2 | 6.2 | 6.2 | 6.3 | 6.6   |
| 396                      |                  | 6.7 | 6.6 | 6.5 | 6.4 | 6.5   |
| 403                      |                  | 5.4 | 6.3 | 6.5 | 6.4 | 6.8   |
| 410                      | Fase 4           | 6.9 | 6.7 | 6.6 | 6.5 | 7.0   |
| 417                      |                  | 7.2 | 7.0 | 6.9 | 6.9 | 7.1   |
| 424                      |                  | 7.0 | 6.8 | 6.8 | 6.7 | 6.9   |
| 431                      |                  | 6.4 | 6.7 | 6.8 | 6.8 | 6.8   |
| 438                      |                  | 6.8 | 6.9 | 6.8 | 6.6 | 6.8   |
| 444                      | 5                | 7.1 | 7.1 | 7.0 | 7.1 | 7.0   |

**Tabela 3: Alcalinidade Total (mg.CaCO<sub>3</sub>.L<sup>-1</sup>)**

| Tempo de operação (dias) | Ponto de Coleta |     |     |     |     |       |
|--------------------------|-----------------|-----|-----|-----|-----|-------|
|                          | entrada         | C1  | C2  | C3  | CA  | saída |
| 7                        | FASE 1          | 164 |     | 181 | 174 | 191   |
| 22                       |                 | 149 |     | 125 | 106 | 110   |
| 43                       |                 | 125 |     | 115 | 132 | 134   |
| 50                       |                 | 161 |     | 115 | 125 | 134   |
| 64                       |                 | 165 |     | 160 | 175 | 182   |
| 85                       |                 | 197 |     | 134 | 147 | 132   |
| 92                       |                 | 235 |     | 135 | 147 | 145   |
| 107                      |                 | 207 |     | 152 | 169 | 168   |
| 114                      |                 | 190 |     | 155 | 150 | 162   |
| 120                      |                 | 170 |     | 156 | 159 | 157   |
| 150                      |                 | 247 | 167 | 135 | 130 | 134   |
| 157                      |                 | 313 | 230 | 232 | 204 | 205   |
| 164                      |                 | 351 | 226 | 230 | 219 | 211   |
| 171                      |                 | 294 | 245 | 246 | 211 | 166   |
| 178                      | FASE 2          | 185 | 257 | 268 | 283 | 313   |
| 185                      |                 | 155 | 247 | 262 | 245 | 188   |
| 191                      |                 | 123 | 133 | 151 | 161 | 135   |
| 200                      |                 | 98  | 127 | 148 | 165 | 185   |
| 206                      |                 | 132 | 155 | 176 | 193 | 195   |
| 213                      |                 | 128 | 189 | 186 | 174 | 205   |
| 220                      |                 | 162 | 197 | 191 | 171 | 153   |
| 226                      |                 | 118 | 224 | 257 | 281 | 233   |
| 232                      |                 | 172 | 178 | 193 | 198 | 210   |
| 239                      |                 | 142 | 200 | 221 | 252 | 294   |
| 245                      |                 | 132 | 163 | 170 | 175 | 176   |
| 253                      |                 | 207 | 175 | 153 | 143 | 151   |
| 259                      |                 | 115 | 216 | 184 | 226 | 247   |
| 267                      |                 | 190 | 207 | 207 | 229 | 243   |
| 322                      | FASE 3          | 97  | 113 | 114 | 99  | 105   |
| 327                      |                 | 121 | 105 | 98  | 92  | 74    |
| 334                      |                 | 107 | 120 | 114 | 140 | 142   |
| 341                      |                 | 102 | 115 | 110 | 142 | 151   |
| 347                      |                 | 96  | 105 | 102 | 132 | 145   |
| 361                      |                 | 175 | 154 | 157 | 152 | 126   |
| 375                      |                 | 152 | 140 | 129 | 132 | 133   |
| 389                      |                 | 177 | 186 | 172 | 143 | 119   |
| 396                      |                 | 219 | 190 | 152 | 137 | 150   |
| 403                      |                 | 27  | 100 | 137 | 139 | 150   |
| 410                      |                 | 115 | 132 | 128 | 135 | 150   |
| 417                      |                 | 354 | 257 | 212 | 183 | 170   |
| 424                      |                 | 126 | 132 | 128 | 65  | 150   |
| 431                      |                 | 182 | 163 | 166 | 152 | 112   |
| 438                      |                 | 286 | 322 | 269 | 229 | 207   |
| 444                      | 5               | 343 | 350 | 252 | 207 | 186   |

**Tabela 4:** Alcalinidade Parcial ( $\text{mg.CaCO}_3 \cdot \text{L}^{-1}$ )

| Tempo de operação (dias) | Ponto de Coleta |     |     |     |     |       |
|--------------------------|-----------------|-----|-----|-----|-----|-------|
|                          | entrada         | C1  | C2  | C3  | CA  | saída |
| 7                        | 100             |     |     | 117 | 134 | 138   |
| 22                       | 101             |     |     | 77  | 72  | 74    |
| 43                       | 70              |     |     | 60  | 62  | 67    |
| 50                       | 117             |     |     | 60  | 74  | 77    |
| 64                       | 98              |     |     | 86  | 116 | 122   |
| 85                       | 122             |     |     | 82  | 87  | 72    |
| 92                       | 120             |     |     | 60  | 70  | 74    |
| 107                      | 96              |     |     | 82  | 92  | 97    |
| 114                      | 87              |     |     | 90  | 92  | 102   |
| 120                      | 100             |     |     | 89  | 100 | 99    |
| 150                      | 155             | 97  | 80  | 47  | 67  | 80    |
| 157                      | 204             | 117 | 125 | 102 | 119 | 113   |
| 164                      | 219             | 125 | 132 | 121 | 125 | 126   |
| 171                      | 170             | 172 | 155 | 132 | 109 | 108   |
| 178                      | Fase 1          | 106 | 147 | 143 | 283 | 208   |
| 185                      |                 | 57  | 91  | 106 | 94  | 79    |
| 191                      |                 | 67  | 70  | 78  | 79  | 81    |
| 200                      | Fase 2          | 53  | 57  | 76  | 98  | 122   |
| 206                      |                 | 72  | 81  | 93  | 105 | 126   |
| 213                      |                 | 63  | 101 | 102 | 94  | 121   |
| 220                      |                 | 94  | 120 | 115 | 108 | 106   |
| 226                      |                 | 62  | 132 | 161 | 188 | 185   |
| 232                      |                 | 75  | 122 | 150 | 162 | 171   |
| 239                      |                 | 59  | 104 | 107 | 121 | 155   |
| 245                      |                 | 65  | 82  | 86  | 90  | 102   |
| 253                      |                 | 133 | 107 | 93  | 92  | 97    |
| 259                      |                 | 61  | 121 | 102 | 128 | 151   |
| 267                      |                 | 106 | 112 | 108 | 120 | 114   |
| 322                      |                 | 45  | 66  | 70  | 65  | 79    |
| 327                      |                 | 79  | 69  | 64  | 58  | 54    |
| 334                      |                 | 52  | 75  | 73  | 89  | 106   |
| 341                      | Fase 3          | 62  | 78  | 75  | 91  | 107   |
| 347                      |                 | 65  | 81  | 78  | 96  | 107   |
| 361                      |                 | 121 | 106 | 103 | 101 | 98    |
| 375                      |                 | 110 | 105 | 69  | 76  | 78    |
| 389                      |                 | 97  | 109 | 104 | 83  | 71    |
| 396                      |                 | 114 | 100 | 83  | 71  | 79    |
| 403                      |                 | 0   | 43  | 75  | 78  | 96    |
| 410                      |                 | 112 | 115 | 125 | 132 | 145   |
| 417                      | Fase 4          | 221 | 163 | 133 | 127 | 121   |
| 424                      |                 | 74  | 76  | 78  | 65  | 75    |
| 431                      |                 | 162 | 196 | 162 | 117 | 121   |
| 438                      |                 | 226 | 236 | 196 | 136 | 140   |
| 444                      |                 | 51  | 93  | 98  | 99  | 70    |

**Tabela 5:** Alcalinidade Intermediária / Alcalinidade Parcial

| Tempo de operação (dias) | Ponto de Coleta |       |       |       |       |       |
|--------------------------|-----------------|-------|-------|-------|-------|-------|
|                          | entrada         | C1    | C2    | C3    | CA    | saída |
| 7                        | 0,642           |       |       | 0,548 | 0,296 | 0,384 |
| 22                       | 0,476           |       |       | 0,625 | 0,467 | 0,479 |
| 43                       | 0,793           |       |       | 0,920 | 1,115 | 1,000 |
| 50                       | 0,367           |       |       | 0,920 | 0,677 | 0,750 |
| 64                       | 0,683           |       |       | 0,859 | 0,510 | 0,490 |
| 85                       | 0,612           |       |       | 0,621 | 0,686 | 0,827 |
| 92                       | 0,958           |       |       | 1,250 | 1,107 | 0,946 |
| 107                      | 1,156           |       |       | 0,849 | 0,824 | 0,720 |
| 114                      | 1,171           |       |       | 0,722 | 0,622 | 0,585 |
| 120                      | 0,700           |       |       | 0,761 | 0,587 | 0,595 |
| 150                      | 0,597           | 0,718 | 0,687 | 1,895 | 0,926 | 0,672 |
| 157                      | 0,537           | 0,968 | 0,864 | 1,000 | 0,724 | 0,817 |
| 164                      | 0,603           | 0,818 | 0,743 | 0,813 | 0,697 | 0,642 |
| 171                      | 0,733           | 0,429 | 0,593 | 0,600 | 0,517 | 0,474 |
| 178                      | Fase            | 0,750 | 0,744 | 0,868 | 0,000 | 0,509 |
| 185                      |                 | 1,734 | 1,729 | 1,482 | 1,600 | 1,376 |
| 191                      | 2               | 0,825 | 0,899 | 0,935 | 1,032 | 0,667 |
| 200                      |                 | 0,841 | 1,221 | 0,955 | 0,690 | 0,517 |
| 206                      |                 | 0,847 | 0,917 | 0,900 | 0,840 | 0,547 |
| 213                      |                 | 1,031 | 0,868 | 0,818 | 0,838 | 0,698 |
| 220                      | F               | 0,718 | 0,644 | 0,659 | 0,577 | 0,446 |
| 226                      | A               | 0,914 | 0,693 | 0,599 | 0,496 | 0,259 |
| 232                      | S               | 1,286 | 0,459 | 0,284 | 0,223 | 0,226 |
| 239                      | E               | 1,412 | 0,933 | 1,065 | 1,086 | 0,889 |
| 245                      |                 | 1,041 | 0,992 | 0,962 | 0,934 | 0,727 |
| 253                      | 3               | 0,558 | 0,640 | 0,656 | 0,558 | 0,554 |
| 259                      |                 | 0,875 | 0,789 | 0,800 | 0,773 | 0,638 |
| 267                      |                 | 0,791 | 0,853 | 0,920 | 0,904 | 1,144 |
| 322                      |                 | 1,176 | 0,711 | 0,638 | 0,520 | 0,333 |
| 327                      |                 | 0,545 | 0,519 | 0,531 | 0,567 | 0,371 |
| 334                      | F               | 1,050 | 0,593 | 0,564 | 0,569 | 0,347 |
| 341                      | A               | 0,645 | 0,474 | 0,467 | 0,560 | 0,411 |
| 347                      | S               | 0,477 | 0,296 | 0,308 | 0,375 | 0,318 |
| 361                      | E               | 0,446 | 0,451 | 0,525 | 0,500 | 0,286 |
| 375                      |                 | 0,381 | 0,338 | 0,863 | 0,732 | 0,719 |
| 389                      | 4               | 0,824 | 0,711 | 0,644 | 0,724 | 0,660 |
| 396                      |                 | 0,913 | 0,900 | 0,828 | 0,920 | 0,909 |
| 403                      |                 | 0,000 | 1,345 | 0,823 | 0,773 | 0,569 |
| 410                      | F               | 0,027 | 0,146 | 0,023 | 0,023 | 0,034 |
| 417                      | A               | 0,600 | 0,579 | 0,600 | 0,442 | 0,402 |
| 424                      | S               | 0,705 | 0,735 | 0,650 | 0,000 | 0,495 |
| 431                      | E               | 0,127 | 0,030 | 0,027 | 0,296 | 0,070 |
| 438                      |                 | 0,266 | 0,364 | 0,372 | 0,684 | 0,480 |
| 444                      | 5               | 5,706 | 2,765 | 1,576 | 1,089 | 1,664 |
|                          |                 |       |       |       |       | 1,051 |

**Tabela 6:** Ácidos Orgânicos Voláteis (mg.HAc. L<sup>-1</sup>)

| Tempo de operação (dias) | Ponto de Coleta |     |     |     |     |       |
|--------------------------|-----------------|-----|-----|-----|-----|-------|
|                          | entrada         | C1  | C2  | C3  | CA  | Saída |
| 7                        | 88              |     |     | 79  |     |       |
| 22                       | 88              |     |     | 57  |     |       |
| 43                       | 79              |     |     | 69  |     |       |
| 50                       | 79              |     |     | 62  |     |       |
| 64                       | 83              |     |     | 75  |     |       |
| 85                       | 58              |     |     | 39  |     |       |
| 92                       | 58              |     |     | 53  |     |       |
| 107                      | 79              |     |     | 60  |     |       |
| 114                      | 62              |     |     | 30  |     |       |
| 120                      | 110             |     |     | 91  |     |       |
| 150                      | 77              | 48  | 23  | 16  | 31  | 42    |
| 157                      | 92              | 53  | 62  | 53  | 69  | 74    |
| 164                      | 81              | 51  | 72  | 61  | 48  | 53    |
| 171                      | 92              | 53  | 48  | 39  | 17  | 16    |
| 178                      | Fase 1          | 60  | 91  | 10  | 78  | 96    |
| 185                      |                 | 46  | 57  | 77  | 53  | 57    |
| 191                      | 2               | 52  | 95  | 79  | 62  | 39    |
| 200                      |                 | 52  | 88  | 99  | 105 | 61    |
| 206                      |                 | 68  | 117 | 109 | 110 | 60    |
| 213                      |                 | 47  | 75  | 74  | 60  | 68    |
| 220                      |                 | 55  | 67  | 67  | 40  | 32    |
| 226                      |                 | 58  | 84  | 79  | 52  | 46    |
| 232                      |                 | 56  | 72  | 73  | 45  | 38    |
| 239                      |                 | 68  | 111 | 125 | 121 | 152   |
| 245                      |                 | 72  | 67  | 66  | 46  | 44    |
| 253                      |                 | 44  | 48  | 55  | 37  | 43    |
| 259                      |                 | 55  | 80  | 75  | 82  | 58    |
| 267                      |                 | 46  | 62  | 52  | 52  | 50    |
| 322                      |                 | 41  | 67  | 35  | 41  | 17    |
| 327                      |                 | 46  | 40  | 33  | 27  | 12    |
| 334                      |                 | 106 | 135 | 106 | 113 | 60    |
| 341                      |                 | 91  | 100 | 91  | 93  | 50    |
| 347                      |                 | 86  | 95  | 86  | 92  | 49    |
| 361                      |                 | 46  | 32  | 43  | 45  | 26    |
| 375                      |                 | 60  | 75  | 64  | 71  | 29    |
| 389                      |                 | 118 | 104 | 91  | 64  | 39    |
| 396                      |                 | 114 | 65  | 81  | 66  | 62    |
| 403                      |                 | 77  | 110 | 102 | 98  | 44    |
| 410                      |                 | 85  | 92  | 95  | 89  | 53    |
| 417                      |                 | 176 | 119 | 125 | 88  | 74    |
| 424                      |                 | 90  | 106 | 100 | 94  | 42    |
| 431                      |                 | 115 | 139 | 119 | 70  | 70    |
| 438                      |                 | 176 | 164 | 155 | 110 | 108   |
| 444                      | 5               | 219 | 143 | 119 | 100 | 70    |
|                          |                 |     |     |     |     | 39    |

**Tabela 7: Demanda Química de Oxigênio Total (mg.O<sub>2</sub>.L<sup>-1</sup>)**

| Tempo de operação (dias) | Ponto de Coleta |        |       |       |       |        |
|--------------------------|-----------------|--------|-------|-------|-------|--------|
|                          | entrada         | C1     | C2    | C3    | CA    | saída  |
| 7                        | 638,3           |        |       | 256,2 | 138,5 | 107,2  |
| 22                       | 875,5           |        |       | 293,8 | 371,7 | 195,2  |
| 43                       | 980,5           |        |       | 603,3 | 684,4 | 541,7  |
| 50                       | 554,5           |        |       | 260,8 | 363,1 | 263,6  |
| 64                       | 680,5           |        |       | 253,4 | 263,8 | 193,5  |
| 85                       | 455,0           |        |       | 232,5 | 137,5 | 127,5  |
| 92                       | 642,5           |        |       | 305,0 | 215,0 | 172,5  |
| 107                      | 972,3           |        |       | 395,3 | 346,4 | 279,8  |
| 114                      | 747,8           |        |       | 376,9 | 270,0 | 289,3  |
| 120                      | 605,0           |        |       | 335,0 | 272,5 | 257,5  |
| 150                      | 727,5           | 297,5  | 190,0 | 145,0 | 312,5 | 212,5  |
| 157                      | 725,0           | 487,5  | 490,0 | 440,0 | 652,5 | 497,5  |
| 164                      | 653,8           | 307,5  | 347,5 | 311,3 | 312,5 | 300,0  |
| 171                      | 1436,7          | 488,1  | 424,3 | 317,1 | 245,7 | 207,5  |
| 178                      | Fase 1          | 835,5  | 718,0 | 828,0 | 628,0 | 1030,5 |
| 185                      |                 | 830,5  | 660,5 | 810,5 | 713,0 | 555,5  |
| 191                      |                 | 853,0  | 545,5 | 455,5 | 583,0 | 760,5  |
| 200                      | Fase 2          | 768,0  | 610,5 | 540,5 | 505,5 | 525,5  |
| 206                      |                 | 630,0  | 565,5 | 580,5 | 510,2 | 487,5  |
| 213                      |                 | 803,0  | 560,5 | 443,0 | 348,0 | 1005,5 |
| 220                      |                 | 898,6  | 666,9 | 504,4 | 397,0 | 424,8  |
| 226                      |                 | 1096,0 | 860,5 | 768,0 | 523,0 | 356,0  |
| 232                      |                 | 967,2  | 766,1 | 724,8 | 548,5 | 818,5  |
| 245                      |                 | 852,0  | 675,0 | 555,0 | 386,0 | 655,0  |
| 253                      |                 | 1523,0 | 560,8 | 445,8 | 355,8 | 923,3  |
| 259                      |                 | 968,3  | 543,3 | 735,8 | 587,5 | 585,8  |
| 322                      |                 | 742,0  | 588,7 | 338,7 | 275,3 | 232,0  |
| 327                      |                 | 802,0  | 598,7 | 472,0 | 212,0 | 78,7   |
| 334                      |                 | 562,0  | 768,7 | 339,0 | 248,7 | 245,3  |
| 341                      |                 | 692,0  | 418,7 | 348,7 | 495,3 | 935,0  |
| 347                      |                 | 800,0  | 601,0 | 450,0 | 245,0 | 255,0  |
| 361                      |                 | 709,0  | 519,0 | 489,0 | 389,0 | 419,0  |
| 389                      |                 | 603,5  | 411,0 | 306,0 | 216,0 | 166,0  |
| 396                      |                 | 528,5  | 383,5 | 261,0 | 188,5 | 216,0  |
| 403                      | Fase 3          | 638,5  | 488,5 | 376,0 | 333,5 | 291,0  |
| 417                      |                 | 691,7  | 516,2 | 224,0 | 198,1 | 237,5  |
| 424                      |                 | 705,6  | 742,2 | 543,6 | 530,5 | 606,3  |
| 431                      |                 | 661,2  | 669,0 | 478,3 | 345,0 | 415,5  |
| 438                      |                 | 865,0  | 548,8 | 392,1 | 358,1 | 849,3  |
| 444                      | 5               | 888,0  | 679,0 | 456,0 | 373,0 | 395,0  |

**Tabela 8:** Demanda Química de Oxigênio Filtrada ( $\text{mg.O}_2\cdot\text{L}^{-1}$ )

| Tempo de Operação (dias) |         | Ponto de coleta |       |       |       |       |       |
|--------------------------|---------|-----------------|-------|-------|-------|-------|-------|
|                          |         | entrada         | C1    | C2    | C3    | CA    | saída |
| 150                      | Fase 1  | 290,0           | 117,5 | 55,0  | 47,5  | 55,0  | 72,5  |
| 157                      |         | 282,5           | 220,0 | 312,5 | 350,0 | 472,5 | 297,5 |
| 164                      |         | 302,5           | 165,0 | 182,5 | 170,0 | 137,5 | 155,0 |
| 171                      |         | 273,8           | 204,9 | 189,6 | 105,4 | 64,6  | 54,4  |
| 178                      | Fase 2  | 365,5           | 343,0 | 365,5 | 325,5 | 278,0 | 280,5 |
| 185                      |         | 368,0           | 360,5 | 315,5 | 335,5 | 230,5 | 205,5 |
| 191                      |         | 533,0           | 370,5 | 285,5 | 375,5 | 170,5 | 183,0 |
| 200                      | Fase 3  | 305,5           | 303,0 | 240,5 | 198,0 | 100,5 | 95,5  |
| 206                      |         | 273,0           | 258,0 | 265,5 | 135,5 | 55,5  | 43,0  |
| 213                      |         | 233,0           | 185,5 | 150,5 | 120,5 | 20,5  | 28,0  |
| 220                      |         | 474,1           | 275,8 | 190,4 | 201,4 | 71,9  | 63,6  |
| 226                      |         | 370,5           | 380,5 | 293,0 | 208,0 | 90,5  | 60,5  |
| 232                      |         | 350,1           | 330,9 | 325,9 | 264,7 | 99,5  | 74,7  |
| 239                      |         | 427,3           | 479,6 | 399,7 | 523,7 | 151,8 | 102,2 |
| 245                      |         | 410,0           | 396,0 | 350,0 | 254,0 | 105,0 | 85,0  |
| 253                      |         | 383,5           | 281,4 | 227,9 | 161,5 | 102,9 | 143,7 |
| 259                      |         | 603,3           | 518,3 | 580,8 | 480,8 | 325,8 | 305,8 |
| 267                      |         | 226,8           | 386,8 | 119,3 | 354,3 | 481,8 | 89,3  |
| 322                      | Fase 4  | 350,7           | 230,0 | 172,0 | 268,7 | 198,7 | 95,3  |
| 327                      |         | 312,0           | 234,0 | 153,3 | 98,7  | 28,7  | 18,7  |
| 334                      |         | 248,7           | 202,0 | 195,3 | 128,7 | 108,6 | 98,7  |
| 341                      |         | 332,0           | 212,0 | 148,7 | 102,0 | 118,7 | 128,7 |
| 347                      |         | 300,0           | 215,0 | 146,0 | 98,0  | 110,0 | 125,0 |
| 361                      |         | 215,3           | 175,3 | 185,3 | 122,0 | 35,3  | 18,7  |
| 375                      |         | 228,7           | 182,0 | 208,7 | 115,3 | 135,3 | 122,0 |
| 389                      | Fase 5  | 286,0           | 211,0 | 128,5 | 111,0 | 98,5  | 94,0  |
| 396                      |         | 273,5           | 156,0 | 101,0 | 128,5 | 156,0 | 126,0 |
| 403                      | Fase 6  | 303,5           | 231,0 | 206,0 | 161,0 | 133,5 | 118,0 |
| 417                      | Fase 7  | 342,4           | 226,4 | 101,4 | 111,9 | 133,4 | 112,7 |
| 424                      | Fase 8  | 480,9           | 326,7 | 300,6 | 201,3 | 201,3 | 183,0 |
| 431                      | Fase 9  | 253,5           | 256,1 | 162,1 | 86,3  | 23,6  | 18,3  |
| 438                      | Fase 10 | 321,5           | 211,7 | 219,6 | 133,3 | 94,1  | 190,8 |
| 444                      | Fase 11 | 352,0           | 295,0 | 200,0 | 156,0 | 120,0 | 118,0 |

**Tabela 9:** Demanda Bioquímica de Oxigênio ( $\text{mg.O}_2\cdot\text{L}^{-1}$ )

| Tempo de Operação (dias) | Ponto de coleta |       |       |       |       |       |
|--------------------------|-----------------|-------|-------|-------|-------|-------|
|                          | entrada         | C1    | C2    | C3    | CA    | saída |
| 150                      | Fase 1          | 309,1 | 67,2  | 94,8  | 72,0  | 147,1 |
| 157                      |                 | 409,9 | 283,3 | 277,2 | 232,2 | 207,0 |
| 164                      |                 | 291,9 | 123,9 | 115,4 | 113,0 | 119,5 |
| 171                      |                 | 317,9 | 107,7 | 77,6  | 39,0  | 21,9  |
| 185                      | Fase 2          | 312,1 | 298,6 | 356,6 | 288,8 | 193,7 |
| 191                      |                 | 413,8 | 260,7 | 222,4 | 171,7 | 302,9 |
| 200                      | Fase 3          | 333,3 | 267,5 | 224,9 | 172,4 | 135,3 |
| 206                      |                 | 329,0 | 247,0 | 218,0 | 158,0 | 125,0 |
| 213                      |                 | 252,0 | 292,5 | 318,7 | 182,0 | 810,1 |
| 232                      |                 | 187,1 | 208,0 | 129,5 | 102,7 | 285,7 |
| 245                      |                 | 325,0 | 215,0 | 201,0 | 186,0 | 210,0 |
| 253                      |                 | 967,1 | 436,7 | 230,1 | 198,5 | 528,5 |
| 259                      |                 | 459,7 | 395,3 | 282,2 | 311,3 | 391,7 |
| 267                      |                 | 336,5 | 220,1 | 251,9 | 181,0 | 251,5 |
| 322                      | Fase 4          | 354,2 | 229,7 | 148,9 | 117,5 | 105,0 |
| 327                      |                 | 382,8 | 313,3 | 207,9 | 90,6  | 35,3  |
| 334                      |                 | 277,0 | 383,0 | 174,0 | 122,0 | 127,0 |
| 341                      |                 | 304,1 | 119,5 | 146,8 | 160,9 | 349,2 |
| 347                      |                 | 381,9 | 234,4 | 198,2 | 104,7 | 115,4 |
| 361                      |                 | 329,6 | 234,0 | 216,0 | 188,0 | 207,0 |
| 375                      |                 | 230,2 | 277,1 | 211,1 | 214,6 | 290,9 |
| 389                      |                 | 314,1 | 160,5 | 134,8 | 102,3 | 65,1  |
| 396                      | Fase 5          | 275,3 | 147,5 | 113,5 | 78,5  | 93,9  |
| 403                      |                 | 325,8 | 189,3 | 161,4 | 137,8 | 129,3 |
| 417                      |                 | 349,3 | 208,1 | 96,6  | 82,9  | 103,2 |
| 424                      |                 | 341,9 | 277,1 | 204,9 | 139,2 | 162,1 |
| 431                      |                 | 327,3 | 259,3 | 192,1 | 111,3 | 137,6 |
| 438                      | Fase 6          | 422,0 | 208,7 | 162,7 | 119,4 | 269,6 |
| 444                      |                 | 581,3 | 450,0 | 275,5 | 217,9 | 257,2 |

**Tabela 10:** Sólidos em Suspensão Totais ( $\text{mg.L}^{-1}$ )

| Tempo de Operação (dias) | Ponto de coleta |       |       |       |       |       |
|--------------------------|-----------------|-------|-------|-------|-------|-------|
|                          | entrada         | C1    | C2    | C3    | CA    | saída |
| 7                        | 190,0           |       |       | 62,0  | 74,0  | 40,0  |
| 22                       | 318,0           |       |       | 116,0 | 216,0 | 76,0  |
| 43                       | 254,0           |       |       | 96,0  | 132,0 | 66,0  |
| 50                       | 256,0           |       |       | 80,0  | 164,0 | 70,0  |
| 64                       | 218,0           |       |       | 7,0   | 20,0  | 6,0   |
| 85                       | 194,0           |       |       | 84,0  | 62,0  | 23,0  |
| 92                       | 268,0           |       |       | 82,0  | 118,0 | 40,0  |
| 107                      | 386,7           |       |       | 91,4  | 142,0 | 34,0  |
| 114                      | 280,6           |       |       | 96,0  | 127,1 | 75,0  |
| 120                      | 200,0           |       |       | 107,1 | 96,0  | 95,0  |
| 150                      | 270,0           | 93,8  | 52,0  | 62,0  | 156,9 | 88,0  |
| 157                      | 255,0           | 145,0 | 51,0  | 40,0  | 56,0  | 38,0  |
| 164                      | 262,5           | 114,3 | 113,7 | 102,5 | 108,1 | 82,0  |
| 171                      | 312,8           | 162,3 | 93,3  | 75,6  | 46,7  | 83,3  |
| 178                      | Fase            | 356,7 | 222,0 | 182,8 | 160,3 | 274,4 |
| 185                      |                 | 294,3 | 205,0 | 252,0 | 190,0 | 150,0 |
| 191                      |                 | 220,0 | 156,0 | 90,0  | 103,0 | 286,4 |
| 200                      | FASE 1          | 250,0 | 210,0 | 241,7 | 163,5 | 19,6  |
| 206                      |                 | 294,1 | 186,4 | 180,0 | 158,0 | 215,6 |
| 213                      |                 | 258,3 | 230,0 | 192,0 | 124,3 | 163,0 |
| 220                      |                 | 250,0 | 182,0 | 142,7 | 125,7 | 252,0 |
| 232                      |                 | 330,0 | 196,0 | 164,0 | 136,0 | 404,0 |
| 245                      |                 | 396,0 | 186,0 | 226,0 | 137,0 | 222,0 |
| 259                      |                 | 357,0 | 128,0 | 258,0 | 172,0 | 312,0 |
| 322                      |                 | 211,0 | 320,0 | 90,0  | 49,0  | 116,0 |
| 327                      |                 | 242,0 | 244,0 | 103,0 | 64,0  | 70,0  |
| 334                      |                 | 303,0 | 453,0 | 89,0  | 65,0  | 96,0  |
| 341                      |                 | 189,0 | 108,8 | 84,0  | 158,7 | 404,0 |
| 347                      |                 | 235,0 | 158,0 | 102,0 | 91,0  | 95,0  |
| 361                      |                 | 279,0 | 182,0 | 152,0 | 100,0 | 173,0 |
| 389                      |                 | 178,0 | 119,0 | 30,0  | 69,0  | 39,0  |
| 396                      |                 | 245,1 | 81,6  | 113,0 | 71,0  | 40,0  |
| 403                      | Fase            | 397,5 | 217,3 | 71,9  | 239,2 | 123,0 |
| 410                      |                 | 360,0 | 215,0 | 79,0  | 210,0 | 185,0 |
| 417                      |                 | 356,0 | 161,0 | 267,0 | 89,0  | 228,5 |
| 431                      |                 | 344,0 | 222,0 | 160,0 | 111,0 | 328,0 |
| 444                      |                 | 295,5 | 238,2 | 147,3 | 95,0  | 147,2 |
|                          |                 |       |       |       |       | 112,8 |

**Tabela 11:** Sólidos em Suspensão Fixos ( $\text{mg.L}^{-1}$ )

| Tempo de operação (dias) | Ponto de Coleta |       |      |       |      |       |
|--------------------------|-----------------|-------|------|-------|------|-------|
|                          | entrada         | C1    | C2   | C3    | CA   | saída |
| 7                        | 14,0            |       |      | 6,0   | 32,0 | 8,0   |
| 22                       | 40,0            |       |      | 12,0  | 36,0 | 14,0  |
| 43                       | 52,0            |       |      | 10,0  | 22,0 | 4,0   |
| 50                       | 50,0            |       |      | 10,0  | 22,0 | 4,0   |
| 64                       | 50,0            |       |      | 8,0   | 22,0 | 2,0   |
| 85                       | 4,0             |       |      | 1,0   | 5,0  | 1,0   |
| 92                       | 12,0            |       |      | 6,0   | 12,0 | 3,0   |
| 107                      | 53,3            |       |      | 10,0  | 26,0 | 3,0   |
| 114                      | 16,7            |       |      | 11,0  | 12,9 | 2,0   |
| 120                      | 14,0            |       |      | 10,0  | 2,0  | 7,0   |
| 150                      | 27,5            | 7,5   | 5,5  | 4,0   | 15,7 | 10,0  |
| 157                      | 17,5            | 17,5  | 10,0 | 4,0   | 6,0  | 8,0   |
| 164                      | 23,5            | 11,4  | 11,0 | 12,4  | 11,6 | 1,0   |
| 171                      | 25,6            | 7,6   | 7,8  | 5,6   | 2,2  | 1,1   |
| 178                      | Fase            | 50,0  | 38,0 | 27,6  | 22,4 | 53,5  |
| 185                      |                 | 37,1  | 25,0 | 50,0  | 26,0 | 22,0  |
| 191                      | 2               | 32,5  | 15,0 | 9,0   | 17,0 | 40,9  |
| 200                      |                 | 35,0  | 60,0 | 71,7  | 33,3 | 8,0   |
| 206                      | F               | 28,6  | 9,1  | 24,0  | 22,0 | 24,4  |
| 213                      | A               | 22,2  | 22,5 | 22,0  | 20,0 | 44,0  |
| 220                      | S               | 30,0  | 20,0 | 13,2  | 11,4 | 28,0  |
| 232                      | E               | 63,3  | 8,9  | 18,0  | 16,0 | 93,0  |
| 245                      |                 | 50,0  | 22,0 | 64,0  | 28,0 | 56,0  |
| 259                      | 3               | 71,0  | 18,0 | 64,0  | 32,0 | 78,0  |
| 322                      |                 | 5,0   | 82,5 | 8,0   | 2,0  | 28,0  |
| 327                      | F               | 21,0  | 54,0 | 7,0   | 2,0  | 4,0   |
| 334                      | A               | 13,0  | 45,0 | 12,0  | 4,0  | 25,0  |
| 341                      | S               | 34,6  | 15,4 | 18,0  | 45,3 | 142,0 |
| 347                      | E               | 45,0  | 30,0 | 18,0  | 15,0 | 19,0  |
| 361                      |                 | 39,0  | 27,0 | 16,0  | 12,0 | 23,0  |
| 389                      | 4               | 18,0  | 15,0 | 5,0   | 10,0 | 4,0   |
| 396                      |                 | 92,2  | 8,2  | 20,0  | 7,0  | 8,0   |
| 403                      |                 | 65,0  | 26,9 | 8,0   | 28,3 | 19,0  |
| 410                      | Fase            | 58,0  | 29,0 | 15,0  | 25,0 | 20,0  |
| 417                      |                 | 98,0  | 95,0 | 151,0 | 40,0 | 43,0  |
| 431                      | 5               | 122,0 | 18,0 | 40,0  | 11,0 | 74,0  |
| 444                      |                 | 21,0  | 33,0 | 8,0   | 3,0  | 2,0   |

**Tabela 12:** Sólidos em Suspensão Voláteis ( $\text{mg} \cdot \text{L}^{-1}$ )

| Tempo de Operação (dias) | Ponto de Coleta |       |       |       |       |       |
|--------------------------|-----------------|-------|-------|-------|-------|-------|
|                          | entrada         | C1    | C2    | C3    | CA    | saída |
| 7                        | 176,0           |       |       | 56,0  | 42,0  | 32,0  |
| 22                       | 278,0           |       |       | 104,0 | 180,0 | 62,0  |
| 43                       | 202,0           |       |       | 86,0  | 110,0 | 62,0  |
| 50                       | 206,0           |       |       | 72,0  | 142,0 | 68,0  |
| 64                       | 214,0           |       |       | 6,0   | 15,0  | 5,0   |
| 85                       | 188,0           |       |       | 74,0  | 57,0  | 22,0  |
| 92                       | 256,0           |       |       | 76,0  | 106,0 | 37,0  |
| 107                      | 333,3           |       |       | 81,4  | 116,0 | 31,0  |
| 114                      | 263,9           |       |       | 85,0  | 114,3 | 70,0  |
| 120                      | 186,0           |       |       | 97,1  | 94,0  | 88,0  |
| 150                      | 242,5           | 86,3  | 46,5  | 58,0  | 141,2 | 78,0  |
| 157                      | 237,5           | 127,5 | 41,0  | 36,0  | 50,0  | 30,0  |
| 164                      | 230,0           | 102,9 | 103,4 | 90,1  | 96,5  | 81,0  |
| 171                      | 287,2           | 154,7 | 85,6  | 70,0  | 44,5  | 82,2  |
| 178                      | Fase 1          | 306,7 | 184,0 | 155,2 | 137,9 | 220,9 |
| 185                      |                 | 257,2 | 180,0 | 202,0 | 164,0 | 128,0 |
| 191                      |                 | 187,5 | 141,0 | 81,0  | 86,0  | 245,5 |
| 200                      | Fase 2          | 215,0 | 150,0 | 170,0 | 130,2 | 11,6  |
| 206                      |                 | 267,0 | 177,0 | 156,0 | 136,0 | 191,0 |
| 213                      |                 | 236,0 | 208,0 | 170,0 | 104,0 | 119,0 |
| 220                      |                 | 220,0 | 162,0 | 129,0 | 114,0 | 224,0 |
| 232                      |                 | 267,0 | 187,0 | 146,0 | 120,0 | 311,0 |
| 245                      |                 | 346,0 | 164,0 | 162,0 | 109,0 | 166,0 |
| 259                      |                 | 286,0 | 110,0 | 194,0 | 140,0 | 234,0 |
| 322                      | Fase 3          | 206,0 | 237,0 | 82,0  | 47,0  | 88,0  |
| 327                      |                 | 221,0 | 190,0 | 96,0  | 62,0  | 66,0  |
| 334                      |                 | 291,0 | 408,0 | 77,0  | 61,0  | 71,0  |
| 341                      |                 | 154,5 | 93,4  | 66,0  | 113,3 | 262,0 |
| 347                      |                 | 190,0 | 128,0 | 84,0  | 76,0  | 58,0  |
| 361                      |                 | 240,0 | 155,0 | 136,0 | 88,0  | 150,0 |
| 389                      |                 | 160,0 | 104,0 | 25,0  | 59,0  | 35,0  |
| 396                      | Fase 4          | 152,9 | 73,4  | 93,0  | 64,0  | 32,0  |
| 403                      |                 | 332,5 | 190,4 | 63,9  | 210,9 | 104,0 |
| 410                      |                 | 302,0 | 186,0 | 64,0  | 185,0 | 165,0 |
| 417                      |                 | 258,0 | 66,0  | 116,0 | 49,0  | 185,0 |
| 431                      |                 | 222,0 | 204,0 | 120,0 | 100,0 | 254,0 |
| 444                      |                 | 274,5 | 205,2 | 139,3 | 92,0  | 145,2 |
|                          |                 |       |       |       |       | 104,7 |

**Tabela 13: Sólidos Totais (mg.L<sup>-1</sup>)**

| Tempo de operação (dias) | Ponto de coleta |      |      |      |      |       |
|--------------------------|-----------------|------|------|------|------|-------|
|                          | entrada         | C1   | C2   | C3   | CA   | saída |
| 150                      | Fase 1          | 1700 | 409  | 550  | 265  | 930   |
| 157                      |                 | 751  | 504  | 432  | 380  | 850   |
| 164                      |                 | 5205 | 5223 | 3323 | 402  | 416   |
| 171                      |                 | 2280 | 800  | 254  | 1505 | 427   |
| 178                      | Fase 2          | 903  | 659  | 676  | 586  | 818   |
| 185                      |                 | 6100 | 878  | 950  | 800  | 685   |
| 191                      |                 | 7600 | 1491 | 1606 | 905  | 1010  |
| 200                      | FASE 3          | 846  | 729  | 725  | 721  | 865   |
| 206                      |                 | 5800 | 747  | 907  | 651  | 3731  |
| 220                      |                 | 7673 | 1319 | 505  | 1577 | 637   |
| 226                      |                 | 4320 | 920  | 750  | 780  | 630   |
| 232                      |                 | 5170 | 850  | 690  | 750  | 1020  |
| 239                      |                 | 8710 | 810  | 810  | 830  | 2580  |
| 245                      |                 | 5290 | 4080 | 640  | 680  | 660   |
| 253                      |                 | 1040 | 670  | 450  | 480  | 880   |
| 259                      |                 | 8800 | 1200 | 870  | 840  | 940   |
| 267                      |                 | 2030 | 1550 | 570  | 620  | 940   |
| 322                      | FASE 4          | 1835 | 1936 | 623  | 530  | 480   |
| 327                      |                 | 1758 | 1836 | 750  | 509  | 498   |
| 334                      |                 | 1938 | 1906 | 820  | 603  | 514   |
| 341                      |                 | 1468 | 1631 | 553  | 326  | 326   |
| 347                      |                 | 1220 | 1110 | 630  | 610  | 350   |
| 375                      |                 | 850  | 936  | 832  | 321  | 450   |
| 389                      |                 | 453  | 439  | 481  | 378  | 305   |
| 396                      |                 | 442  | 396  | 345  | 314  | 210   |
| 403                      | FASE 5          | 897  | 822  | 711  | 386  | 352   |
| 410                      |                 | 831  | 811  | 732  | 358  | 322   |
| 417                      |                 | 771  | 600  | 582  | 510  | 567   |
| 424                      |                 | 732  | 795  | 803  | 598  | 858   |
| 431                      |                 | 813  | 670  | 650  | 645  | 910   |
| 438                      |                 | 994  | 710  | 630  | 510  | 550   |
|                          |                 |      |      |      |      | 206   |

**Tabela 14:** Sólidos Totais Fixos ( $\text{mg.L}^{-1}$ )

| Tempo de operação (dias) | Ponto de Coleta |     |     |     |     |       |
|--------------------------|-----------------|-----|-----|-----|-----|-------|
|                          | entrada         | C1  | C2  | C3  | CA  | saída |
| 150                      | Fase 1          | 345 | 205 | 188 | 155 | 210   |
| 157                      |                 | 353 | 256 | 233 | 244 | 287   |
| 164                      |                 | 329 | 190 | 203 | 194 | 225   |
| 171                      |                 | 371 | 224 | 147 | 161 | 220   |
| 178                      |                 | 343 | 464 | 280 | 293 | 321   |
| 185                      |                 | 352 | 302 | 361 | 317 | 267   |
| 191                      |                 | 472 | 392 | 352 | 418 | 477   |
| 200                      |                 | 369 | 383 | 315 | 337 | 374   |
| 206                      |                 | 368 | 349 | 388 | 339 | 354   |
| 220                      |                 | 413 | 319 | 275 | 227 | 337   |
| 226                      | Fase 2          | 410 | 380 | 360 | 280 | 290   |
| 232                      |                 | 440 | 340 | 370 | 400 | 510   |
| 239                      |                 | 350 | 340 | 360 | 330 | 890   |
| 245                      |                 | 480 | 320 | 290 | 250 | 320   |
| 253                      |                 | 390 | 240 | 210 | 170 | 320   |
| 259                      |                 | 590 | 358 | 880 | 840 | 940   |
| 267                      |                 | 310 | 250 | 220 | 230 | 360   |
| 322                      |                 | 285 | 198 | 195 | 186 | 175   |
| 327                      |                 | 273 | 196 | 190 | 178 | 165   |
| 334                      |                 | 290 | 205 | 197 | 183 | 172   |
| 341                      | Fase 3          | 195 | 208 | 185 | 164 | 153   |
| 347                      |                 | 185 | 203 | 176 | 150 | 120   |
| 375                      |                 | 254 | 289 | 243 | 158 | 165   |
| 389                      |                 | 131 | 157 | 179 | 112 | 101   |
| 396                      |                 | 175 | 148 | 139 | 138 | 120   |
| 403                      |                 | 508 | 507 | 494 | 198 | 228   |
| 410                      |                 | 490 | 435 | 355 | 185 | 178   |
| 417                      |                 | 518 | 429 | 406 | 329 | 385   |
| 424                      |                 | 517 | 648 | 599 | 432 | 535   |
| 431                      |                 | 387 | 261 | 248 | 287 | 188   |
| 438                      | 5               | 122 | 18  | 40  | 11  | 74    |
|                          |                 |     |     |     |     | 35    |

**Tabela 15:** Sólidos Totais Voláteis (mg.L<sup>-1</sup>)

| Tempo de operação (dias) | Ponto de Coleta |      |      |      |      |       |
|--------------------------|-----------------|------|------|------|------|-------|
|                          | entrada         | C1   | C2   | C3   | CA   | saída |
| 150                      | Fase 1          | 1355 | 345  | 345  | 110  | 720   |
| 157                      |                 | 398  | 248  | 227  | 136  | 563   |
| 164                      |                 | 4876 | 5063 | 3120 | 208  | 191   |
| 171                      |                 | 1909 | 576  | 107  | 1344 | 203   |
| 178                      | Fase 2          | 560  | 195  | 396  | 293  | 497   |
| 185                      |                 | 5748 | 576  | 589  | 483  | 418   |
| 191                      |                 | 7128 | 1099 | 1254 | 487  | 533   |
| 200                      | FASE 3          | 477  | 346  | 410  | 384  | 491   |
| 206                      |                 | 5432 | 398  | 519  | 312  | 3377  |
| 220                      |                 | 7260 | 1000 | 230  | 1350 | 300   |
| 226                      |                 | 3910 | 540  | 390  | 500  | 340   |
| 232                      |                 | 4700 | 510  | 320  | 350  | 510   |
| 239                      |                 | 8360 | 470  | 450  | 500  | 1690  |
| 245                      |                 | 4810 | 3760 | 350  | 430  | 340   |
| 253                      |                 | 650  | 430  | 240  | 310  | 560   |
| 259                      |                 | 8210 | 842  | 450  | 370  | 390   |
| 267                      | FASE 4          | 1720 | 1300 | 350  | 440  | 580   |
| 322                      |                 | 1550 | 1738 | 428  | 344  | 305   |
| 327                      |                 | 1485 | 1640 | 560  | 331  | 333   |
| 334                      |                 | 1648 | 1701 | 623  | 420  | 342   |
| 341                      |                 | 1273 | 1423 | 368  | 162  | 173   |
| 347                      |                 | 1035 | 907  | 454  | 460  | 230   |
| 375                      |                 | 596  | 647  | 589  | 163  | 285   |
| 389                      |                 | 322  | 282  | 302  | 266  | 204   |
| 396                      | FASE 5          | 267  | 248  | 206  | 176  | 90    |
| 403                      |                 | 508  | 507  | 494  | 198  | 228   |
| 410                      |                 | 341  | 376  | 377  | 173  | 144   |
| 417                      |                 | 518  | 429  | 406  | 329  | 385   |
| 424                      |                 | 517  | 648  | 599  | 432  | 535   |
| 431                      |                 | 426  | 409  | 402  | 358  | 722   |
| 438                      |                 | 684  | 480  | 424  | 320  | 365   |
|                          |                 |      |      |      |      | 96    |

**Tabela 16:** Sólidos Sedimentáveis ( $\text{mL.L}^{-1}$ )

| Tempo de operação (dias) | Ponto de Coleta |      |      |      |      |       |
|--------------------------|-----------------|------|------|------|------|-------|
|                          | entrada         | C1   | C2   | C3   | CA   | saída |
| 150                      | Fase 1          | 1,10 | 0,03 | 0,01 | 0,20 | 2,50  |
| 157                      |                 | 2,00 | 0,10 | 0,05 | 0,10 | 0,60  |
| 164                      |                 | 0,80 | 0,01 | 0,02 | 0,01 | 0,01  |
| 171                      |                 | 4,50 | 0,30 | 0,01 | 0,01 | 0,01  |
| 178                      | Fase 2          | 2,00 | 0,60 | 1,50 | 0,05 | 3,20  |
| 185                      |                 | 3,00 | 0,10 | 4,00 | 0,50 | 0,15  |
| 191                      |                 | 1,50 | 0,01 | 0,01 | 0,40 | 4,10  |
| 200                      | FASE            | 2,50 | 0,01 | 0,70 | 0,01 | 3,00  |
| 206                      |                 | 0,70 | 0,01 | 1,50 | 0,40 | 3,00  |
| 213                      |                 | 2,25 | 1,00 | 1,40 | 0,30 | 10,00 |
| 220                      |                 | 1,50 | 0,30 | 0,60 | 0,60 | 6,50  |
| 226                      |                 | 4,50 | 1,00 | 2,50 | 1,00 | 5,00  |
| 232                      | E               | 4,00 | 0,02 | 0,50 | 0,02 | 11,00 |
| 239                      |                 | 3,00 | 0,01 | 5,00 | 2,50 | 15,00 |
| 245                      |                 | 0,90 | 0,20 | 1,70 | 1,00 | 6,00  |
| 253                      |                 | 1,70 | 0,10 | 0,50 | 0,10 | 10,00 |
| 259                      | 3               | 1,75 | 0,01 | 2,00 | 0,90 | 8,00  |
| 267                      |                 | 3,00 | 0,02 | 1,20 | 2,50 | 12,00 |
| 322                      |                 | 5,00 | 4,50 | 0,60 | 0,01 | 1,50  |
| 327                      | FASE            | 6,00 | 2,50 | 1,00 | 0,01 | 2,00  |
| 334                      |                 | 4,50 | 4,50 | 0,70 | 0,50 | 4,00  |
| 341                      |                 | 2,00 | 0,60 | 0,01 | 2,50 | 5,50  |
| 347                      |                 | 3,00 | 0,50 | 0,01 | 0,01 | 5,00  |
| 361                      | 4               | 0,01 | 2,50 | 0,50 | 0,01 | 3,50  |
| 389                      |                 | 1,00 | 1,50 | 0,50 | 0,30 | 0,20  |
| 396                      |                 | 4,00 | 1,20 | 0,70 | 0,30 | 0,20  |
| 403                      |                 | 2,00 | 0,10 | 0,10 | 0,20 | 1,00  |
| 410                      | FASE            | 3,00 | 0,50 | 0,70 | 0,20 | 3,00  |
| 417                      |                 | 6,50 | 1,00 | 3,50 | 0,40 | 5,00  |
| 424                      |                 | 2,50 | 1,50 | 1,00 | 0,10 | 8,00  |
| 431                      |                 | 2,20 | 1,00 | 0,01 | 0,01 | 4,00  |
| 438                      | 5               | 4,00 | 2,00 | 0,01 | 0,01 | 6,80  |
| 444                      |                 | 5,00 | 1,50 | 0,01 | 0,01 | 2,00  |

**Tabela 17:** Sólidos em Suspensão Totais – Tomadas Intermediárias (mg.L<sup>-1</sup>)

| Tempo de operação (dias) | Ponto de Coleta |          |          |          |          |          |          |          |          |  |
|--------------------------|-----------------|----------|----------|----------|----------|----------|----------|----------|----------|--|
|                          | C1 (0,2)        | C1 (0,4) | C1 (0,6) | C2 (0,2) | C2 (0,4) | C2 (0,6) | C3 (0,2) | C3 (0,4) | C3 (0,6) |  |
| 185   Fase 2             | 35668           | 4148     | 842      | 73490    | 20017    | 2970     | 30575    | 428      | 280      |  |
| 213   Fase 3             | 80350           | 58097    | 293      | 21450    | 179      | 160      | 39153    | 168      | 130      |  |
| 274   Fase 3             | 32250           | 3780     | 752      | 34281    | 22248    | 3251     | 19780    | 487      | 321      |  |
| 448   Fase 4             | 28172           | 550      | 250      | 43255    | 1733     | 108      | 35217    | 90       | 60       |  |

**Tabela 18:** Sólidos em Suspensão Fixos – Tomadas Intermediárias (mg.L<sup>-1</sup>)

| Tempo de operação (dias) | Ponto de Coleta |          |          |          |          |          |          |          |          |  |
|--------------------------|-----------------|----------|----------|----------|----------|----------|----------|----------|----------|--|
|                          | C1 (0,2)        | C1 (0,4) | C1 (0,6) | C2 (0,2) | C2 (0,4) | C2 (0,6) | C3 (0,2) | C3 (0,4) | C3 (0,6) |  |
| 185   Fase 2             | 11658           | 1116     | 320      | 12432    | 4710     | 146      | 9032     | 154      | 102      |  |
| 213   Fase 3             | 17153           | 14996    | 60       | 6917     | 38       | 28       | 13786    | 50       | 28       |  |
| 274   Fase 3             | 10350           | 989      | 289      | 8750     | 5102     | 220      | 4521     | 175      | 124      |  |
| 448   Fase 4             | 13820           | 120      | 33       | 15775    | 613      | 52       | 16000    | 18       | 9        |  |

**Tabela 19:** Sólidos em Suspensão Voláteis – Tomadas Intermediárias (mg.L<sup>-1</sup>)

| Tempo de operação (dias) | Ponto de Coleta |          |          |          |          |          |          |          |          |  |
|--------------------------|-----------------|----------|----------|----------|----------|----------|----------|----------|----------|--|
|                          | C1 (0,2)        | C1 (0,4) | C1 (0,6) | C2 (0,2) | C2 (0,4) | C2 (0,6) | C3 (0,2) | C3 (0,4) | C3 (0,6) |  |
| 185   Fase 2             | 24010           | 3032     | 522      | 61057    | 15307    | 2824     | 21542    | 274      | 178      |  |
| 213   Fase 3             | 63197           | 43101    | 233      | 14533    | 141      | 132      | 25367    | 118      | 103      |  |
| 274   Fase 3             | 21900           | 2791     | 463      | 25231    | 17146    | 3031     | 15259    | 312      | 197      |  |
| 448   Fase 4             | 14352           | 430      | 217      | 27750    | 1120     | 56       | 19217    | 72       | 51       |  |

**Tabela 20:** Sólidos Totais – Tomadas Intermediárias ( $\text{mg} \cdot \text{L}^{-1}$ )

| Tempo de operação (dias) | Ponto de Coleta |          |          |          |          |          |          |          |          |
|--------------------------|-----------------|----------|----------|----------|----------|----------|----------|----------|----------|
|                          | C1 (0,2)        | C1 (0,4) | C1 (0,6) | C2 (0,2) | C2 (0,4) | C2 (0,6) | C3 (0,2) | C3 (0,4) | C3 (0,6) |
| 185   Fase 2             | 43250           | 6350     | 1520     | 82350    | 21550    | 472      | 40258    | 3250     | 880      |
| 213   Fase 3             | 121254          | 75260    | 896      | 57974    | 48256    | 1035     | 45488    | 38756    | 1078     |
| 274   Fase 3             | 56900           | 4587     | 1200     | 43970    | 39547    | 14020    | 25970    | 7860     | 1140     |
| 448   Fase 4             | 115236          | 2256     | 1158     | 62147    | 2241     | 1325     | 58946    | 1542     | 980      |

**Tabela 21:** Sólidos Totais Fixos – Tomadas Intermediárias ( $\text{mg} \cdot \text{L}^{-1}$ )

| Tempo de operação (dias) | Ponto de Coleta |          |          |          |          |          |          |          |          |
|--------------------------|-----------------|----------|----------|----------|----------|----------|----------|----------|----------|
|                          | C1 (0,2)        | C1 (0,4) | C1 (0,6) | C2 (0,2) | C2 (0,4) | C2 (0,6) | C3 (0,2) | C3 (0,4) | C3 (0,6) |
| 185   Fase 2             | 15635           | 930      | 368      | 25621    | 17256    | 236      | 4653     | 291      | 207      |
| 213   Fase 3             | 18356           | 7240     | 336      | 15360    | 3645     | 243      | 14190    | 275      | 249      |
| 274   Fase 3             | 23060           | 1380     | 510      | 19370    | 18300    | 500      | 11580    | 470      | 450      |
| 448   Fase 4             | 19720           | 320      | 230      | 21340    | 850      | 202      | 25560    | 165      | 132      |

**Tabela 22:** Sólidos Totais Voláteis – Tomadas Intermediárias ( $\text{mg} \cdot \text{L}^{-1}$ )

| Tempo de operação (dias) | Ponto de Coleta |          |          |          |          |          |          |          |          |
|--------------------------|-----------------|----------|----------|----------|----------|----------|----------|----------|----------|
|                          | C1 (0,2)        | C1 (0,4) | C1 (0,6) | C2 (0,2) | C2 (0,4) | C2 (0,6) | C3 (0,2) | C3 (0,4) | C3 (0,6) |
| 185   Fase 2             | 27615           | 5420     | 1152     | 56729    | 4294     | 236      | 35605    | 2959     | 673      |
| 213   Fase 3             | 102898          | 68020    | 560      | 42614    | 44611    | 792      | 31298    | 38481    | 829      |
| 274   Fase 3             | 33840           | 3207     | 690      | 24600    | 21247    | 13520    | 14390    | 7390     | 690      |
| 448   Fase 4             | 65516           | 1936     | 928      | 40807    | 1391     | 1123     | 33386    | 1377     | 848      |

**Tabela 23:** Oxigênio Dissolvido ( $\text{mg.O}_2 \cdot \text{L}^{-1}$ )

| Tempo de operação (dias) | Ponto de Coleta |       |
|--------------------------|-----------------|-------|
|                          | CA              | Saída |
| 7                        | 0,6             | 2,4   |
| 50                       | 0,2             | 0,2   |
| 64                       | 3,3             | 2,2   |
| 92                       | 2,4             | 2,6   |
| 107                      | 2,8             | 3,3   |
| 114                      | 2,1             | 2,5   |
| 150                      | 3,2             | 2,9   |
| 157                      | 3,4             | 3,2   |
| 164                      | 3,1             | 2,6   |
| 171                      | 2,4             | 2,3   |
| 178                      | Fase            | -     |
| 185                      |                 | -     |
| 191                      |                 | -     |
| 200                      | 2,7             | 2,7   |
| 206                      | 3,2             | 2,4   |
| 213                      | 2,6             | 1,5   |
| 220                      | 3,2             | 1,7   |
| 226                      | 4,7             | 1,1   |
| 232                      | 3,2             | 2,0   |
| 239                      | 2,8             | 2,0   |
| 245                      | 2,7             | 2,1   |
| 253                      | 3,6             | 1,8   |
| 259                      | 2,8             | 1,5   |
| 267                      | 3,0             | 1,9   |
| 322                      | 3,3             | 2,9   |
| 327                      | 4,0             | 2,0   |
| 334                      | 3,2             | 2,7   |
| 341                      | 3,8             | 2,0   |
| 347                      | 3,7             | 2,3   |
| 361                      | 3,3             | 2,1   |
| 375                      | 3,8             | 1,9   |
| 382                      | 3,6             | 2,0   |
| 396                      | 0,0             | 0,0   |
| 403                      | 2,1             | 1,5   |
| 410                      | 1,8             | 1,2   |
| 417                      | 2,0             | 1,1   |
| 424                      | 1,7             | 1,2   |
| 431                      | 1,3             | 0,7   |
| 438                      | 1,2             | 0,6   |
| 444                      | 1,3             | 0,8   |

**Tabela 24:** Fósforo Total ( $\text{mg.L}^{-1}$ )

| Tempo de Operação (dias) |        | Ponto de Coleta |       |      |       |
|--------------------------|--------|-----------------|-------|------|-------|
|                          |        | entrada         | C3    | CA   | saída |
| 150                      | Fase 1 | 10,17           | 3,73  | 4,28 | 3,75  |
| 164                      |        | 9,08            | 5,10  | 5,38 | 5,04  |
| 178                      | Fase 2 | 9,46            | 8,76  | 9,31 | 11,53 |
| 191                      |        | 10,13           | 7,51  | 6,59 | 5,67  |
| 206                      | Fase A | 9,79            | 8,56  | 9,10 | 6,88  |
| 220                      |        | 8,05            | 5,28  | 5,55 | 5,57  |
| 232                      | Fase S | 10,31           | 10,00 | 9,06 | 7,40  |
| 245                      |        | 13,27           | 8,96  | 6,56 | 12,79 |
| 259                      | Fase E | 9,06            | 7,55  | 5,56 | 6,03  |
| 267                      |        | 9,80            | 7,20  | 6,60 | 7,10  |
| 327                      | Fase 4 | 9,40            | 7,10  | 6,00 | 7,00  |
| 341                      |        | 10,00           | 7,20  | 5,50 | 6,80  |
| 361                      |        | 10,50           | 7,30  | 5,80 | 6,50  |
| 375                      |        | 9,00            | 6,20  | 5,30 | 6,00  |
| 389                      |        | 9,20            | 6,10  | 5,20 | 5,35  |

Exemplo de cálculo do método estatístico de “Comparação de Médias de duas Amostras” (MILLER e MILLER, 1993), para DQO<sub>total</sub> nas Fases 1 e 3.

$$t_{\text{calculado}} = |x_1 - x_2| / (S_1^2/n_1 + S_2^2/n_2)^{0.5}$$

$$X_1 = 64,8;$$

$$X_2 = 67,9;$$

$$S_1 = 15,30;$$

$$S_2 = 11,10;$$

$$n_1 = 14 \text{ amostras};$$

$$n_2 = 9 \text{ amostras}.$$

$$t_{\text{calculado}} = |64,8 - 67,9| / (15,3^2/14 + 11,10^2/9)^{0.5}$$

$$|t_{\text{calculado}}| = 0,562$$

$$g = \{ (S_1^2/n_1 + S_2^2/n_2) / ((S_1^2/n_1)^2/(n_1+1) + (S_2^2/n_2)^2/(n_2+1)) \} - 2$$

g = grau de liberdade;

$$S_1 = 15,30;$$

$$S_2 = 11,10;$$

$$n_1 = 14 \text{ amostras};$$

$$n_2 = 9 \text{ amostras}.$$

$$g = \{ (15,30^2/14 + 11,10^2/9) / ((15,3^2/14)^2/(14+1) + (11,10^2/9)^2/(9+1)) \} - 2$$

$$g = 22,74$$

De acordo com o grau de liberdade calculado (g=22,74), é possível por meio de uma tabela encontrar o valor de t<sub>tabelado</sub> (t<sub>tabelado</sub> = 2,08), para um valor de significância de P = 0,05.

Para |t<sub>calculado</sub>| < |t<sub>tabelado</sub>| os valores de DQO<sub>total</sub> não apresentam diferença significativa ao nível e P = 0,05 entre as Fases 1 e 3.

## **ABSTRACT**

Silva, Gustavo Henrique Ribeiro. **Anaerobic/aerobic Baffled Reactor Treating Sanitary Wastewater: Performance and Operation.** Campinas, Faculdade de Engenharia Civil, Universidade Estadual de Campinas, 2001. 166 pp. Mastership dissertation.

The present research aimed to study an alternative route for union of aerobic and anaerobic processes, through the use of a baffled reactor, treating sanitary wastewater. The reactor is composed of four sequential chambers, being the first tree anaerobic chambers and the last one aerobic, composing a total volume of approximately 2.5 m<sup>3</sup>. The sludge generated in the reactor is separated in a laminar sedimentation tank and recycled into the forth chamber. The reactor – placed in a wastewater treating plan of Limeira city, S. P., Brazil –operated in a period of 444 days. This period was divided in five phases, with hydraulic detention times (HDT) varying from 7 to 16 hours. The reactor was fed with sanitary wastewater which had already suffered a preliminary treatment. The five phases of operation corresponded to 10, 16, 12, 8 e 7 hours of HDT, respectively. The pH values in all chambers and in the sedimentation tank, varied between 5,7 e 8,3, with a mean value of 6,8; the correction of pH values was not necessary during all periods. The best value of BOD<sub>5</sub> removal was attained in the Phase 4 (HDT=8 hours), 56,9 to 95,7%. However, the statistic comparison of the means of two samples showed that there was no significant difference between the phases, except in Phase 2, with P=0,05. The reactor performance, in relation to COD<sub>total</sub> removal and TSS, was similar to that obtained for the BOD<sub>5</sub>, with values of 31,4 to 95,6 and 21,0 to 97,3%, respectively. The same occurred in the statistic test. In chamber 4, the oxygen dissolved values were satisfactory in most of the periods, reaching the maximum of 4,7 and of 0,0 mg O<sub>2</sub>.L<sup>-1</sup>. The laminar sedimentation tank was important for removal of solids produced in the sedimentation tank. After the 107<sup>th</sup> operation day, the recycled sludge presented a sedimentation capability classified between good and very good. Thus, It is possible to affirm that the baffled reactor configuration of the present work promotes an useful effluent treatment, employed to the production of an aerobic sludge with easy management.

Key words: aerobic/anaerobic baffled reactor, sanitary wastewater, aerobic treatment, anaerobic treatment.